

MFN: ۱۱۱۰

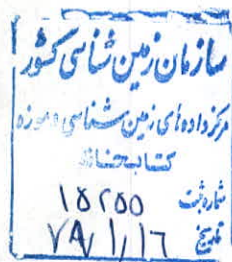
۳۰۹

ب	عِلْمٌ
الله	بِالْحُجَّةِ

۱۳۷۸  
کشور  
۴۷۰  
۱۵۷۸

وزارت معادن و فلزات  
سازمان زمین‌شناسی و اکتشافات معدنی کشور

گزارش اکتشافات رئو شیمیایی سیستماتیک  
در  
محدوده برگه ۱/۱۰۰۰۰۰ باینچوب



جري طرح

مهندس محمد تقی کره‌ای

مشاور

شرکت توسعه علوم زمین

۱۳۷۸ اسفند

## فهرست مطالب

عنوان	صفحة
-------	------

### تشکر و قدردانی راهنمای آلبوم نقشه‌ها

### ■ فصل اول : کلیات

۱	- مقدمه.....
۲	- اهداف اکتشافات ژئوشیمیایی در مقیاس ناحیه‌ای .....
۳	- جمع آوری اطلاعات.....
۴	- موقعیت جغرافیای و آب و هوایی منطقه .....
۵	- زمین شناسی ناحیه‌ای .....
۶	- چینه شناسی و سنگ شناسی .....
۷	- زمین شناسی ساختمانی و تکتونیک .....
۸	- بررسی رسوبات رودخانه‌ای در مناطق معتدل .....
۹	- بررسی حوضه‌های آبریز .....

### ■ فصل دوم : نمونه‌برداری

۱۰	- مقدمه .....
۱۱	- عوامل مؤثر در طراحی نمونه‌برداری .....
۱۲	- عملیات نمونه‌برداری .....
۱۳	- آماده سازی نمونه‌ها .....
۱۴	- آنالیز نمونه‌های ژئوشیمیایی .....

### ■ فصل سوم : نقش سنگ بستر

۱۵	- جداش جوامع سنگی .....
۱۶	- رده‌بندی نمونه‌ها بر اساس تعداد سنگ‌های بالا دست .....
۱۷	- رده‌بندی نمونه‌ها بر اساس نوع سنگ‌های بالا دست .....
۱۸	- نقش سنگ بستر در ارزیابی متدار زمینه و حد آستانه‌ای .....

## فهرست مطالب

عنوان	صفحة
-------	------

- ۱- نقش سنگ بستر در ایجاد آنومالی های کاذب ..... ۲۷  
۲- تغییرپذیری سنگ بستر بالادست ..... ۲۷  
۳- بررسی مقادیر کلارک سنگ های رخنمون دار در منطقه ..... ۳۱

## ■ فصل چهارم : پردازش داده ها

۱- مقدمه .....	۳۴
۲- پردازش داده های سنسورد .....	۳۴
۳- پردازش داده های جوامع تک سنگی .....	۳۸
۴- پردازش داده های جوامع دو سنگی .....	۴۰
۵- پردازش داده های جوامع سه سنگی و بیش از سه سنگی .....	۴۰
۶- به کارگیری آنالیز کلاستر (بر اساس منطق فازی) به منظور رده بندی نمونه های بیش از دو یا سه سنگی .....	۴۲

## ■ فصل پنجم: تخمین مقدار زمینه

۱- تحلیل ناممگنی ها .....	۴۳
۲- سیمای ژئوشیمیابی جوامع مختلف بر اساس سنگ بستر بالادست .....	۴۴
۳- تخمین مقدار زمینه .....	۴۴

## ■ فصل ششم: تخمین شبکه ای شاخص های غنی شدگی

۱- تخمین شبکه ای .....	۴۹
۲- شاخص غنی شدگی .....	۵۱
۳- محاسبه احتمال رخداد هر یک از شاخص های غنی شدگی .....	۵۳
۴- معرفی متغیرهای تک عنصری و چند عنصری و رسم نقشه آنومالی های مقدماتی ..	۵۴
۵- رسم نقشه توزیع شاخص غنی شدگی هر یک از عناصر و معرفی مناطق آنومالی مقدماتی .....	۷۲

## فهرست مطالب

صفحه

عنوان

■ فصل هفتم: فاز کنترل آنومالی‌های ژئوشیمیابی	
۱- مقدمه .....	۸۱
۲- ردیاب‌های کانی سنگین .....	۸۲
۳- بزرگی هاله‌های کانی سنگین .....	۸۳
۴- شرح موقعیت محدوده آنومالی‌های مقدماتی .....	۸۴
۵- محاسبه آنومالی در جامعه نمونه‌های آلوویوم .....	۱۱۲
۶- برداشت نمونه‌های کانی سنگین، میترالیزه و آلترا .....	۱۱۲
۶-۱- نکاتی در مورد محل، چگالی و وزن نمونه‌های کانی سنگین و آماده‌سازی و مطالعه آن.....	۱۱۳
۶-۲- شرح نمونه‌های کانی سنگین، میترالیزه و آلترا برداشت شده در مناطق آنومال برگه بست .....	۱۱۴
۶-۳- شرح نمونه‌های کانی سنگین، میترالیزه و آلترا برداشت شده در مناطق آنومال برگه اسلام دشت .....	۱۲۸
۶-۴- شرح نمونه‌های کانی سنگین، میترالیزه و آلترا برداشت شده در مناطق آنومال برگه باینچوب .....	۱۲۸
۶-۵- شرح نمونه‌های کانی سنگین، میترالیزه و آلترا برداشت شده در مناطق آنومال برگه هزارکاریان .....	۱۳۰
۷- پردازش داده‌های کانی سنگین .....	۱۳۳
۷-۱- رسم هیستوگرام متغیرهای کانی سنگین .....	۱۳۳
۷-۲- آنالیز کلاستر متغیرهای کانی سنگین .....	۱۵۵
۸- تخمین شبکه‌ای و رسم نقشه متغیرهای کانی سنگین .....	۱۵۵
۹- تابیج حاصل از نمونه‌های میترالیزه .....	۱۵۷
۱۰- آنالیز ویژگی نمونه‌های میترالیزه .....	۱۶۱
۱۱- مطالعه تغییرپذیری دانسته‌گسلها و امتداد آنها .....	۱۶۹
۱۱-۱- مقدمه .....	۱۶۹
۱۱-۲- روش مطالعه .....	۱۷۰

## فهرست مطالب

صفحه

عنوان

۱۷۰ .....	۱۱-۳-داده های خام.....
۱۷۱ .....	۱۱-۴-پارامتر های آماری مجموع طول گسلها.....
۱۷۱ .....	۱۱-۵-پارامتر های آماری امتداد گسلها.....
۱۷۶ .....	۱۱-۶-رسم نقشه دانسیت گسلها.....
۱۷۶ .....	۱۱-۷-انطباق محدوده آنومالی های ژئوشیمیایی با محدوده زون های باشکستگی زیاد.....

## ■ فصل هشتم: مدل سازی آنومالی های ژئوشیمیایی

۱۷۷ .....	۱- روش کار.....
۱۷۸ .....	۲- مدل سازی.....
۱۷۸ .....	۲-۱- مقدمه.....
۱۸۰ .....	۲-۲- مدل های عددی.....
۱۸۱ .....	۲-۳- مدل سازی آنومالی های ژئوشیمیایی در برگه باینچوب.....
۱۸۳ .....	۲-۴- اولویت بندی مناطق امیدبخش .....
۱۸۳ .....	۲-۴-۱- اولویت بندی .....
۱۹۰ .....	۲-۴-۲- معرفی مناطق امیدبخش اولویت بندی شده نهایی .....

۱۹۹ ..... فهرست منابع

## تشکر و قدردانی

از همکاران زیر که این پروژه را باری نموده و در مراحل مختلف آن باز خدمات بیدریغ خود در پیشرفت پروژه و انجام هر چه دقیق تر آن نقش مؤثری داشته اند، تشکر و قدردانی می شود.

گرایش	نام	فاز اکتشافی
کارشناسی زمین شناسی	محمد جواد شمسا (سرپرست)	نمونه برداری
کارشناسی	سید جمال الدین رضوانی (مسئول اکیپ)	
کارشناسی مهندسی اکتشاف معدن	سید جمال الدین هنرپیشه	
کارشناسی مهندسی اکتشاف معدن	محمود پولادزاده	
کارشناسی مهندسی اکتشاف معدن	حسن عزمی	
کارشناسی مهندسی اکتشاف معدن	احمد ساعظیان	
کارشناسی مهندسی اکتشاف معدن	علی مظفری خلف بادام	
کارشناسی مهندسی اکتشاف معدن	محمد رئوف حبیبی	
کارشناسی مهندسی اکتشاف معدن	ناصر جاورانی	
کارشناسی مهندسی اکتشاف معدن	سعید هدفجو	
کارشناسی زمین شناسی	سیامک اخطاری	
کارشناسی مهندسی اکتشاف معدن	ناصر جاورانی	آماده سازی
کارشناسی	سید جمال الدین رضوانی	
تیم خرداش سازمان زمین شناسی	خرداش	
حسن دانشیان	گل شوبی	آنالیز
	لارک شوبی	
آزمایشگاه شرکت توسعه علوم زمین	آنالیز شیمیابی	
کارشناسی زمین شناسی	خانم صالحی نیشاپوری	
کارشناسی ارشد مهندسی اکتشاف معدن	رامین هنلی (سرپرست)	
کارشناسی مهندسی اکتشاف معدن	سید جمال الدین هنرپیشه	پردازش داده ها و تبیه نقشه ها و گزارش
کارشناسی مهندسی اکتشاف معدن	ناصر جاورانی	
کارشناسی مهندسی اکتشاف معدن	محمود پولادزاده	
کارشناسی مهندسی اکتشاف معدن	حسن عزمی	
کارشناسی مهندسی اکتشاف معدن	احمد ساعظیان	
کارشناسی مهندسی اکتشاف معدن	علی مظفری خلف بادام	نقشه ها و گزارش
کارشناسی زمین شناسی	الهام جنید	
کارشناسی زمین شناسی	شهره عرفان	

همچنین از آقایان محمد کاشی پزها، ابراهیم کاشی، محمود زنده دل، داود اسکندری، محسن حبیبی، ولی الله حبیبی در حمل و نقل تشکر می گردد.

## راهنمای آلبوم نقشه‌ها

شماره نقشه	شرح نقشه
۱	نقشه نمونه برداری: محل برداشت نمونه های ژئوشیمیایی و کانی سنگین از رسوبات آبراهه ای و محل نمونه های میزالیزه، آلتراسیون و پلیمینگ سیستم.
۲	نقشه توزیع شاخص فنی شدگی متغیر $Au$ : فراوانی های معادل ۱٪ بالای جامعه به عنوان مناطق امیدبخش احتمالی انتخاب شده‌اند.
۳	نقشه توزیع شاخص فنی شدگی متغیر $Au-Reg$ : متغیر $Au-Reg = 0.148b + 0.145s + 0.18W$ به صورت نقشه درآمده است و فراوانی های معادل ۱٪ بالای جامعه به عنوان مناطق امیدبخش احتمالی انتخاب شده‌اند.
۴	نقشه توزیع شاخص فنی شدگی متغیر $(B+Be)$ : فراوانی معادل ۱٪ بالای جامعه به عنوان مناطق امیدبخش احتمالی انتخاب شده‌اند.
۵	نقشه توزیع شاخص فنی شدگی متغیر $(Mo+Ag)$ : فراوانی های معادل ۱٪ بالای جامعه به عنوان مناطق امیدبخش احتمالی انتخاب شده‌اند.
۶	نقشه توزیع شاخص فنی شدگی متغیر $(Pb+Zn)$ : فراوانی های معادل ۱٪ بالای جامعه به عنوان مناطق امیدبخش احتمالی انتخاب شده‌اند.
۷	نقشه توزیع فراوانی متغیرهای کانی سنگین شامل متغیرهای (آپاتیت + ایلمینیت + آناتاز) و (باریت + هماتیت + پریت + لیموئیت). فراوانی های معادل ۰.۲۵٪ بالای جامعه به عنوان مناطق امیدبخش احتمالی انتخاب شده‌اند.
۸	نقشه توزیع فراوانی متغیرهای کانی سنگین شامل متغیرهای (گالان + اولیژریست + شیلیت + گارنٹ + مینیت) و (سرورزیت + آنگلوزیت + سینابر + مالاکیت). فراوانی های معادل ۰.۲۵٪ بالای جامعه به عنوان مناطق امیدبخش احتمالی انتخاب شده‌اند.
۹	نقشه توزیع فراوانی متغیر $Au$ (آنالیز شیمیایی) جزء غیرمغناطیسی نمونه های کانی سنگین: فراوانی های معادل ۱٪ بالای جامعه به عنوان مناطق امیدبخش احتمالی انتخاب شده‌اند.
۱۰	نقشه توزیع دانسینه گسلها (به صورت سه حد $\frac{۳}{۳}-\frac{۶۶}{۶۶}-\frac{۳}{۳}$ ٪، $\frac{۷}{۷}-\frac{۶۶}{۶۶}-\frac{۷}{۷}$ ٪ و $\frac{۷}{۷}-\frac{۶۶}{۶۶}-\frac{۷}{۷}$ ٪)، محدوده توده های نفوذی نیمه عمیق (به عنوان منابع حرارتی احتمالی)، زون های آلتراسیون و مناطق امیدبخش نهایی (ارلویت های اول و دوم)

# فصل اول

## گلیات

### ۱- مقدمه

اکتشافات ناحیه‌ای در مقیاس ۱:۱۰۰،۰۰۰ در زمرة عملیات اکتشافی زیربنائی بحساب می‌آید که هدف آن شناخت نواحی با پتانسیل معدنی است. برای نیل به این اهداف، از روش‌های مختلف ژئوفیزیکی، ژئوشیمیائی و اطلاعات ماهواره‌ای می‌توان بهره برد. نقشه‌برداری ژئوشیمیائی در مقیاس ناحیه‌ای نیز یکی از این روش‌هاست که می‌تواند با نمونه‌برداری از رسوبات رودخانه‌ای انجام پذیرد. پروره حاضر بخشی از طرح اکتشافات ژئوشیمیائی سیستماتیک می‌باشد که در محدوده برگه ۱:۱۰۰،۰۰۰ باینچوب انجام می‌پذیرد. اجرای این پروره در دو بخش طراحی شده است. بخش اول عملیات تارسم نقشه آنماليهای ژئوشیمیائی و تعیین مناطق با پتانسیل ادامه می‌یابد. بخش دوم شامل عملیات کنترل آنمالي هاست که از طریق مطالعات کانی سنگین، آتراسیون، مناطق کانی سازی و شکستگی‌های پر شده (Plumbing system) تعییب خواهد شد و در نهایت پس از کنترل آنمالي‌ها هر یک از آنها مدل سازی شده و مناطق امیدبخش معرفی خواهند شد.

### ۲- اهداف اکتشافات ژئوشیمیائی در مقیاس ناحیه‌ای

بطور تجربی ثابت شده است که رسوبات آبراهه‌ای (عموماً جزء ۸۰-مش) می‌تواند در اکتشافات کوچک مقیاس ناحیه‌ای (۱:۱۰۰،۰۰۰ تا ۱:۲۵۰،۰۰۰) بسیار مفید واقع شود. نتایج حاصل از این نوع بررسی‌های اکتشافی می‌تواند در تحلیل ایالات ژئوشیمیائی و شناخت الگوهای ژئوشیمیائی ناحیه‌ای و همچنین نواحی ای که در آنها احتمال کشف نهشته‌های کانساری بیشتر می‌باشد، بسیار مؤثر واقع شود. علاوه بر کاربردهای مستقیم ذکر شده، نقشه‌های ژئوشیمیائی رسوبات آبراهه‌ای می‌تواند کاربردهایی در زمینه کشاورزی و محیط زیست نیز داشته باشد. بدیهی است که اهداف اکتشافی این نوع بررسی‌ها با اهدافی

نظیر تشخیص الگوهای ناحیه‌ای برای توزیع عناصر، متفاوت است و بدین جهت باید برای نیل به هر منظوری از روش مناسب با آن استفاده کرد.

در مورد اول که هدف کشف آنومالی در هاله‌های ثانوی است، باید از تکنیک‌های آماری که اختلاف بین مقادیر آنومالی و روندهای ناحیه‌ای را به حداقل مقدار خود برساند بپره‌گرفت، و در تیجه از طریق شدت بخشی آنومالیها، به شناسایی هرچه دقیق‌تر آنها پرداخت. در حالت دوم چون هدف دستیابی به روندهای ناحیه‌ای است، باید از تکنیک‌های آماری ای که تأثیر آنومالیها را در روندهای ناحیه‌ای به حداقل مقدار خود می‌رسانند، استفاده کرد. چگالی نمونه برداری در این حالت یک نمونه برای چند کیلومترمربع است که بوسیله سقف بودجه کنترل می‌شود.

### ۳- جمع‌آوری اطلاعات (موضوع بند ۱ شرح خدمات)

در این مرحله اسناد و مدارک مربوط به منطقه تحت پوشش به شرح زیر تهیه و مورد مطالعه قرار گرفت:

۱- نقشه‌های توپوگرافی ۱:۵۰،۰۰۰ منطقه مورد مطالعه شامل چهارگوشتهای هزارکانیان (شمال شرق)، باینچوب (جنوب شرق)، اسلام دشت (جنوب غرب) و بست (شمال غرب).

۲- نقشه زمین‌شناسی ۱:۱۰۰،۰۰۰ باینچوب که در آغاز پژوهه در دسترس نبود ولی بعد از عملیات نمونه برداری به طور متمدّماتی توسط گروه زمین‌شناسی به سرپرستی جناب آقای دکتر هوشمندزاده، دکتر نوگل تهیه و نسخه مقدماتی در اختیار قرار گرفت.

۳- نقشه زمین‌شناسی ۱:۲۵۰،۰۰۰ سنندج (از انتشارات سازمان زمین‌شناسی کشور).

۴- نقشه توپوگرافی ۱:۲۵۰،۰۰۰ سنندج.

۵- نقشه ژئوفیزیک هوایی (مغناطیس هوایی) با مقیاس ۱:۲۵۰،۰۰۰ منطقه سنندج (از انتشارات سازمان زمین‌شناسی کشور).

با توجه به اطلاعات حاصل از مدارک فوق الذکر، برنامه عملیات صحرائی جهت نمونه برداری پی‌ریزی گردید و در هر مورد نقش پارامترهای مؤثر در برنامه ریزی اکتشافی (بخصوص در نمونه برداری) مورد بررسی قرار گرفت که خلاصه آن در بخش‌های بعدی گزارش آورده شده است.

لازم به ذکر است که در اختیار نبودن نقشه زمین شناسی ۱:۱۰۰،۰۰۰ باینچوب و نقشه شکستگی ها و گسل ها در زمان طراحی نمونه برداری این برگه تا حدی از دقت طراحی نمونه برداری کاسته است. (نقشه زمین شناسی ۱:۱۰۰،۰۰۰ در آن زمان مراحل برداشت های صحرایی اولیه را طی می کرد).

#### ۴- موقعیت جغرافیائی و آب و هوایی منطقه

منطقه مورد مطالعه در نیمه بالایی (سمت چپ) نقشه زمین شناسی ۱:۲۵۰،۰۰۰ سنتنج و در بین طولهای ( $30^{\circ}$ ,  $36^{\circ}$ ) و ( $46^{\circ}$ ) و همچنین عرضهای جغرافیائی ( $35^{\circ}$ ,  $30^{\circ}$ ) و  $36^{\circ}$  قرار دارد. مرز شمالی این محدوده تقریباً در راستای روستاهای وزمان - ماهیدر سلیمان، مرز جنوبی تقریباً در راستای روستاهای ماق پایین - گدار، مرز شرقی تقریباً در راستای روستاهای ماق پایین - ظفرآباد و مرز غربی تقریباً در راستای روستاهای گدار - ماهیدر سلیمان قرار می گیرد.

راههای اصلی این منطقه یکی شامل راه دیواندره - سنتنج است که خارج از منطقه بوده و در شرق برگه واقع است و راه دیگر شامل جاده سنتنج - مریوان است که خارج از منطقه بوده و در جنوب برگه واقع است. راههای ارتباطی روستاهای محدوده مورد مطالعه به جز در بخش غربی منطقه که دارای کوه های مرتفع است، دارای وضعیت مطلوبی می باشند. مهمترین و پرجمعیت ترین روستاهای برگه باینچوب عبارتند از: روستاهای بست، ابراهیم آباد و شریف آباد در شمال و شمال غربی برگه، هزار کانیان در مرکز برگه، باینچوب در جنوب شرقی برگه و اسلام دشت در جنوب غربی برگه، نزدیک ترین شهرستان به این برگه، شهرستان دیواندره است که در شمال شرقی محدوده این برگه واقع شده است.

محدوده مورد مطالعه از نظر آب و هوایی دارای آب و هوای سرد و مرطوب می باشد و در نواحی کوهستانی و دشت های مرتفع دارای آب و هوای معتدل برگه با زمستانهای بسیار سرد است. آب و هوای این منطقه متأثر از توده های هوای مرطوب مدیترانه ای است که موجب بارندگی های موقت در بهار و ریزش برف در زمستان می شود. جریان های آب و هوایی متأثر از اقیانوس اطلس و دریای مدیترانه که عامل عمده ریزش جوی این منطقه است در عبور از کردستان و برخورده با ارتفاعات این منطقه بخش قابل توجهی از رطوبت خود را به شکل باران و برف از دست می دهد.

بلندترین کوه های این منطقه، کوه چهل چشم در بخش غربی محدوده با ارتفاع

۳۱۷۳ متر و کوه مسجد میرزا در بخش مرکزی با ارتفاع ۳۰۵۹ متر است و کم ارتفاع ترین نقطه در محدوده روستای اسلام دشت با ارتفاع ۱۷۵۰ متر است.

بارندگی های نسبتاً زیاد در این منطقه موجب گردیده، که این منطقه از توانایی آبی نسبتاً بالایی برخوردار بوده و بخش اعظم حوضه های آبریز رودخانه های زرینه رود و قزل اوزن در این محدوده دیده می شود. رودخانه زرینه رود در این محدوده از سقز چای، جنتو چای، خور خوره چای و ساروق چای تغذیه می شود، به طوری که سالانه ۱۸۰ میلیون متر مکعب آب از این منطقه خارج و به آذربایجان غربی تخلیه می کند. رودخانه قزل اوزن در این محدوده از رودخانه های تلوار، شور، قزل اوزن علیا تغذیه شده و سالانه ۹۶۰ میلیون متر مکعب آب از محدوده استان کردستان خارج و به محدوده استان زنجان تخلیه می کند. بخش اعظم منطقه تحت پوشش این برگه، زیر پوشش کشاورزی خصوصاً گندم، جو و حبوبات قرار دارد.

## ۵- زمین‌شناسی ناحیه‌ای

منطقه مورد مطالعه در زون زمین ساختی سنتلچ - سیرجان به عنوان بخشی از

کمربند چین خورده رانده شده زاگرس واقع است. کمربند کوه‌زایی زاگرس جزئی از رشته کوه‌های آلب - هیمالیا به طور تقریبی ۲۰۰۰ کیلومتر با روند شمال باختری - جنوب خاوری از گسل آناتولی در خاور ترکیه تا خطواره عمان در جنوب ایران گسترش دارد.

زون سنتلچ - سیرجان در جنوب باختر قوس ماقمابی ارومیه - دختر با پهنه‌ای

۱۵۰-۲۵۰ کیلومتر و روند ساختاری موازی با روند عمومی کمربند کوه‌زایی زاگرس قرار دارد. تاکنون هیچ توالی سنگی به سن پروتوزوئیک در این زون مشاهده نشده است، بطوري که واحدهای سنگی منسوب به پرکامبرین بنابر مطالعات اخیر فیل شناسی به پالثوزوئیک یا مژوزوئیک تعلق دارند. به استثناء تراشه های (Slices) نازکی از سنگ های آذرآواری احتمالاً کرتاسه یا تریلیری به صورت ورقه های رانده ای در مجاورت شهرستان های نهاوند و تکاب، و نیز سنگ های ولکانوکلاستیک اسیدی - بازی که به صورت بین لایه ای با سنگ های تخریبی فلات قاره (پالثوزوئیک فوقانی - تریاس) مشاهده می شوند.

بعضی از توالی های سنگی پالثوزوئیک و مژوزوئیک این زون تحت تأثیر دگرگونی

رساره شیست سیز قرار گرفته اند. جوانترین سنگ هایی که تحت تأثیر دگرگونی قرار

گرفته اند، سنگ های کربناتی فسیل دار کرتاسه است. با توجه به این که کنگلومرای کرتاسه نوچانی (ماستریشیت) با یک ناپوستگی بر روی آن ها قرار گرفته و واجد قطعاتی از سنگ های دگرگونی مذکور است، می توان تیجه گرفت که یک رخداد دگرگونی در اوخر کرتاسه به وقوع پیوسته است.

بر زیب سنگ شناسی و زمین شناسی ساختمانی منطقه تشریع می گردد.<sup>[1]</sup>

۱-۵- چنده شناسی و سنجشناختی

احدهای لیتلولژیک رخمنون دار در سطح منطقه به ترتیب از قدیم به جدید عبارتند

3

### ۵-۱-۱- سنگ های دگرگونی یالئوزوئیک - تریاس (؟)

۱-۱-۱-۱- واحد سنگهای ولکانیکی و ولکانوکلاستیکی اسیدی دگرگون شده (۷۶)

این مجموعه شامل ولکانوکلاستیک های اسیدی دگرگون شده به رنگ سفید تا سبز روشن و گدازه های روپولیتی - روپوداسیتی دگرگون شده به رنگ صورتی تا سفید و دارای نولیاپیون بسیار مشخص می باشد. این مجموعه در بخش شمالی و شمال خاوری ناحیه مورد مطالعه وسعت زیادی را به خود اختصاص می دهد و در برخی نقاط در تناب با گدازه های آزیک دگرگون شده (واحد G) می باشد. در فیلیت های سبز روشن و متبلور حاصل از دگرگونی سنگ های ولکانوکلاستیک اسیدی فنوکلاستهای کوارتز و به ندرت فلدسپات در یک زمینه دانه ریز مشکل از کلریت و اپیدوت مشاهده می شود. بلور های پیریت که در حال تبدیل شدن به اکسیدها و هیدروکسیدهای آهن به رنگ قرمز قهوه ای هستند نیز در این سنگ ها یافت می شوند. متأگلومریت های مشکل از تقطعات آتش فشانی اسیدی، حفره دار و به رنگ روشن اما فنوکریست های سفید فلدسپات همراه با سایر سنگ های آذر آواری اسیدی گزراش می شوند. (مجاور رومتا های وزمان، عربیزآباد و کوسان).

در بعضی نقاط توده های میکروگراندپوریت - میکروگرانیت های میلینوئی دانه ریزی رنگ سبز روش مشکل از بلورهای خاکستری با جلای شیشه ای کوارتز و فلدسپاتهای سفید - سبز روش یوهدرال به همراه بلورهای سفید رنگ آمفیبول و ورقه های بیوتیت کلریت - اپیدوت مشاهده می شود که یک فولیاسیون میلینوئی و خطواره های کششی را

نشان می دهد (*Stretching Lineation*). این خطواره ها یک جهت برشی به سمت جنوب شرق را نمایش می دهند (مجاور روستاهای ابراهیم آباد و گاوچ علیا). این توده ها احتمالاً بخش مرکزی گدازه های اسیدی و یا توده های نفوذی نیمه عمیق را تشکیل می داده اند.

#### ۵-۱-۲- واحد سنگهای ولکانوکلاستیک و گدازه های بازیک دگرگون شده (G5)

این مجموعه که در اکثر مناطق در تناب با واحد<sup>۷</sup> مشاهده می گردد، شامل سنگ های ولکانوکلاستیک و گدازه های بازیک دگرگون شده می باشد و به صورت توده ای و به رنگ سبز تیره دیده می شوند. در بررسی میکروسکوپی سنگهای این واحد ترکیب سنگ شناسی از بازالت های آندزیتی دگرگون شده تا متباذالت (مجموعه کلریت + اپیدوت + اسفن) و کربیستال لیتیک توف در تغییر است.

سنگ های بازالت تا آندزیتیک بازالت دارای بافت پرفیری با زمینه میکرولیتی تا شیشه ای می باشند که پلازیوکلازهای دارای ماکلهای مشخص و دگرسان شده بیش از ۹۰ درصد حجم فنکریستها را به خود اختصاص می دهند. زمینه شیشه ای در اکثر موارد تبلور مجدد یافته است. در نمونه های حفره دار حفرات توسط کلسیت و اپیدوت پر شده اند. متباذالت ها شامل مجموعه ای از کانی های کلریت و اپیدوت می باشند که به احتمال زیاد حاصل تجزیه پلازیوکلازها و کانی های تیره می باشد و شیستوزیت مشخصی نشان نمی دهند.

متاکربیستال لیتیک توف ها با بافت پرفیر و کلاستی شامل مجموعه ای از کانی های پلازیوکلاز، سانیدین و لیتیک در زمینه ای از شیشه تبلور مجدد یافته و کلریتی شده می باشد. آفیبیول شیست ها شامل کانی های تیره سوزنی شکل آفیبیول می باشد. این سنگ ها احتمالاً ارتواآفیبیولیت هایی می باشند که از دگرگونی توده های گابریولی با سن نامشخص (که به داخل توالی فوق تزریق گردیده است) تشکیل شده است. بیرون زدگی این سنگها را در نزدیکی روستای بنوچان می توان مشاهده کرد. مطالعه میکروسکوپی این سنگها نشان داده است که بلورهای آفیبیول به شدت چین خورد، اند و در بین آنها کلسیت و کوارتز ثانوی تشکیل شده است.

### ۱-۱-۳- واحد سنگهای آرژیلیتی و ماسه سنگ دگرگون شده ( $Sm$ )

این واحد سنگی شامل اسلیت‌ها و فیلیت‌های سبز خاکستری، متاسیلتستون، کوارتزیت، ماسه سنگهای گریواکی دگرگون شده و آهک‌های دولومیتی متبلور می‌باشد. قاعده این توالی را عمدتاً کوارتزیت - کلریت، کوارتزیت تا ماسه سنگهای گریواکی دگرگون شده سبز - خاکستری روشن، لایه متوسط - ضخیم، دانه متوسط و لامینه تشکیل می‌دهد که به صورت متناوب با اسلیت‌ها و فیلیت‌های سبز - خاکستری دیده می‌شود. در بخش بالایی این واحد سنگی اسلیت و فیلیت‌های سبز - خاکستری با جلای ابریشمی حاصل از دگرگونی سنگهای آرژیلیتی و سیلیستون‌های آرژیلیتی لایه نازک به صورت متناوب با آهک‌های خاکستری رنگ لایه نازک، متبلور دارای ساقه‌های کرینوئید مشاهده می‌شود که به تدریج به سمت بالای توالی به یک واحد آهکی آرژیلیتی تا دولومیتی ( $Mb$ ) تبدیل می‌شود. بر اساس مطالعات پالینولوژی انجام شده روی این واحد وجود فسیلهای *Cingulochitina Sp*، *Conochitina of. acuminata*، *Conochitina of. elegans* و *Chitinozoa* سن اردیسین تا دونین برای این واحد در نظر گرفته می‌شود.

### ۱-۱-۴- واحد آهک‌های خاکستری رنگ کرینوئیدار

این سنگ آهک‌های خاکستری رنگ، متوسط تا ضخیم لایه، لامینه، متبلور آرژیلیتی تا دولومیتی کرینوئیدار تشکیل یک واحد رسوبی مستقل را با یک مرز تدریجی در بالای واحد  $Mb$  می‌دهند. تبدیل تدریجی واحدهای ذکر شده به این سنگ آهک متبلور را در شمال روستای درویان خشکه به خوبی می‌توان مشاهده کرد.

### ۱-۱-۵- واحد سنگ آهک‌های سفید متبلور ( $TR_m$ )

آهک‌های خاکستری رنگ کرینوئیدار ( $Mb$ ) در بخش فوقانی به تدریج به یک توالی از آهک‌های سفید - کرم، لایه ضخیم تا توده‌ای و متبلور (مرمریت) به ضخامت تقریباً ۸۰-۱۰۰ متر تبدیل می‌گردد. با توجه به ضخامت زیاد لایه‌ها، رنگ سفید و متبلور بودن این مرمریت‌ها معادن متعددی از جمله معدن سنگ چینی عمارت در این واحد سنگی نعال گردیده است.

### ۵-۱-۲-۱-۵-نهشته های همی پلازیک کرتاسه فوقانی

۵-۱-۲-۱- واحد شیل آهکی (*Csh*) و تناوب ماسه سنگ های آهکی و کالک آرنیت (*L<sub>2</sub>*)  
قطع دره "هرد" این تراوید رسوی را به صورت تناوبی از شیلهای آهکی (*Csh*) و  
ماسه سنگهای آهکی - کالک آرنیتی جلبکی (*L<sub>2</sub>*) نشان می دهد. تراوید رسوی فوق را در  
مسیر روستایی ده بنیاد - گوریچه نیز می توان مشاهده نمود.

واحد *Csh* به صورت یک شیل آهکی خاکستری - سیاه دگرگون شده (اسلیت) و  
متاسیلیستون متناوب با ماسه سنگ های آهکی خاکستری تیره، لایه متوسط تا نازک و واحد  
ساخت رسوی ریل مارک مشخص می شود. بر روی توالی فوق با یک مرز رسوی سنگ  
آهکهای فسیل دار *L<sub>3</sub>* قرار گرفته اند. این مرز تدریجی - رسوی را در مسیر جاده خاکی  
روستای گاو دره به سمت روستای هانه گلان می توان مشاهده کرد. با توجه به وجود نسلهای  
*Calcisphaerula innominata Lata*, *Oligosteginids*, *Hedbergella sp.*  
(*Csh*) سن کرتاسه فوقانی (احتمالاً ماستریشتن) برای این واحد در نظر گرفته می شود.  
واحد *L<sub>2</sub>* تشکیل تناوبی از ماسه سنگ های آهکی به رنگ خاکستری تیره، لایه نازک تا  
متوسط و لامینه با پوسته های فسیل و کالک آرنیت های جلبک دار را می دهد.  
فسلهای *Oligosteginids* و *Hedbergella washitensis* در این واحد گزارش شده است که  
سن کرتاسه فوقانی (کامپانین؟ - ماستریشتن) را نشان می دهد. این توالی یک ضخیم شدنی  
به سمت بالا را نشان می دهد. ضخامت این واحد حدود ۶۰-۷۰ متر است.

### ۵-۱-۲-۴-۵-آهک های فسیل دار (*L<sub>3</sub>*)

این واحد رسوی به صورت تناوبی از آهک های خاکستری روشن - کرم رنگ، لایه  
نازک - متوسط، متبلور و آهک های آرژیاتیتی حاوی فسلهای  
گزارش شده که معرف سن  
*Oligosteginids* و *Hedbergella sp.*, *Globotruncana sp.* (سانتونین - کامپانین) کرتاسه فوقانی می باشد.

### ۵-۱-۳-۱-۵-توربیدیتهای گربناتی کرتاسه فوقانی

#### ۵-۱-۳-۱- واحد شیلهای آهکی و سنگ آهک (*Sh<sub>1</sub>*)

این واحد رسوی مشکل از شیلهای آهکی خاکستری تیره - سیاه، لایه نازک، دگرگون

شده (اسلیت و فیلیت) و سنگ آهک های آرژیلیتی می باشد. بر اساس مطالعات میکروسکوپی نام بیومیکریت را برای آن می توان در نظر گرفت. بر اساس مطالعات فسیل شناسی انجام شده در این واحد، وجود فسیلهای *Globotruncana arca*, *Hedbergella* و *Globotruncana lapparanti tricarinata*, *Globotruncana lapparanti* و *Globotruncana lapparanti* من کامپانین از کرتاسه فوقانی را برای آن پیشنهاد می کند.

#### ۱-۳-۲- ترادف توربیدیتهای آهکی $S_1$ , $S_2$ و $Cg$

این ترادف رسوبی تشکیل توربیدیت های آهکی را می دهد که بیشتر در بخش جنوبی گستره مورد مطالعه بیرون زدگی دارند. بخش اعظم این توربیدیت ها را تناوب ریتمیک منظمی از شیلهای آهکی خاکستری - سبز تیره و خیلی نازک لایه دگرگون شده (اسلیت) و کالک آرنیت های با دانه بندی تدریجی طریق تشکیل می دهد (واحد  $S_1$ ).

این واحد رسوبی به طور جانبی و به تدریج با انزواش ضخامت لایه ها تبدیل به تناوبی مگاریتمیک از کالک آرنیت و آهک های آرژیلیتی، لایه نازک تا متوسط، با ساختمان های رسوبی قالب های وزنی و شکنجه (*Load and Ripple Cast*), لامینه و آثار فسیلهای آب های عمیق به صورت مسئندری (*Planolites-nodosa* و *Helminthopsis*) می گردد. این توالی رسوبی یک ضخیم شدگی و دانه درشت شدن را به سمت بالا (Thickening and Coarsening upward) نشان می دهد.

یک واحد کنگلومراتی کربناتی درون تشکیلاتی (*Intra Formational*), تک دانه ای (*monomictic*) با جور شدگی و گردشگی ضعیف (واحد  $Cg$ ) در متنه ایه جنوب باختری نقشه در توربیدیت های کربناتی گزارش می شود.

#### ۱-۴- ولکانوکلاستیک ها و نهشته های آب های عمیق

##### ۱-۴-۱- واحد شیلهای سیاه سنتندج ( $Sh_2$ )

این واحد از اسلیت و فیلیت های سیاه - خاکستری تیره، فاقد لایه بندی مشخص با یک جلای ابریشمی که از دگرگونی سنگ های آرژیلیتی حاصل گردیده اند، تشکیل شده است. میان لایه هایی از ماسه سنگ های آهکی و آهک های میکریتی سیاه رنگ - خاکستری تیره، لامینه، لایه نازک در بین توالی رسوبی نوق یافت می شود. فسیلهای

، Radiolaria ، Globotruncana of. elevata ، Hedbergella ، digosteginids و Globotruncana sp. با قطعاتی از پوسته های فسیل و جلبک از این ترادف رسوبی (در بین راه گاوآهنتو به زردک) مورد مطالعه قرار گرفته است که سن سونمانین - تورونین؟ از کرتاسه فوقانی را نشان می دهد.

#### ۵-۴-۲- تناوب سنگ های آتشفسانی حد واسط - اسیدی با ماسه سنگ ها، سیلتستون ها و سنگ های آرژیلیتی ( $Sh_v$ )

این واحد رسوبی عمدتاً در بخش های جنوبی چهارگوش مورد مطالعه یافت می شود و بطور تدریجی به واحد  $V_2$  تبدیل می شود. در این واحد رسوبی تناوبی از گدازه های آندزیتی - داسیتی همراه با توفها و شیلهای توفیتی سبز روشن با یک کلیواژ اسلیتی مشاهده می شود. بر اساس مطالعات فسیل شناسی وجود فسیل *Globotruncana sp.* من کرتاسه فوقانی برای آن در نظر گرفته می شود.

#### ۵-۴-۳- واحد سنگ های آتشفسانی و آذرآواری حد واسط - بازیک ( $V_2$ )

گدازه ها و توفهای آندزیتی سبز تیره - خاکستری کرتاسه؟ مشکل از فوکریست های سفید رنگ پلازیوکلاز و قطعات سنگ ها و شیشه های آتشفسانی در توفها بخش اعظم این واحد سنگی را تشکیل می دهند. حفرات این سنگها توسط زئولیت، اپیدوت و کلریت پر شده است.

گدازه های آندزیتی - بازالتی فوق در بعضی نقاط ساخت بالشی نشان می دهند که ابعاد آنها در نزدیکی روستای کوس عنبر به بیش از  $6 \times 1/5$  متر می رسد. در سطح گدازه های فوق یک لایه نازک از شیشه آتشفسانی به رنگ قرمز مشاهده می شود. در برخی مناطق (مجاور روستای علی آباد) قطعاتی از متاچرت به رنگ سبز - خاکستری با یک حاشیه واکنشی سفید رنگ در داخل گدازه ها دیده می شود. این متاچرت ها گاهی تشکیل افهایی با یک لایه بندی لامینه مشخص را بر روی گدازه های با ساخت بالشی می دهد. (جاده خاکی روستای نرگسله). بنا بر اندازه گیری مسطح زیرین گدازه های بالشی در نزدیکی روستای آل دره جهت جریان گدازه در این ناحیه به سمت جنوب خاور پیشنهاد می شود.

در بعضی نقاط در بخش مرکزی گدازه های ضخیم آندزیتی به علت تبادل ملایم

حرارتی و آهسته سرد شدن توده ها یک بانت دانه درشت پیدا کرده و تبدیل به یک میکرودیوریت گردیده است.

#### ۵-۴-۳- واحد ماسه سنگ های گریواکی ( $Sh_3$ )

این واحد از ماسه سنگ های گریواکی تا توفیقی، سبز - خاکستری، دانه متوسط، بالامیناسیون چلپایی ( $X$ - Lamination) لایه نازک و متناسب با اسلیت ها و فیلیت های سبز - خاکستری، با جلای ابریشمی تامات و ساخت مدادی، تشکیل شده است. میان لایه ها وعدسی هایی از سنگ های آهکی رسی و ماسه سنگ های آهکی سبز خاکستری لایه نازک با ساخت های رسوبی شیاری و نشان های ابزار در این واحد مشاهده می شود.

#### ۵-۴-۴- واحد سنگ آهک ( $L$ )

این واحد رسوبی به صورت ورقه رانده ای متشکل از سنگ آهک های خاکستری - کرم رنگ نازک لایه در جنوب ناحیه مورد مطالعه یافت می شود.

#### ۵-۴-۵- ترادف کربناتی فلات قاره

##### ۵-۴-۵-۱- تناوب شیل و آهک های ( $Sh$ , $L$ )

این ترادف رسوبی به صورت تناوبی از سنگ آهک های لامینه لایه متوسط تا توده ای و شیلهای دگرگون شده مشاهده می شود. در زیر خصوصیات این سنگ ها به طور دقیقترا ارائه شده است.

واحد صخره ساز  $L$  اکثرأ به صورت یک سنگ آهک خاکستری تیره - روشن، لایه متوسط تا ضخیم، کارستیک، لامینه ( $Laminated$ )، دارای نودول ها و گرهکهای قبهه ای سوخته چرت و قطعات پوسته فسیل دولومیتی با رگه ها و رگچه های فراوان کلسیت مشاهده می شود. میانه لایه هایی از ماسه سنگ های ارتوکوارنزیتی سبز - خاکستری لایه متوسط در بردارنده دانه های هماتیت و مگنتیت در بین توالی فوق دیده می شود. بر اساس مطالعات فسیل شناسی انجام شده در این واحد وجود فسیلهای *Globotruncana* و قطعات جلبک سن کرتاسه فوقانی تا پالئوزن؟ را می توان برای آن در نظر گرفت.

شیلهای سبز - خاکستری، آرژیلیتی و دگرگون شده (اسلیت)  $Sh$  یک لایه بندی خیلی نازک لایه را با دانه بندی تدریجی نشان می دهد و به طور متناسب با واحد  $L$  دیده می شوند.

### ۵-۶- واحد سنگ‌های رسویی ائوسن (E5)

پایین ترین بخش این واحد رسویی را کنگلومراها و ماسه سنگ‌های قلوه دار قاعده‌ای تشکیل داده که به تدریج به تناوبی از ماسه سنگ، رس سنگ‌های سیلتی، ماسه سنگ‌های آهکی و آهک‌های سیلتی - رسی نومولیت دار تبدیل می‌شود. بالاترین بخش این توالی رسویی را مجدداً تناوبی از کنگلومرا و ماسه سنگ قلوه دار می‌پوشاند. این ماسه سنگ قلوه دار و کنگلومرا ای قاعده‌ای با ساخت‌های رسویی قالب‌های وزنی (*Load Cast*) و دانه‌بندی تدریجی (*Graded Bedding*) به صورت یک کنگلومرای سبز - خاکستری تیره، *Polymictic Extra Formational*، با گردشگی و جورشگی متوسط - ضعیف، ضخیم تا توده‌ای، با قلوه‌های آذرآواری دگرگون شده کرتاسه، گدازه‌های اسیدی حفره دار پالوزوئیک، سنگ مرمرهای سفید رنگ، ماسه سنگهای سبز تیره - خاکستری، دانه درشت، ضعیف تا متوسط لایه، *Lithic gray wake*، با قطعاتی از سنگ‌های آذرآواری دگرگون شده کرتاسه و سیلتستون، رس سنگ‌های سبز - خاکستری، لایه نازک، لامینه با ساخت رسویی دانه‌بندی تدریجی معکوس که یک ساخت مدادی راشان می‌دهد تبدیل می‌شوند. آهک‌های سیلتی - رسی، سبز متمایل به خاکستری تیره، اینترکلست دار به همراه ماسه سنگهای آهکی لایه متوسط آب‌های کم عمق دارای فسیلهای *Nummulites aturicus* و *Operculina sp.* به سن ائوسن میانی با یک مرز تدریجی بر روی توالی فوق قرار گرفته‌اند. بخش فوقانی این واحد رسویی را یک کنگلومرا و ماسه سنگ قلوه دار به ضخامت حدود ۳۰-۴۰ متر با خصوصیات مشابه کنگلومرا ای قاعده این توالی می‌پوشاند. این واحد رسویی با یک ناپوستگی آذرین پی بر روی واحدهای  $V_2$  و  $V^C$  قرار گرفته است.

با توجه به وجود فسیلهای پالئوسن بالای نظری *Globorotalia Veloscoensis*، *Globorotalia of. McKannoii*, *Globorotalia pseudomenavdi*, *Globorotalia aincinata* و *Globigerina sp.* درون قلوه سنگهای آهکی قرمز - بنفش رنگ داخل کنگلومرا ای قاعده ای توالی فوق در نزدیکی روستای بنادچان و فسیلهای موجود در آهک‌های نومولیت دار بخش بالای آنها، سن این ترادف رسویی ائوسن میانی پیشنهاد می‌گردد.

### ۵-۷- نهشته‌های کواترنری

خلاصه بحث فوق به صورت جدول زیر ارائه شده است.

جدول واحدهای سنتگی رختمنون دار در بیرگه ۱۰۰،۰۰۰ با یتچوب.

سن	ستکانس	واحدهای سنتگی
آنسن میانی	رسوپی	کنگلورا، ماسه سنگ، رسن سنگ های سیلتی، ماسه سنگ های آهکی و آهک های رسی، سیلتی نومولیت دار
کرتاسه فوکانی - پالتوژن	رسوپی	شل و آهک
کرتاسه فوکانی	رسوپی - ولکانیک - آذرآواری	ماسه سنگ گریپو اکی، آهک، ماسه سنگ، سیلتستون، ولکانیک های اسیدی - حد واسط و سنگ های آذراواری حد واسط - بازیک
سنومانین - تورونین	رسوپی	شل های سیاه
کامپانین	رسوپی	شل آهکی، آهک و توربیدیت های آهکی
سانتونین - کامپانین	رسوپی	آهک فسیل دار
ماستریشنین	رسوپی	شل آهکی، ماسه سنگ آهکی و کالک آریت
پالشوزوئیک فوکانی - تریاس؟	رسوپی	آهک های خاکستری کربناتید دار و آهک های متبلور سفید رنگ
اردوسین - دونین	رسوپی - دگرگونی	آهک های آرژیلیتی و ماسه سنگ های دگرگون شده
پالشوزوئیک زیرین	ولکانیک های دگرگونی	سنگ های ولکانیکی و گدازه های بازیک دگرگون شده
پالشوزوئیک زیرین	ولکانیک - دگرگونی	سنگ های ولکانیکی و ولکانوکلاستیکی اسیدی دگرگون شده

## ۲-زمین‌شناسی ساختمانی و تکتونیک

امتداد ساختاری عمدت در این ناحیه تحت تأثیر مجموعه گسلهای معکوس - رانده

زاگرس در بخش‌های جنوب و جنوب باختری به صورت شمال باختری - جنوب خاوری می‌باشد که در بخش‌های مرکزی و شمالی به امتداد فرعی شمال خاوری - جنوب باختری و شمالی - جنوبی تبدیل می‌گردد. روندهای ساختاری شمالی - جنوبی و شمال خاوری - جنوب باختری ناحیه مورد مطالعه احتمالاً ناشی از احیاء فعالیت گسلهای پی‌سنگ زاگرس به عنوان روندهای قدیمی شناخته شده در سپر عربستان می‌باشد.

بخش مهمی از لرزه خیزی استانهای کردستان و کرمانشاه مربوط به فعالیت مجموعه گسلهای معکوس رانده زاگرس است (گسل اصلی جوان زاگرس). زمین لرزه‌های دینور (اردیبهشت ۲۹۱ و فروردین ۳۸۷ هش)، دریاچه ایرین (قبل از ۱۲۶۸ هش)، سیلاخور (۱۳۰۷/۱۰/۲)، سنقر کلیایی (۱۳۳۶/۹/۲۲)، نهارند (۱۳۳۷/۵/۲۵) و کنگاور (۱۳۴۲/۱/۴) هش در راستای این گسل روی داده است. به طور کلی در پهنه پیرامون روند بنیادی مجموعه گسلهای معکوس - رانده زاگرس احتمال رویداد زمین لرزه‌های مخرب وجود داشته و لزوم برخورد محتاطانه در طراحی سازه‌ها در این ناحیه، بخصوص در جنوب باختر گستره مورد مطالعه پیشنهاد می‌شود. به طور کلی مجموعه گسلهای رانده منطقه مورد مطالعه به صورت راندگی‌های شکننده تا شکننده - شکل پذیر به همراه توسعه یافتن رگه‌ها و تشکیل سنگهای کاتاکلاستیک و کلیواز سطح راندگی (*Thrust - Plane Cleaveage*) می‌باشد.

واحد سنگی  $\Delta L$  در اثر راندگی‌های فوق، اکثرآ به صورت کلیپ تشکیل ارتفاعات را می‌دهد. تمایل (Vergence) راندگی‌ها اکثرآ از سمت شمال خاور یا باختر به سمت جنوب باختر یا خاور بوده، ولی سنگ آهک‌های پلازیک  $L_1$  تشکیل ورته‌های رانده‌ای با جهت تمایل، از جنوب باختر به شمال خاور در اثر عملکرد گسلهای عقب رانده، (*Back - thrust*) می‌دهند. در ارتفاعات کوه سنگ سفید، آهک‌های  $\Delta L$  تشکیل هورستهای با شیب زیاد را (احتمالاً در یک مجموعه گسلش دوپلکس امتداد لغز با مؤلفه راندگی) می‌دهند. ضمناً گسلهای امتداد لغز راست‌گرد با روند عمومی شمال خاوری - باختر، جنوب باختری باعث جابجایی سایر واحدها شده‌اند (نزدیک روستای دباغ).

چین‌های منطقه مورد مطالعه عمدتاً از نوع چین‌های گسلی بوده و در مقیاس مزوسکوپی مشاهده می‌شوند. چین‌های کینک منفرد و مزدوچ، جعبه‌ای، جناغی و چین‌های

کنگره‌ای (Crenulation Folds) به ویژه در واحدهای آرژیلیتی دگرگون شده یافت می‌شوند. این چین‌های گسلی عموماً دارای زون لولایی نیمه مدور تا جناغی بوده و زاویه بین دویال چین حدود  $60^{\circ}$ - $100^{\circ}$  است. در بعضی نقاط موازی با سطح محوری این چین‌ها، یک کلیواژ فاصله‌ای (Space Clevage) تشکیل شده است. در بعضی نقاط (مجاور روستای هزار کانیان) در تراالف آرژیلیتی در اثر انتقال لایه بندی به سطح ساخت ورقه‌ای، عدسی هائی از واحدهای سنگی مقاوم (واحدهای سنگ نازک لایه) در بین این تراالف‌ها مشاهده می‌شود.

یک نسل درزه‌های کششی با شیب زیاد در جهت عمود بر روند عمومی کمربرند کوهزایی راگرس در سنگهای گسترده مطالعه تشکیل گردیده است. این ساخت ورقه‌ای مشخص در سنگهای دگرگونی پالئوزوئیک - تریاس توسعه یافته است که غالباً با لایه بندی زاویه خیلی کمی می‌سازد. در واحدهای سنگی آرژیلیتی در اثر تلاقی طبقه بندی با ساخت ورقه‌ای، ساخت مدادی به ویژه در واحدهای  $S_1$ ,  $S_{1/2}$  و  $S_{1/2}$  تشکیل گردیده است. تغییرات شدید ساخت ورقه‌ای بیشتر در اثر عملکرد پهنه‌های گسلی و تشکیل چین‌های گسلی می‌باشد. در اثر بررشی شدن سنگهای فوق یک ساخت ورقه‌ای میلونیتی و خطوط کششی تشکیل گردیده است. درون واحدهای گرانیت - گرانودیوریت، میلونیت‌ها و سنگ‌های ولکانوکلاستیک اسیدی دگرگون شده پالئوزوئیک - تریاس بخش شمالی برگه باینچوب خطواره‌های کششی با روند شمال خاوری جنوب باختり و با میل حدود  $40^{\circ}$ - $15^{\circ}$  مشاهده می‌شود. شاخص‌های تعیین جهت برش نظیر پرفیروکلاست‌های فلدسپات و کلسیت یک جهت برش به سمت شمال خاور یا جنوب باخترا نشان می‌دهند.

در دامنه‌های ناپایدار، به ویژه در دامنه‌های شیب دار به سمت شمال، در مناطقی که سطح آب زیرزمینی بالا است (مثلًا حواشی چشمه‌ها) رویداد زمین لرزه (عموماً از نوع چرخشی) و روانگرایی خاک مشاهده می‌شود.

## ۶- بررسی رسوبات رودخانه‌ای در مناطق معتدل

در بررسی رسوبات آبراهه‌ای در مناطق معتدل شرایط آب و هوایی و ژئومرفلوژیکی خاصی که در محیط‌های خشک حاکم است و باعث ناهمگنی ژئوشیمیابی محیط می‌گردند وجود ندارد و در تفسیر تاییج این محیط‌ها کمتر نگران مزاحمت‌های حاصل از آن شرایط

می باشیم. شرایطی که در بالا بحث شد عبارتند از [۲]:

الف - ناهمگنی در ریزش های جوی در مناطق خشک، که می تواند منشأ خطای ارزیابی پتانسیل معدنی این مناطق گردد. در این مناطق بخش قابل ملاحظه ای از ریزش های جوی، به صورت رگبارهای پراکنده صورت می پذیرد که ممکن است همه یک حوضه آبریز را باشد یکسان نپوشاند. در این صورت فوچانی ترین رسوبات کف آبراهه بیشتر منعکس کننده ترکیب شیمیایی آن بخش از حوضه آبریز است که محصولات حاصل از فرسایش آن در آخرین فاز بارندگی از طریق چنین رگبارهایی به بخش های پایین تر حوضه حمل و روی رسوبات قبلی را پوشانده است. بدیهی است اگر چنین بخشی از حوضه آبریز محل توسعه هاله های ژئوشیمیایی اولیه باشد، آنومالی های ثانوی مشتق شده از آن ها قوی خواهد بود (زیرا مواد باطله کمتری با آن مخلوط می شود). ولی اگر چنین بخشی از حوضه آبریز، از مناطق عقیم (بدون هاله اولیه) باشد، که عموماً چنین است در این صورت شدت آنومالی ها در رسوبات سطحی حوضه آبریز کاهش یافته و ممکن است مقدار عنصر وابسته به کانی سازی تا حد مقدار آستانه ای و یا مقدار زمینه تنزل یابد.

ب - ناهمگنی در اندازه ذرات تخریبی که خود معلول تغییر مقدار شدت شستشوی شیمیایی (فرسایش شیمیایی) ذرات سازنده رسوب رودخانه از بخش های مرتفع حوضه آبریز به بخش های میانی و بخش های کم ارتفاع نزدیک دشت هاست. تیجه چنین ناهمگنی احتمال بیشتر ثبت آنومالی های ژئوشیمیایی در بخش های مرتفع تر با فرسایش مکانیکی شدیدتر (تحت شرایط یکسان) می باشد.

ج - اختلاف در احتمال رقیق شدنگی رسوبات حاصل از تخریب مناطق کانی سازی شده از طریق اختلاط با رسوبات حاصل از فرسایش مناطق عقیم در دو بخش فوچانی و تحتانی یک حوضه آبریز نیز می تواند موجب خطا در ارزیابی مناطق امیدبخش گردد، بدیهی است احتمال چنین اختلاطی در بخش های فوچانی یک حوضه آبریز کمتر و در بخش های تحتانی آن بیشتر است.

برای برطرف کردن اثر سوء پدیده های فوق، باید به موازات بررسی های ژئوشیمیایی رسوبات آبراهه ای از روش های دیگر مانند برداشت نمونه های کانی سنگین، برداشت نمونه از زون مینرالیزه، قطعات گوسن آهن دار و زون های آلتره شده نیز اقدام کرد. زیرا چنین

پدیده هایی ممکن است نسبت به بعضی از فلزات کانساری غنی شدگی نشان دهند و یا نشان ای برای کانی سازی احتمالی باشند. در پروره حاضر چنین اقدامات احتیاطی منظور گردیده است تا احتمال وقوع چنین مواردی به حداقل برسد. تنها مشکل حاضر عدم استقلال روش کانی سنگین نسبت به روش ژئوشیمیابی است زیرا به علت محدودیتهای موجود نمونه های کانی سنگین فقط از محل توسعه آنومالی های ژئوشیمیابی ( $1\%$  یا  $2/5\%$  بالای جامعه) برداشت می شود.

همان طوری که ذکر شد در پروره حاضر علاوه بر بررسی های ژئوشیمیابی رسوبات آبراهه ای، برداشت نمونه های کانی سنگین، میترالیزه (از زون های کانی سازی احتمالی) و دگرسان شده در برنامه قرار گرفته است تا از مقایسه نتایج حاصل از آنها بتوان به نتایج مناسبتری دست یافت.

#### ۷- بررسی حوضه های آبریز

به منظور سهولت بخشیدن به طراحی محل نمونه ها و اجرای عملیات مربوطه لازم است در هر حوضه آبریز محدوده آبگیری روی برگه های توپوگرافی  $1:50,000$  منطقه تعیین و مشخص گردد. همچنین تعیین محدوده حوضه های آبریز بر روی هر برگه می تواند در تحلیل داده های مربوط به آن و محدود کردن مناطق آنومالی مفید واقع شود. جهت سهولت در مشخص نمودن محل آنومالی های احتمالی، که پس از تجزیه و تحلیل داده های حاصل از آنالیز نمونه ها به دست خواهد آمد، محدوده حوضه های آبریز در هر یک از برگه های  $1:100,000$  لازم است مورد بررسی قرار گیرد.

## فصل دوم

### نمونه برداری

(موضوع بند ۲ شرح خدمات)

#### ۱- مقدمه

به منظور تشخیص آنمالهای واقعی و تمیز انواعی که به نهشته های کانساری مرتبط می باشند، از سایر انواع آن لازم است تا جزء ثابتی از رسوبات آبراهه ای (برای مثال جزء ۸۰-مش) و یا کانی سنگین (جزء ۲۰-مش) مورد آزمایش قرار گیرد. در مواردی که هاله های ثانوی اکسیدهای آهن و منگنز توسعه یافته اند برداشت نمونه از چنین هاله هایی ممکن است موجب شدت بخشی به هاله های هیدرومرنیکی شود که در این صورت باید احتیاط های لازم جهت تفسیر اطلاعات بدست آمده صورت پذیرد. علاوه بر موارد فوق، در بررسی رسوبات آبراهه ای برداشت نمونه هایی همچون قطعات کانی سازی شده کف آبراهه، قطعات پوشیده شده از اکسیدهای آهن و منگنز، قطعات حاوی سیلیس برای آنالیز یک یا چند عنصر یا کانی خاص، می تواند مفید واقع شود. البته هر یک از محیط های نمونه برداری فوق تحت شرایط خاصی می توانند بیشتر مفید واقع شوند. عواملی که باید در این خصوص در نظر گرفته شوند شامل تیپ کانسار مورد انتظار، سنگ درونگیر، محیط تکتونیکی و دامنه سنی واحد های زمین شناسی می باشد. از ترکیب نتایج بدست آمده، از محیط های مختلف نمونه برداری در حوضه های آبریز، می توان به نتایج مناسبتری دست یافت. در پروژه حاضر نتایج حاصل از این سه نوع بررسی با یکدیگر ترکیب و سپس مدل سازی شده اند و بدین دلیل نتایج نهایی بدست آمده چه در جهت مثبت و چه در جهت منفی می توانند معتبرتر باشد. کلیه نتایج بدست آمده از هر یک از روش های فوق تشکیل یک سیستم اطلاعاتی با امکانات حذف و انتخاب مکرر مناطق امید بخش را می دهد که براساس سازگاری و ناسازگاری خواص مشاهده شده در مدل انجام می پذیرد و از این رو امکان بروز خطاهای ناهنجار در آن کمتر است. بطور کلی چگالی نمونه برداری از رسوبات آبراهه ای، نتایج دانسته آبراهه ها در حوضه آبریز است. برای مناطق معتمد مانند منطقه تحت پوشش پروژه حاضر این مقدار می تواند

یک نمونه برای ۱ تا چندین کیلومتر مربع در نظر گرفته شود. در پروژه حاضر با توجه به تعداد متوسط ۸۰۰ نمونه برای هر برگه  $1:100,000$  (معادل ۲۰۰ نمونه در هر برگه  $1:50,000$ )، مساحت تحت پوشش یک نمونه بطور متوسط حدود ۳ کیلومتر مربع می باشد. برای استفاده بهینه از داده های حاصل از هر نمونه سعی شده است تا توزیع نمونه ها حتی الامکان به روش مرکز ثقل حوضه های آبریز باشد. البته اینکه قطاع تحت پوشش هر نمونه وضعیت مناسبی برای تخمین شبکه ای داشته باشد نیز در انتخاب محل نمونه ها موثر بوده است.

از آنجا که عناصر مختلف در محیط های ثانوی قابلیت تحرک متفاوتی از خود نشان می دهند، بزرگی هاله های ثانوی آنها (فاصله از ناحیه منشاء) می تواند بر حسب شرایط محیطی بسیار متفاوت باشد. حتی گاهی برای یک عنصر در دو شرایط متفاوت، وسعت هاله متفاوت خواهد بود. برای مثال هاله های  $Z_{II}$  ممکن است بر حسب شرایط محیط از حدود ۱ کیلومتر تا حدود ۱۵ کیلومتر و هاله های  $C_{II}$  از  $1/5$  کیلومتر تا حدود ۲۵ کیلومتر از ناحیه منشاء دور شوند.

## ۲- عوامل مؤثر در طراحی نمونه برداری (موضوع بند ۱-۲ شرح خدمات).

طراحی نمونه برداری طوری صورت گرفته است که در قالب حدود ۸۰۰ نمونه برای هر برگه حداکثر سازگاری را با روش مرکز ثقل داشته باشد ( $2/3$ ). درجه مرکز ثقل را عواملی نظیر چینه شناسی، سنگ شناسی و تکتونیک کنترل می کند. معمولاً در طراحی به روش مرکز ثقل توده های نفوذی و خروجی و نواحی مجاور آنها (کن tact)، نواحی اطراف گسلها و تقاطع آنها، زونهای دگرسان شده بعد از ماقمابی و مناطقی که در بخش فوقانی توده های نفوذی نیمه عمیق قرار دارند (این توده ها از روی نتشه زئوفیزیک هوا بی مشخص می شوند) به علت پتانسیل معدنی بالاتر از چگالی نمونه برداری بالاتری برخوردار می باشند. معمولاً آبراهه هایی که بوسیله گسلهای عمیق تعیین شده به روش زئوفیزیک هوا بی قطع می شوند، ۵۰ متر پائین تر از محل تلاقی آبراهه با گسل مورد نمونه برداری قرار می گیرند. در مواردی که آلتراسیونهای شدید مشاهده شده است، بخصوص در اطراف سنگهای نفوذی یا خروجی موجود در نواحی کم ارتفاع (این نواحی بیشترین مقدار آلتراسیون را چه از نظر وسعت و چه از نظر شدت نشان می دهند)، درجه مرکز ثقل آبراهه ها باید بطور محلی افزایش یابد. این امر به دلیل اهمیت چنین مناطقی می باشد. به دلیل فعل بودن پدیده رقیق شدنگی و اثر

سرشکن شدگی در حوضه های آبریز وسیع (با بیش از ۳۰ سرشاخه که از مشخصات بارز حوضه های این محدوده است) و کاهش شدت آنومالیهای احتمالی در محل اتصال آبراهه ها به یکدیگر لازم است چنین حوضه های آبریزی بخصوص در مواردی که آبراهه سنگ بستر را قطع نمی کند به حوضه های کوچکتر تقسیم گردد. این امر موجب می گردد تا اختلاط رسوبات از آبراهه های مرتبط با کانی سازی احتمالی با آبراهه های بدون کانی سازی موجب تضعیف بیش از حد شدت آنومالیها و ارزیابی منفی آنها نگردد. به علاوه این امر موجب می گردد تا احتمال قطع سنگ بستر در آبراهه افزایش یابد و این امر خود موجب افزایش ارزش داده های گردد. علاوه بر عوامل فوق، یکی دیگر از عوامل مؤثر در تصمیم گیری تقسیم یک حوضه آبریز بزرگ به حوضه های کوچکتر، احتمال وجود آلودگیهای ناشی از فعالیتهای کشاورزی در حاشیه رودخانه هایی است که نواحی با توپوگرافی آرام (قابل کشت) در اطراف آنها وجود داشته است. بدیهی است مصرف کودهای شیمیایی و سموم نباتی احتمال وجود آلودگی به عناصر کمیاب را در رسوبات پائین دست آنها افزایش میدهد. در چنین مواردی که در این منطقه فراوان یافت می شود فقط مرکز ثقل بخشهای فوکانی آنها، که از آلودگی مصون می باشد، می تواند محاسبه گردد. محدوده مورد بررسی را از نظر توپوگرافی می توان به سه بخش شامل نواحی مرتفع (با ارتفاع بالای ۲۸۰۰ متر)، نواحی با ارتفاع متوسط (با ارتفاع ۲۸۰۰ - ۲۲۰۰ متر)، نواحی کم ارتفاع (با ارتفاع ۲۲۰۰ - ۱۷۰۰ متر که شامل دشت های مرتفع است) تقسیم نمود. در نواحی بسیار مرتفع در موارد معدودی به دلیل وجود گستگی در ارتفاع (آبشار) امکان دسترسی به محل نمونه نبوده است. در چنین مواردی حتی الامکان سعی شده است به برداشت نمونه از نزدیکترین نقطه اقدام گردد. مواردی وجود داشته است که در آن کنتورهای توپوگرافی با عوارض موجود در زمین مطابقت داشته ولی به دلیل دقت کم نقشه های توپوگرافی، آبراهه روی آن مشخص نگردیده است. در چنین مواردی ابتدا این آبراهه ها روی نقشه بطور دستی ترسیم و سپس در تعیین نقاط نمونه برداری مورد استفاده قرار گرفت.

### ۳- عملیات نمونه برداری (موضوع بند ۲-۲ شرح خدمات).

نظر به وسعت فوق العاده، زیاد منطقه تحت پوشش اکتشاف ژئوشیمیایی در مقیاس ۱:۱۰۰،۰۰۰، لازم است محیط های ثانوی تحت پوشش نمونه برداری قرار گیرند. اساس این

مطالعات بر نحوه توزیع عناصر در هاله‌های ثانوی سطحی به خصوص رسوبات رودخانه‌ای و خاکها قرار دارد. در این بخش تنها به تشریح عملیات صحرایی در این پروره اشاره می‌گردد. در خلال این عملیات یازده اکیپ کارشناس در یک کمپ واقع در دیواندره شرکت داشته‌اند. در این عملیات هر اکیپ عموماً دارای وسیله نقلیه مخصوص به خود، نقشه‌های توپوگرافی با محل نمونه‌های از پیش تعیین شده، نقشه زمین‌شناسی ۱:۲۵۰،۰۰۰ محل و دستگاه موقعیت یاب جغرافیائی (GPS) بوده است. هر نمونه ژئوشیمیایی مشکل از حدود ۱۰۰ تا ۲۰۰ گرم جزء ۸۰ - مش رسوبات آبراهه‌ای می‌باشد که پس از الک‌کردن رسوب خشک در محل درون کیسه‌های پلاستیکی نو ریخته شده و شماره‌گذاری گردیده است. در مواردی که رسوبات را به علت نم داربودن نمی‌شد در صحراء الک کرد، حدود ۵ کیلوگرم از آن به محل کمپ آورده شده و پس از خشک کردن در هوای آزاد والک‌کردن، جزء ۸۰ - مش از آنها جدا شده است. لازم به تذکر است که هر محلی که نمونه برداری می‌شد در محل نمونه در جایی که به آسانی بتوان آن را پیدا کرد و عوامل آب و هوایی تواند روی آن تأثیر زیادی داشته باشد شماره صحرایی نمونه با رنگ روی سنگ نوشته می‌شد تا امکان کنترل محل وجود داشته باشد. هر اکیپ نمونه برداری برای نمونه‌های برداشت شده، شماره مسلسل انتخاب و در کمپ با هماهنگی با اکیپ‌های دیگر شماره نمونه‌های خود را به یک سیستم شماره‌گذاری واحد با شماره سریال منفرد تبدیل می‌نموده اند که روی نقشه نمونه برداری (۱:۱۰۰،۰۰۰) مشخص گردیده است. محل نمونه‌های برداشت شده به همراه شماره مسلسل نهایی در کمپ، بر روی یک نقشه واحد پیاده می‌شده است. نقاط نمونه برداری شده در برگه ۱:۱۰۰،۰۰۰ باینچوب در نقشه شماره ۱ نشان داده شده است. راهنمای نقشه علامت بکار رفته در هر نقشه را تعریف می‌کند. نمونه‌های برداشت شده (محل و شماره آن‌ها) در کمپ دوباره کنترل می‌شده است. این عمل از طریق مقایسه کردن با لیست هایی که قبل تهیه گردیده بود انجام می‌شده است. این کار یک مرتبه پس از حمل نمونه‌ها به کمپ و بطور روزانه انجام می‌شده و باز دیگر در خاتمه عملیات انجام گردیده است. لازم به توضیح است که ۸۰۶ نمونه در این برگه ۱:۱۰۰،۰۰۰ برداشت شده است. در شماره‌گذاری نمونه‌ها از یک گُد پنج رقمی استفاده گردیده است. این گُد مشکل از دو حرف و یک عدد حداقل سه رقمی است. اولین حرف از سمت چپ هر گُد معرف اولین حرف از برگه ۱:۱۰۰،۰۰۰ مربوطه می‌باشد (حرف B برای باینچوب)، دومین حرف نمایانگر حرف اول برگه ۱:۵۰،۰۰۰ مربوط می‌باشد. هر برگه

۱:۱۰۰،۰۰۰ شامل چهار برگه ۱:۵،۰۰۰ است که در این عملیات از حروف زیر برای مشخص کردن آنها استفاده شده است. برگه ۱:۱۰۰،۰۰۰ با یانچوب: هزار کائیان (BH)، ۱:۱۰۰،۰۰۰ با یانچوب: BB، اسلام دشت (BE)، بست (BT). در این برگه ۱:۱۰۰،۰۰۰ از ترکیبات دو حرفی فوق در اول کد پنج رقمی هر نمونه استفاده شده است. نمونه هایی که به حرف H ختم می شوند، معرف نمونه های کائی سنتگین می باشند. نمونه هایی که به حرف A و M ختم می شوند به ترتیب معرف نمونه های دگرسان شده و میزرازیزه احتمالی می باشند که در مرحله کنترل آنومالی ها در محل مناطق آنومال برداشت شده اند.

#### ۴-آماده سازی نمونه ها (موضوع بند ۳ شرح خدمات)

کلیه ۸۰۶ نمونه برداشت شده ژئوشیمیایی پس از کنترل کیفیت شماره سریال آن ها تحويل آزمایشگاه شرکت گردید تا آماده سازی آن ها صورت گیرد. وزن نمونه ها بیش از ۱۰۰ گرم بوده است و با توجه به این که قطر ذرات نمونه کمتر از ۸۰ میلی متر بوده است و بیشتر از ۲۳۸۶۹ ذره در هر گرم آن موجود می باشد، لذا تقسیم نمونه ها و برداشت زیر نمونه های آزمایشگاهی به وزن ۳۰۰ میلی گرم از آن با کمتر از ۸۰۰ ذره بدرن خطنا نمی باشد (زیرا دارای کمتر از ۱۰۰۰۰ ذره است). منشاء این خطنا در احتمال وجود ناهمگنی بین ذره ای (ترکیبی) و درون ذره ای (توزیعی) ذرات تشکیل دهنده نمونه است. بنابراین مناسب تر آن است که برای کاهش خطاهای احتمالی در جدایش یک زیر نمونه ۳۰۰ میلی گرمی از نمونه اصلی تعداد ذرات موجود در آن را از طریق خردایش افزایش دهیم. اگر ذرات نمونه را تا ۲۰۰-۲۰۰ میلی گرمی در هر گرم آن بیش از ۳۷۲۹۵۳ ذره موجود خواهد بود و بنابراین در برداشت زیر نمونه های ۳۰۰ میلی گرمی (در آن بیش از ۱۰۰،۰۰۰ ذره وجود خواهد داشت) با خطای قابل قبولی رویرو خواهیم بود.

#### ۵-آنالیز نمونه های ژئوشیمیایی (موضوع بند ۴ شرح خدمات)

کلیه نمونه های ژئوشیمیایی پس از برداشت، آماده سازی (پس از خردایش تا ۲۰۰-مش) شدند، کار آنالیز ۱۰ عنصر (Pb، Ba، Zn، Ni، Co، Cr، Be، Mn) در آزمایشگاه اسپکترومتری سازمان زمین شناسی کشور و ۱۰ عنصر دیگر (Hg، Bi، Sb، As) در آزمایشگاه شرکت توسعه علوم زمین انجام شد. لیست

عناصر مورد تجزیه همراه با حد حساسیت (حد قابل ثبت) در روش تجزیه ای به کار رفته، در جدول زیر ارائه می گردد. این حدود حساسیت برای تعدادی عناصر ( $Co$ ،  $Zn$ ،  $Pb$  و ...) بیشتر از مقدار مورد انتظار است. لازم به ذکر است که محاسبات خطای آنالیز شیمیایی و کانی سنگین این برگه همراه برگه های تیزیز و کامیاران در گزارش برگه کامیاران آمده است.

جدول روش تجزیه عناصر نمونه های باینچوب همراه با حد قابل ثبت آزمایشگاه  
(مقادیر بر حسب گرم در تن است).

ردیف	عنصر	ردیف	عنصر	حد قابل ثبت	روش تجزیه	ردیف	عنصر	ردیف	عنصر
۷۵	<i>ICP</i>	۱۱	<i>Ti</i>	۵	اسپکترومتری نشری	۱	<i>Cu</i>	۱	
۴۰	<i>ICP</i>	۱۲	<i>Mn</i>	۱۰	<i>ICP</i>	۲	<i>Pb</i>		
۴۰	<i>ICP</i>	۱۳	<i>Ba</i>	۴۰	<i>ICP</i>	۳	<i>Zn</i>		
۱	جذب اتمی	۱۴	<i>As</i>	۰/۰۵	اسپکترومتری نشری	۴	<i>Ag</i>		
۰/۵	جذب اتمی	۱۵	<i>Sb</i>	۲	اسپکترومتری نشری	۵	<i>Sn</i>		
۰/۱	جذب اتمی	۱۶	<i>Bi</i>	۱۰	<i>ICP</i>	۶	<i>B</i>		
۰/۰۵	جذب اتمی	۱۷	<i>Hg</i>	۱۶	<i>ICP</i>	۷	<i>Co</i>		
۱	پلاروگرافی	۱۸	<i>W</i>	۱۰	<i>ICP</i>	۸	<i>Ni</i>		
۱	پلاروگرافی	۱۹	<i>Mo</i>	۲۰	<i>ICP</i>	۹	<i>Cr</i>		
۰/۰۰۳	ایستادا سبلیط شیمیایی بدم اسپکترومتری نشری	۲۰	<i>Au</i> *	۲	<i>ICP</i>	۱۰	<i>Be</i>		

\* - نمونه های دارای مقدار بیش از  $31 \text{ ppb}$  طلا با روش جذب اتمی مجدداً مورد اندازه گیری فوار گرفته اند در ضمن وزن زیر نمونه های طلا  $11 \text{ گرم}$  می باشد.

## فصل سوم

### نقش سنگ بستر

(موضوع بند ۵ شرح خدمات)

#### ۱- جدایش جوامع سنگی

یکی از اساسی ترین فرضهای لازم برای تحلیل صحیح مقدار متغیرها در جوامع ژئوشیمیائی، همگن بودن آنهاست (یک جامعه بودن) و هرگونه انحراف در صحت چنین فرضی می‌تواند کم و بیش موجب انحرافاتی در تحلیل داده‌ها گردد و نهایتاً به نتایج ناصحیح گمراه‌کننده‌ای منجر شود. یکی از متغیرهای محیط‌های سطحی که می‌تواند موجب ناهمگنی در جامعه ژئوشیمیائی گردد، نوع سنگ بستر رخنمون دار است که نقش منشأ را برای رسوبات حاصل از فرسایش آنها ایفا می‌کند. از آنجاکه تغییرات لیتولوژی در ناحیه منشأ رسوبات آبراهه‌ای می‌تواند زیاد باشد و از طرفی مقادیر زمینه عناصر مورد بررسی در این سنگها تا چندین برابر ممکن است تغییر کند، بنابراین فاکتور تغییرات لیتولوژی در ناحیه منشأ رسوبات، بنظر می‌رسد یکی از مهمترین عوامل ایجاد ناهمگنی در جامعه نمونه‌های ژئوشیمیائی باشد. بدین لحاظ در این گزارش سعی شده تا پردازش داده‌ها برای جوامع مختلف نمونه‌های ژئوشیمیائی، صورت پذیرد. از آنجاکه هر رسوب آبراهه‌ای فقط از سنگهای بالا دست مشتق می‌شود، تقسیم‌بندی این جوامع براساس نوع یا انواع سنگ پسترهای رخنموندار موجود در بخش بالا دست محل هر نمونه با توجه به نقشه زمین‌شناسی ۱۰۱، ۱۰۱، ۱۰۱ باین‌چوب صورت پذیرفته است. با توجه به نقشه زمین‌شناسی و موقعیت هر نمونه، کل جامعه نمونه‌های مورد بحث در این برگه به زیر جوامع زیر تقسیم یافته است.

#### ۱-۱- رده‌بندی نمونه‌ها بر اساس تعداد سنگ‌های بالا دست

(موضوع بند ۵-۱ شرح خدمات)

در زیر رده‌بندی نمونه‌ها بر حسب تعداد سنگ بالا دست، آورده شده است:

- الف - زیر جامعه تک سنگی: ۱۶۶ نمونه (در هفت تیپ سنگ مختلف)
- ب - زیر جامعه دو سنگی: ۲۴۰ نمونه (در هیجده تیپ مجموعه دو سنگی)
- ج - زیر جامعه سه سنگی: ۲۳۸ نمونه (شامل بیست و سه تیپ مجموعه سه سنگی)
- د - زیر جامعه بیش از سه سنگی: ۱۶۲ نمونه

زیر جامعه تک سنگی شامل آن دسته از نمونه های ژئوشیمیائی است که در بالا دست محل برداشت نمونه در حوضه آبریز مربوطه، فقط یک نوع سنگ بستر رخمنون داشته است. عبارت دیگر منشأ این رسوبات آبراهه ای فقط یک نوع سنگ است. زیر جامعه دو سنگی از مجموع نمونه های ژئوشیمیائی تشکیل یافته است که در بالا دست محل برداشت آنها، دونوع سنگ بستر در حوضه آبریز مربوطه رخمنون داشته است. زیر جامعه سه سنگی از مجموع نمونه های ژئوشیمیائی تشکیل یافته است که در بالا دست محل برداشت آنها سه نوع سنگ بستر های رخمنون دار در بالا دست محل یک نمونه حداکثر به عدد هشت می رسد (لازم به توضیح است علت این که تعداد سنگ بستر های رخمنون دار در بالا دست محل بعضی از نمونه ها حتی به عدد هشت رسیده است، این است که این نمونه ها از رودخانه های اصلی برداشت شده اند که وسیع بوده و دارای سرشاره های زیادی هستند).

## ۱-۲- ردیف بندی نمونه ها بر اساس نوع سنگ های بالا دست (موضوع بند ۲-۵ شرح خدمات)

تقسیم بندی بر اساس نوع سنگ بالا دست هر نمونه در حوضه های آبریز در پردازش داد، ها از آن جهت اهمیت دارد که ما اجازه می دهد تا در هنگام محاسبه مقدار زمینه و حد آستانه ای برای هر محیط مشابه از نقطه نظر سنگ بالا دست هر نمونه که نقش منشأ آنها را به عهد، دارد به طور جداگانه عمل کرده و از این طریق به درجه همگنی جامعه مورد بررسی کمک کنیم. از آن جا که مقدار هر عنصر در نمونه دو مؤلفه سنتزیک (مرتب با پدیده های سنگ زایی) و اپی ژنتیک (مرتب با پدیده های کانی سازی) را دارا می باشد، از این طریق می توان به خنثی سازی اثر مؤلفه سنتزیک کمک کرد. علامت اختصاری به کار برده شده برای تعیین جنس سنگ ها بر اساس نقشه زمین شناسی ۱:۱۰۰،۰۰۰ با یافچوب بوده است و معادل آن ها در جدول (۳-۱) آورده شده است.

جدول (۳): علام اختصاری و خلاصه سازی مرحله اول نوع سنگ‌های بالا دست نمونه‌های رُثُوشیمیابی برداشت شده از رسوبات آبراهه‌ای بر اساس نقشه زمین‌شناسی ۱:۱۰۰،۰۰۰ باینچوب.

علام اختصاری و اعدادی سنگی در نقشه	توصیف ولدهای سنگی نقشه	علام انتخاب شده
$V_m^c G_m$	ولکانیک‌های اسیدی	$Av$
$Kv, Ev, Evt, Ky, Gs$	ولکانیک‌های حد واسط	$Inv$
$Mb, KI_4, TRm, L_5, L_4, L_3$	سنگ‌های کربناتی	$Car$
$S_m, KIs, KIsl, K_2l, K_4l$ $Kp_1, Kp_3, PE, PEI$ $Csh, L_2, L_1, S_1, S_2$	اسلیت، فیلیت، متاسدستون، آرژیلیت‌های دگرگون شده	$Ccs$
$E_1S, E_2S$	سنگ‌های رسوبی آواری متوسط تا درشت دانه	$Cgs$
$Sh_2, Sh_1, Sh_3$	سنگ‌های رسوبی آواری متوسط تا ریز دانه	$Fgs$
$Vcg$	ولکانوکلاستیک‌های ریولیتی تا ریوداسپتی همراه با نفوذی‌های گرانیتی و گرانودیریتی	$Vcg$
$Qt$	آبرفت‌های کارنر	$Qt$

شکل ۱-۳ هیستوگرام توزیع فراوانی نمونه‌های رُثُوشیمیابی را بر اساس تعداد سنگ بالا دست آنها برای برگه ۱:۱۰۰،۰۰۰ باینچوب نشان می‌دهد. چنانچه ملاحظه می‌شود نمونه‌های جوامع دو سنگی و سه سنگی به ترتیب با فراوانی ۸/۲۹٪ و ۵/۲۹٪ از کل نمونه‌ها بیشترین فراوانی را دارند و این امر معرف آن است که به ظاهر در مناطقی که آبراهه‌ها چندان چندان طویل نبوده اند ناهمگنی لیتلولوژیکی وجود دارد. شکل ۲-۳ هیستوگرام توزیع فراوانی نمونه‌های تک سنگی را با نمایش نوع سنگ بالا دست آنها برای برگه ۱:۱۰۰،۰۰۰ باینچوب نشان می‌دهد. چنانچه ملاحظه می‌گردد در بین جوامع تکسنگی واحد لیتلولوژیکی ( $Inv$ ) (ولکانیک‌های حد واسط) از سایر واحد‌گسترش بیشتری دارد و حدود نیمی از نمونه‌های دارای یک نوع سنگ بالا دست را به خود اختصاص می‌دهد. بعد از آن واحد لیتلولوژیکی ( $Ccs$ ) (اسلیت، فیلیت، متاسدستون، آرژیلیت‌های دگرگون شده) بیشترین گسترش را دارا می‌باشد. تقریباً کمترین گسترش را واحد  $Qt$  دارا می‌باشد و این نشان‌گر آن است که در سطح این برگه اکثر آبراهه‌ها سنگ بستر را قطع نموده‌اند. شکل ۳-۳ هیستوگرام توزیع

فراوانی نمونه های وابسته به محیط های دو سنگی را (با نمایش نوع سنگ بالادست آنها) برای این برگه نشان می دهد. چنان چه ملاحظه می گردد جامعه های دو سنگی  $F_{Gy}-I_{Mv}$  (رسوبات آواری دانه ریز تا متوسط - ولکانیکهای اسیدی) و  $I_{Mv}-Q_{t}$  (ولکانیکهای اسیدی - رسوبات کواترنر) به ترتیب بیشترین گسترش را دارند. جامعه دو سنگی  $V_{Cg}-F_{Gy}$  (ولکانوکلاستیک های ریولیتی تا ریوداستی همراه فنوذی های گرانیتی و گرانودیوریتی - رسوبات آواری متوسط تا ریز دانه) کمترین گسترش را دارند.

## ۲- نقش سنگ بستر در ارزیابی مقدار زمینه و حد آستانه‌ای

### ۲-۱- نقش سنگ بستر در ایجاد آنومالیهای کاذب

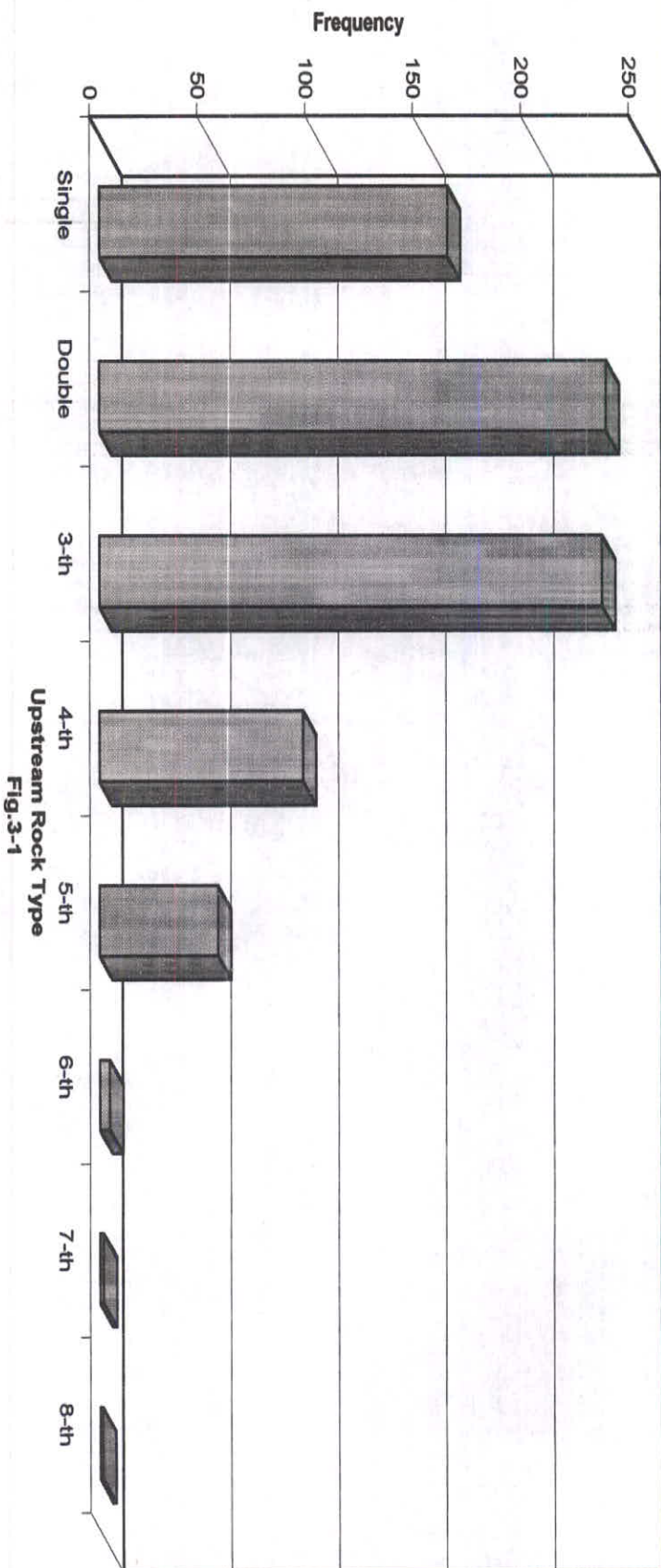
از آنجاکه مقدار اندازه گیری شده هر عنصر در سنگ و یا رسوب آبراهه را می توان به دو مؤلفه سنتزتیک (وابسته به زیش سنگ) و اپی ژنتیک (وابسته به کانی سازی احتمالی) تقسیم کرد، لذا بعضی از آنومالیهای ژئوشیمیائی در ارتباط با کانی سازی نبوده، بلکه تغییرات لیتلولژی آنها را ایجاد می کند. عناصری که با سنگهای فلزیک بیشتر همراه می باشند و مؤلفه های سنتزتیک بزرگتری دارند و از این رو ممکن است آنومالیهای دروغین ایجاد کنند، شامل  $Be$ ،  $Ba$ ،  $Pb$  و  $Sr$  می باشند که به صورت محلول جامد در کانی های سازنده سنگ مانند فلدسپاتها و میکاها جای می گیرند.

در مورد سنگهای رسوبی باید توجه داشت که در حوضه های آبریز دو نوع سنگ رسوبی ایجاد مشکل می کنند. یکی سنگهای آهکی و دولومیتی است که در آنها جزء کانی سنگین ممکن است از باریت، سلسیتین و آپاتیت غنی باشد در حالی که سایر کانیهای سنگین آن قدر کم یافته می شوند که ممکن است مورد استفاده ای نداشته باشند. مورد دوم شیلها، بخصوص شیلهای سیاه رنگ غنی از مواد آلی هستند که در آنها مقدار زمینه تعداد زیادی از عناصر کانساری بالاست و در تیجه پتانسیل زیادی برای تولید آنومالیهای دروغین دارند. چنین شیل هایی در این منطقه ممکن است به صورت فیلیت ها و اسلیت ها ظاهر شوند که تبلور دوباره یافته اند.

### ۲-۲- تغییرپذیری سنگ بستر بالادست

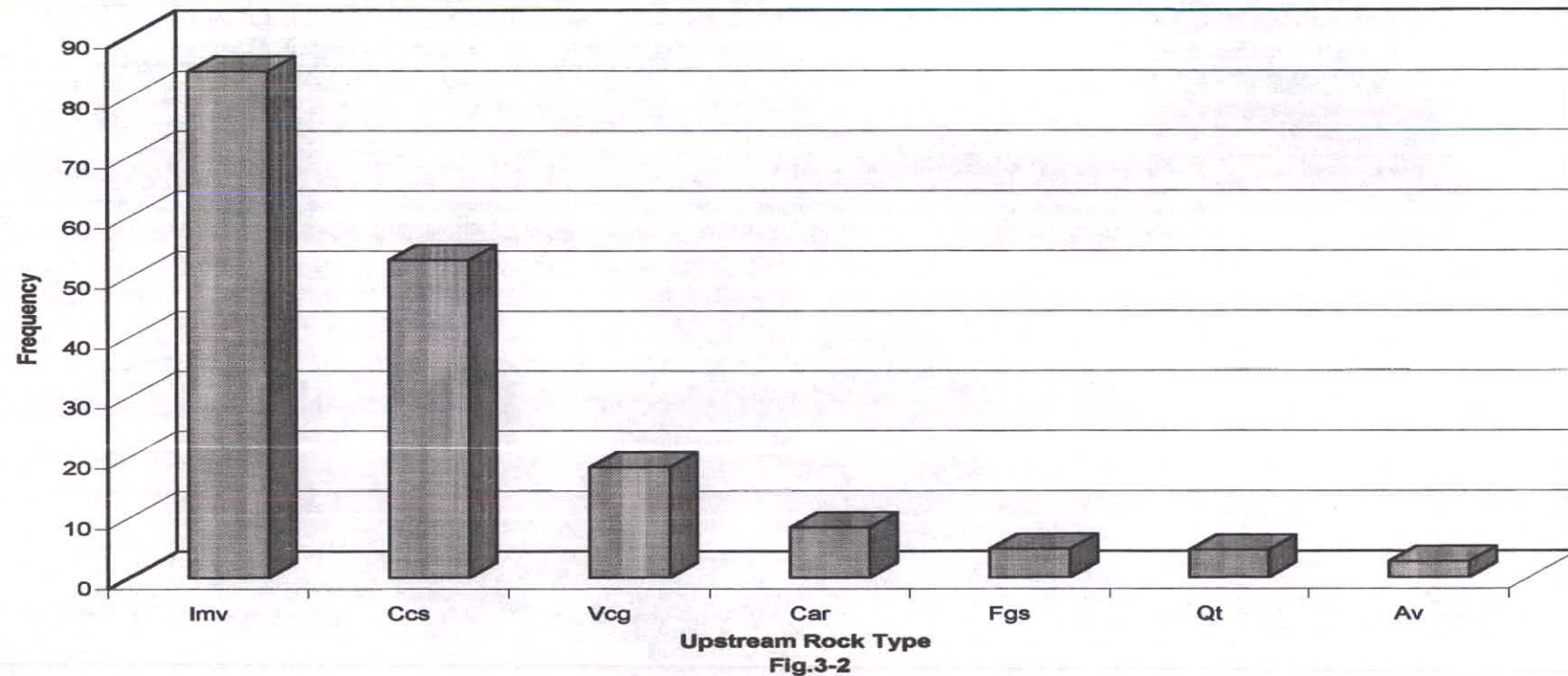
از آنجاکه طبق شرح خدمات می باشیست سنگ بستر رخمنون دار واقع در بالادست

**Histogram of Distribution of the Upstream Total Rock Types for the Stream Sediment Samples in  
Bayenhub 1/100,000 Sheet**



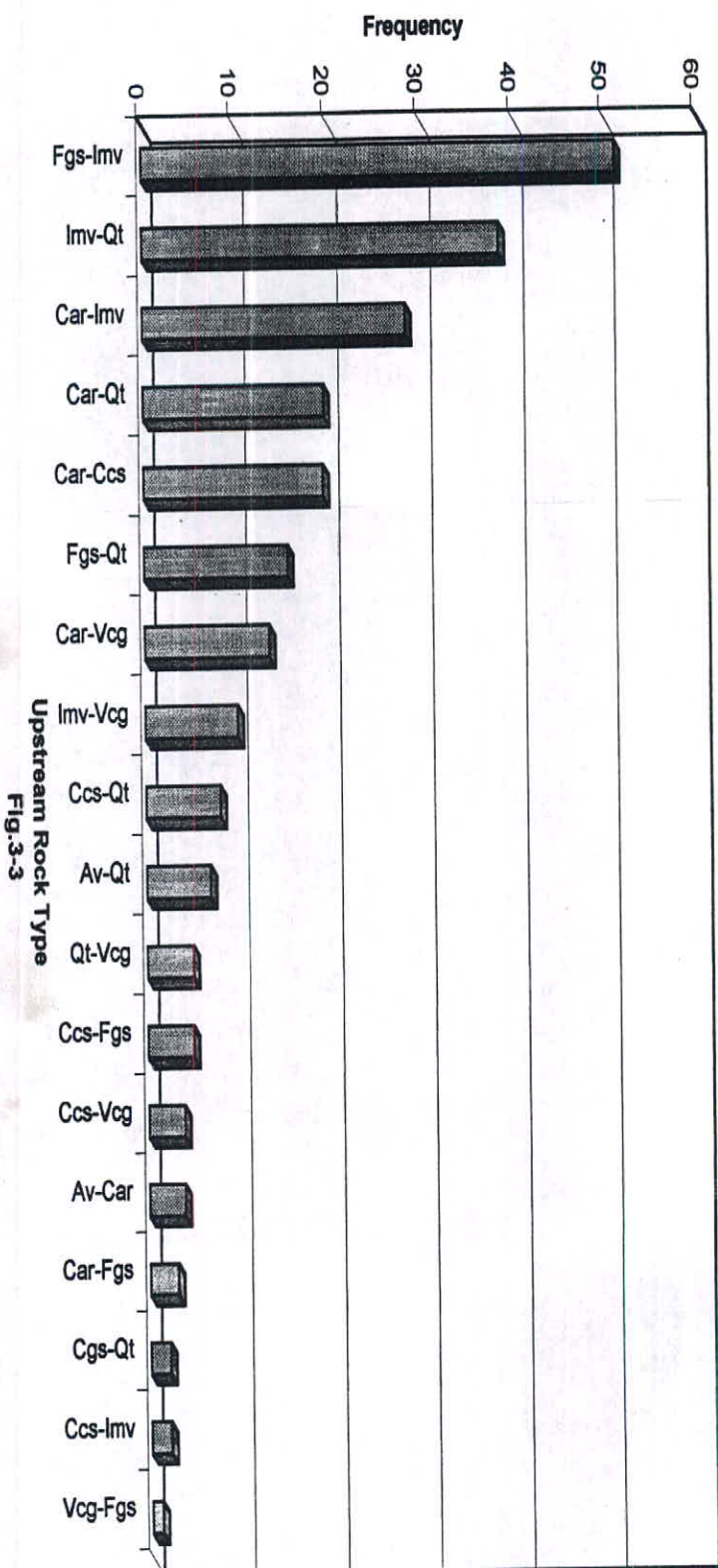
**Fig.3-1**

**Histogram of Distribution of the Upstream Single Rock Type for the Stream Sediment Samples in Bayenhub 1/100,000 Sheet**



**Fig.3-2**

**Histogram of Distribution of the Upstream Double Rock Types for the Stream Sediment Samples in Bayenchenhub 1/100,000 Sheet**



نمونه های برداشت شده از رسوبات آبراهه ای در محدوده هر یک از برگه های ۱:۱۰۰،۰۰۰ مورد بررسی قرار گیرد، به تفکیک نوع سنگها در مسیر آبراهه های بالا دست در حوضه آبریز، (مطابق نقشه زمین شناسی مقدماتی ۱:۱۰۰،۰۰۰ باینچوب) اقدام گردید. تفکیک نوع سنگ هادر مسیر آبراهه ها موجب می گردد تا نمونه های متعلق به هر جامعه از سنگهای بالا دست در حد امکان همگن و از نظر آماری امکان بررسی آنها تحت عنوان یک جامعه به وجود آید. البته این امکان نیز وجود دارد که از طریق آنالیز فاکتوری بتوان اثرات نامطلوب سنگ بالا دست را اختشی کرد ولی ترجیح داده می شود که جدایش جوامع سنگی و خنثی سازی اثر سنگ بالا دست که همان مؤلفه سنتزیک تغییرپذیری است از طریق نقشه های زمین شناسی انجام گردد تا امکان کنترل آن با روش های ناکتوری فراهم گردد.

### ۲-۳-بررسی مقادیر کلارک سنگهای رخمنوندار در منطقه

(موضوع بند ۳-۵ شرح خدمات)

تیپ سنگهای موجود در منطقه تحت پوشش در دو مرحله مورد مشابه سازی قرار گرفته اند. در مرحله اول عمدتاً عامل زمانی مؤثر نمی باشد. بدین معنی که اگر سنگ بالا دست رخمنون دار در آبراهه از جنس آنک است، این که آنک متعلق به پالئوزوئیک و یا کرتاسه باشد، اثری در طبقه بندي نداشته و هر دو عنوان یک جامعه سنگ بالا دست مورد بررسی قرار می گیرند. علت این که گاهی نمی توان تفکیکهای زمانی روی سنگهای مشابه انجام داد آن است که در نهایت تعداد جوامع سنگی بالا دست آنقدر افزایش خواهد یافت که در هر جامعه فقط چند نمونه ممکن است یافته شود که تحلیل آماری روی آنها خطای بیشتری تولید خواهد کرد و این امر موجب کاهش شدید دقت تخمينهای بعدی خواهد شد.

مرحله دوم شامل نسبت دادن هر یک از کلاسهاي فوق به رده معينی از سنگهاي آذرين، دگرگونی و يا رسوبی است که حتی الامکان داده های جهانی آنها مورد مطالعه قرار گرفته و در دسترس می باشد. جدول ۲-۳ تاییج این کار را نشان می دهد.

جدول ۳-۳ مقدار فراوانی عناصر مورد بررسی را در سه تیپ سنگ رسوبی و سه تیپ سنگ آذرين با گسترش نسبتاً زياد در منطقه نشان می دهد. از اين نقطه نظر، اکثر عناصر نسبت به سنگ بستر رخمنون دار در حوضه آبریز حساسیت نشان می دهند. بیشترین حساسیت از آن کیالت با ضریب ۴۸۰ (ماکریم مقدار آن در سنگهای بازیک و حداقل آن در

سنگهای کربناتی است) و سپس مس (۸۷)، بریلیوم (۷۵)، نیکل (۶۵) بُر (۲۰) و گُرم (۱۷) می باشد. مینیمم تغییر پذیری را عنصر بیسموت نشان می دهد (با ضریب ۱/۴۳). این ارقام نشان می دهند که مقدار یک عنصر در حوضه آبریز، تا آنجایی که به لیتولوژی حوضه آبریز مربوط می شود، بشدت تغییر پذیر بوده و بدون نرمال کردن مقدار عنصر نسبت به جنس سنگهای بالادست در حوضه آبریز، امکان دستیابی به یک جامعه همگن که بتوان براساس آن مقادیر زمینه، حد آستانه ای و آنومالی را در آنها مشخص نمود، غیر ممکن می باشد. شایان ذکر است که با آن که سنگ های دگرگونی گسترش زیادی در برگه ۱۰۰،۰۰۰: ۱؛ باینچوب دارند، اما به علت آن که مقادیر کلارک عناصر وابسته به این نوع سنگ های دگرگونی در دسترس نمی باشد در جدول ۳-۳ از سنگ های دگرگونی و مقادیر کلارک عناصر وابسته به آنها ذکری به میان نیامده است.

جدول ۲-۳: خلاصه شده سنگهای رخمنون دار در حوضه های آبریز

در محدوده برگه ۱۰۰،۰۰۰: ۱؛ باینچوب

نوع سنگ	سکانس
شیل، شیل آهکی	سنگهای رسوبی
سیلیت	
ماسه سنگ، ماسه سنگ گروآکی، ماسه سنگ آهکی	
کنگلومرا	
آهک، آهک رسی، آهک سیلتی، توربیدیت های آهکی	سنگهای دگرگونی
فلیت	
اسلیت	
متاستدسترون	
آرژیلیت های دگرگرن شده	سنگهای آذرین
گدازه های بازالتی دگرگون شده	
آمفیلیت	
اسبدی (گرانیت، روبلیت، گرانوپوریت، ریزداسیت)	
حد واسط (آندرزیت)	سنگهای آذرین
بازیک (گابریو، بازالت)	

جدول ۳-۳- مقدار کلارک عناصر و نسبت ماکریم به مینیمم مقادیر کلارک در سنگهای مشابه سنگهای رخمنو دار در برگه ۱:۱۰۰۰۰ بازچوب

Variable	Sedimentary Rocks			Igneous Rocks			
	Limestone And Dolomite	Shale	Sandstone	Acidic	Intermediate	Basic	Max/Min
Au(ppb)	-	-	-	0.8	2.8	3.6	7.5
As(ppm)	1	13	1	1.5	2	2	13
Sb(ppm)	20	150	0.n	20	20	20	7.5
Bi(ppm)	-	-	-	0.01	0.008	0.007	10
Hg(ppb)	45	66	74	67	75	65	1.66
Co(ppm)	0.1	19	0.3	1	9	48	1500
Ni(ppm)	2	6.8	2	4.5	50	130	100
Be(ppm)	0.n	30	0.n	3.5	1.8	0.4	150
Ti(ppm)	1200	3800	3000	2700	6000	8000	6.66
W(ppm)	0.6	1.8	1.6	2.2	1.2	0.7	22
Mo(ppm)	0.4	2.6	0.2	1.3	1.1	1.5	13
Ag(ppm)	0.0n	0.07	0.0n	0.04	0.07	0.11	2.75
Sn(ppm)	0.n	6	0.n	3	1.6	1.5	12
Cr(ppm)	11	90	35	10	55	170	17
Cu(ppm)	4	45	1	10	40	87	87
B(ppm)	20	100	35	15	9	5	33.33
Mn(ppm)	400	800	400	400	1200	1200	3
Ba(ppm)	10	580	-	840	380	330	14.5
Pb(ppm)	9	20	7	19	12	6	20
Zn(ppm)	20	95	16	39	75	105	5.25

## فصل چهارم

# پردازش داده‌ها

(موضوع بند ۶ شرح خدمات)

### ۱- مقدمه

نحوه پردازش داده‌ها در این پژوهه به ترتیب زیر بوده است که داده‌های حاصل از آنالیز شیمیایی در یک بانک اطلاعاتی وارد گردید. (این داده‌ها پس از اخذ، از طریق تایپ کامپیوتری و قرائت دوبل و کنترل خطاهای مربوطه و ثبت آنها (حدود سه در هزار) در بانک اطلاعاتی وارد گردید). علاوه بر داده‌های ژئوشیمیایی، شماره نمونه، اطلاعات لیتولوژی (بر مبنای نقشه ۱:۱۰۰،۰۰۰ زمین‌شناسی باینچوب) مربوط به سنگهای بالادست هر نمونه نیز در همان بانک ذخیره شده است. داده‌های خام مذکور در جدول ۱ ضمیمه (بر روی CD) آورده شده است. سپس برای بخشی از داده‌ها، که به صورت سنسورد گزارش شده بود مقادیر جانشینی محاسبه و جایگزین مقادیر سنسورد گردید (جدول ۲-۴). در مرحله بعد برای هر کدام از جوامع سنگی تعیین شده بر اساس نقشه زمین‌شناسی ۱:۱۰۰،۰۰۰ باینچوب که دارای بیش از ۸ نمونه بوده‌اند، و نیز جوامعی که از طریق آنالیز کلاستر تنکیک شده‌اند ضرایب غنی‌شدگی محاسبه گردید و در نهایت جامعه‌کلی ضرایب غنی‌شدگی از اختلاط جوامع مذکور تشکیل شد و این جامعه‌کلی برای انجام عملیات آماری و رسم نقشه‌ها مورد استفاده قرار گرفت.

### ۲- پردازش داده‌های سنسورد (موضوع بند ۶-۱ شرح خدمات)

داده‌های ژئوشیمیایی معمولاً دارای مقادیر سنسورد هستند. یک مقدار سنسورد، داده‌ای است که بصورت کوچکتر و یا بزرگتر از یک مقدار معین گزارش می‌شود. برای داده‌های ژئوشیمیایی، مقدار سنسورد بطور تیپیک در حد قابل ثبت آنالیزهای شیمیایی قرار دارد. داده‌های سنسورد زمانی ایجاد می‌شوند که یا تکنیکهای آنالیز شیمیایی برای ثبت مقادیر کوچک یک عنصر باندازه کافی حساس نیستند و یا تکنیک‌ها بسیار حساس بوده و

قابلیت ثبت تمرکزهای بالای عناصر را در نمونه‌ها ندارد. داده‌های سنسورده در کار آنالیزهای آماری اختلال ایجاد می‌نمایند، چراکه اغلب تکیه‌کهای آماری مهم نیازمند یک مجموعهٔ کامل از داده‌های غیر سنسورده می‌باشند. در مورد تخمین مقادیر سنسورده روشهای مختلفی بکار می‌رود. از جمله این روشهای قرار دادن  $\frac{3}{4}$  حد قابل ثبت برای "مقادیر کوچکتر از" و  $\frac{4}{3}$  حد بالائی برای "مقادیر بزرگتر از حد قابل ثبت" می‌باشد. در بعضی موارد بجای این مقادیر عدد صفر قرار می‌دهند. مسئله‌ای که تصمیم‌گیرنده با آن مواجه است آن است که چه درصدی از جانشینی‌ها، بدون ایجاد خطاهای معنی دار، قابل توجیه است؟ در اینجا یک روش علمی برای تعیین مقدار جانشینی را نشان می‌دهیم.

فرض بر این است که مقدار جانشینی باید برابر باشد با میانگین مقادیر واقعی که بواسیلهٔ داده‌های سنسورده بیان شده است. ما از روش بیشترین درستنمایی جهت تخمین این میانگین استفاده می‌کنیم.

گرایش داده‌های زئوژیمیابی به پیروی از توزیع لاغ نرمال امری شناخته شده است. در حقیقت این روش شامل تخمین میانگین جامعه لاغ نرمال با استفاده از روش بیشترین درستنمایی است. سپس این میانگین تخمینی، برای محاسبه یک مقدار جانشینی تخمینی برای مقادیر سنسورده بکار می‌رود. برای روشن شدن بحث، ما چند عبارت و علائم مربوطه را بکار می‌بریم. در اینجا غلظت بواسیله  $X$  و حد قابل ثبت یا نقطه سنسورده بواسیله  $X_d$  نمایش داده می‌شود. مقدار جانشینی  $X_r$  عددی است که باید جانشین هر مقدار سنسورده گردد. فاکتور

جانشینی  $R_x$  نسبت مقدار جانشینی به حد قابل ثبت برای یک عنصر مشخص است:

$$(1) \quad R_x \equiv \frac{X_r}{X_d}$$

بعنوان مثال  $\frac{3}{4}$  یک فاکتور جانشینی و  $\frac{4}{3}$  حد قابل ثبت، مقدار جانشینی مربوطه است. پس از تعیین اینکه لگاریتم غلظتها توزیع نرمال تری نسبت به داده‌های اولیه دارند، داده‌های برای عناصر انتخاب شده به  $Log_{10}$  تبدیل می‌کنیم. تبدیلات بین داده‌های لگاریتمی ( $Y$ ) و داده‌های اولیه ( $X$ ) بصورت زیر است:

$$(2) \quad X = Log_{10} Y, \quad Y = 10^X$$

$$(3) \quad X_r = Log_{10} Y_r, \quad Y_r = 10^{X_r}$$

$$(4) \quad X_d = Log_{10} Y_d, \quad Y_d = 10^{X_d}$$

گرفتن لگاریتم از طرفین معادله (۱) فاکتور جانشینی تبدیل شده را بدست می‌دهد:

$$r_y \equiv \log_{10} r_d \cdot \log_{10} r_d = y_r \cdot y_d, \quad r_d = 10^{y_d} \quad (5)$$

تبدیلات مختلف دیگری نیز می‌تواند به جای  $\log_{10}$  بکار رود ولی در اینجا به علت سهولت در محاسبه و مزیت آن نسبت به روش‌های جانشینی ساده‌تر از آن استفاده شده است. از روش بیشترین درستنمایی کوهن (Cohen) جهت تخمین میانگین واقعی مجموعه داده‌ها استفاده کرده و سپس از نتیجه آن برای تخمین میانگین واقعی داده‌های سنسوره استفاده می‌شود. با استفاده از این روش میانگین کل مجموعه داده‌ها ( $\mu_{ll}$ ) و میانگین داده‌های غیر سنسوره ( $\mu_{lll}$ ) تخمین زده می‌شود. حاصل ضرب میانگین کل مجموعه داده‌ها ( $\mu_{ll}$ ) در کل تعداد نمونه‌ها ( $n_l$ ) برابر است با حاصل ضرب میانگین داده‌های سنسوره ( $\mu_q$ ، که نامشخص است)، در تعداد نمونه‌های سنسوره ( $n_{lll}$ ) بعلاوه حاصل ضرب میانگین داده‌های غیر سنسوره ( $\mu_{lll}$ ، که مشخص است)، در تعداد نمونه‌های غیر سنسوره ( $n_{ll}$ )/[۴] یعنی:

$$n_{ll} = n_{lll} \mu_q + n_{lll} \mu_{ll} \quad (6)$$

از حل معادله فوق مقدار  $\mu_q$  که تخمینی برای میانگین داده‌های سنسوره می‌باشد، بصورت زیر بدست می‌آید:

$$\mu_q = \frac{n_{ll} \mu_{ll} - n_{lll} \mu_{ll}}{n_{lll}} \quad (7)$$

فرض اولیه ما این بوده است که میانگین تخمینی داده‌های سنسوره بهترین مقدار جانشینی می‌باشد یعنی:

$$y_r = \mu_q \quad (8)$$

با استفاده از معادله (۳) و جایگزینی مقادیر با واحد اصلی آنها خواهیم داشت:

$$X_r = 10^{\mu_q} \quad (9)$$

تنها مجهول در معادله (۷) مقدار  $\mu$  است که با استفاده از روش بیشترین درستنمایی کوهن بدست می‌آید. در این محاسبات  $N$  تعداد کل داده‌ها،  $n_l$  تعداد داده‌های غیر سنسوره و  $n_{lll}$  حد قابل ثبت و یا مقدار سنسوره می‌باشد. مقدار میانگین کل و واریانس کل از روابط زیر محاسبه می‌شود:

$$\mu = x \cdot \lambda(x \cdot x_0) \quad (10)$$

$$\sigma^2 = S^2 + \lambda(x \cdot x_0)^2 \quad (11)$$

جدول ۱-۴- مقادیر تابع کمکی ( $\lambda(h, \gamma)$ ) بر حسب متغیرهای  $h$  و  $\gamma$  (نقل از کوهن ۱۹۶۱)

$\gamma$	$h$	0.01	0.02	0.03	0.04	0.05	0.06	0.07	0.08	0.09	0.10	0.15	0.20	$h$	$\gamma$
0.00	0.010100	0.020400	0.030902	0.041583	0.052507	0.063627	0.074953	0.086488	0.09824	0.11020	0.17342	0.24268	0.00		
0.05	0.010551	0.021294	0.032225	0.043350	0.054670	0.066189	0.077909	0.089834	0.10197	0.11431	0.17935	0.25033	0.05		
0.10	0.010950	0.022082	0.033398	0.044902	0.056596	0.068483	0.080568	0.092852	0.10534	0.11804	0.18479	0.25741	0.10		
0.15	0.011310	0.022798	0.034466	0.046319	0.058356	0.070586	0.083009	0.095629	0.10845	0.12149	0.18985	0.26405	0.15		
0.20	0.011642	0.023459	0.035453	0.047629	0.059990	0.072539	0.085280	0.098216	0.11135	0.12469	0.19460	0.27031	0.20		
0.25	0.011952	0.024076	0.036377	0.048858	0.061522	0.074372	0.087413	0.10065	0.11408	0.12772	0.19910	0.27626	0.25		
0.30	0.012243	0.024658	0.037249	0.050018	0.062969	0.076106	0.089433	0.10295	0.11667	0.13059	0.20338	0.28193	0.30		
0.35	0.012529	0.025211	0.038077	0.051129	0.065125	0.077756	0.091355	0.10515	0.11914	0.13333	0.20747	0.29737	0.35		
0.40	0.012784	0.025738	0.038866	0.052173	0.065360	0.079332	0.093193	0.10725	0.12150	0.13595	0.21139	0.29260	0.40		
0.45	0.013036	0.026243	0.039624	0.053182	0.066921	0.080845	0.094958	0.10926	0.12377	0.13847	0.21517	0.29765	0.45		
0.50	0.013279	0.026728	0.040352	0.054153	0.068135	0.082301	0.096657	0.11121	0.12595	0.14090	0.21882	0.30253	0.50		
0.55	0.013513	0.027196	0.041054	0.05509	0.069306	0.093708	0.098298	0.11203	0.12805	0.14325	0.22235	0.30725	0.55		
0.60	0.013739	0.027649	0.041733	0.055995	0.070439	0.085068	0.099887	0.11490	0.13011	0.14552	0.22578	0.31184	0.60		
0.65	0.013958	0.028087	0.042391	0.056874	0.071538	0.086388	0.10143	0.11666	0.13209	0.14773	0.22910	0.31630	0.65		
0.70	0.014171	0.028513	0.043030	0.057726	0.072605	0.087670	0.10292	0.11837	0.13402	0.14987	0.23234	0.32065	0.70		
0.75	0.014379	0.028927	0.043652	0.059555	0.073643	0.098917	0.10439	0.12094	0.13590	0.15196	0.23559	0.32499	0.75		
0.80	0.014579	0.029330	0.044258	0.059364	0.074655	0.090133	0.10580	0.12167	0.13773	0.15400	0.23858	0.32903	0.80		
0.85	0.014775	0.029723	0.044848	0.060153	0.075642	0.091319	0.10719	0.12325	0.13952	0.15599	0.24158	0.33307	0.85		
0.90	0.014967	0.030107	0.045425	0.060923	0.076606	0.092477	0.10854	0.12480	0.14126	0.15793	0.24452	0.33703	0.90		
0.95	0.015154	0.030493	0.045989	0.061576	0.077549	0.093611	0.10997	0.12532	0.14297	0.15993	0.24740	0.34091	0.95		
1.00	0.015338	0.030850	0.046340	0.062413	0.078471	0.094720	0.11116	0.12780	0.14465	0.16170	0.25022	0.34471	1.00		
$\gamma$	$k$	0.01	0.02	0.03	0.04	0.05	0.06	0.07	0.08	0.09	0.10	0.15	0.20	$k$	$\gamma$

$\gamma$	$k$	0.25	0.30	0.35	0.40	0.45	0.50	0.55	0.60	0.65	0.70	0.80	0.90	$k$	$\gamma$
0.00	0.31852	0.4021	0.4941	0.5961	0.7096	0.8368	0.9203	1.145	1.336	1.561	2.176	3.282	0.00		
0.05	0.32793	0.4130	0.5066	0.6101	0.7252	0.8540	0.9994	1.166	1.358	1.585	2.203	3.314	0.05		
0.10	0.33662	0.4233	0.5184	0.6234	0.7400	0.8703	1.017	1.185	1.379	1.608	2.229	3.345	0.10		
0.15	0.34480	0.4330	0.5296	0.6361	0.7542	0.8860	1.035	1.204	1.400	1.630	2.255	3.376	0.15		
0.20	0.35255	0.4422	0.5403	0.6483	0.7673	0.9012	1.051	1.222	1.419	1.651	2.290	3.405	0.20		
0.25	0.35993	0.4510	0.5506	0.6600	0.7810	0.9158	1.067	1.240	1.439	1.672	2.305	3.435	0.25		
0.30	0.36700	0.4595	0.5604	0.6713	0.7937	0.9300	1.083	1.257	1.457	1.693	2.329	3.464	0.30		
0.35	0.37379	0.4676	0.5699	0.6821	0.8060	0.9437	1.098	1.274	1.476	1.713	2.353	3.492	0.35		
0.40	0.38033	0.4755	0.5791	0.6927	0.8179	0.9570	1.113	1.290	1.494	1.732	2.375	3.520	0.40		
0.45	0.38665	0.4831	0.5880	0.7029	0.8295	0.9700	1.127	1.306	1.511	1.751	2.399	3.547	0.45		
0.50	0.39276	0.4904	0.5967	0.7129	0.8408	0.9826	1.141	1.321	1.528	1.770	2.421	3.575	0.50		
0.55	0.39870	0.4976	0.6051	0.7225	0.8517	0.9950	1.155	1.337	1.545	1.788	2.443	3.601	0.55		
0.60	0.40447	0.5045	0.6133	0.7330	0.8625	1.0070	1.169	1.351	1.561	1.806	2.465	3.629	0.60		
0.65	0.41008	0.5114	0.6213	0.7412	0.8729	1.0190	1.182	1.366	1.577	1.824	2.486	3.654	0.65		
0.70	0.41555	0.5180	0.6291	0.7502	0.8832	1.0300	1.195	1.380	1.593	1.841	2.507	3.679	0.70		
0.75	0.42090	0.5245	0.6367	0.7590	0.8932	1.0420	1.207	1.394	1.608	1.858	2.528	3.705	0.75		
0.80	0.42612	0.5308	0.6411	0.7676	0.9031	1.0520	1.220	1.408	1.624	1.875	2.548	3.730	0.80		
0.85	0.43122	0.5370	0.6515	0.7761	0.9127	1.0640	1.232	1.422	1.639	1.892	2.568	3.754	0.85		
0.90	0.43622	0.5430	0.6586	0.7844	0.9222	1.0740	1.244	1.435	1.653	1.908	2.588	3.779	0.90		
0.95	0.44112	0.5490	0.6656	0.7925	0.9314	1.0850	1.255	1.448	1.668	1.924	2.607	3.803	0.95		
1.00	0.44592	0.5548	0.5724	0.9005	0.9405	1.0950	1.267	1.461	1.692	1.940	2.626	3.827	1.00		
$\gamma$	$k$	0.25	0.30	0.35	0.40	0.45	0.50	0.55	0.60	0.65	0.70	0.80	0.90	$k$	$\gamma$

در معادلات بالا  $x^2$  و  $\lambda^2$  به ترتیب میانگین و پراش داده‌های غیر سنسورد هستند و  $\lambda$  تابع تخمینی کمکی است که از جدول مربوطه (جدول ۱-۴) با درست داشتن  $\gamma$  و  $h$  بدست می‌آید. مقادیر  $\gamma$  و  $h$  از روابط زیر بدست می‌آیند:

$$\gamma = S^2 / (x - x_0)^2 \quad (12)$$

$$h = (N-n)/N \quad (13)$$

با جایگزینی این مقدار در معادله (۱) مقدار میانگین کل ( $\mu$ ) و سپس با استفاده از رابطه (۷) مقدار  $\mu$  و سپس مقدار جانشینی بدست می‌آید.

در این پژوهه عملیات نوچ بر روی عناصر  $Be$ ,  $Pb$ ,  $Mo$ ,  $Sn$  و  $Pb$  که بخشی از داده‌های آنها بصورت سنسورد ((2)),  $Sn$  ( $<10$ ),  $Pb$  ( $<10$ ),  $Mo$  (۰.۵) و  $(<2)Be$  (گزارش شده بود)، انجام گردید و مقدار جانشینی برای آن‌ها بدست آمد. مقادیر بدست آمده و مقدار جانشینی برای هر یک از این عناصر به شرح جدول (۴) می‌باشد. در این جدول  $X_0$  مقدار سنسورد (حد قابل ثبت)،  $n_c$  تعداد داده‌های سنسورد،  $n_i$  تعداد کل نمونه‌ها،  $mu$  میانگین بخش غیر سنسورد جامعه،  $S_{log}$  انحراف میانگی داده‌های لگاریتمی،  $\gamma$  و  $h$  مقادیر لازم برای بدست آوردن  $\lambda$  که طبق فرمول محاسبه می‌گردد،  $\lambda$  تابع تخمینی کمکی،  $m_c$  میانگین کل، میانگین بخش سنسورد و  $x$  مقدار جانشینی می‌باشد.

مقدار جانشینی  $\lambda$  در جدول، یک مقدار عددی است که پس از تبدیل بدست آمده است. تابع نشان داده اندکه مجموعه ای که دارای ۴۰٪ جانشینی است، تابع صحیحی با ۹۰٪ حدود اطمینان و مجموعه با ۸۰٪ جانشینی، تابعی با حدود اطمینان ۶۰٪ بدست می‌دهند.

### ۳- پردازش داده‌های جوامع تکسنگی (موضوع بند ۲-۶ شرح خدمات)

در محدوده برگه ۱:۱۰۰،۰۰۰ با اینچوب از مجموع ۱۰۶ نمونه رسوب آبراهه‌ای، تعداد ۱۶۶ نمونه آنرا نمونه هایی تشکیل می دهد که در بالادست آنها فقط یک نوع سنگ بستر رخمنون دارد (در هفت تیپ سنگ مختلف)، در بین این تیپ سنگهای بالادست، سنگهای تیپ  $Imv$  (سنگهای ولکانیک حد واسط) از نظر فراوانی مقام اول را دارا می باشند و بعد از آن به ترتیب از فراوانی زیاد به کم شامل: سنگهای تیپ  $Ccs$  (اسلیت، نیلیت، ماسه سنگ‌های دگرگون شده، آرژیلیت‌های دگرگون شده)، سنگهای تیپ  $Vcg$  (ولکانوکلاستیک‌های ریولیتی

جدول ۲-۴ : مقدار سنسورد تخمین زده شده به وسیله روش بیشترین درستنمایی کوهن برای عناصر  
Sn, Pb, Mo, Be در برگه ۱:۱۰۰۰۰۰ با اینچوب

Variable	x0	nc	nt	mu	slog	h	gama	landa	mt	mc	xr
Be	2	17	806	0.515	0.01	0.0211	0.2286	0.0252	0.5094	0.2594	1.817
Mo	0.5	33	806	-0.1079	0.1174	0.0409	0.708	1.1645	-0.1155	-0.0301	0.37275
Pb	10	135	806	1.365	0.012	0.1675	0.0921	0.2088	1.2891	0.91	8.128
Sn	2	38	806	0.483	0.008	0.0471	0.2575	0.0581	0.4721	0.2588	1.815

تا ریوداستی همراه با نفوذی‌های گرانیتی و گرانودیوریتی)، سنگهای تیپ Car (سنگ‌های کربناتی)، سنگهای تیپ Fgs (سنگ‌های رسوبی آواری متوسط تاریز دانه)، Qt (آبرفت‌های کواولنر)، سنگ‌های تیپ A7 (ولکانیک‌های اسیدی) می‌باشد. برای هر یک از جوامع فوق که تعداد نمونه‌های موجود در آنها بیشتر از ۸ مورد است (شکل ۲-۳)، پارامترهای آماری محاسبه گردیده، تا بتوان از طریق تقسیم مقادیر هر عنصر خاص در آن جامعه به مقدار میانه آن، ضریب غنی شدگی عنصر مربوطه را محاسبه نمود (جدول ۴-۳).

**۴- پردازش داده‌های جوامع دو سنگی (موضوع بند ۶-۲ شرح خدمات)**  
در محدوده این برگه تعداد ۲۴۰ نمونه برداشت گردیده است که در بالادست آنها دو نوع سنگ بستر (در هیچ‌جای تیپ مجموعه دو سنگی) در حوضه آبریز رخمنون داشته است. در بین این تیپ سنگهای بالادست، فراوانی جامعه سنگهای تیپ Fgs-Inv بیشتر از گروه‌های دیگر است. جوامع دیگر بر ترتیب فراوانی تزولی آنها عبارتند از: Av-Qt, Ccs-Qt, Inv-Vcg, Car-Vcg, Fgs-Qt, Car-Ccs, Car-Qt, Inv-Car, Inv-Qt, Vcg-Fgs, Ccs-Inv, Cgs-Qt, Car-Fgs, Av-Car, Ccs-Vcg, Ccs-Fgs, Vcg-Qt,

### ۵- پردازش داده‌های جوامع سه سنگی و بیش از سه سنگی (موضوع بند ۶-۳ شرح خدمات)

در محدوده این برگه تعداد ۲۳۸ نمونه برداشت گردیده است که در بالادست آنها سه نوع سنگ بستر (در بیست و سه تیپ مجموعه سه سنگی) در حوضه آبریز رخمنون داشته است. در بین این تیپ سنگهای بالادست، در هر یک از جوامع تیپ‌های Inv-Car-Vcg, Av-Car-Qt, Vcg-Inv-Qt, Car-Inv-Qt, Inv-Fgs-Qt, Inv-Car-Fgs, Ccs-Car-Vcg, Ccs-Car-Qt، تعداد نمونه‌ها به بیش از ۸ مورد می‌رسد، که در این جوامع مقادیر میانه عناصر مختلف (جدول ۴-۴) تعیین شده و با توجه به آن شاخص غنی شدگی محاسبه گردیده است. جوامع سه سنگی که تعداد نمونه‌ها در آنها به حد نصاب (۸ نمونه) جهت محاسبات آماری نرسیده است، به جامعه‌ای که باستی مورد آنالیز کلاستر (۵) قرار گیرد وارد شده‌اند. در زیر جامعه بیش از سه سنگی (۱۶۲ نمونه) از آن جایی که افزایش تعداد سنگ‌های بالادست، جامعه را خود به خود به سمت همگنی میل می‌دهد، لذا می‌توان آن را در قالب یک جامعه

جدول ۳-۴: ماتریس مقادیر میانه فراوانی عناصر به عنوان تابعی از جوامع سنگ بالادست نمونه های  
ژئوشیمیایی رسوب آبزاههای در برگه ۱۰۰۰۰:۱ باینچوب

USR <sub>T</sub> Variable	Al(ppm)	Mn(ppm)	B(ppm)	Cr(ppm)	Co(ppm)	Ni(ppm)	Zn(ppm)	Sr(ppm)	Ba(ppm)	Cu(ppm)	Ag(ppm)	Sn(ppm)	Mo(ppm)	As(ppm)	Sb(ppm)	Bi(ppm)	Hg(ppm)	W(ppm)	Pb(ppm)	Be(ppm)
Vcg	1.8	0.19	33	102	25	61	92.5	159	496	40	0.1	2.7	0.82	8.44	0.81	0.35	0.04	1.5	22	3
Ccs	1.3	0.12	91	112	25	55	99	129	403	37.5	0.09	3.1	0.65	8.87	0.95	0.38	0.03	1.305	24	3
Imv	1.85	0.19	37	130	28	59.5	91	205	403	48	0.11	2.8	0.79	10	0.98	0.26	0.03	0.82	22	3
Imv-Qt	1.9	0.18	39	130	28	61	89	209	441	46	0.12	2.7	0.74	9.8	0.89	0.26	0.03	0.86	22	3
Imv-Fgs	2	0.19	58	127	28	66	110	152	459	41	0.12	2.9	0.77	8.58	1.06	0.38	0.03	1.35	25	4
Fgs-Qt	1.35	0.14	54	116	25.5	55.5	95	145	416	39	0.1	2.9	0.67	7.62	0.86	0.32	0.04	1.36	22.5	3.5
Car-Qt	1.65	0.16	43.5	115	25	56	92.5	149	364	35.5	0.11	3.1	0.93	9.85	1.07	0.22	0.03	1.45	18	3
Vcg-Imv	1.8	0.18	32	75.5	26	51.5	117	182	425	47	0.12	2.6	0.84	10.1	0.76	0.35	0.03	1.125	18.6	2.5
Vcg-Car	2.4	0.15	29	88	26	50	75	173	381	38	0.11	3.4	0.88	11.6	0.48	0.3	0.03	1.76	12	3
Ccs-Car	1.25	0.1	104	115	24	54	98	120	375	32.5	0.09	3.05	0.6	10.3	0.8	0.36	0.04	1.315	24	4
Ccs-Qt	1.65	0.13	94	121	23	56.5	92	117	356	29.5	0.1	3.5	0.68	9.1	0.86	0.39	0.04	1.43	22	3.5
Imv-Car	1.6	0.14	47	91	24	46	93.5	129	386	34.5	0.09	3.05	0.81	11.2	1.02	0.27	0.04	1.325	25.5	3
Vcg-Imv-Qt	1.9	0.16	24	65	24	30	103	185	532	36	0.12	3	0.8	10	0.89	0.3	0.03	1.01	8.14	2
Car-Imv-Qt	1.8	0.17	38	88	25	42	90	153	422	38	0.11	2.4	0.7	9.36	1.1	0.26	0.04	1.19	23	3
Imv-Fgs-Qt	1.7	0.19	50	140	27	61	99	179	451	44	0.11	2.8	0.73	8.21	0.9	0.3	0.03	1.19	23	3
Imv-Car-Fgs	2	0.17	48	109	26	58	101	140	439	42	0.11	3.2	0.7	10.3	1	0.36	0.03	1.28	25	3
Imv-Car-Vcg	1.3	0.18	36.5	123	27	64.5	98	151	351	43	0.13	3	1.1	13.3	1.18	0.35	0.03	1.44	24.5	3
Av-Car-Qt	1.35	0.13	23.5	83	24	45	58.5	170	310	20.5	0.09	2.9	0.85	6.64	0.61	0.24	0.03	1.48	17	3
Ccs-Car-Qt	1.3	0.1	104	107	24	51.5	92	136	352	30	0.09	3.1	0.62	9.07	1.03	0.43	0.04	1.445	23	3
Ccs-Car-Vcg	2	0.15	34	130	26	65	89	168	454	33	0.12	3.4	1.2	11.8	0.69	0.36	0.04	2.38	8.14	3

مورد تجزیه و تحلیل آماری قرار داد. از این رو برای این ۱۶۲ نمونه مقدار میانه هر عنصر تعیین شده و ضرایب غنی‌شدگی محاسبه گردیده است.

## ۶- به کارگیری آنالیز کلاستر (بر اساس منطق فازی) به منظور رده‌بندی نمونه‌های بیش از دو یا سه سنگی

(موضوع بند ۶-۶ شرح خدمات)

در مواردی که تعداد نمونه‌ها در جامعه آماری سنگ بالادرست، کمتر از ۸ نمونه بود، آن جامعه به علت کمی تعداد اعضاء نمی‌توانست مورد محاسبه آماری قرار گیرد. در این حالت چنین جوامعی ابتدا مخلوط شده تا به صورت یک جامعه مرکب درآید و سپس این جامعه از طریق آنالیز کلاستر به تعداد محدودی جوامع همگن تر که در هر یک از آن‌ها نمونه‌کافی برای تحلیل آماری وجود داشته باشد تقسیم می‌شود، آنگاه از طریق محاسبات مشابه، ضرایب غنی‌شدگی هر یک از آنها محاسبه شده است. این موضوع در مورد جوامع با یک نوع سنگ بالادرست، و نیز جوامع با بیش از یک نوع سنگ بالادرست اعمال گردید. لازم به یادآوری است که این امر در خصوص جوامع با چهار و یا بیش از چهار نوع سنگ بالادرست (۱۶۲ نمونه) صورت نگرفته است زیرا افزایش تعداد سنگ‌های بالادرست، آنها را خود به خود به سمت نوعی همگنی میل می‌دهد و می‌توانند به صورت یک جامعه، مورد تجزیه و تحلیل آماری قرار گیرند. در مجموع ۹۷ نمونه از طریق آنالیز کلاستر گروه بندی شده‌اند. این نمونه‌ها در سه گروه ۴۵، ۴۲ و ۱۰ تابی قرار گرفته‌اند که برای هر گروه میانه مربوط به هر عنصر تعیین و ضرایب غنی‌شدگی نسبت به آنها محاسبه گردیده است.

## فصل پنجم

# تخمین مقدار زمینه

### ۱- تحلیل ناهمگنی‌ها (موضوع بند ۱-۷ شرح خدمات)

همانطور که قبلاً گفته شد، یکی از عوامل مهم در ایجاد ناهمگنی آماری در جوامع ژئوشیمیابی نمونه‌های برداشت شده از رسوبات آبراهه‌ای، تنوع و تغییرات لیتلولژی در سنگهای رخمنون دار در حوضه آبریز بالا دست این نمونه‌ها است. برای از بین این عوامل ناهمگن‌ساز و دستیابی به جوامع همگنی که بتوان از طریق آنها به مقدار زمینه واقعی تری دست یافت به جداسازی نمونه‌ها بر اساس سنگ بستر رخمنون دار در محدوده حوضه آبریز بالا دست هر نمونه اقدام گردید. سپس نتایج حاصل از هر جامعه با یکدیگر مقایسه شده و تشابهات و یا تضادهای ژئوشیمیابی مربوط به هر یک بدست آمد. داده‌های جدول (۳-۴) نشان میدهد که برای جوامع سنگهای بالا دست شامل: سه گروه، تک سنگی، نه گروه دو سنگی و هشت گروه سه سنگی است که در هر یک بیش از ۸ نمونه وجود داشته است، امکان محاسبه پارامترهای آماری تا حدی وجود داشته است. گروههایی که تعداد نمونه‌های آنها کمتر از ۸ نمونه بوده است ابتدا با هم ترکیب شده و سپس از طریق آنالیز کلاستر به سه جامعه (با تعداد کافی نمونه در هر یک از آنها) تقسیم شده‌اند. داده‌های این جدول معرف آن است که در مورد بعضی از عناصر نقش تغییرپذیری سنگ بستر بالا دست قوی است. برای مثال در مورد  $B$  در رسوبات حاصل از فرسایش سنگهای تیپ (Av-Car-Qt) می‌نیم مقدار میانه  $22/5 ppm$  دیده می‌شود. در مقابل مقدار میانه در رسوبات حاصل از فرسایش سنگهای تیپ (Car-Ccs) برای این عنصر حدود ۵ برابر مقدار آن در رسوبات حاصل از فرسایش سنگهای تیپ (Av-Car-Qt) است. برای متغیرهای  $Sn$ ،  $Co$  و  $Be$  این تغییرات چشمگیر نمی‌باشد.

## ۲- سیمای ژئوشیمیایی جوامع مختلف براساس سنگبستر بالادست

(موضوع بند ۲-۷ شرح خدمات)

برای تعیین سیمای ژئوشیمیایی جوامع مختلف نمونه های برداشت شده از حوضه های آبریز براساس سنگ بالادست آنها بصورت زیر عمل گردیده است:

الف: مقدار میانگین هر عنصر در هر تیپ از سنگهای بالادست (تک سنگی)، محاسبه شد.

ب: ردیف بندی عناصر در یک سری متواالی بر اساس کاهش مقدار فراوانی آنها صورت گرفت.

ج: مقایسه مکان قرارگیری هر عنصر در هر سری با سنگ بالادست معین نسبت به مکان قرارگیری همان عنصر در سری کلی مربوط به  $80\%$  نمونه انجام گرفت.

جدول (۱-۵) نتایج عملیات فوق را برای کل جامعه نمونه های برداشت شده از برگه ۱۰۰،۰۰۰،۰۰۰،۰۰۰،۰۰۰،۰۰۰،۰۰۰ باینچوب که به عنوان ملاک مقایسه برای جوامع دیگر بکار برده شده است همراه با مقادیر مشابه برای سه تیپ سنگ بستر بالادست (تک سنگی) نشان می دهد. این جوامع عبارتند از:  $Inv$  (سنگهای ولکانیک حد واسط)،  $Ccs$  (اسلیت، فیلیت، ماسه سنگ دگرگون شده)، آرژیلیت های دگرگون شده،  $Vcg$  (ولکانوکلاستیک های ریولیتی تاریوداسیتی همراه با نفوذی های گرانیتی و گرانودیبوریتی).

چنانچه از داده های این جدول بر می آید، میانگین مقدار غلظت عناصر در رسوبات حاصل از فرایش سنگ های تیپ  $Ccs$  (اسلیت، فیلیت، ماسه سنگ دگرگون شده، آرژیلیت های دگرگون شده) تقریباً منطبق بر میانگین مقادیر مربوط به جامعه کلی است. در این جامعه عنصر بُر غنی شدگی نسبی و عنصر نیکل تهی شدگی نسبی نشان می دهد. در مورد سنگهای تیپ  $Inv$  (سنگهای ولکانیک حد واسط) عناصر مس و آنتیموان غنی شدگی و عناصر بُر و تنگستن تهی شدگی نسبی نشان می دهند. همچنین در سنگهای تیپ  $Vcg$  (ولکانوکلاستیک های ریولیتی تاریوداسیتی همراه با نفوذی های گرانیتی و گرانودیبوریتی) عناصر مس و مولیبدن غنی شدگی و عناصر بُر و آنتیموان تهی شدگی نسبی نشان می دهند.

## ۳- تخمین مقدار زمینه (موضوع بند ۳-۷ شرح خدمات)

پس از همگن سازی جوامع مختلف نمونه های ژئوشیمیایی برداشت شده از رسوبات

جدول ۱-۵: سیمای ژئوشیمیایی: رده بندی عناصر مختلف در محیط های سنگی متفاوت بر اساس فراوانی هر کدام از عناصر در رسوبات آبراهه ای در برگه ۱:۱۰۰۰۰ باینچوب  
(همه اعداد بر حسب ppm است بجز طلا که ارقام وابسته به آن بر حسب ppb است)

Total	Mn	Ba	Sr	Cr	Zn	Ni	B	Cu	Co	Pb	As	Be	Sn	W	Sb	Mo	Bi	Ag	Hg	Au
	1737	437	167	126	100	65	53	40	26	21	14.18	3.33	3.00	1.34	1.08	0.79	0.34	0.11	0.04	2.06
Ccs	Mn	Ba	Sr	Cr	Zn	B	Ni	Cu	Co	Pb	As	Be	Sn	W	Sb	Mo	Bi	Ag	Hg	Au
	1316	417	133	119	101	94	60	40	25	24	10.17	3.37	3.26	1.30	1.04	0.66	0.38	0.10	0.04	1.48
Imv	Mn	Ba	Sr	Cr	Zn	Ni	Cu	B	Co	Pb	As	Be	Sn	Sb	W	Mo	Bi	Ag	Hg	Au
	1949	402	220	141	93	64	50	40	29	22	12.66	3.21	2.82	1.15	0.87	0.79	0.29	0.11	0.03	2.17
Vcg	Mn	Ba	Sr	Cr	Zn	Ni	Cu	B	Co	Pb	As	Be	Sn	W	Mo	Sb	Bi	Ag	Hg	Au
	1906	549	161	110	105	64	40	35	25	18	11.23	3.17	2.65	1.49	1.03	0.88	0.35	0.14	0.03	1.98

آبراهه‌ای براساس نوع سنگ یا سنگهای بالادست اقدام به محاسبه مقدار زمینه برای هر یک شده است. در این خصوص چون مقدار میانگین تابع مقادیر حدی در تابع چگالی احتمال است، و از طرفی داده‌های ژئوشیمیایی اکثراً چولگی مثبت داشته و مقادیر حد بالا در تابع چگالی احتمال آنها، روی مقدار میانگین اثر می‌گذارد، لذا از مقدار میانه که مستقل از تغییرات فوق است، استفاده شده است. در این خصوص مقدار میانه عنوان زمینه انتخاب گردیده است و سپس مقدار هر عنصر در هر نمونه از یک جامعه به مقادیر میانه آن عنصر در آن جامعه تقسیم شده، تا نسبت غنی شدگی یا تهی شدگی آن عنصر در هر نمونه محاسبه گردد. بدیهی است عناصری که مقدار نسبت فوق در آنها بیشتر از واحد باشد غنی شده و آنها که کمتر از واحد باشد تهی شده تلقی می‌شوند.

جدول ۲-۵ پارامترهای آماری مربوط به لگاریتم توزیع شاخص غنی شدگی نسبی هر یک از متغیرهای بیست گانه را نشان میدهد. در این جدول بدیهی است مقدار میانه بصورت عدد صفر ظاهر خواهد شد، زیرا  $O = \ln(1) = \ln(Med)$ . علاوه بر مقدار میانه در این جدول، مقدار میانگین، انحراف معیار، مقدار چولگی و کشیدگی نیز نشان داده شده است. براساس این داده‌های است که نقشه توزیع هر عنصر (به عنوان یک متغیر) رسم گردیده است.  $PPM$  لازم به یادآوری است که عناصری که میانه فراوانی آنها در غلظت‌های کمتر از چند ده ظاهر می‌شوند می‌توانند بعضاً ضریب غنی شدگی بسیار بالایی از خود نشان دهند که تا حدودی غیرواقعی است. علت این امر می‌تواند به افزایش خطاهای مطلق اندازه‌گیری در غلظت‌های کم بروگدد. بنابراین در انتخاب مناطق امیدبخش و تحلیل آنها باید از هر دو معیار مقدار مطلق و غنی شدگی نسبی بهره برد.

## B A T C H S T A T I S T I C S

(for Natural Log of data)

جدول ۲-۵: آماره های لگاریتم شاخص غنی شدگی متغیرهای زیوژیمیابی در برگه ۱:۱۰۰۰۰ بازچوب

	Au(en)	Mn(en)	B(en)	Cr(en)	Co(en)
	N used	N missing	N .LE. 0		
N used	806	806	806	806	806
N missing	0	0	0	0	0
N .LE. 0	0	0	0	0	0
Mean	.045	.013	.003	.023	.009
Variance	.211	.090	.134	.130	.015
Std. Dev.	.459	.300	.366	.361	.122
Skewness	1.397	.482	-.148	.770	.518
Kurtosis	8.545	5.043	3.866	6.341	5.325
Minimum	-1.024	-1.000	-1.693	-1.280	-.486
25th %tile	-.209	-.172	-.222	-.168	-.074
Median	.000	.000	.000	.000	.000
75th %tile	.258	.182	.223	.194	.077
Maximum	3.142	1.527	1.212	1.941	.616
	Ni(en)	Zn(en)	Sr(en)	Ba(en)	Cu(en)
	N used	N missing	N .LE. 0		
N used	806	806	806	806	806
N missing	0	0	0	0	0
N .LE. 0	0	0	0	0	0
Mean	.027	.012	.006	-.008	-.006
Variance	.152	.048	.054	.067	.059
Std. Dev.	.389	.219	.233	.259	.243
Skewness	1.894	1.212	.097	-1.233	-.346
Kurtosis	16.369	10.410	3.574	15.285	4.131
Minimum	-2.226	-.755	-.939	-2.564	-1.016
25th %tile	-.176	-.095	-.140	-.147	-.142
Median	.000	.000	.000	.000	.000
75th %tile	.182	.104	.136	.142	.139
Maximum	3.116	1.532	.810	.941	.741

### B A T C H   S T A T I S T I C S

(for Natural Log of data)

ادامه جدول ۲-۵: آماره های لگاریتم شاخص غنی شدگی متغیرهای ژئوشیمیایی در برگه ۱: باینچوب

	Ag(en)	Sn(en)	Mo(en)	As(en)	Sb(en)
N used :	806	806	806	806	.806
N missing :	0	0	0	0	0
N .LE. 0 :	0	0	0	0	0
Mean :	.002	.008	.009	.108	.023
Variance :	.067	.038	.072	.288	.240
Std. Dev. :	.259	.196	.268	.537	.490
Skewness :	.954	.285	.460	2.514	1.049
Kurtosis :	10.162	4.831	5.357	16.851	6.713
Minimum :	-1.298	-.624	-.805	-1.802	-1.363
25th %tile :	-.150	-.109	-.146	-.182	-.289
Median :	.000	.000	.000	.000	.000
75th %tile :	.152	.123	.143	.248	.258
Maximum :	1.808	1.099	1.533	5.203	2.734
	Bi(en)	Hg(en)	W(en)	Pb(en)	Be(en)
N used :	806	806	806	806	806
N missing :	0	0	0	0	0
N .LE. 0 :	0	0	0	0	0
Mean :	.002	.033	-.007	-.072	.035
Variance :	.141	.089	.124	.193	.058
Std. Dev. :	.376	.299	.352	.439	.242
Skewness :	.560	2.792	-.022	-.558	-.081
Kurtosis :	6.432	17.534	4.756	3.946	3.394
Minimum :	-1.523	-.540	-1.474	-1.121	-.693
25th %tile :	-.194	-.134	-.204	-.161	.000
Median :	.000	.000	.000	.000	.000
75th %tile :	.196	.137	.186	.154	.287
Maximum :	2.118	2.367	1.594	1.541	.847

## فصل ششم

### تخمین شبکه‌ای شاخص‌های غنی‌شده

(موضوع بند ۸ شرح خدمات)

#### ۱- تخمین شبکه‌ای (موضوع بند ۱-۸ شرح خدمات)

باگذشت زمان و افزایش مخارج پروژه‌های اکتشافی، سعی بر آن است که با بکارگیری تکنیک‌های آماری پیچیده‌تر، دامنه تخمین را از نظر مساحت تحت پوشش هر نمونه افزایش داد. از این رهگذر می‌توان تعداد نمونه‌های لازم را برای تخمین در سطح اعتماد معین کاهش داد. این کاهش تعداد نمونه‌ها (البته بدون پایین آوردن سطح اعتماد تخمین) خود موجب کاهش مخارج اکتشافی می‌گردد، زیرا مخارج سایر فازهای اکتشافی (از قبیل آماده‌سازی، آنالیز و پردازش) ارتباط مستقیمی با تعداد نمونه‌ها دارد. معمولاً برگه‌های ۱:۱۰۰،۰۰۰ زمین‌شناسی در کشور ما مساحتی حدود ۲۵۰۰ کیلومتر را شامل می‌شود که اگر دانسته یک نمونه برای هر ۳ کیلومتر مربع را در نظر بگیریم، برای هر برگه حدود ۸۰۰ نمونه باید برداشت شود. در چنین شرایطی اگر نقشه ۱:۱۰۰،۰۰۰ زمین‌شناسی را به ۱۰۰۰ سلول با مساحت ربع کیلومتر مربع تقسیم نمائیم، کل ۸۰۰ نمونه برداشت شده احتمالاً در حدود ۸۰۰ سلول توزیع خواهد شد <sup>۱</sup> از بقیه ۹۲۰۰ سلول باقیمانده نمونه‌ای برداشت نمی‌شود. بدین ترتیب هیچ تخمین مستقیمی نمی‌تواند برای حدود ۹٪ از مساحت نقشه صورت پذیرد. این تحلیل ساده نشان میدهد که تا چه اندازه به تکنیک‌های آماری که بتواند دامنه تخمین مقدار متغیرها را به بخش عمدی از هر نقشه افزایش دهد نیاز می‌باشد. این تکنیک که در این گزارش تحت عنوان تخمین شبکه‌ای از آن نام برده می‌شود به ما اجازه میدهد تا با داشتن اطلاعات مستقیم از حدود ۸۰۰ سلول شبکه بتوانیم تخمین‌های لازم از فراوانی عناصر و شاخص‌های غنی‌شده مربوط به آنها را به حدود ۹۲۰۰ سلول دیگر موجود در محدوده برگه افزایش دهیم. در چنین حالتی افزایش تعداد سلولهایی که در مورد آنها داده‌ای بدست می‌آید موجب می‌گردد تا ارتباط منطقی بین فراوانی یک عنصر در سلولها ظاهر گشته

و امکان ارزیابی منطقه‌بندی‌های موجود در نقشه توزیع یک عنصر (ساختار ژئوشیمیابی) فراهم گردد. برای مثال هرگاه یک مقدار آنومالی در بین تعداد زیادی از مقادیر زمینه محصور گردد، ارزش و اعتبار آن مقدار آنومالی زیر سؤال خواهد بود. ولی اگر یک مقدار آنومالی بوسیله چندین سلول با مقدار حد آستانه‌ای محصور گردد و این سلولها خود بوسیله سلولهای دارای مقدار زمینه نیز محاط گردند در اینصورت این مدل تغییرات تدریجی از اطراف به مرکز آنومالی، موجب افزایش اعتبار مقدار آنومالی می‌گردد. چنین ارزیابیهای در صورتی میسر است که از تکنیک تخمین شبکه‌ای استفاده گردد. از دیگر امتیازات این روش تخمین، آنستکه یک شبکه نامنظم نمونه برداری را به یک شبکه منظم تخمین تبدیل می‌کند. مهمترین ویژگی بررسی رسوبات رودخانه‌ای به منظور ارزیابی پتانسیل کانی سازی، این است که مقدار هر متغیر در رسوب رودخانه‌ای دارای خاصیت برداری است. جهت این بردار بطریقی است که همواره فقط برای بالادست خود صادق است. عبارت دیگر ارقام حاصل از بررسی رسوبات رودخانه‌ای برخلاف سایر روش‌های ژئوشیمیابی خاصیت جهت یافتنگی دارند و همواره انکاس دهنده تغییرات در ناحیه بالادست خود می‌باشند. الگوریتم کنونی بنحوی طراحی شده که این اثر مهم در تخمین را بحساب آورد. این روش اولین بار توسط گروهی از ژئوشیمیست‌های اکتشافی امپریال کالج لندن بکار گرفته شد و سپس با تأیید الگوریتم مورد نظر، این روش در هندبوک ژئوشیمی اکتشافی [۵] بعنوان روشی برای نقشه برداری ژئوشیمیابی رسوبات آبراهه‌ای پیشنهاد گردید.

تکنیک تخمین شبکه‌ای شامل چند بخش بشرح زیر است:

الف - انتخاب یک شکل هندسی که بتواند حتی الامکان ناحیه حوضه آبریز بالادست هر نمونه را مشخص کند. این شکل هندسی میتواند به صور مختلفی انتخاب گردد. برای مثال ناحیه بالادست هر نمونه در حوضه آبریز را میتوان بصورت مثلث، بیضی، چند ضلعی و یا قطاعی از یک دایره در نظر گرفت. بنظر میرسد که انتخاب چند ضلعی تا آنجا که به اشکال هندسی قرار خواهد گرفت. بنظر میرسد که انتخاب چند ضلعی تا آنجا که به انطباق فیزیکی بیشتر با حوضه آبریز مربوط میشود از دیگر اشکال هندسی مناسبتر است ولی محاسبات و عملیات مربوط به آن بسیار پیچیده تر و پر حجم تر است. در مقابل انتخاب قطاع گرچه ممکن است از نظر هندسی انطباق کمتری با طبیعت حوضه آبریز داشته باشد و توان صد درصد مساحت تحت پوشش یک حوضه آبریز

را در آن مخصوص نمود ولی بعلت کمی تعداد پارامترهای لازم برای مشخص نمودن آن از امتیاز بالای نسبت به سایر اشکال برخوردار است. در این مطالعه برای مشخص کردن محدوده هر حوضه آبریز از این شکل هندسی استفاده شده است.

ب - زاویه مرکزی هر قطاع که بخشی از حوضه آبریز را می‌پوشاند، رأس قطاع در محل نمونه قرار داده می‌شود و کمان انتهایی قطاع بالاترین قسمت حوضه آبریز مربوطه را می‌پوشاند و دو ضلع قطاع باید حتی الامکان منطبق بر خط الرأسهای دو طرف حوضه آبریز بالادست نمونه مربوطه باشد. پارامترهایی که برای هر قطاع باید اندازه‌گیری و در محاسبات وارد شود عبارتند از:

- مختصات  $X$  و  $Y$  نقطه رأس قطاع که همان مختصات نقطه نمونه برداری است.

- زاویه مرکزی قطاع ( $\theta$ ).

- مختصات نقطه انتهایی حوضه آبریز مربوطه که حتی الامکان منطبق بر نقطه وسط کمان قطاع خواهد بود.

در این پژوهه برای کلیه  $806$  نمونه برداشت شده در محدوده این برگه که محل و موقعیت آنها در نقشه‌های نمونه برداری قبل از آن گردیده است مطابق دستور العمل نویق قطاع‌های مربوطه رسم و مختصات رأس قطاع و نقطه انتهایی آبراهه و زاویه  $\theta$  دربار اندازه‌گیری شده است. تابع این اندازه‌گیری‌ها پس از خطای‌گیری آنها که حدود  $3\%$  بوده است در جدول  $2$  ضمیمه (روی  $CD$ ) آورده شده است.

## ۲- شاخص غنی‌شدنگی

با به تعریف شاخص غنی‌شدنگی یک عنصر خاص در یک نمونه معین عبارت است از نسبت غلظت آن عنصر در آن نمونه به غلظت میانگین یا میانه همان عنصر در جامعه‌ای که نمونه متعلق به آن است. با این تعریف عوامل مؤثر در شاخص غنی‌شدنگی یک عنصر خاص در یک نمونه معین نه فقط تابع بقدار آن عنصر در آن نمونه می‌باشد بلکه به میانگین یا میانه همان عنصر در جامعه وابسته به آن نیز بستگی دارد. بنابراین اگر غلظت نقطه‌ای و منطقه‌ای یک عنصر، هر دو با ثیب ثابتی افزایش و یا کاهش یابد آنچه که ثابت باقی خواهد ماند شاخص غنی‌شدنگی است، زیرا صورت و مخرج این کسر به یک نسبت افزایش و یا کاهش می‌یابند. بدین ترتیب شاخص غنی‌شدنگی تا حدود زیادی مستقل از فاکتور لیتلولوژی و یا

مؤلفه سترنیک غلظت یک عنصر در ناحیه منشاء رسوبات آبراهه‌ای می‌باشد. برای مثال در رسوب آبراهه‌ای  $A$  و  $B$  را در نظر می‌گیریم که اولی حاصل فرسایش یک واحد پریدوتی و دومی حاصل فرسایش یک واحد دولومیتی است بدینه است مقدار  $Ni$  در واحد پریدوتی و رسوب حاصل از فرسایش آن به مراتب بیشتر از مقدار همین عنصر در واحد دولومیتی و یا در رسوب حاصل از فرسایش آن است. چنانچه رسوب حاصل از فرسایش دولومیت با رسوب حاصل از فرسایش پریدوتیت از نظر غلظت نیکل مورد مقایسه قرار گیرند، ملاحظه می‌گردد که تا چه اندازه نوع اخیر از نیکل غنی‌تر است. حال آنکه اگر مقدار نیکل یک نمونه رسوب حاصل از فرسایش پریدوتیت به میانگین آن نرمالایز شود و همین عمل در مورد رسوب حاصل از فرسایش دولومیت صورت گیرد و آنگاه مقادیر نرمالایز شده با هم مقایسه شوند، ملاحظه خواهد شد که در صورت نبود مؤلفه اپی ژرتیک، اختلاف دو جامعه آماری ممکن است بی اهمیت باشد در حالتی که رسوب حاصل از فرسایش پریدوتیت به دلیل وجود کانی سازی (مؤلفه اپی ژرتیک) دارای مقادیر بسیار بالایی از نیکل باشد، در این صورت ممکن است مقادیر نرمالایز شده اختلاف فاحشی را نشان دهند. این اختلاف از نوع معنی دار تلقی شده و برخلاف اختلاف بین دو مقدار نرمالایز شده، باید در جستجوی عامل ایجاد کننده آن بود.

نظر به اینکه شاخص غنی شدگی میتواند داده‌های ژئوشیمیایی را از تغییرات لیتلولژی (مؤلفه سترنیک) در ناحیه منشاء مستقل سازد در این پژوهه مبنای محاسبات ترار گرفته است. برای محاسبه شاخص غنی شدگی متغیرهای تک عنصری در هر نمونه از رابطه زیر استفاده می‌شود:

$$EI = \frac{C^j}{(C_{med})^j}$$

در این رابطه  $EI$  شاخص غنی شدگی،  $C^j$  مقدار غلظت عنصر زدرا یک نمونه معین و  $j$  مقدار زمینه همان عنصر در جامعه مربوط به آن نمونه می‌باشد. این مقدار زمینه میتواند معادل مقدار میانه و یا معادل مقدار میانگین انتخاب گردد. در پژوهه حاضر بعلت مستقل بودن مقدار میانه از تغییرات حدی، این پارامتر به میانگین ترجیح داده شده است.

### ۳- محاسبه احتمال رخداد هر یک از مقادیر شاخص‌های غنی‌شده

(موضوع بند ۲-۸ شرح خدمات)

از آنجاکه نقشه برداری ژئوشیمیابی از رسوبات آبراهه‌ای به دو منظور مختلف شامل: ارزیابی پتانسیل معدنی واحدهای لیتولوژیکی و ساختمانی و نهایتاً تهیه نقشه‌متالوژنی این واحدها از طریق رسم نقشه توزیع ژئوشیمیابی عناصر و ارزیابی آنمالیهای ژئوشیمیابی امیدبخش جهت انجام عملیات اکتشافی تفصیلی تر صورت می‌گیرد، برای آنکه در پروژه حاضر هر دو منظور رعایت شده باشد، علاوه بر رسم نقشه توزیع ژئوشیمیابی عناصر در مقیاس ناحیه‌ای که در آن منظور اول ملاحظه می‌شود، اقدام به محاسبه احتمال رخداد هر یک از مقادیر آنمال نیز گردیده است تا بتوان از این طریق به ملاکی جهت دسترسی به منظور دوم دست یافت، پس از آنکه مقدار هر عنصر در هر یک از جوامع به میانه همان عنصر در همان جامعه تقسیم شد (نرم‌الایز کردن اثر لیتولوژیهای مختلف)، حال میتوان با تابع حاصل از نمونه‌های متعلق به جوامع مختلف، تشکیل یک جامعه کلی داد و پس از نرم‌الایز کردن این جامعه تحلیل آماری روی آن به انجام رساند. از آنجاکه تابع حاصل از فاز قبل، شاخص غنی‌شده‌ی هر عنصر را نشان میدهد، جامعه کلی بدست آمده تحت عنوان جامعه شاخص غنی‌شده‌ی نامیده میشود که در صورت دقت کافی در نقشه زمین‌شناسی می‌تواند تا حدود زیادی مستقل از فاکتور لیتولوژی در ناحیه منشاء رسوبات آبراهه‌ای باشد.

علاوه بر محاسبه پارامترهای آماری هر یک از جوامع، پس از نرم‌الایز کردن آن، احتمال رخداد هر مقدار از یک عنصر در هر نمونه نیز محاسبه گردیده است. لازم به یادآوری است که محاسبه احتمال رخداد هر یک از شاخص‌های غنی‌شده نسبت به نرم‌الایز کردن تابع توزیع بسیار حساس است.

برای محاسبه احتمالات مربوطه مطابق زیر عمل شده است:

- (۱) ابتدا مقادیر خارج از دامنه (*Out Layer*) ضریب غنی‌شده برا اساس شکل تابع توزیع تجمعی مقادیر آن تعیین و کنار گذاشته شد. (۲) برای باقی مانده جامعه که هیچ گونه مقادیر خارج از دامنه در آن وجود ندارد داده‌ها با تبدیل کاکس و باکس (۶/نرم‌الایز کردن) بر اساس داده‌های نرم‌الایز کردن  $P.N$  هر نمونه محاسبه شده است. (۳) حداقل احتمال مقادیر جامعه برای احتمال پیدایش مقادیر خارج از دامنه جایگزین شده است. احتمالات  $P.N$  حاصل بعنوان ملاکی جهت ارزیابی مقادیر بظاهر آنمال مورد استفاده قرار گرفته است.

جدول ۱-۶ نتیجه عملیات فوق را برای مقادیر میانه بعلاوه دو انحراف معیار نشان میدهد. چنانچه ملاحظه میگردد، شدت آنومالیها با معیاری احتمال پذیر محاسبه گردیده است. این شدت برابر است با عکس حاصلضرب احتمال رخداد یک مقدار معین از یک عنصر در تعداد نمونه‌های مورد بررسی در برگه ۱۰۰، ۱۰۰ باینچوب.

بدین ترتیب برای طلا پنج آنومالی، سرب سه آنومالی، روی شش آنومالی، نقره پنج آنومالی، مولبیدن دو آنومالی، آرسنیک نه آنومالی، آستیموان پنج آنومالی، بیسموت هشت آنومالی، قلع سه آنومالی، مس دو آنومالی، کبالت شش آنومالی، نیکل هشت آنومالی، کرم شش آنومالی، منگنز چهار آنومالی، باریم نه آنومالی، تنگستن سه آنومالی، جیوه شش آنومالی، بُر یک آنومالی، بریلیم یک آنومالی و استرنسیم یک آنومالی در بین نمونه‌ها حاصل گردیده است.

#### ۴- معرفی متغیرهای تک عنصری و چند عنصری و رسم نقشه آنومالی‌های مقدماتی (موضوع بند ۳-۸ شرح خدمات)

متغیرهای تک عنصری و چند عنصری که بتوانند پتانسیلهای کانساری را در این منطقه به طور مناسبتری منعکس نمایند، از طریق بکارگیری روش آنالیز فاکتوری و رسم موقعیت متغیرها در مختصات فاکتوری معرفی می‌شوند. این امر پس از خنثی‌سازی مؤلفه‌های سنتزیتیک (بطور عام) از طریق اثر دادن سنگ بالادست، صورت گرفته است. در اینصورت چنانچه مجموعه‌ای از متغیرها در امتداد محور معینی (فاکتور معینی) از مبدأ دور شده باشند، می‌توانند بعنوان متغیرهایی که ارتباط پارازنی با یکدیگر دارند، بحساب آیند. بنابراین با استفاده از این روش می‌توان با تغییر محورهای مختصات (فاکتورهای مختلف) موقعیت عناصر را واضحتر مورد مطالعه قرار داد. در مطالعه حاضر، یک مدل پنج فاکتوری توانسته است حدود ۸۰٪ از تغییرپذیری را توجیه کند. اشکال (۶-۱) تا (۶-۱۰) وضعیت متغیرهای مختلف را در مختصات‌های مختلف معرفی می‌کند. مطالعه این اشکال معرف آن است که:

##### ۱- شش متغیر $Au$ , $As$ , $Cr$ , $Hg$ , $Ni$ , $Sb$ می‌توانند خود را، در مختصات دو فاکتوری

از پنج فاکتور انتخاب شده، از سایر متغیرها جدا کنند.

##### ۲- آرسنیک با امتیاز فاکتوری حدود ۴/۰، حداکثر مقدار امتیاز فاکتوری را در بین همه فاکتورها دارا می‌باشد. این عنصر احتمالاً ردیاب کانی‌سازی طلا در این برگه است.

#### جدول ۱-۶: انتخاب مناطق امید بخش بر اساس روش P.N

ادامه جدول ۱-۶ : انتخاب مناطق امید بخش بر اساس روش P.N

Sample No.	Au	Mn	B	Cr	Co	Ni	Zn	Sr	Ba	Cu	Ag	Sn	Mo	As	Sb	Bi	Hg	W	Pb	Be	Sum (1/PN)	
BH - 315						0.94								0.02	0.01				0.08		1.06	
BH - 317			0.02			12.41												0.05		12.47		
BH - 318						12.41			0.02								2.03			14.46		
BH - 319	0.01	0.02				12.41			0.02											12.46		
BH - 322						12.41								0.03	0.02		0.05			12.50		
BH - 328			0.07												0.02		0.90	0.03	0.03		1.05	
BH - 331										0.01								1.12			1.14	
BH - 342			5.13		0.01							0.02	0.07	0.22	0.22	0.09		0.55	0.01	0.05	6.37	
BH - 361			0.07				0.17		12.41	0.01											12.66	
BH - 362	0.01											0.08					3.14				3.23	
BH - 378												0.42	0.01		0.06	0.02	1.80				2.30	
BH - 383												0.01				0.02		1.50			1.54	
BH - 409			9.30	0.06			0.18														9.54	
BH - 670			1.98	3.63	0.02		0.01														5.65	
BH - 671			12.41	12.41	0.07		0.02		1.94												26.85	
BH - 783					12.41										0.23						12.64	
BT - 20	0.08						0.02			0.03	12.41	4.61	0.02	0.01					0.01		17.19	
BT - 26	0.03											0.01		2.14	0.02						2.20	
BT - 48		0.03			0.09													12.41			12.53	
BT - 49		0.05			0.02		12.41				0.04						0.21			1.65	14.37	
BT - 77	0.06	0.01					9.23			0.13	0.03	0.42	12.41	0.41	0.01	1.75	0.02	0.01	0.34		24.84	
BT - 181	0.99						-						0.02					0.35	0.01		1.39	
BT - 238		12.41	0.02		0.01	0.02			0.01		0.01										12.48	
BT - 241							1.43		0.01	0.06			0.01			0.03		0.02			1.56	
BT - 248	0.07						0.06		0.58		12.41		12.41	0.04							25.56	
BT - 255												0.02	0.09	0.02			1.74		0.01	0.01	0.04	1.92
BT - 256		0.92					0.49				0.01		0.42	0.02	0.07	12.41			0.25			14.59
BT - 258		0.04			0.02	0.01	12.41											0.01	0.05		12.54	
BT - 281					0.11	0.01						0.25	0.06				0.01	12.41		0.05		12.91
BT - 282	0.04				0.02	0.01		12.41		0.01			0.09	0.03				12.41		0.05		12.66
BT - 286		0.01																	4.68		17.11	
BT - 289		0.01					0.53			0.01	12.41		0.01		0.22			0.01			13.21	

ادامه جدول ۱-۶ : انتخاب مناطق امید بخش بر اساس روش P.N

Sample No.	Au	Mn	B	Cr	Co	Ni	Zn	Sr	Ba	Cu	Ag	Sn	Mo	As	Sb	Bi	Hg	W	Pb	Be	Sum (1/PN)	
BT - 301	0.71						0.01						0.23					0.17		1.12		
BT - 310							12.41											0.27		12.68		
BT - 313		0.11					12.41													12.52		
BT - 450							0.78						0.91	0.27	0.92					2.88		
BT - 455							4.75		12.41				0.01		0.12					17.28		
BT - 685	0.06		0.24										0.01		0.04	0.23			0.43		1.02	
BT - 687														0.01	0.06		3.71	0.03		3.81		
BT - 695													1.23	0.01	0.01	0.01	0.02			0.05		
BT - 698							12.41											0.01		0.08		
BT - 709			0.02	0.02	0.01		0.02		3.82				0.27		0.05	0.05			0.08		4.34	
BT - 714																	12.41				12.41	
BT - 717							0.05		12.41				0.02		0.06	0.02				0.01		12.57
BT - 718							0.07		1.45				0.01		0.11	0.02				0.01		1.67
BT - 788	0.01														2.45	0.03		0.45	0.03		2.97	
BT - 791			0.24		0.03								0.01		12.41	0.08	0.02	0.41	0.05		13.25	
BT - 792															1.01					0.05	1.06	
BT - 793							0.01								8.48			0.02			8.52	
BT - 794															3.71						3.71	
BT - 795	3.37		0.05											12.41	0.11		0.07	0.28			16.29	

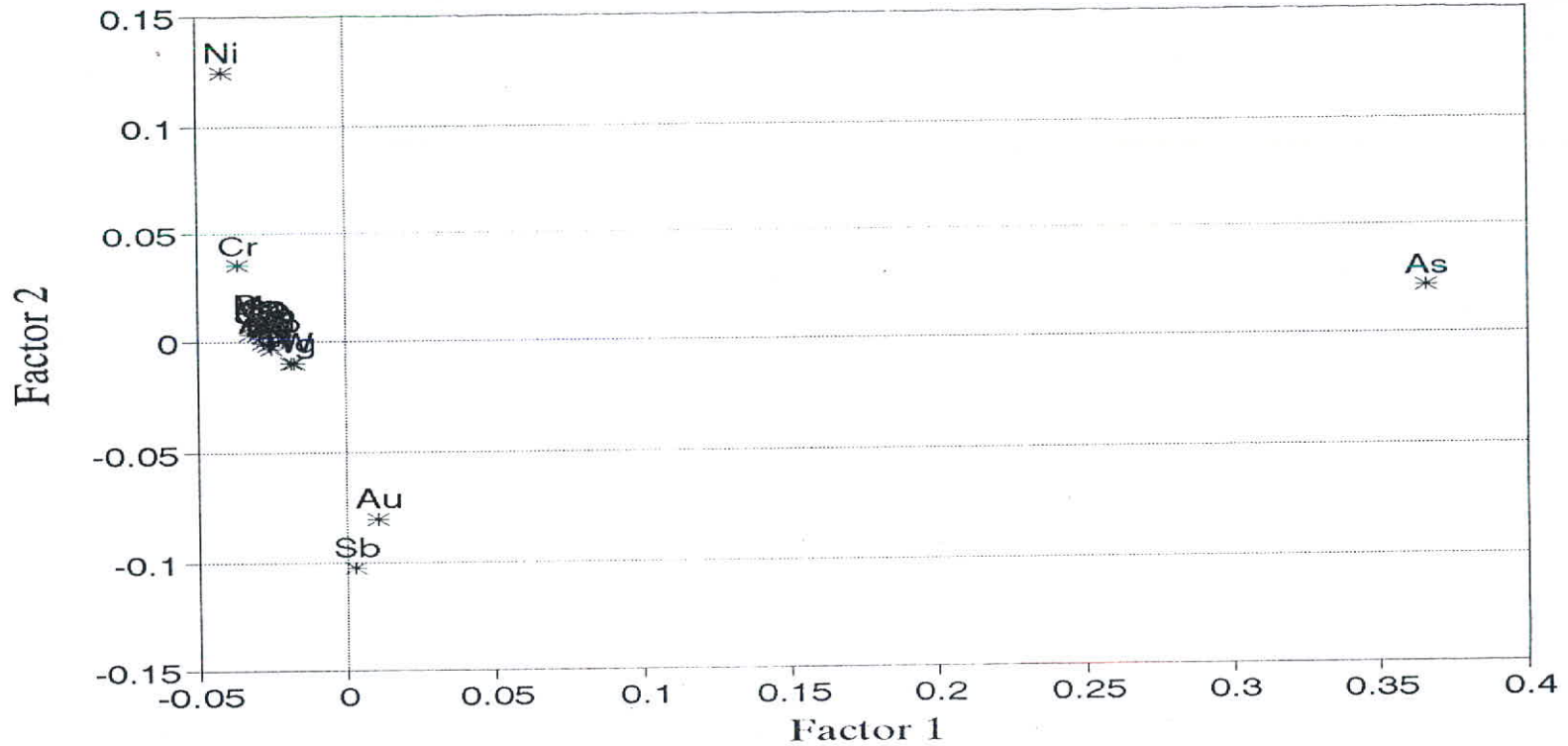


Fig. 6-1 : Graphical Representation of Factor Analysis for Geochemical Variables in Bayenchub 1/100,000 Sheet.

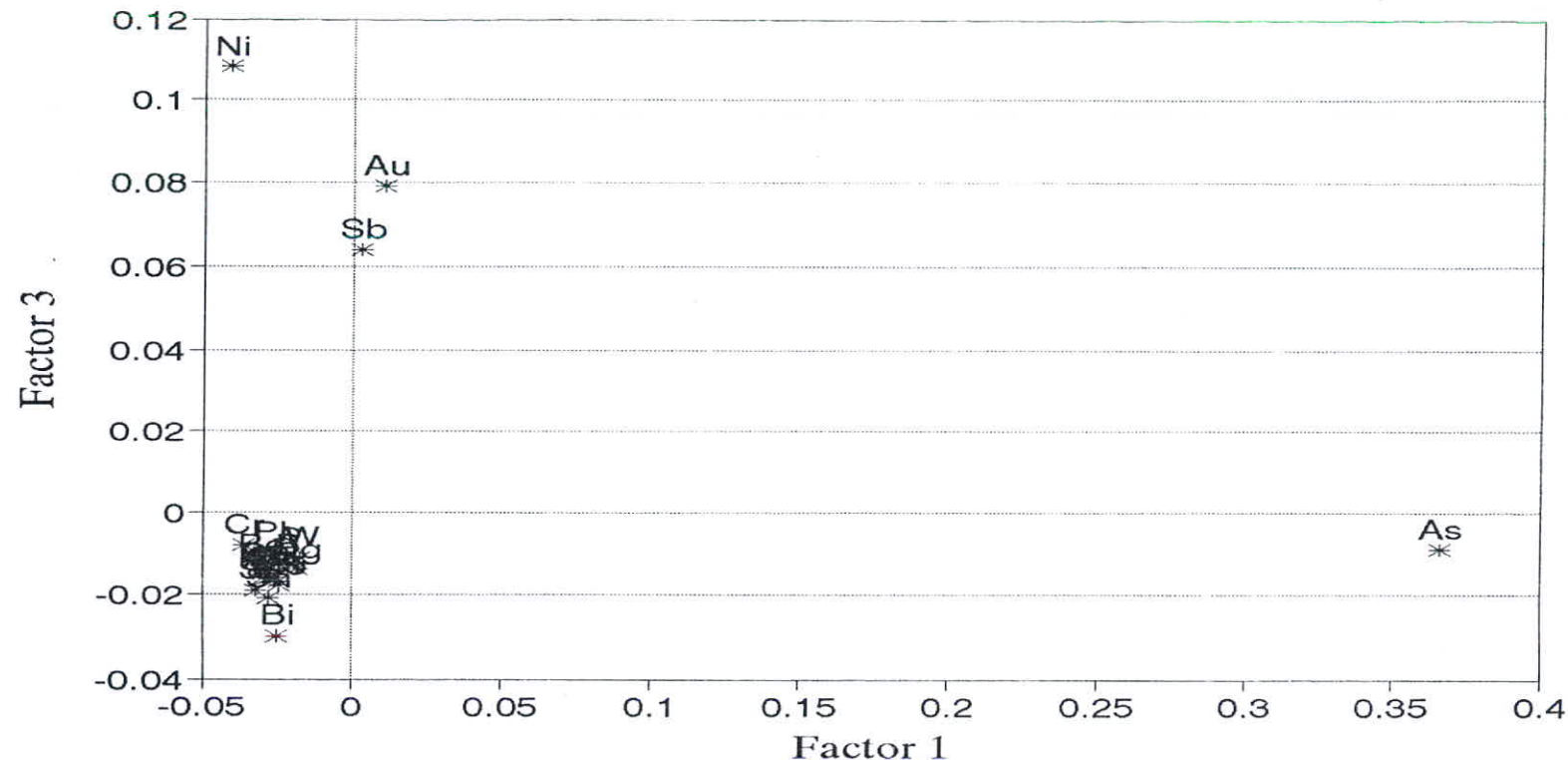


Fig. 6-2 : Graphical Representation of Factor Analysis for Geochemical Variables in Bayenchub 1/100,000 Sheet.

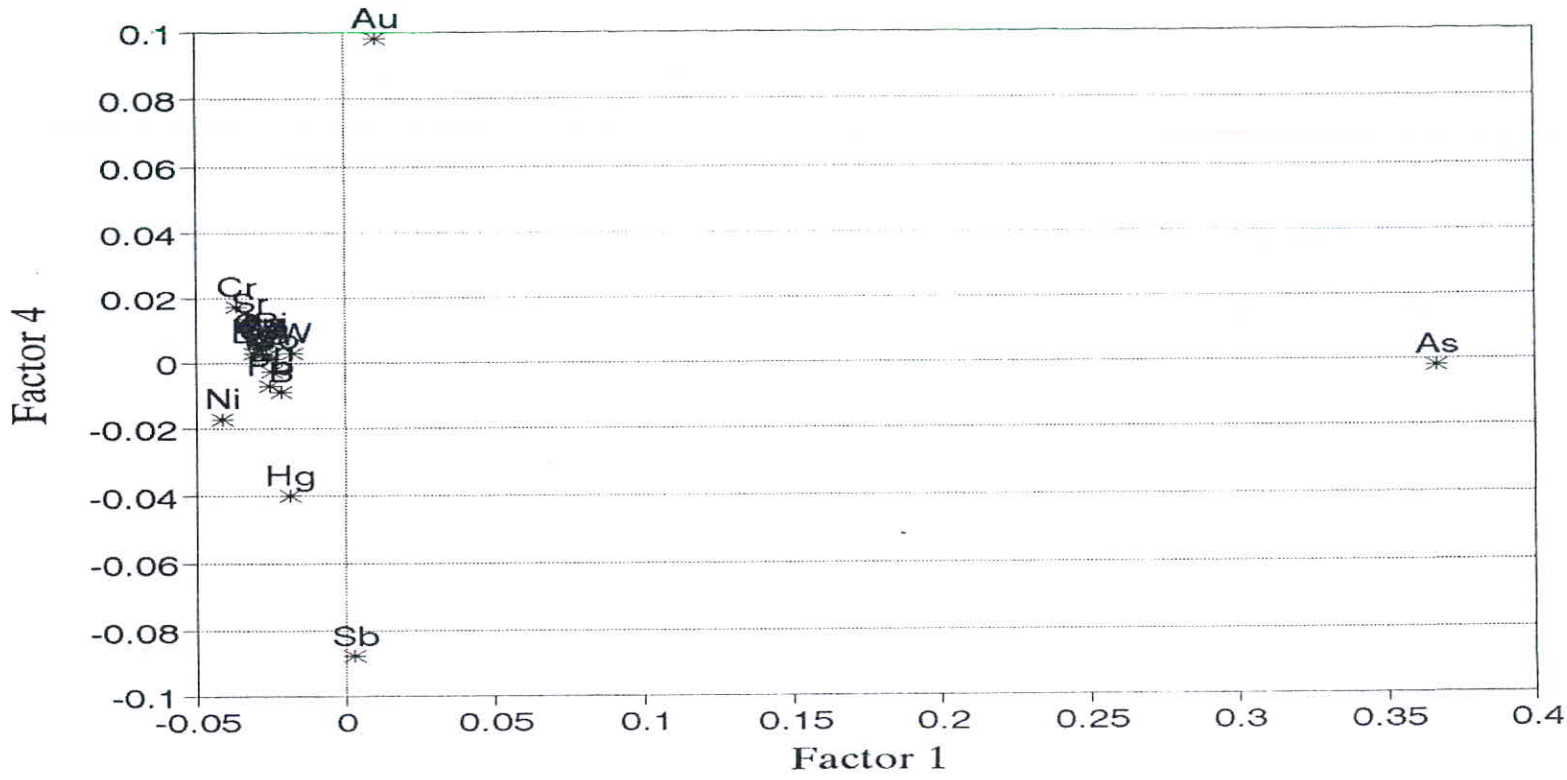


Fig. 6-3 : Graphical Representation of Factor Analysis for Geochemical Variables in Bayenhub 1/100,000 Sheet.

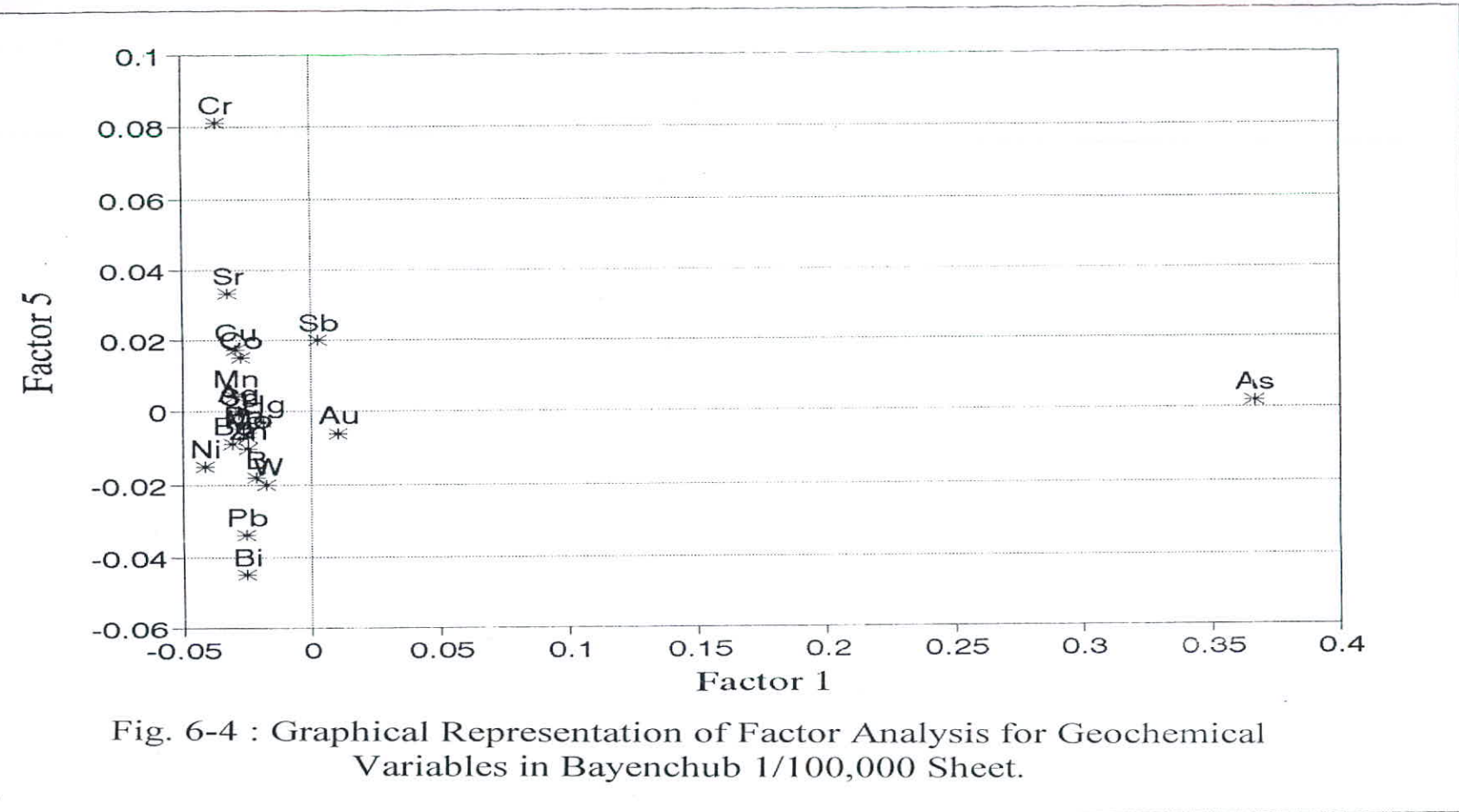


Fig. 6-4 : Graphical Representation of Factor Analysis for Geochemical Variables in Bayenchub 1/100,000 Sheet.

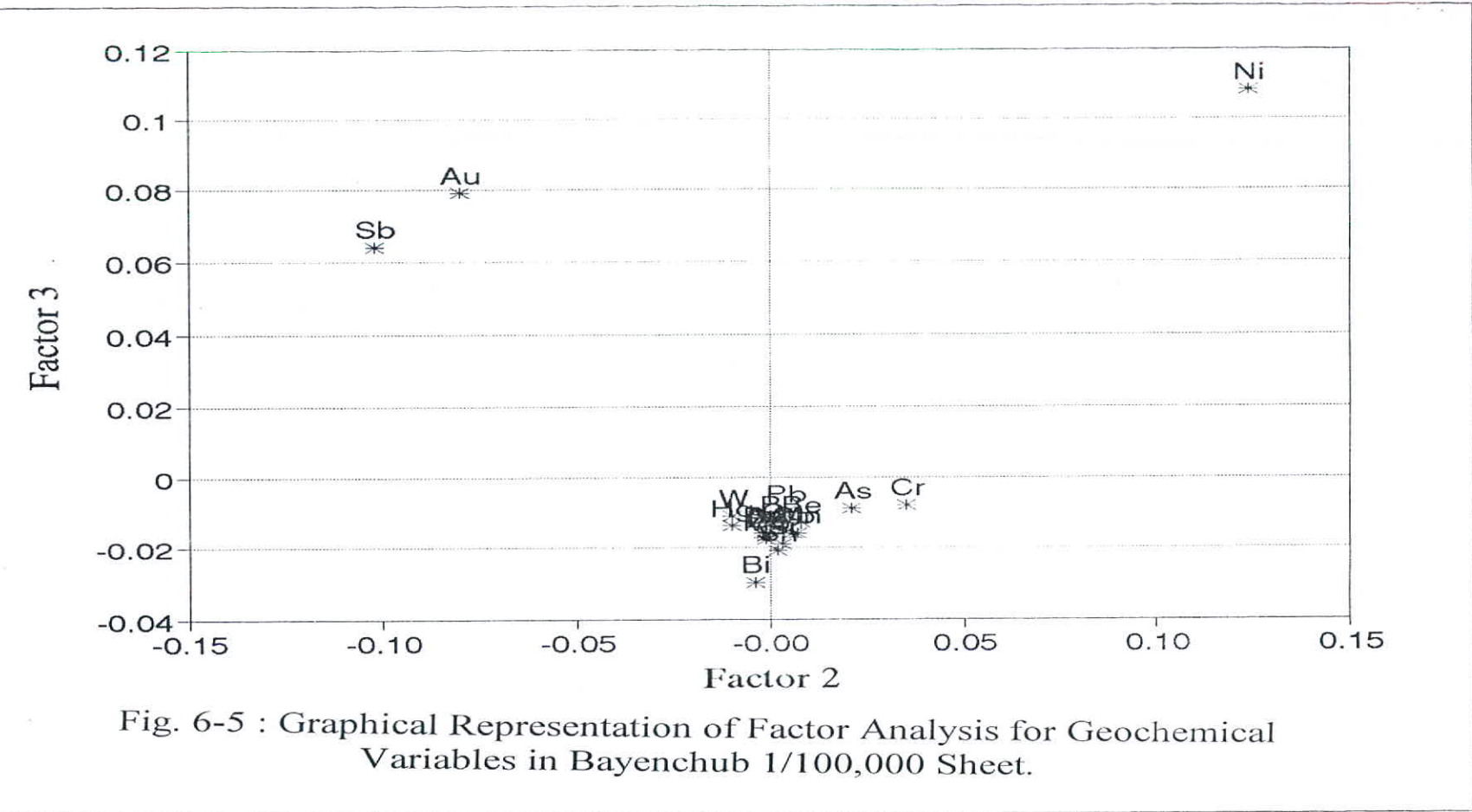


Fig. 6-5 : Graphical Representation of Factor Analysis for Geochemical Variables in Bayenchub 1/100,000 Sheet.

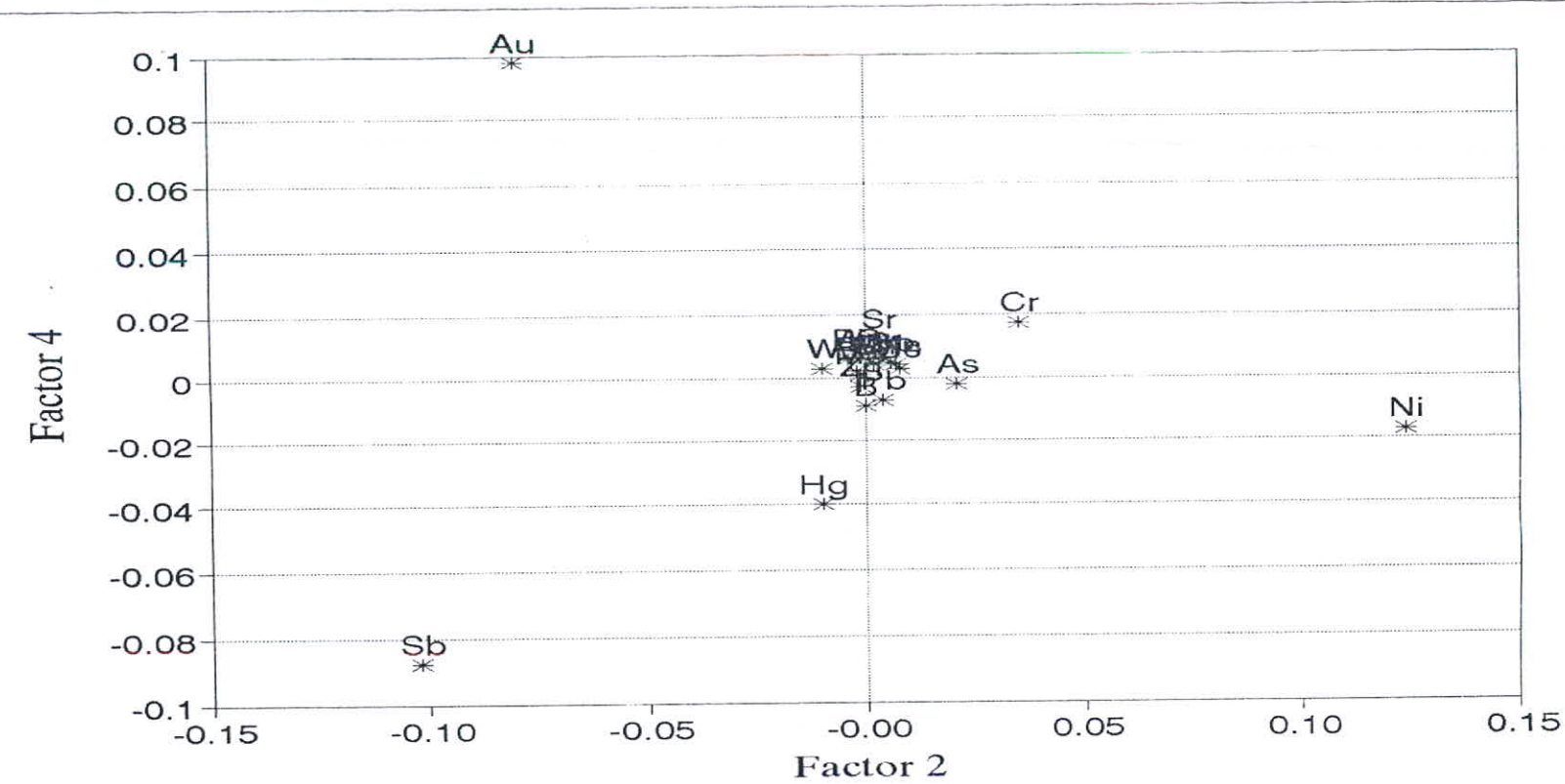


Fig. 6-6 : Graphical Representation of Factor Analysis for Geochemical Variables in Bayenchub 1/100,000 Sheet.

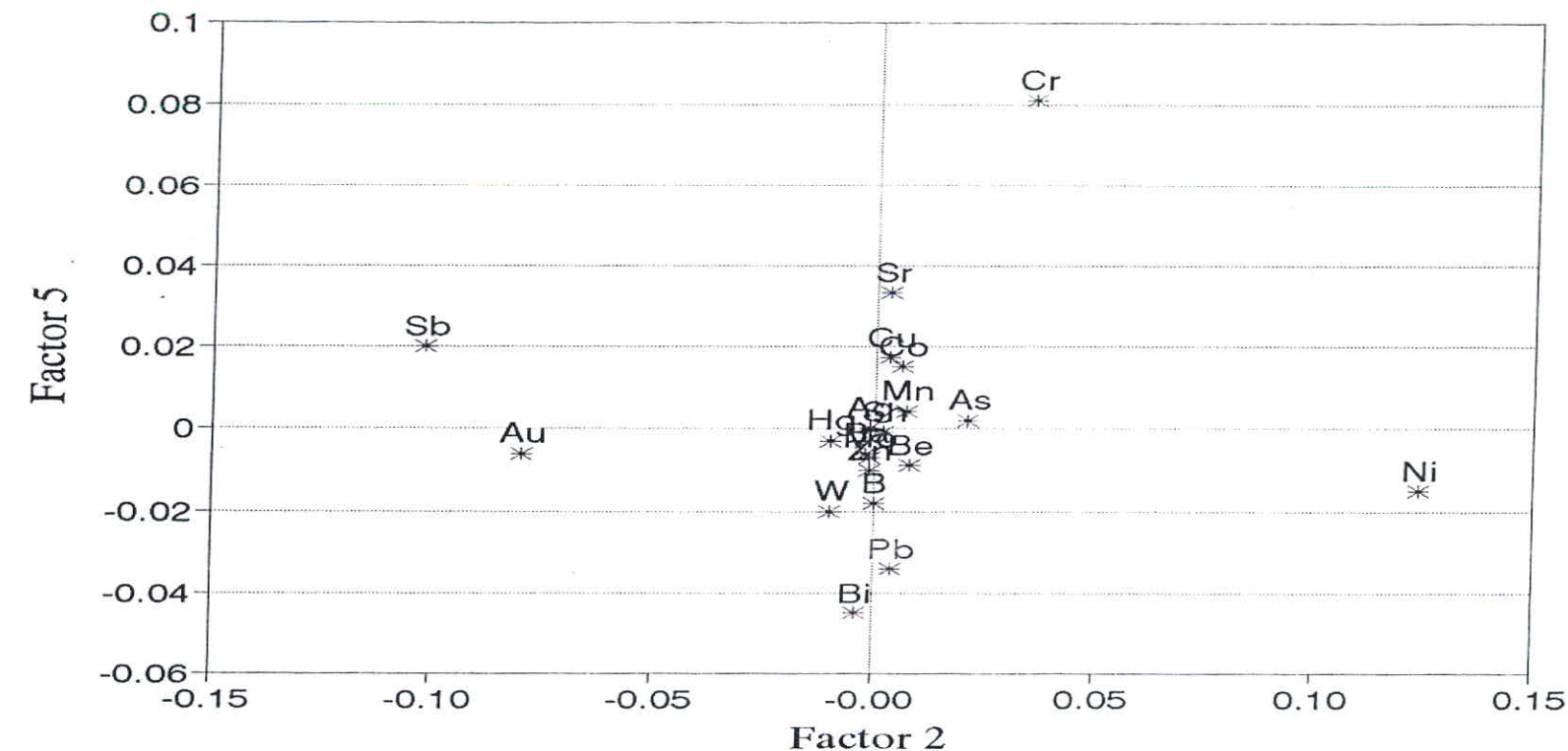


Fig. 6-7 : Graphical Representation of Factor Analysis for Geochemical Variables in Bayenhub 1/100,000 Sheet.

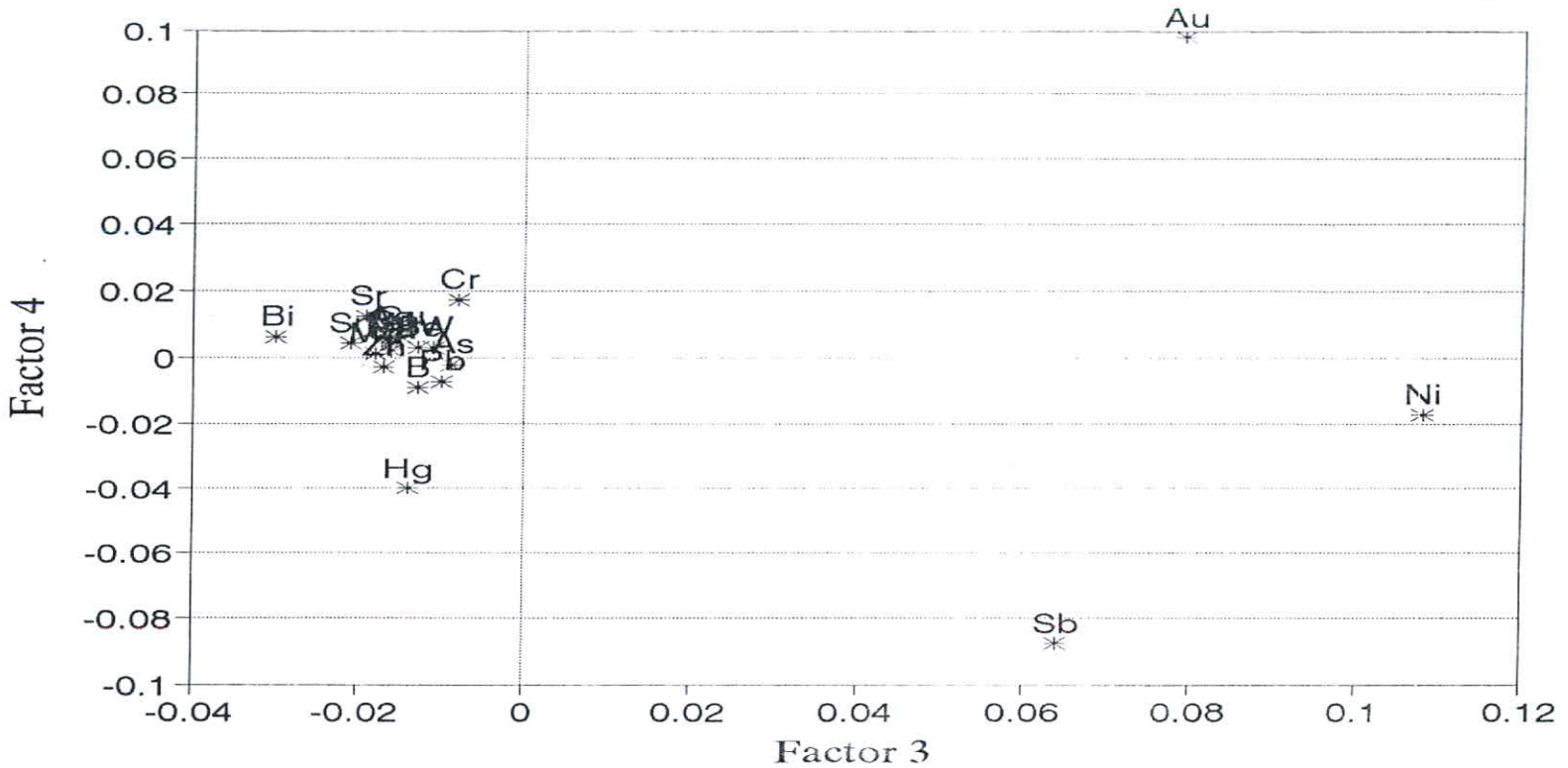


Fig. 6-8 : Graphical Representation of Factor Analysis for Geochemical Variables in Bayenchub 1/100,000 Sheet.

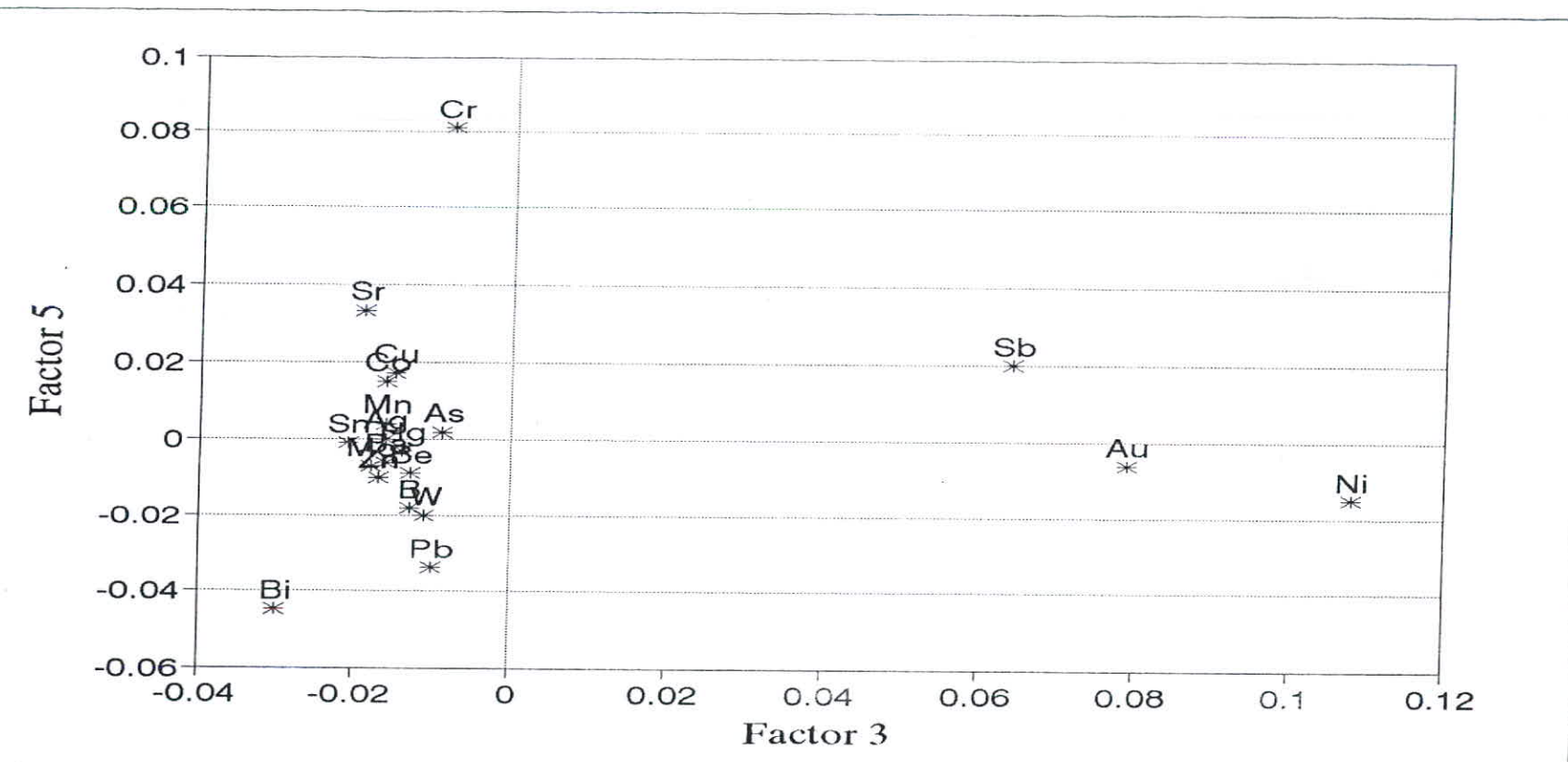


Fig. 6-9 : Graphical Representation of Factor Analysis for Geochemical Variables in Bayenchub 1/100,000 Sheet.

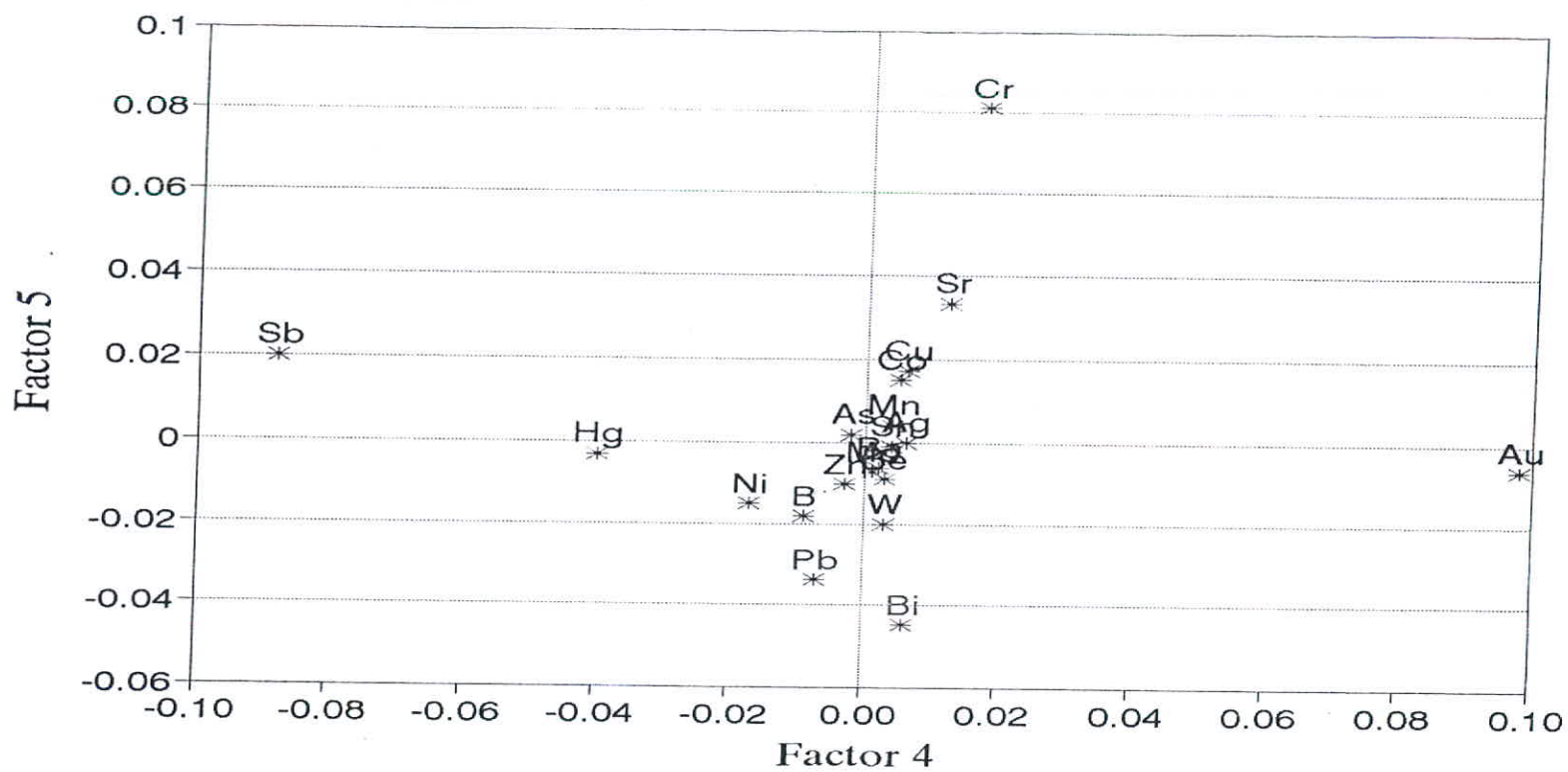


Fig. 6-10 : Graphical Representation of Factor Analysis for Geochemical Variables in Bayenchub 1/100,000 Sheet.

گرچه داده‌های زئوژیمیابی رسوبات آبراهه‌ای این نظر را قویاً تأیید نمی‌کند (شکل ۱-۶)، ولی با توجه به جمیع جهات بخصوص روابط احتمالی آنها در نمونه‌های میزرازه برداشت شده از همین برگه و پارازنترهای مشابه در این برگه با برگه آلت به نظر می‌رسد که آرسنیک ردیاب طلا باشد. استدلال مشابهی برای عنصر آتیومان (تا حدی قوی‌تر) نیز می‌تواند صادق باشد. ولی جیوه چندان ارتباطی نشان نمی‌دهد.

۳- از آنجاکه امتیازات فاکتوری طلاکوچک است لذا بر طبق این آنالیز چند متغیره (انطباقی  $R$  و  $Q$  مدل) ۷/۱ تا آنجاکه به کانی سازی طلا مربوط می‌شود پتانسیل کانی سازی آن نسبت به برگه آلت در سطح پائین تری است. البته این سطح پائین تر ممکن است از نظر وسعت باشد (تعداد نمونه‌های آنومال تولید کننده واریانس) نه از نظر شدت. (اشکال ۱-۶ تا ۱۰-۶)

۴- امتیازات فاکتوری نیکل برای فاکتور ۲ و ۳ قابل توجه بوده و حال آنکه کرم در فاکتور ۲ و ۵ خود را بیشتر متمایز می‌کند، بنابراین ممکن است فاکتور دو که در هر دو مشترک است، معرف باقی مانده اثر سنگ بالا دست (سنگ بالا دست هر نمونه بر اساس نقشه ۱:۱۰۰، ۱:۱۰۰۰ تعیین شده است) باشد. از آنجاکه آثار کانی سازی این در عنصر در منطقه مشاهده نگردیده است، لذا ممکن است مولفه‌های ستریتیک (وابسته به پدیده‌های سنگ زایی) در ایجاد آنها نقش مؤثری ایفا کرده باشد.

در جدول ۱-۶ نقاط نمونه برداری امیدبخش متعلق به هر حوضه آبریز همراه با مقدار  $\sum I|PN$  آن آورده شده است. برای همین نمونه‌ها در روی مختصات فاکتوری نیاز به آنالیز همزمان  $R$ -mode و  $Q$ -mode می‌باشد. این آنالیز تحت عنوان آنالیز انطباقی انجام گردید و نتایج مورد مقایسه واقع شد (اشکال ۱۱-۶ تا ۱۳-۶). از مقایسه داده‌های این جدول با اشکال ۱۱-۶ تا ۱۳-۶ مشخص می‌گردد که انتخاب مناطق امیدبخش از دو روش بکار برده شده در مورد آرسنیک ۷۵٪، طلا ۳۶٪ و آتیومان ۵۰٪ انطباق دارد. معنوان یک نتیجه کلی از مقایسه این دو روش، مشخص می‌گردد که روش آنالیز فاکتوری حدوداً ۳۷٪ نقاط امیدبخش را بیش از روش  $PN$  نشان می‌دهد.

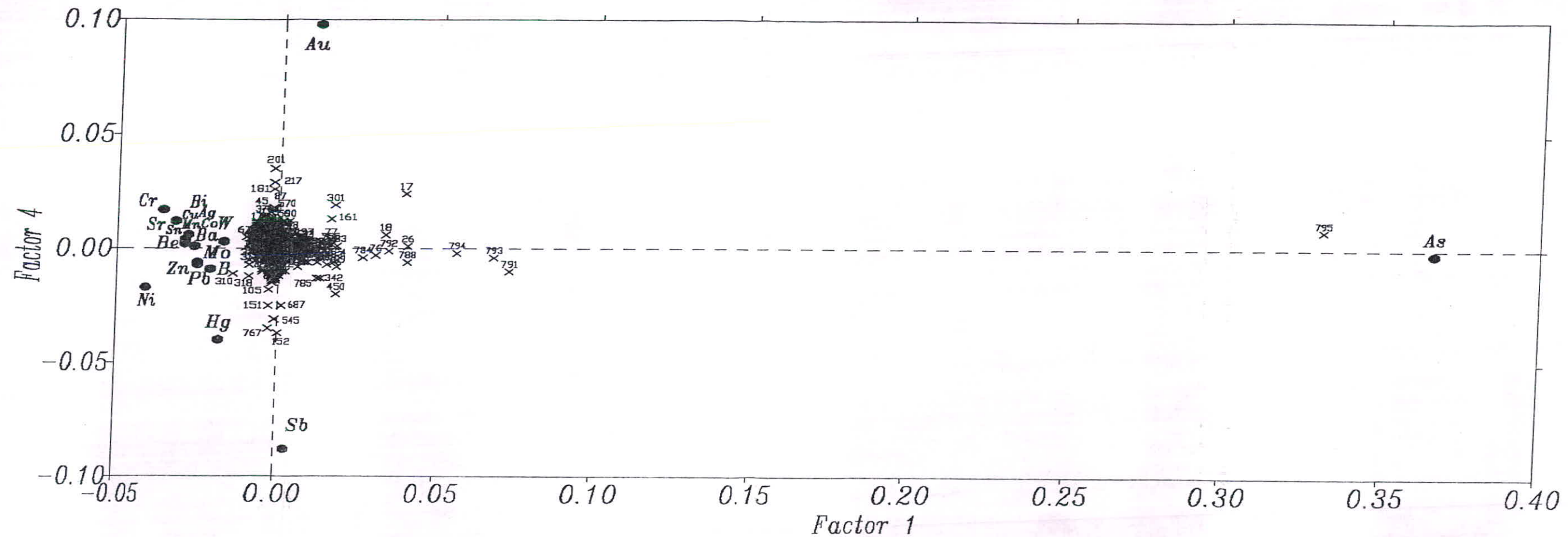


Fig. 6-11: Graphical Representation of the Results of Correspondence Analysis For Geochemical Variables and Associated Samples in Bayenchub 1/100,000 Sheet .

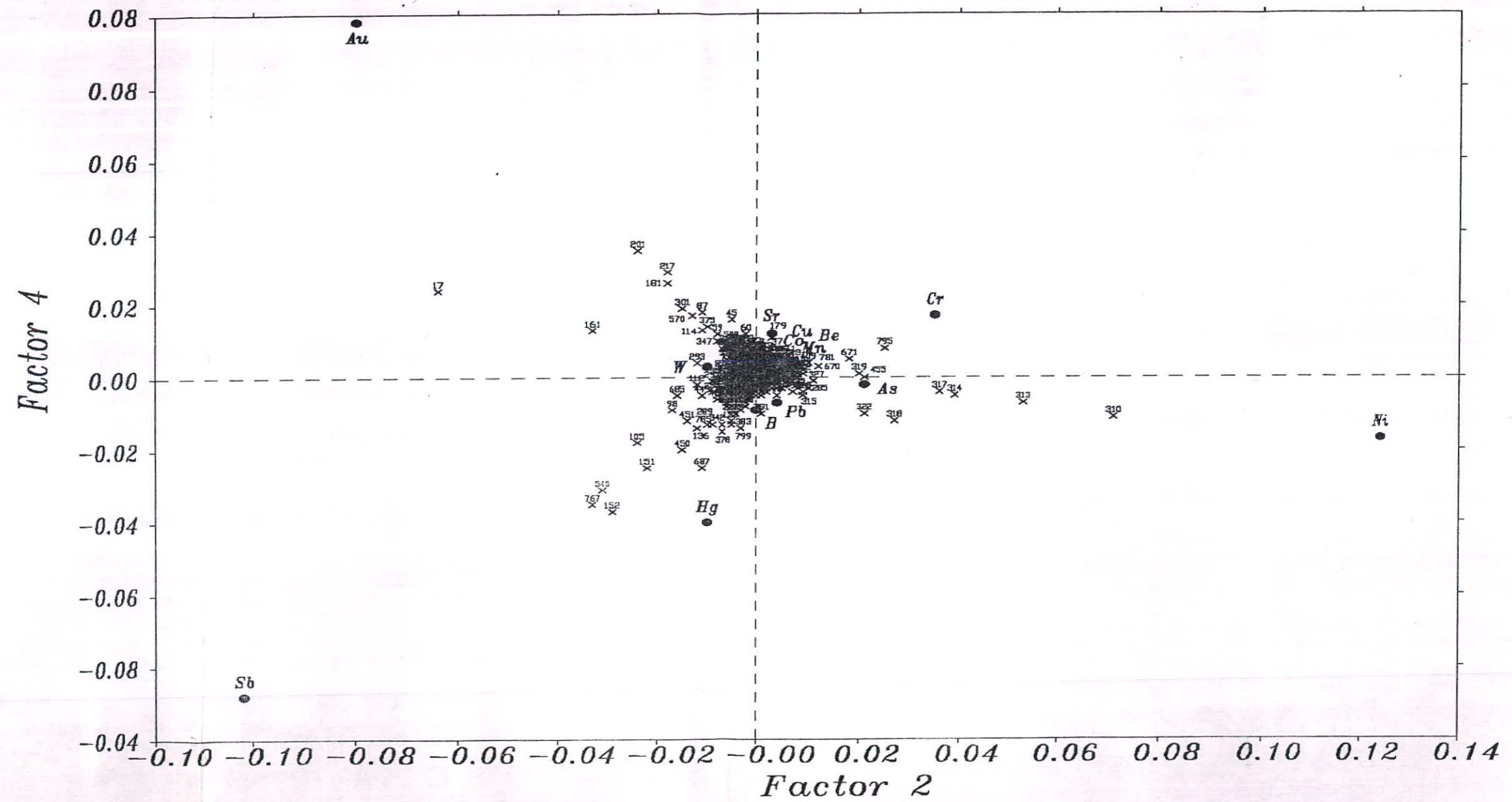


Fig. 6-12: Graphical Representation of the Results of Correspondence Analysis For Geochemical Variables and Associated Samples in Bayenhub 1/100,000 Sheet.

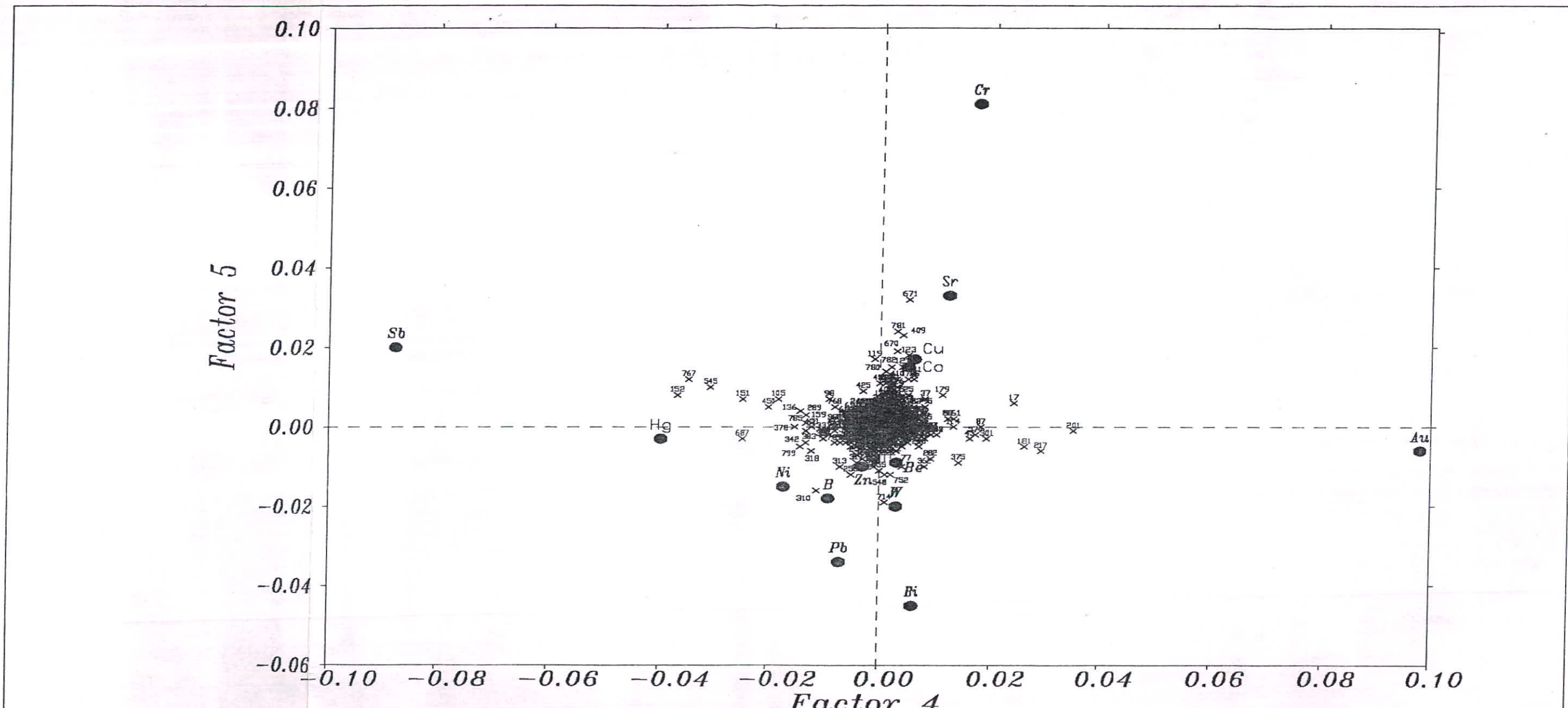


Fig. 6-13: Graphical Representation of the Results of Correspondence Analysis For Geochemical Variables and Associated Samples in Bayenhub 1/100,000 Sheet .

در جدول (۶-۶) نمونه‌های آنومال تعیین شده به روش آنالیز انباتی در محورهای مختلف  $F_1-F_4$ ،  $F_2-F_4$  و  $F_4-F_5$  همراه با مقادیر  $PN$  آنها و پاراژنرهای مرتبط در ستونهای مختلف این جدول به ترتیب از چپ به راست نشان داده شده‌اند. مقایسه آنها دلالت بر آن دارد که روش  $PN$  فقط حدود ۶۳٪ از نمونه‌های بدست آمده از روش آنالیز انباتی را تأیید می‌کند.

**۵- رسم نقشه توزیع شاخص غنی‌شدگی هر یک از عناصر و معرفی مناطق آنومالی مقدماتی** (موضوع بخشی از بند ۵-۸ شرح خدمات) نقشه تک متغیره توزیع شاخص غنی‌شدگی کلیه متغیرهای ژئوشیمیابی با توجه به اهمیت آنها رسم گردیده، تا به همراه نقشه‌های چند متغیره در کنترل آنومالی‌ها به کار رود. برای رسم نقشه توزیع متغیرهای مختلف قبل از مرحله کنترل آنومالی‌ها، محدوده‌های یک درصد بالای فراوانی به عنوان مناطق درجه اول و بین ۱ تا ۲/۵ درصد فراوانی، به عنوان مناطق درجه دوم انتخاب گردید تا فاز کنترل آنومالی‌ها روی آنها انجام شود. برای مرحله کنترل آنومالی‌ها پس از پردازش داده‌ها و آنالیز چند متغیره اقدام به رسم چهار تیپ نقشه شده است که شامل موارد زیر است:

۱- نقشه امتیازات ناکتوری (چند متغیره) مطابق بند ۳-۸ شرح خدمات (شکل ۱۷-۶).

۲- رسم نقشه متغیرهای تک عنصری (به صورت مجموع عکس  $P.N$  آنها) مطابق بند ۳-۸ شرح خدمات (شکل ۱۶-۶).

۳- نقشه شاخص غنی‌شدگی (بر اساس آنالیز ویژگی) [۸] برای چهار گروه پاراژنری ( $Cu+Cr+Co+Ni+Sr$ )، ( $Au+As+Sb+Hg+W$ )، ( $Ag+Mo+Bi+Sn$ ) شامل: و ( $Pb+Zn+Be+B+Ba+Mn$ ) (شکل ۱۴-۶).

برای رسم این نقشه‌ها ابتدا ۲/۵٪ بالای شاخص غنی‌شدگی هر جامعه انتخاب و سپس برای مقادیر بالاتر عدد ۱ و برای مقادیر پائین تر عدد صفر انتخاب گردیده است. حاصل ماتریسی است که می‌توان بر اساس آن آنالیز ویژگی را به انجام رساند.

۴- نقشه آماره «U» [۹] شاخص غنی‌شدگی بر اساس آنالیز ویژگی چهار گروه پاراژنری ( $Cu+Cr+Co+Ni+Sr$ )، ( $Au+As+Sb+Hg+W$ )، ( $Ag+Mo+Bi+Sn$ ) شامل: و ( $Pb+Zn+Be+B+Ba+Mn$ ) (شکل ۱۵-۶).

جدول ۲-۶ : مقایسه نمونه های آنومال بدست آمده از روش های PN و آنالیز انطباقی (Rمد و Qمد)

Factor1-Factor4

Sample No.	Anomaly	E.I.	1/PN	Paragenesis
<b>As</b>				
BT795	As(1)	181.82	12.41	Au(1)
BT791	As(1)	20.82	12.41	B(2)-W(2)
BT793	As(1)	16.93	8.48	—
BT794	As(1)	12.47	3.71	—
BH017	As(1)	12.24	3.52	Au(1)-Sb(1)
BT788	As(1)	10.78	2.45	—
BT026	As(2)	10.3	2.14	—
BH018	As(2)	8.55	1.23	—
BT792	As(2)	8.03	1.01	—
BT076	As(2)	7.19	—	—
BT784	As(2)	6.63	—	—
BT789	As(2)	5.45	—	B(2)
<b>Au</b>				
BH017	Au(1)	23.15	12.41	As(1)-Sb(1)
BT795	Au(1)	12	3.37	As(1)
BB201	Au(1)	10.27	2.3	Sr(1)
BH161	Au(1)	9.47	1.87	—
BH217	Au(1)	8.57	1.43	Cr(1)
BT181	Au(2)	7.5	0.99	W(1)
BT301	Au(2)	6.66	0.71	—
BE570	Au(2)	5.09	—	—
BT087	Au	4.43	—	—
BB114	Au(2)	4.35	—	—
BT045	Au(2)	3.82	—	W(2)
BH375	Au	3.42	—	—
BT059	Au(2)	3.38	—	—
BT060	Au(2)	3.11	—	—
<b>Sb,Hg</b>				
BH017	Sb(1)	15.39	12.41	As(1)-Au(1)
BH152	Sb(1)	11.83	6.3	—
BB767	Sb(1)	10.52	4.27	Sr(1)-Cu(1)
BB545	Sb(1)	9.62	3.15	—
BH151	Sb(1)	7.29	1.22	—
BT105	Sb(2)	6.49	—	—
BH378	Sb	3.07	0.06	—
BT687	Sb	3.06	0.06	—
BH328	Sb	2.16	0.02	B(2)
BT312	Sb	0.84	—	—
BT687	Hg(1)	10.66	3.71	—
BE799	Hg(1)	8.75	3.05	Zn(1)
BH318	Hg(1)	6.46	2.03	—
BH378	Hg(2)	6	1.8	—
BH383	Hg(2)	5.42	1.5	—
BH331	Hg(2)	4.7	1.12	—
BH328	Hg	4.28	0.9	B(2)
BH152	Hg	4.11	0.82	Sb(1)

جدول ۲-۶ : مقایسه نمونه های آنومال بدست آمده از روش های PN و آنالیز انطباقی (R مد و Q مد)

Factor4-Factor5				
Sample No.	Anomaly	E.I.	1/PN	Paragenesis
Cr				
BH671	Cr(1)	6.96	12.41	Co(1)-Cu(1)
BB781	Cr(1)	5.73	12.41	Co(1)
BH409	Cr	5.19	9.3	—
BT455	Cr(1)	4.68	4.75	Ni(2)
BH670	Cr(1)	4.08	1.98	Co(1)
BB782	Cr(2)	3.7	1.07	Co(1)
BB123	Cr(2)	3.57	0.85	Sr(1)
BB780	Cr(2)	3.56	0.84	—
BB119	Cr(2)	3.4	0.63	Sr(1)
Au				
BH017	Au(1)	23.15	12.41	As(1)-Sb(1)
BT795	Au(1)	12	3.37	As(1)
BB201	Au(1)	10.27	2.3	Sr(1)
BH161	Au(1)	9.47	1.87	—
BH217	Au(1)	8.57	1.43	Cr(1)
BT181	Au(2)	7.5	0.99	W(1)
BT301	Au(2)	6.66	0.71	—
BE570	Au(2)	5.09	—	—
BT087	Au	4.43	—	—
BB114	Au(2)	4.35	—	—
BT045	Au(2)	3.82	—	W(2)
BH375	Au	3.42	—	—
BT059	Au(2)	3.38	—	—
BT060	Au(2)	3.11	—	—
Sb,Hg				
BH017	Sb(1)	15.39	12.41	As(1)-Au(1)
BH152	Sb(1)	11.83	6.3	—
BB767	Sb(1)	10.52	4.27	Sr(1)-Cu(1)
BB545	Sb(1)	9.62	3.15	—
BH151	Sb(1)	7.29	1.22	—
BT105	Sb(2)	6.49	—	—
BH378	Sb	3.07	0.06	—
BT687	Sb	3.06	0.06	—
BH328	Sb	2.16	0.02	B(2)
BT312	Sb	0.84	—	—
BT687	Hg(1)	10.66	3.71	—
BE799	Hg(1)	8.75	3.05	Zn(1)
BH318	Hg(1)	6.46	2.03	—
BH378	Hg(2)	6	1.8	—
BH383	Hg(2)	5.42	1.5	—
BH331	Hg(2)	4.7	1.12	—
BH328	Hg	4.28	0.9	B(2)
BH152	Hg	4.11	0.82	Sb(1)

برای رسم این نقشه ابتدا آماره « $L$ » شاخص غنی‌شدنی برای همه نمونه‌های موجود در هر جامعه محاسبه شد، سپس مطابق بند ۳ عمل گردید. در خصوص استفاده از آماره « $L$ » لازم به ذکر است که در این روش علاوه بر غلظت متغیرهای زئوژیمیابی (در مورد این پروژه شاخص غنی‌شدنی) باید مختصات محل مربوط به هر داده معلوم باشد تا بتوان ساختار فضایی بهینه آنرا تخمین زد. می‌دانیم که در تخمین‌های زئوژیمیابی نوع خطوط همواره موجب گمراهی می‌شود: ۱- طبقه بندی یک نمونه آنومال در رد نمونه‌های زمینه (۲۱)، ۲- طبقه بندی یک نمونه غیر آنومال در رد نمونه‌های آنومال (۲۲). هدف از تخمین بهینه آن است که به حالتی دسترسی پیدا کنیم که مجموع این دو خطوط می‌گردد، زیرا کاهش هر یک از آنها به تنها مشکل را حل نمی‌کند. آماره « $L$ » تکنیکی است که به وسیله آن می‌توان به این هدف دست یافت و با افزایش تعداد نمونه‌ها مجموع خطاهای فوق را به صفر رساند. از آن جا که در محدوده برگه باینچوب ۸۰۶ نمونه برداشت شده است می‌توان پذیرفت که شرط فوق تا حدود زیادی صادق است. با توجه به مراتب فوق پس از انتخاب و معرفی مناطق امیدبخش لازم است، با استفاده از تکنیک آماره « $L$ » به بهینه سازی آنها پرداخت.

در مجموع مناطق آنومالی امیدبخشی که توجیه کنترل در این فاز را دارند مساحتی حدود ۲۹۰ کیلومتر مربع را می‌پوشانند که مساحت‌های آنها به ترتیب در هر یک از برگه‌های ۹۵، ۴۵، ۶۱، ۸۹، ۶۱، ۵۰، ۱:۵۰،۰۰۰ هزار کانیان، باینچوب، اسلام دشت و بست حدوداً برابر با ۹۵ کیلومتر مربع می‌باشد.

Fig. : 6 - 14

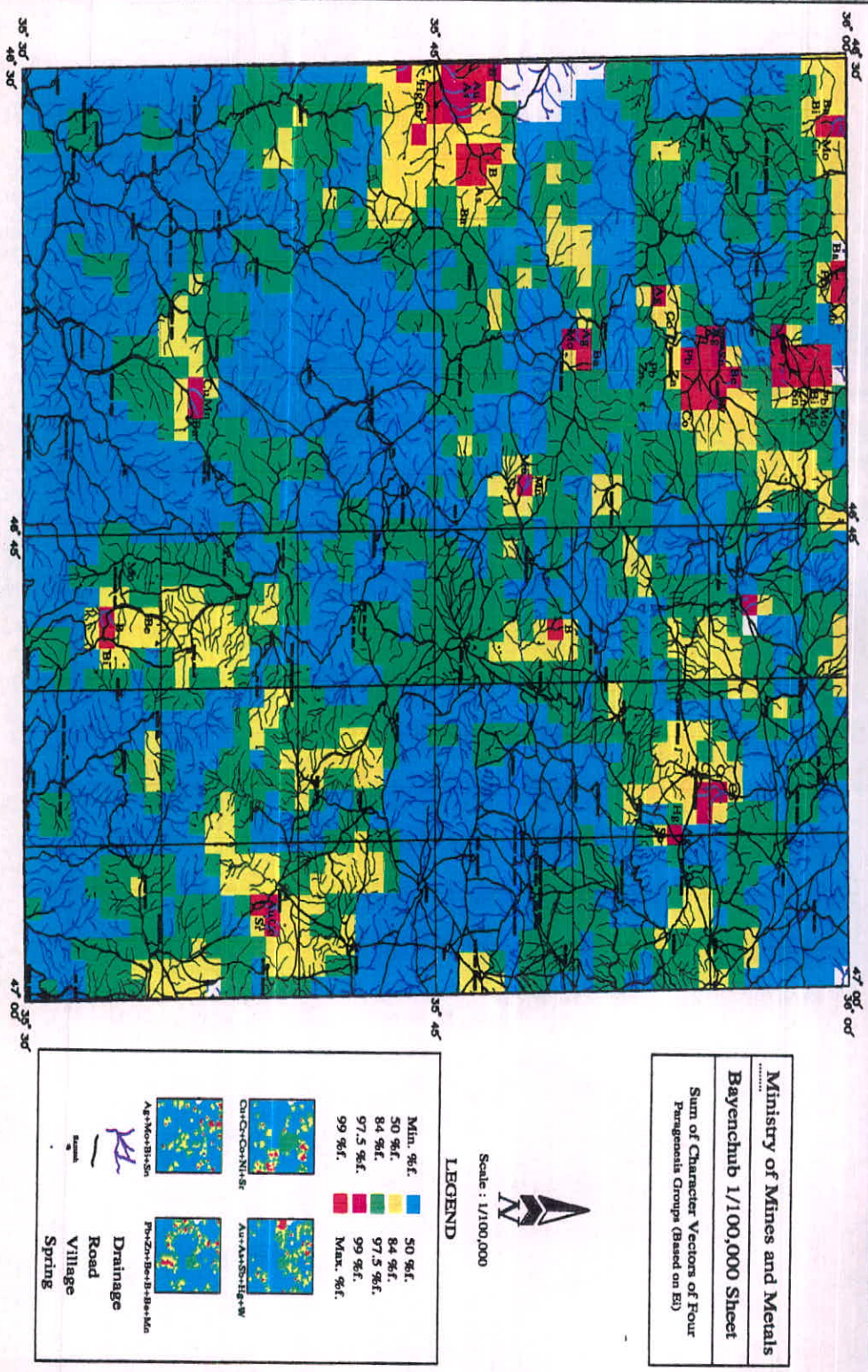


Fig. : 6 - 15

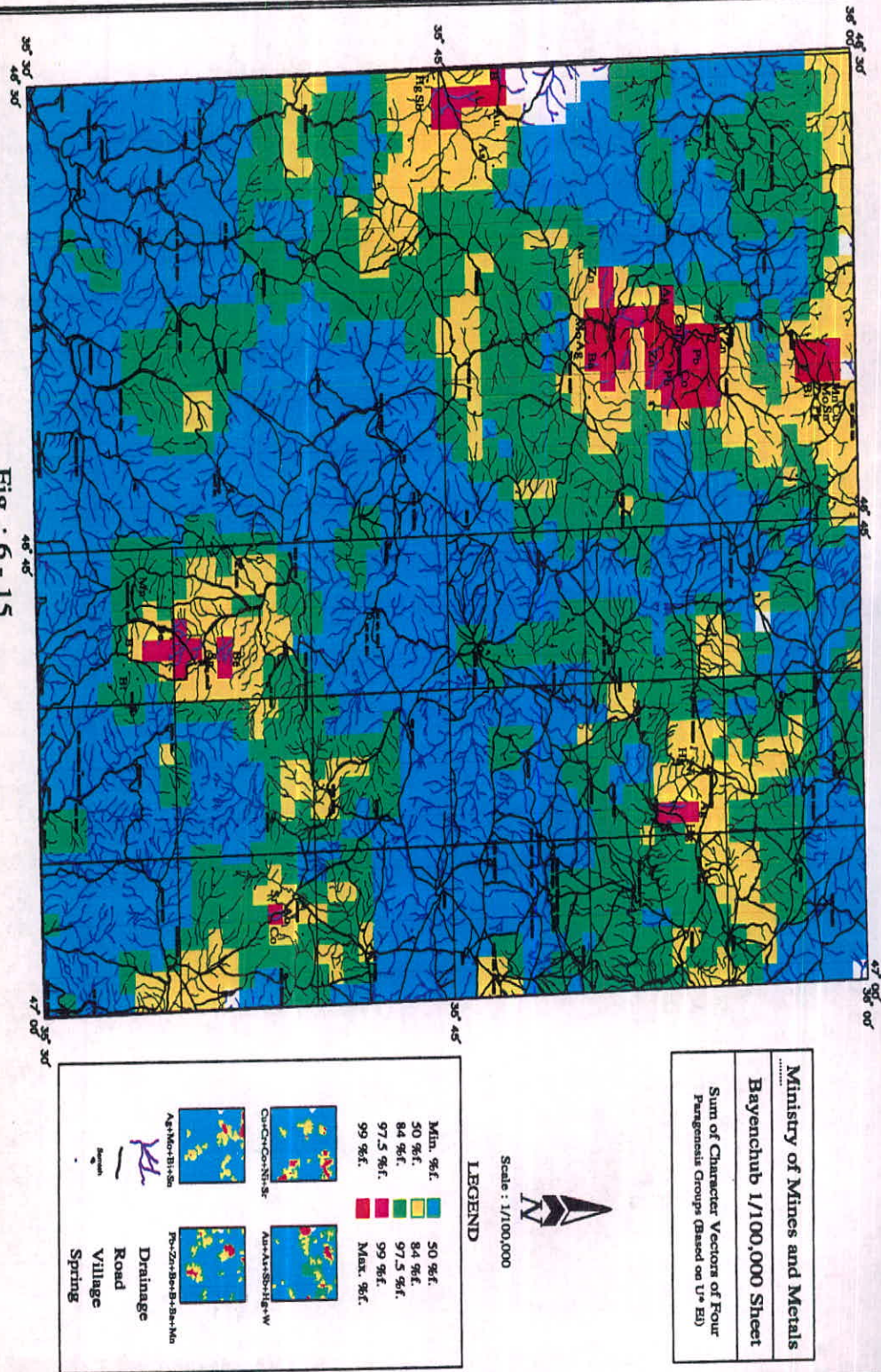
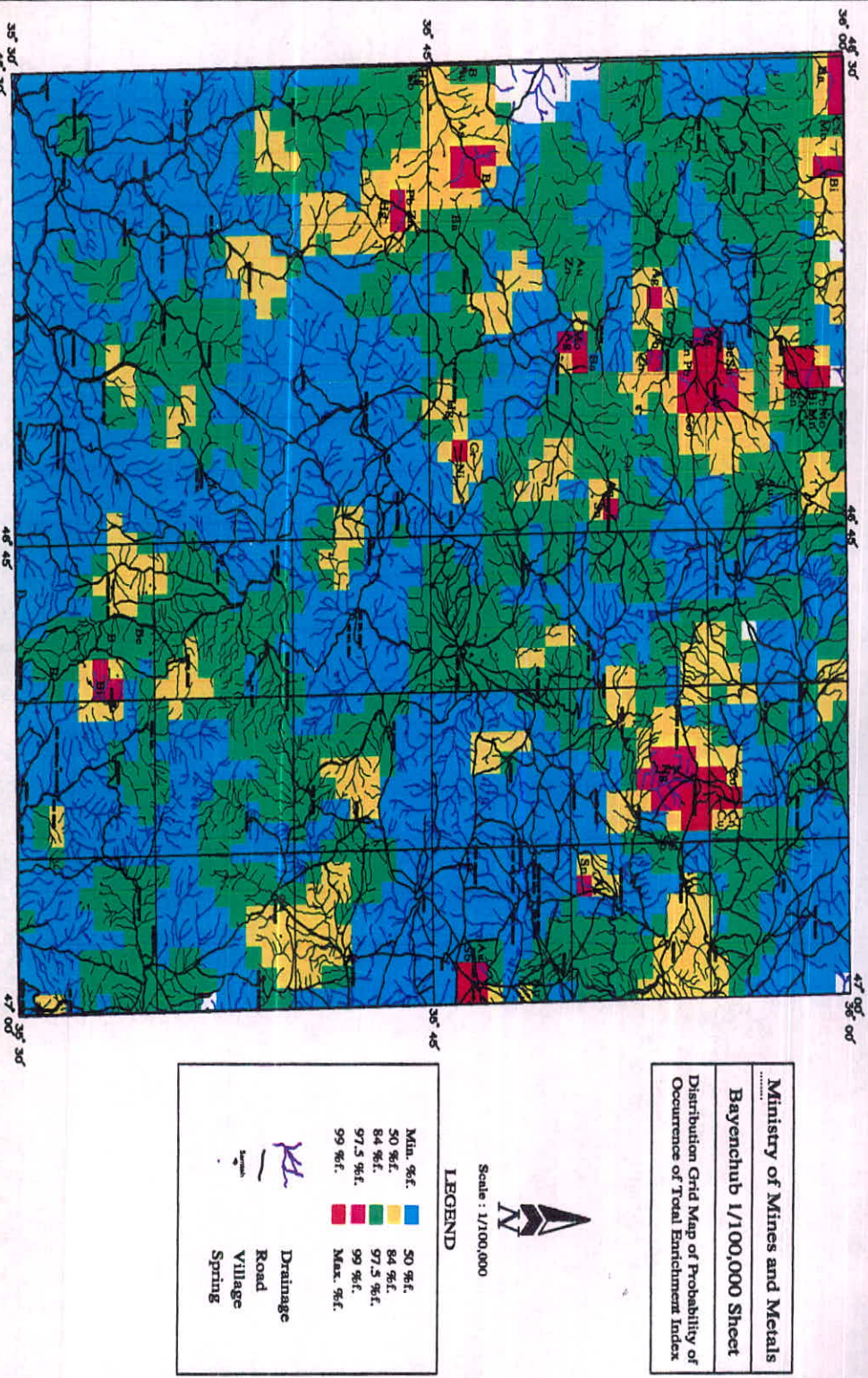


Fig. : 6 - 16



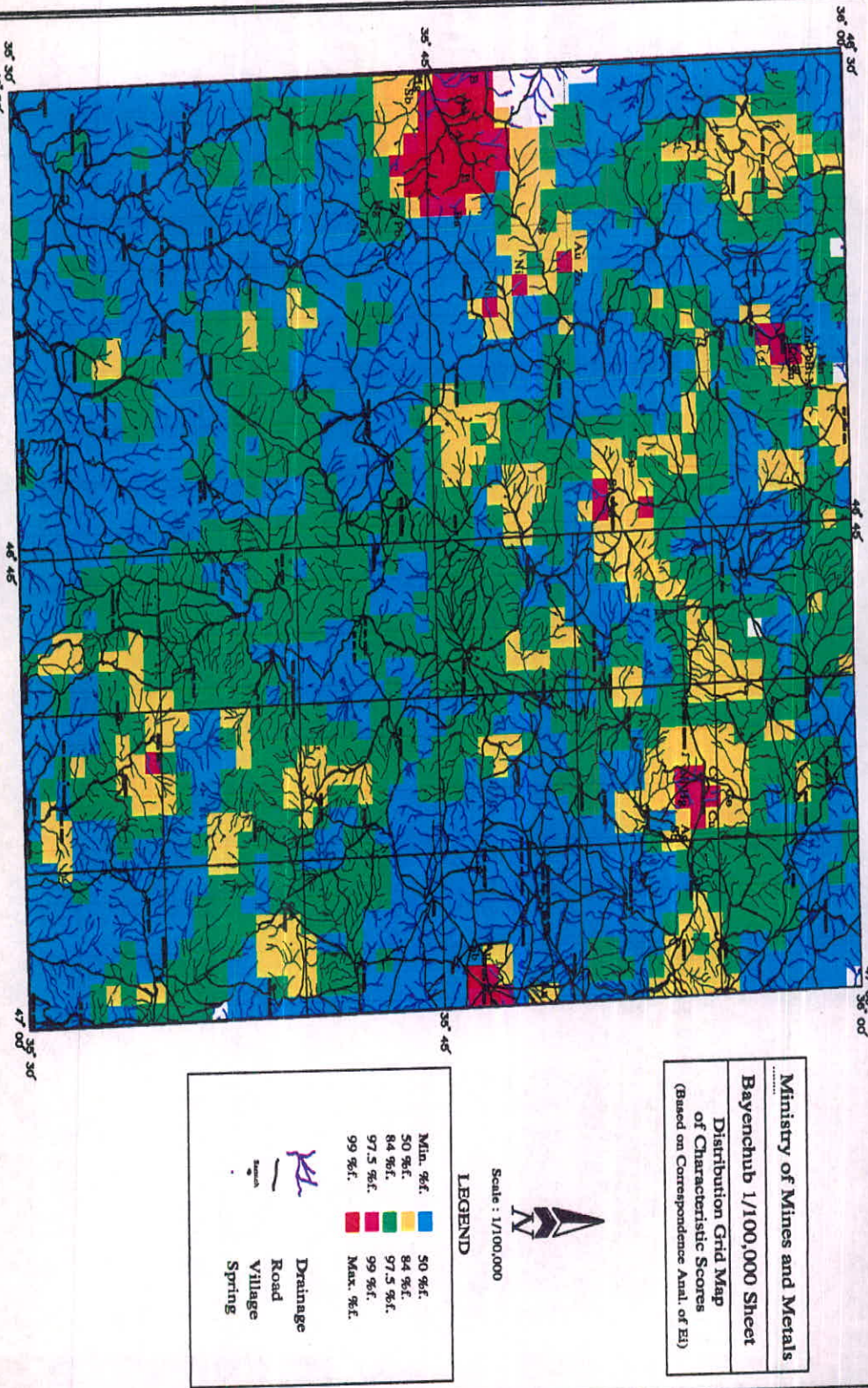


Fig. : 6 - 17

## فصل هفتم

# فاز کنترل آنومالیهای ژئوشیمیایی

(موضوع بند ۹ شرح خدمات)

### ۱- مقدمه

در بررسیهای اکتشافی در مقیاس ناحیه‌ای که به منظور کشف هاله‌های ثانوی کاتسارهای احتمالی انجام می‌پذیرد، معمولاً ابتدا منطقه وسیعی تحت پوشش اکتشاف ژئوشیمیایی قرار می‌گیرد. این عملیات منجر به کشف آنومالیهای ظاهری موجود در محیط‌های ثانوی (رسوبات آبراهه‌ای) می‌گردد. از آنجاکه در روش‌های ژئوشیمیایی هر عنصر مستقیماً مورد اندازه‌گیری قرار می‌گیرد، توجهی به فاز پیدایش آن نمی‌شود. از این رو هاله‌های ثانوی کشف شده نمی‌توانند همیشه معرف کانی سازی باشند. بنابراین برای تمیز آنومالی واقعی که در ارتباط با پدیده‌های کانی سازی بوده و دارای مؤلفه اپی ژنتیک تابل ملاحظه‌ای می‌باشد، از مؤلفه‌های دیگر که معمولاً در ارتباط با پدیده‌های سنگ زایی هستند (مؤلفه سترنژتیک) باید به کنترل آنها پرداخت. روش کار شامل بررسی مناطق دگرسان شده، زونهای میزرازه احتمالی، سیستم‌های پلمبینگ و نهایت مطالعه نمونه‌های کانی سنگین در محدوده آنومالی های مقدماتی است. در بین روش‌های مختلف نوع مطالعات کانی سنگین بعنوان روشی که در آن فاز پیدایش یک عنصر مورد مطالعه قرار می‌گیرد، می‌تواند مفید واقع شود، پیدایش یک عنصر در فازهای مختلف ارزش اکتشافی متغّری دارد و برای پی بردن به ارزش‌های اکتشافی متغّری پیدایش یک عنصر، نیاز به تمیز فاز پیدایش آن است. با توجه به تاییجی که از مطالعات کانی سنگین بدست می‌آید، می‌توان هاله‌های ثانوی را به دو نوع تقسیم کرد که عبارتند از: هاله‌های ثانوی مرتبط با کانی سازی و هاله‌های ثانوی مرتبط با پدیده‌های سنگ زایی. در مورد هاله‌های ثانوی مرتبط با کانی سازی، کانیهای مستقل یک عنصر معمولاً در جزء سنگین بصورت فاز مستقل یافت می‌شود، ولی در مورد هاله‌های ثانوی مرتبط با پدیده‌های سنگ زایی، پیدایش یک عنصر معمولاً بصورت ترکیب محلول جامد در ساختمان شبکه‌ای همراه با عناصر دیگر است. البته لازم به ذکر است که این حالت

ممکن است استثناء نیز داشته باشد. بدینه است تحرک یک ذره کانی سنگین نسبت به تحرک یک یون بسیار کمتر است. لذا هاله های ژئوشیمیایی ثانوی می توانند بر اتاب بزرگتر از هاله کانی سنگین مربوط به همان عنصر باشند. به این لحاظ برداشت نمونه های کانی سنگین در محدوده هاله های ژئوشیمیایی، می تواند مفید واقع شود. در این پروژه برداشت نمونه های کانی سنگین بعنوان روشی برای کنترل آنومالیها و جدا کردن انواع مرتبط با کانی سنگین از سایر انواع، صورت پذیرفته است. از آنجا که برداشت نمونه های کانی سنگین فقط محدود به مناطق آنومالی های مقدماتی است، لذا با سقف  $100$  نمونه کانی سنگین در یک برگه  $1:100,000$  با مساحت حدود  $2500$  کیلومتر مربع، روش کانی سنگین، روش مستقل به حساب نمی آید.

## ۲- ردیاب های کانی سنگین

ارزش مشاهدات مربوط به کانیهای سنگین، بدان جهت که این کانیها می توانند جزء کانیهای فرعی سازنده سنگ باشند و ممکن است در مناطق غیر کانی سازی نیز یافته شوند، به اندازه عناصر ردیاب نمی باشد ولی می توانند بعنوان معرفی برای حضور محیط و سنگ مناسب که احتمال وقوع کانی سازی در آن هست بکار روند در زیر بعنوان مثال چند مورد ذکر می شود:

**۱-۱- طلا:** حضور طلا در بخش تغليظ یافته کانی سنگین می تواند دلالت بر وجود مناطق اميدبخش باشد، ولی نبود آن بعلت خطای زیاد وابسته به نمونه برداری و آنالیز این روش ممکن است نتیجه عکس نداشته باشد. البته در برگه  $1:100,000$  باينچوب به علت اهمیت کانی سازی احتمالی طلا سعی شده است تا نمونه برداری کانی سنگین و آنالیز آن با دقت بيشتری صورت گیرد.

**۲-۲- باریت :** باریت بصورت گانگ در بسیاری از کانسارهای فلزات پایه وجود دارد. وجود آن در بخش تغليظ یافته کانی سنگین، دلالت بر وجود احتمالی چنین نهشته هایی است. از آنجا که هاله های آن نسبتاً وسیع است، می تواند بسیار مفید واقع شود. ممکن است وجود آن معرف وجود کانی سازی باریت رگه ای باشد. پیشنهاد شده است که اندازه گیری مقدار طلای موجود در باریت می تواند بعنوان معرفی برای باریتهاي مرتبط با نهشته های طلا باشد.

**۲-۳-شیلیت**

بالا بودن احتمال پیدایش ذخایر طلا در کمریندهای سبز امری شناخته شده است.

یکی از روش های اکتشافی در این گونه مناطق مرکز عملیات اکتشافی روی کانی ردیاب شیلیت می باشد. همراهی قابل ملاحظه طلا و شیلیت در کمریندهای سنگ سبز واقع در نقاط مختلف دنیا گزارش شده است. البته تحقیقات محققین در مورد ذخایر طلا در کمریندهای سنگ سبز نشان می دهد که طلا اغلب در رگه های کوارتز و تورمالین یافت می شود و درصد کمتری از این ذخایر با کربنات ها، پیروتیت و شیلیت همراه است.

**۲-۴-تورمالین**

وجود تورمالین در بسیاری از کانسارهای هیپوژن عناصر  $Al_2$ ,  $Cu$ ,  $Sn$  و  $W$  گزارش شده است. از آن جا که ابعاد هاله پراکندگی آن در سنگ های متساموتوز شده، استوک ورک ها، هاله های ثانوی مانند رسوبات رودخانه ای غالباً بیشتر از توده های معدنی وابسته به آن ها است، کاربرد آن به عنوان ردیاب اکتشافی سودمند می باشد. تورمالین در سنگ های بسیاری از قبیل نفوذی، خروجی، دگرگونی و دگرسان شده از نوع پروپیلیتی، کوارتز - سریسیتی و کوارتز - تورمالین یافت می شود. زون های برشی، استوک ورکی و رگه های معدنی نیز ممکن است تورمالین داشته باشند. شاخص ترین گونه های تورمالین عبارتند از:

- ۱- تورمالین ریز دانه رنگ پریده تا سبز مایل به قهوه ای در توده های متساموتوز شده کوارتز - سریسیت و کوارتز - تورمالین.
- ۲- تورمالین های سبز مایل به قهوه ای تا سیاه در زون های شبیه برشی کوارتز - تورمالین.
- ۳- تورمالین قهوه ای تا سیاه با بافت شعاعی و ساخت آشیانه ای.
- ۴- تورمالین های قهوه ای و سیاه در رگه های معدنی تأخیری (پسین)، رگچه ها و کانسارهای پراکنده که معمولاً همراه کوارتز، پیریت، کالکوپیریت، منیتیت و سایر کانی های کانساری یافت می شوند.

**۳-برگی هاله های کانی سنگین**

عوامل مؤثر در توسعه هاله های کانی سنگین (بطرف پایین دست ناحیه منشأ) تابع عوامل زیر است:

- ۱- ترکیب و برگی رخمنون در ناحیه منشأ.
- ۲- تغییرات شیمیایی که در ناحیه منشأ رخ می دهد: بعضی از کانیها در مقابل فرسایش شیمیایی مقاوم و بعضی نامقاوم هستند، این امر در خرد شدن کانیها و مسافت حمل و نقل آنها بسیار مؤثر است.
- ۳- خواص

مکانیکی کانیها و تغیرات مکانیکی در محیط انتقال و رسویگذاری: بعضی از کانیها در مقابل فرسایش مکانیکی مقاوم و بعضی نامقاوم بوده و خرد می‌شوند. تعدادی از این عوامل بستگی به شرایط آب و هوای و ژئومورفولوژی محیط دارد. به این جهت مسافت‌های حمل و نقل گزارش شده برای کانه‌های مختلف متفاوت می‌باشد. برای مثال در مورد طلا و لقرامیت حاله‌ای بطول چند ده کیلومتر ثبت گردیده است. در مواردی که رخمنون کوچک و یا شیب توپوگرافی در آبراهه‌ها کم باشد، این فواصل ممکن است تا چند کیلومتر کاهاش یابد. در چنین مواردی ممکن است مقدار بعضی از کانیهای سنگین در رسوبات در یک کیلومتر اول مسیر تا ۹۰ درصد کاهاش یابد. بنابراین بهتر است محل نمونه‌های کانی سنگین از منع احتمالی آن چندان دور نباشد. در برگه ۱:۱۰۰، ۱:۱۰۰۰ با نجوب انتخاب مکان نمونه‌های کانی سنگین طوری بوده که حتی الامکان اثر کانی سازی‌های احتمالی موجود در منطقه در این نمونه‌ها منعکس گردد، در محل آنومالی‌های طلا چگالی نمونه‌های کانی سنگین انزواش داده شده است تا نواحی کانی سازی شده با احتمال بیشتری منعکس گردد.

#### ۴- شرح موقعیت محدوده آنومالی‌های مقدماتی

(موضوع بخشی از بند ۸-۵ شرح خدمات)

در این بخش به تشریح مناطق آنومالی عناصر مختلف (تک عنصری) به ترتیب حروف انگلیسی (از A تا Z) و برداشت نمونه‌های فاز کنترل آنومالی‌ها به تفکیک برای هر برگه ۱:۱۰۰، ۱:۱۰۰۰ می‌پردازیم (اشکال ۳۹-۷ تا ۴۳-۷). هر منطقه با یک شماره مشخص شده است که در مدل سازی از این شماره برای نام‌گذاری آن منطقه استفاده شده است.

#### آنومالی‌های نقره «Ag»

برگه ۱:۵۰، ۱:۱۰۰ هزار کانیان

- منطقه جنوب شیخ حیدر (آنومالی شماره ۱۶)

این منطقه دارای مساحتی حدود سه کیلومتر مربع آنومالی درجه یک و دو کیلومتر مربع آنومالی درجه دو می‌باشد. واحدهای سنگی این منطقه شامل شیل و ولکانیک‌های حد واسط می‌باشد. از این منطقه یک نمونه میترالیزه و دو نمونه کانی سنگین برداشت شده است. نمونه آنومال این محدوده نمونه BH170 بوده است، که این نمونه نسبت به قلع نیز آنومال می‌باشد. شرح کامل این نمونه‌ها در بند ششم همین فصل آمده است. در مقیاس کار صحرابی در این محل آلتراسیون سیلیسی مشاهده شده است.

## برگه ۱:۵۰،۰۰ بست

## - منطقه بنواجان (آنومالی شماره ۵)

این منطقه مساحتی حدود چهار کیلومتر مربع آنومالی درجه دو و هشت کیلومتر مربع آنومالی درجه یک دارد. واحدهای سنگی این منطقه شامل آهک، ولکانوکلاستیک های اسیدی، گرانیت، کلریت شیست و گابرو می باشد. از این محدوده ده نمونه کانی سنگین، بیست و شش نمونه میزرازیه و چهار نمونه آلتراسیون گرفته شده است. که طبق نتایج XRD در این منطقه آلتراسیون های کربناتی، سیلیسی، آژریلیتی، گوتیتی، زئولیتی، آلبیتی، کلریتی و سریسیتی وجود دارد. در این محدوده شیرزوزن مشاهده شده است. نمونه BT289 در این محدوده آنومال بوده است.

## - منطقه دره دزدان (آنومالی شماره ۷)

این محدوده دارای مساحتی حدود پنج کیلومتر مربع آنومالی درجه یک است. این آنومالی بر آنومالی قلع نیز منطبق می باشد که اهمیت منطقه را بیشتر می کند. واحدهای سنگی این ناحیه شامل فیلیت، شیست، ولکانیک های حدواسط، آهک، میلوویت و رسوبات آواری دانه ریز می باشد. از این محدوده سه نمونه کانی سنگین و چهار نمونه میزرازیه برداشت شده است که شرح آن ها در بند شش همین فصل آمده است. در این محل نمونه BT020 آنومال بوده است. در مقیاس کار صحرایی در این محل آلتراسیون سیلیسی مشاهده شده است.

## - منطقه شاه قلعه - توکلان (آنومالی شماره ۴)

این منطقه شامل حدود پنج کیلومتر مربع آنومالی درجه یک و هشت کیلومتر مربع آنومالی درجه دو می باشد. واحدهای سنگی این منطقه شامل ولکانوکلاستیک های اسیدی، گرانیت، کلریت شیست و کوارتز سریست شیست می باشد. از این محدوده چهار نمونه کانی سنگین، یازده نمونه میزرازیه و یک نمونه آلتراسیون برداشت شده است. طبق نتایج XRD در این منطقه آلتراسیون های سیلیسی، سریسیتی و آلبیتی وجود دارد. در این محل نمونه BT248 آنومال بوده است. این نمونه نسبت به نقره و مولیبدن آنومال می باشد که اهمیت منطقه را بیشتر می کند. در مقیاس کار صحرایی در این منطقه آلتراسیون های کاتولینیتی و آژریلیتی (۹) مشاهده شده است.

### آنومالی‌های آرسنیک «As»

برگه ۱:۵۰،۱۰۰ هزار کانیان

#### - منطقه تازه آبادگلانه (آنومالی شماره ۱۱)

این منطقه دارای وسعت تقریبی سه کیلومتر مربع آنومالی درجه یک و سه کیلومتر مربع آنومالی درجه دو می‌باشد. این محدوده بر آنومالی‌های آنتیموان و طلا منطبق است، که اهمیت منطقه را بیشتر می‌کند. واحدهای سنگی این محل شامل ولکانوکلاستیک‌های اسیدی، گرانیت، گرانودیبوریت، ولکانیک‌های حد واسط، آهک و شیل می‌باشد. از این منطقه چهار نمونه کانی سنگین، یازده نمونه میزرالیزه و یک نمونه آلتراسیون گرفته شده است که طبق نتایج XRD در این محدوده آلتراسیون‌های کربناتی، سیلیسی و آرژیلیتی (?) وجود دارد. در مقیاس کار صحرایی نیز آلتراسیون لیمونیتی در این منطقه مشاهده شده است. در این محدوده نمونه BH017 آنومال بوده است.

برگه ۱:۵۰،۱۰۰ بیست

#### - منطقه دره دزدان (آنومالی شماره ۷)

این ناحیه دارای نه کیلومتر مربع آنومالی درجه دو می‌باشد. از این محدوده چهار نمونه کانی سنگین و پنج نمونه میزرالیزه برداشت شده است که شرح کامل آن در بندهش این فصل می‌آید. واحدهای سنگی این منطقه شامل آهک‌های سیلیسی شده، ولکانیک‌های حد واسط، فیلیت، شیست، برش، رسوبات آواری دانه ریز و میلونیت می‌باشد. در مقیاس کار صحرایی در این محدوده آلتراسیون سیلیسی مشاهده شده است.

#### - منطقه شمال شرق گوگجه (آنومالی شماره ۱)

این منطقه با مساحت تقریبی نوزده کیلومتر مربع آنومالی درجه یک و بیست و دو کیلومتر مربع آنومالی درجه دو از مهم ترین آنومالی‌های این برگه می‌باشد. آنومالی طلا، بر، آنتیموان و جیوه در محل این آنومالی وجود دارد که اهمیت منطقه را بیشتر می‌کند. واحدهای سنگین این منطقه شامل شیل، آهک، ولکانیک‌های حد واسط، بازالت و شیست می‌باشد. از این منطقه بیست و چهار نمونه کانی سنگین، بیست و یک نمونه میزرالیزه و یک نمونه

آلتراسیون برداشت شده است. طبق نتایج  $XRD$  در این منطقه آلتراسیون های کربناتی و سیلیسی وجود دارد. در مقیاس کار صحراوی در این منطقه آلتراسیون پروپیلیتی ضعیف و همایتی مشاهده شده است. شرح کامل نمونه های آلترا، مینرالیزه و کانی سنگین در بند شش این فصل می آید. نمونه های آنومال این محدوده  $BT794$  و  $BT793$  می باشد. لازم به ذکر است که روسنای گوگجه در برگه  $1:100,000$  باینچوب قرار نمی گیرد و کمی خارج از نقشه است، این آنومالی در پنج کیلومتری غرب نرگسله قرار دارد ولی راه دسترسی به آن از سمت گوگجه می باشد.

### آنومالی طلا «Au»

#### برگه ۱:۵۰,۰۰۰ هزار کانیان

##### - منطقه تازه آبادگلانه (آنومالی شماره ۱۱)

این محدوده دارای مساحت تقریبی پنج کیلومتر مربع آنومالی درجه یک می باشد. این محدوده بر آنومالی های آنتیموان و آرسنیک منطبق می باشد که اهمیت منطقه را بیشتر می کند. واحدهای سنگی این منطقه شامل آهک، ولکانوکلاستیک های اسیدی، گرانیت، گرانودیبوریت، ولکانیک های حدرواست و شیل می باشد. از این منطقه چهار نمونه کانی سنگین، یازده نمونه مینرالیزه و یک نمونه آلتراسیون گرفته شده است که طبق نتایج  $XRD$  در این محدوده آلتراسیون های کربناتی، سیلیسی و آرژیلیتی (?) وجود دارد. در مقیاس کار صحراوی در این محدوده آلتراسیون لیمونیتی مشاهده شده است. نمونه آنومال این منطقه نمونه  $BH017$  می باشد.

##### - منطقه شرق دباغ (آنومالی شماره ۱۵)

این منطقه دارای مساحتی حدود یک کیلومتر مربع آنومالی درجه یک می باشد. واحدهای سنگی این محدوده شامل فیلیت، شیل و کلریت شیست می باشد. از این محدوده یک نمونه کانی سنگین و یک نمونه مینرالیزه برداشت شده است که شرح کامل آن در بند شش همین فصل می آید. نمونه  $BH217$  در این محدوده آنومال بوده است.

### - منطقه جنوب شرق گلانه (آنومالی شماره ۲۰)

این محدوده دارای مساحتی حدود دو کیلومتر مربع آنومالی درجه یک می باشد. واحدهای سنگی این منطقه شامل ولکانیک های اسیدی می باشد. از این محدوده به علت اهمیت کمتر آن نسبت به سایر مناطق و محدودیت در تعداد نمونه ها، نمونه کانی سنگین و میزآلیزه برداشت نشده است. در این منطقه نمونه BH161 آنومال بوده است.

### برگه ۱:۵۰،۰۰۰ باینچوب

### - منطقه جنوب شرق افراسیاب (آنومالی شماره ۱۲)

این محدوده دارای مساحت تقریبی سه کیلومتر مربع آنومالی درجه یک و یک کیلومتر مربع آنومالی درجه دو می باشد. از این محدوده دو نمونه کانی سنگین و دو نمونه میزآلیزه برداشت شده است. واحدهای سنگی این منطقه شامل ولکانیک های حدواسط، آندزیت، بازالت و برش های ولکانیکی می باشد. در این منطقه آلتراسیون وسیع پروپیلیتی و آلتراسیون سیلیسی مشاهده شده است. نمونه BB201 در این محدوده نسبت به طلا و استرنسیسم آنومال بوده است.

### برگه ۱:۵۰،۰۰۰ بست

### - منطقه شمال شرق گوگجه (آنومالی شماره ۱)

این محدوده شامل شش کیلومتر مربع آنومالی درجه یک و یک کیلومتر مربع آنومالی درجه دو می باشد. واحدهای سنگی این منطقه شامل شیل، آهک، ولکانیک های حدواسط، رسوبات آواری دانه ریز تا متوسط، بازالت و شیست می باشد. از این ناحیه بیست و شش نمونه کانی سنگین، بیست و یک نمونه میزآلیزه و یک نمونه آلتراسیون برداشت شده است. طبق نتایج XRD در این منطقه آلتراسیون های کربناتی و سیلیسی وجود دارد. در مقیاس کار صحراوی در این منطقه آلتراسیون پروپیلیتی ضعیف و همایتی مشاهده شده است. در محل این آنومالی، آنومالی های آرسنیک، آنتیموان، بُر و جیوه وجود دارد که اهمیت منطقه را زیاد می کند. در این محل نمونه BT795 آنومال بوده است. لازم به ذکر است که روستای گوگجه حدود ۱۰۰ متر خارج از برگه ۱:۱۰۰،۰۰۰ باینچوب قرار می گیرد، این آنومالی در پنج کیلومتری غرب نرگسله قرار دارد ولی راه دسترسی به آن از روستای گوگجه می باشد.

### - منطقه شمال غرب شریف آباد (آنومالی شماره ۱۹)

این محدوده دارای مساحتی حدود سه کیلومتر مربع آنومالی درجه یک و سه کیلومتر مربع آنومالی درجه دو می باشد. واحدهای سنگی این منطقه شامل آهک، ولکانیک های اسیدی، ولکانوکلاستیک های اسیدی و گرانیت می باشد. در این محدوده نمونه آنومال BT181 بوده است. از این منطقه با توجه به محدودیت در تعداد نمونه های کانی سنگین و میزرازیه و اهمیت کمتر منطقه نسبت به مناطق دیگر، نمونه ای گرفته نشده است. لازم به ذکر است که روستای شریف آباد در برگه ۱:۵۰،۰۰۰ هزار کانیان قرار دارد ولی محدوده آنومالی در برگه ۱:۵۰،۰۰۰ بست قرار دارد.

### - منطقه چهار کیلومتری غرب شاه قلعه (آنومالی شماره ۳)

این منطقه دارای مساحتی حدود دو کیلومتر مربع آنومالی درجه یک و سه کیلومتر مربع آنومالی درجه دو می باشد. واحدهای سنگی این منطقه شامل ولکانیک های حدراست و مافیک، ولکانوکلاستیک های اسیدی همراه گرانیت و کلریت شیست می باشد. از این محدوده یک نمونه کانی سنگین و سه نمونه میزرازیه برداشت شده است. در مقیاس کار صحرایی در این محدوده آتراسیون سیلیسی مشاهده شده است. نمونه BT301 در این منطقه آنومال می باشد.

### آنومالی های بُر «B»

#### برگه ۱:۵۰،۰۰۰ باینچوب

### - منطقه هانه گلان (آنومالی شماره ۱۳)

این منطقه شامل نوزده کیلومتر مربع آنومالی درجه یک و بیست کیلومتر مربع آنومالی درجه دو می باشد. واحدهای سنگی این منطقه شامل شیل، ولکانیک های حدراست (آندرزیت) و ریولیت می باشد. این آنومالی با آنومالی بریلیم و قلع همپوشانی دارد که اهمیت منطقه را بیشتر می کند از این محدوده پنج نمونه کانی سنگین، یک نمونه آتراسیون و پنج نمونه میزرازیه برداشت شده است. طبق نتایج آنالیز XRD در این محدوده آتراسیون سیلیسی و آلبیتی محتمل است. در مقیاس کار صحرایی در این ناحیه آتراسیون پروپیلیتی مشاهده شده است.

## برگه ۱:۵۰،۰۰۰ هزار کانیان

## - منطقه غرب نعل شکن (آنومالی شماره ۴۴)

این محدوده دارای مساحتی حدود دو کیلومتر مربع آنومالی درجه یک و دو کیلومتر مربع آنومالی درجه دو می باشد. واحدهای سنگی این منطقه شامل آهک و ولکانیک های حدواسط می باشد. از این محدوده به علت اهمیت کمتر آن نسبت به سایر مناطق و محدودیت در تعداد نمونه ها نمونه میزالیزه و کانی سنگین برداشت نشده است.

## برگه ۱:۵۰،۰۰۰ بست

## - منطقه شمال شرق گوگجه (آنومالی شماره ۱)

این محدوده شامل دو کیلومتر مربع آنومالی درجه یک و شش کیلومتر مربع آنومالی درجه دو می باشد. این آنومالی در محدوده آنومالی های طلا، آرسنیک، جیوه و آنتیموان قرار دارد که اهمیت منطقه را بیشتر می کند. واحدهای سنگی این منطقه شامل شیل، آهک، ولکانیک های حدواسط، بازالت و شیست می باشد. از این محدوده شش نمونه کانی سنگین و هشت نمونه میزالیزه برداشت شده است. در مقیاس کار صحرایی در این محدوده آلتراسیون پروپیلیتی ضعیف و همایتی مشاهده شده است. در این محدوده نمونه BT791 تا حدودی آنومال بوده است.

## آنومالی های باریم «Ba»

## برگه ۱:۵۰،۰۰۰ بست

## - منطقه شاه قلعه - توکلان (آنومالی شماره ۴)

این محدوده شامل نه کیلومتر مربع آنومالی درجه دو می باشد. این آنومالی در محدوده آنومالی های نقره و مولیبدن قرار دارد که اهمیت منطقه را زیاد می کند. واحدهای سنگی این منطقه شامل ولکانوکلاستیک های اسیدی همراه گرانیت، ولکانیک های حدواسط، کلریت شیست، کوارتز سریسیت شیست و آهک می باشد. از این منطقه سه نمونه کانی سنگین، ده نمونه میزالیزه و یک نمونه آلتراسیون برداشت شده است. طبق نتایج XRD در این منطقه آلتراسیون های سیلیسی، سریسیتی و آلبیتی وجود دارد. در مقیاس کار صحرایی در این محدوده آلتراسیون های کانولینیتی و آرزیلیتی (?) مشاهده شده است. نمونه شماره BT248

نمونه آنومال این محدوده می باشد.

#### - منطقه سه کیلومتری شمال غرب دره ویان خشکه (آنومالی شماره ۹)

این منطقه شامل حدود شش کیلومتر مربع آنومالی درجه یک و سه کیلومتر مربع آنومالی درجه دو می باشد. واحدهای سنگی این منطقه شامل ولکانیک های حدواسط، اسلیت، فیلیت و سنگهای ماسه ای دگرگون شده، آهک و ولکانوکلاستیک های اسیدی همراه گرانیت می باشد. در این محدوده نمونه BT7717 آنومال بوده است. از محل این آنومالی به علت محدودیت در تعداد نمونه ها و اهمیت کمتر منطقه نسبت به مناطق دیگر، نمونه ای برداشت نشده است.

#### - منطقه شش کیلومتری شمال و زمان (آنومالی شماره ۹)

این منطقه دارای مساحتی حدود دو کیلومتر مربع آنومالی درجه یک و یک کیلومتر مربع آنومالی درجه دو می باشد. واحدهای سنگی این محدوده شامل آهک و ولکانوکلاستیک های اسیدی همراه گرانیت می باشد. از این محدوده یک نمونه کانی سنگین و سه نمونه مینرالیزه برداشت شده است. در مقایس کار صحرایی در این محل آتراسیون سیلیسی مشاهده شده است.

#### برگه ۱۱۰، ۱۱۱: اسلام دشت

#### - منطقه شاه نشین - صوفی بله (آنومالی شماره ۲۱)

این محدوده دارای مساحتی حدود سیزده کیلومتر مربع آنومالی درجه یک و هفده کیلومتر مربع آنومالی درجه دو می باشد. واحدهای سنگی این منطقه شامل ولکانیک های اسیدی و آهک می باشد. در این محدوده نمونه های BE494، BE637 و BE639 و BE645 آنومال بوده است. از این منطقه به علت اهمیت کم آن نسبت به سایر مناطق و محدودیت در تعداد نمونه ها، نمونه کانی سنگین و مینرالیزه گرفته نشده است.

**آنومالی‌های بریلیم «Be»****برگه ۱:۵۰،۱۰۰ باینچوب****- منطقه هانه گلان (آنومالی شماره ۱۳)**

این منطقه شامل چهارده کیلومتر مربع آنومالی درجه یک و بیست و یک کیلومتر مربع آنومالی درجه دو می‌باشد. واحدهای سنگی این منطقه شامل شیل؛ ولکانیک‌های حدوداً (آندرزیت) و ریولیت می‌باشد. از این منطقه پنج نمونه کانی سنگین، دو نمونه میزرالیزه و یک نمونه آتراسیون برداشت شده است. طبق تابع آنالیز  $XRD$  در این منطقه آتراسیون سیلیسی و آلبیتی وجود دارد. در مقیاس کار صحرایی در این محل آتراسیون پروپیلیت مشاهدگرددیده است. در این محدوده آنومالی‌های بُر و قلع نیز قرار دارد که اهمیت منطقه را بیشتر می‌کند.

**- منطقه غرب آل دره (آنومالی شماره ۲۹)**

این منطقه دارای مساحتی حدود هفت کیلومتر مربع آنومالی درجه یک و پنج کیلومتر مربع آنومالی درجه دو می‌باشد. واحدهای سنگی این منطقه شامل ولکانیک‌های حدوداً (آنومال BB209) بوده است. از این منطقه به علت محدودیت در تعداد نمونه‌ها و اهمیت کمتر آن نسبت به مناطق دیگر نمونه کانی سنگین و میزرالیزه برداشت نشده است.

**آنومالی‌های بیسموت «Bi»****برگه ۱:۵۰،۱۰۰ باینچوب****- منطقه جنوب غرب کانی طلا (آنومالی شماره ۱۴)**

این منطقه دارای مساحتی حدود چهارده کیلومتر مربع آنومالی درجه یک و یک کیلومتر مربع آنومالی درجه دو می‌باشد. واحدهای سنگی این منطقه شامل ولکانیک‌های حدوداً (آنومال BB548) بوده است. نمونه ای برداشت نشده است. نمونه آنومال بوده است.

## برگه ۱:۵۰،۱۰۰ بست

## - منطقه شمال شرق خال باز (آنومالی شماره ۹)

این محدوده شامل شش کیلومتر مربع آنومالی درجه یک و دوازده کیلومتر مربع آنومالی درجه دو می باشد. واحدهای سنگی این منطقه شامل آهک، ولکانوکلاستیک های اسیدی همراه گرانیت، فیلیت، اسلیت و ماسه سنگ های دگرگون شده می باشد. از این منطقه دو نمونه کانی سنگین و سه نمونه میترالیزه برداشت شده است. در مقیاس کار صحرایی در این منطقه آتراسیون لیمونیت مشاهده شده است. در این منطقه نمونه  $BT256$  آنومالی بوده است. در محل این آنومالی مولیبدن، قلع و مس نیز آنومال بوده است که اهمیت منطقه را بیشتر می کند.

## - منطقه چهار کیلومتری شمال دره ویان خشکه (آنومالی شماره ۹)

این محدوده شامل هشت کیلومتر مربع آنومالی درجه یک و پنج کیلومتر مربع آنومالی درجه دو می باشد. واحدهای سنگی این منطقه شامل آهک، ولکانیک های حدواسط و ولکانوکلاستیک های اسیدی همراه گرانیت می باشد. از این منطقه سه نمونه کانی سنگین و سه نمونه میترالیزه برداشت شده است که شرح کامل آنها در بند شش همین فصل می آید. در مقیاس کار صحرایی در این محل آتراسیون سیلیسی مشاهده شده است. همچنین در این منطقه شیرزون مشاهده گردیده است. این آنومالی بر آنومالی مولیبدن و سرب این منطقه منطبق می باشد که اهمیت منطقه را بیشتر می کند. نمونه  $BT714$  در این محل آنومال بوده است.

## برگه ۱:۵۰،۱۰۰ باینچوب

## - منطقه غرب کیزمل علیا (آنومالی شماره ۲۲)

این محدوده دارای مساحتی حدود چهار کیلومتری مربع آنومالی درجه یک و چهارده کیلومتر مربع آنومالی درجه دو می باشد. واحدهای سنگی این منطقه شامل شیل، آهک و ولکانیک های حدواسط می باشد. به علت محدودیت در تعداد نمونه ها و اهمیت کم منطقه، نمونه کانی سنگین و میترالیزه از این محل برداشت نشده است. نمونه  $BB678$  در این محل آنومال بوده است.

### آنومالی‌های کبالت «Co»

برگه ۱۵۰، ۱۰۰ هزار کانیان

- منطقه شمال بردرش (آنومالی شماره ۱۰)

این محدوده دارای مساحتی حدود هشت کیلومتر مربع آنومالی درجه یک و سه کیلومتر مربع آنومالی درجه دو می‌باشد. واحدهای سنگی این منطقه شامل شیل، ولکانیک‌های حدواسط و آهک می‌باشد. از این محدوده دو نمونه کانی سنگین و شش نمونه میزآلیزه برداشت شده است. که شرح کامل آنها دریند شش همین فصل می‌آید. این آنومالی بر آنومالی کروم این منطقه منطبق می‌باشد. در این محل نمونه BH670 و BH671 آنومال بوده است. در مقیاس کار صحرایی در این محل آلتراسیون سیلیسی مشاهده شده است.

برگه ۱۵۰، ۱۰۰ باینچوب

- منطقه جنوب شرق گاو آهنتو (آنومالی شماره ۲۳)

این محدوده دارای مساحت تقریبی هشت کیلومتر مربع آنومالی درجه یک و سه کیلومتر مربع آنومالی درجه دو می‌باشد. واحدهای سنگی این منطقه شامل آهک و ولکانیک‌های حدواسط می‌باشد. از این منطقه به علت محدودیت در تعداد نمونه‌ها و اهمیت کم منطقه نسبت به مناطق دیگر، نمونه کانی سنگین و میزآلیزه برداشت نشده است. در این منطقه نمونه BB781 آنومال بوده است.

- منطقه افراسیاب (آنومالی شماره ۱۲)

این منطقه شامل پنج کیلومتر مربع آنومالی درجه یک و دوازده کیلومتر مربع آنومالی درجه دو می‌باشد. در داخل این محدوده آنومالی‌ها طلا و استرنیسم قوار دارد که اهمیت منطقه را بیشتر می‌کند. واحدهای سنگی این منطقه شامل شیل و ولکانیک‌های حدواسط می‌باشد. از این محدوده پنج نمونه کانی سنگین و دو نمونه میزآلیزه برداشت شده است که شرح کامل آنها در بند شش همین فصل می‌آید. در این منطقه در مقیاس کار صحرایی آلتراسیون سیلیسی و آلتراسیون گسترده پروپلیتی مشاهده گردیده است.

**آنومالی‌های کروم «Cr»**

برگه ۱۰۰، ۱۵۰ هزار کانیان

**- منطقه شمال بردرش (آنومالی شماره ۱۰)**

این منطقه شامل حدود هفت کیلومتر مربع آنومالی درجه یک و پنج کیلومتر مربع آنومالی درجه دو می‌باشد. واحدهای سنگی این منطقه شامل شیل، آهک و ولکانیک‌های حدواسط می‌باشد. از این محدوده دو نمونه کانی سنگین و شش نمونه میزرازیزه برداشت شده است. این آنومالی بر آنومالی کالت منطقه منطبق می‌باشد که اهمیت منطقه را زیاد می‌کند. در این محدوده نمونه BH670 و BH671 آنومال بوده است.

**- منطقه شمال تبریز خاتون (آنومالی شماره ۲۴)**

این منطقه دارای مساحتی حدود پنج کیلومتر مربع آنومالی درجه یک و هفت کیلومتر مربع آنومالی درجه دو می‌باشد. واحدهای سنگی این محل شامل شیل، آهک، فیلیت، اسلیت، ماسه سنگهای دگرگون شده و رسوبات آواری دانه متوسط تا درشت دانه می‌باشد. از این محل با توجه به اهمیت کم منطقه و محدودیت در تعداد نمونه‌ها، نمونه کانی سنگین و میزرازیزه‌ای گرفته نشده است. نمونه آنومال این منطقه نمونه BH409 می‌باشد.

**- منطقه جنوب گاو آهنتو (آنومالی شماره ۲۳)**

این محدوده دارای مساحتی حدود ده کیلومتر مربع آنومالی درجه یک و سیزده کیلومتر مربع آنومالی درجه دو می‌باشد. واحدهای سنگی این منطقه شامل آهک و ولکانیک‌های متوسط می‌باشد. در این محدوده نمونه BB781 آنومال بوده است. از این منطقه به علت محدودیت در تعداد نمونه‌ها و اهمیت کم منطقه نمونه کانی سنگین و میزرازیزه برداشت نشده است.

**آنومالی‌های مس «Cu»**

برگه ۱۰۰، ۱۵۰ هزار کانیان

**- منطقه شمال بردرش (آنومالی شماره ۱۰)**

این منطقه دارای مساحتی حدود پنج کیلومتر مربع آنومالی درجه یک و دو کیلومتر

مربع آنومالی درجه دو می باشد. واحدهای سنگی این منطقه شامل آهک، شیل، ولکانیک های حدواسط و کلریت شیست می باشد. از محدوده این آنومالی دو نمونه کانی سنگین و شش نمونه میزرازیه برداشت شده است که شرح کامل آن ها در بند شش همین فصل می آید. در مقیاس کار صحرایی در این محل آلتراسیون سیلیسی مشاهده شده است. این آنومالی بر آنومالی کروم و کیالت منطبق می باشد که اهمیت منطقه را بیشتر می کند. در این محل نمونه آنومال بوده است. BH671

#### برگه ۱:۱۰۱، ۱۰۱: باینچوب

##### - منطقه شمال شرقی قلاته رشکه (آنومالی شماره ۱۲)

این منطقه مساحتی حدود دو کیلومتر مربع آنومالی درجه یک و هفت کیلومتر مربع آنومالی درجه دو نشان می دهد. این آنومالی بر آنومالی آتیموان منطبق می باشد که اهمیت منطقه را بیشتر می کند. واحدهای سنگی این منطقه شامل شیل و ولکانیک های حدواسط (آندرزیت) می باشند. از این محل سه نمونه کانی سنگین برداشت شده است. در مقیاس کار صحرایی در این محل آلتراسیون های سیلیسی و پروپیلیتی مشاهده شده است. در این محل نمونه آنومال بوده است. BB767

##### - منطقه جنوب شرق باینچوب (آنومالی شماره ۲۵)

این منطقه مساحتی حدود پنج کیلومتر مربع آنومالی درجه یک و پنج کیلومتر مربع آنومالی درجه دو دارد. واحدهای سنگی این منطقه شامل ولکانیک های حدواسط (آندرزیت) می باشد. از این منطقه به علت اهمیت کم آن نسبت به مناطق دیگر و محدودیت در تعداد نمونه ها، نمونه کانی سنگین و میزرازیه برداشت نشده است.

#### برگه ۱:۱۰۱، ۱۰۱: بست

##### - منطقه پنج کیلومتری جنوب غربی بست (آنومالی شماره ۲۶)

این منطقه مساحتی حدود سه کیلومتر مربع آنومالی درجه یک و دو کیلومتر مربع آنومالی درجه دو دارد. واحدهای سنگی این منطقه شامل ولکانوکلاستیک های اسیدی همراه گرانیت و ولکانیک های حدواسط می باشد. از این منطقه به علت اهمیت کم آن نمونه کانی سنگین و میزرازیه برداشت نشده است.

### - منطقه شمال شرق خالباز (آنومالی شماره ۸)

این منطقه دارای مساحتی حدود یک کیلومتر مربع آنومالی درجه یک می باشد. این آنومالی بر آنومالی های مولیبدن مس، سرب و منگنز منطبق می باشد که اهمیت منطقه را بیشتر می کند. واحدهای سنگی این منطقه شامل ولکانوکلاستیک های اسیدی همراه گرانیت، آهک، فیلیت، گنایس، شیست و رسوبات آواری دانه درشت می باشد. از این منطقه چهار نمونه کانی سنگین، پنج نمونه میزرازیه و دو نمونه آلتراسیون برداشت شده است. طبق تابیخ XRD در این منطقه آلتراسیون های سلیسی، سریستی، آلبیتی و ژپسی وجود دارد. در مقیاس کار صحرایی آلتراسیون های هماتیتی، لیمونیتی مشاهده شده است. در این ناحیه همچنین شیرزون مشاهده گردیده است. در این منطقه نمونه BT077 آنومال بوده است.

### - منطقه شمال دره ویان خشکه (آنومالی شماره ۹)

این منطقه مساحتی حدود یک کیلومتر مربع آنومالی درجه یک و یک کیلومتر مربع آنومالی درجه دو دارد. از این منطقه یک نمونه کانی سنگین و یک نمونه میزرازیه برداشت شده است. واحدهای سنگی این منطقه شامل ولکانوکلاستیک های اسیدی همراه گرانیت، ولکانیک های حد بواسطه و آهک می باشد. در مقیاس کار صحرایی در این منطقه آلتراسیون سلیسی مشاهده شده است.

### آنومالی های جیوه «Hg»

برگه ۱۵۰، ۱۰۰ هزار کانیان

### - منطقه شمال گله سور (آنومالی شماره ۱۰)

این منطقه شامل مساحتی حدود هشت کیلومتر مربع آنومالی درجه یک و حدود هشت کیلومتر مربع آنومالی درجه دو می باشد. واحدهای سنگی این منطقه شامل آهک، فیلیت و ولکانیک های حد بواسطه (آندرزیت پرفیری) می باشد. این آنومالی بر آنومالی کروم، نیکل و کبالت منطبق می باشد. از این محدوده چهار نمونه کانی سنگین و شش نمونه میزرازیه برداشت شده است. در مقیاس کار صحرایی در این محل آلتراسیون سلیسی و هماتیت مشاهده گردیده است. در این منطقه نمونه BH318 آنومال بوده است.

### - منطقه مره در (آنومالی شماره ۲۷)

این منطقه دارای مساحتی حدود سه کیلومتر مربع آنومالی درجه یک و شش کیلومتر مربع آنومالی درجه دو می باشد. واحدهای سنگی این منطقه شامل آهک و ولکانیک های حدواسط (آنذزیت) می باشد. از این منطقه به علت محدودیت در تعداد نمونه ها و اهمیت کمتر منطقه نسبت به مناطق دیگر نمونه ای برداشت نشده است. نمونه های BH383 و BH378 در این منطقه آنومال بوده است.

برگه ۱:۵۰،۰۰۰ بست

### - منطقه جنوب غرب دره گوان (آنومالی شماره ۲۸)

این محدوده دارای مساحتی حدود هفت کیلومتر مربع آنومالی درجه یک و سه کیلومتر مربع آنومالی درجه دو می باشد. واحدهای سنگی این منطقه شامل ولکانیک های حدواسط (آنذزیت) می باشد. از این منطقه به علت محدودیت در تعداد نمونه های کانی سنگین و اهمیت کمتر منطقه نسبت به مناطق دیگر نمونه کانی سنگین و میزآلیزه برداشت نشده است. در این محل نمونه BB687 آنومال بوده است.

### - منطقه شمال شرق گوگجه (آنومالی شماره ۱)

این منطقه دارای مساحتی حدود یازده کیلومتر مربع آنومالی درجه دو می باشد. این محدوده بر آنومالی های آتیموان، طلا، بُر و آرسنیک منطبق می باشد که اهمیت منطقه را بیشتر می کند. واحدهای سنگی این منطقه شامل ولکانیک های حدواسط، آهک، بازالت، شیست و شیل می باشد. از این محدوده بیست و چهار نمونه کانی سنگین، بیست و یک نمونه میزآلیزه و یک نمونه آتراسیون برداشت شده است. طبق نتایج XRD در این منطقه آتراسیون های کربناتی و سیلیسی مشاهده شده است. در مقیاس کار صحرایی در این ناحیه آتراسیون پروپیلیتی ضعیف و همایتی مشاهده شده است. در این محل نمونه های BT793 و BT794 آنومال بوده اند.

### - منطقه پنج کیلومتری جنوب غرب نرگسله (آنومالی شماره ۲)

این منطقه دارای مساحتی حدود شش کیلومتر مربع آنومالی درجه یک و دو کیلومتر

مریع آنومال درجه دو می باشد. واحدهای سنگی این منطقه شامل ولکانیک های حدواسط (آندرزیت) می باشد. از این محدوده به علت محدودیت در تعداد نمونه ها و اهمیت کمتر منطقه نسبت به مناطق دیگر نمونه میترالیزه و کانی سنگین برداشت نشده است. در این منطقه نمونه آنومال BE799 بوده است.

### آنومالی های منکنز «Mn»

#### برگه ۱:۵۰،۰۰۰ باینچوب

##### - منطقه شمال خنجره علیا (آنومالی شماره ۳۰)

این منطقه دارای مساحتی حدود هشت کیلومتر مریع آنومالی درجه یک و شش کیلومتر مریع آنومالی درجه دو می باشد. واحدهای سنگی این منطقه شامل شیل، آهک، فیلیت، اسلیت و ماسه سنگ های دگرگون شده می باشد. از این منطقه به علت محدودیت در تعداد نمونه های کانی سنگین و میترالیزه، نمونه ای برداشت نشده است. در این محدوده نمونه آنومال BB350 بوده است.

#### برگه ۱:۵۰،۰۰۰ بست

##### - منطقه شمال خال باز (آنومالی شماره ۸)

این محل دارای مساحتی حدود دو کیلومتر مریع آنومالی درجه یک و دو کیلومتر مریع آنومالی درجه دو می باشد. واحدهای سنگی این منطقه شامل آهک، ولکانوکلاستیک های اسیدی همراه گرانیت، ولکانیک های متوسط، فیلیت، اسلیت و ماسه سنگهای دگرگون شده می باشد. این آنومالی بر آنومالی مولیبدن، بیسموت و مس منطبق می باشد که اهمیت منطقه را بیشتر می کند. از این محدوده دو نمونه کانی سنگین و دو نمونه میترالیزه برداشت شده است. که شرح کامل آن ها در بندشش این نصل می آید. در مقیاس کار صحرایی در این محل آتراسیون لیموئیت مشاهده شده است. در این محل نمونه BT256 آنومال بوده است.

##### - منطقه شرق شاه قلعه (آنومالی شماره ۴)

این منطقه دارای مساحتی حدود چهار کیلومتر مریع آنومالی درجه یک و دو کیلومتر مریع آنومالی درجه دو می باشد. واحدهای سنگی این منطقه شامل شیل، آهک، ولکانیک های

متوسط و ولکانوکلاستیک های اسیدی همراه گرانیت می باشد. از این منطقه یک نمونه کانی سنگین و یک نمونه میزرازیه برداشت شده است که شرح آن ها در بند شش همین فصل می آید. در مقیاس کار صحرایی در این محل آلتراسیون سیلیسی مشاهده شده است. در این محل نمونه  $BT238$  آنومال بوده است.

### برگه ۱:۵۰،۱۰۰ اسلام دشت

#### - منطقه جنوب شرق گل چیدر (آنومالی شماره ۳۱)

این منطقه دارای مساحتی حدود پنج کیلومتر مربع آنومالی درجه یک و شش کیلومتر مربع آنومالی درجه دو می باشد. واحدهای سنگی این منطقه شامل آهک، فیلیت، اسلیت، ماسه سنگ های دگرگونی و ولکانیک های حدواسط می باشد. از این منطقه به علت اهمیت کم آن نسبت به مناطق دیگر و محدودیت در تعداد نمونه ها، نمونه کانی سنگین و میزرازیه گرفته نشده است. در این محدوده نمونه  $BE494$  آنومال بوده است.

#### - منطقه شمال چاولکان وزیر (آنومالی شماره ۳۲)

این منطقه دارای مساحتی حدود سه کیلومتر مربع آنومالی درجه یک و یک کیلومتر مربع آنومالی درجه دو می باشد. واحدهای سنگی این محدوده شامل فیلیت، اسلیت و ماسه سنگهای دگرگون شده می باشد. از این منطقه به علت محدودیت در تعداد نمونه ها و اهمیت کمتر منطقه نسبت به مناطق دیگر، نمونه کانی سنگین و میزرازیه برداشت نشده است. در این محدوده نمونه  $BE597$  آنومال بوده است.

### آنومالی های مولیبدن «Mo»

#### برگه ۱:۵۰،۱۰۰ هزار کانیان

#### - منطقه غرب ابراهیم آباد (آنومالی شماره ۳۳)

این منطقه دارای مساحتی حدود دو کیلومتر مربع آنومالی درجه یک و سه کیلومتر مربع آنومالی درجه دو می باشد. واحدهای سنگی این منطقه شامل ولکانیک های اسیدی می باشد. از این منطقه با توجه به اهمیت کم آن و محدودیت در تعداد نمونه ها، نمونه کانی سنگین و میزرازیه برداشت نشده است. در این منطقه نمونه  $BH370$  آنومال می باشد.

برگه ۱۵۰، ۱۰۰ بست

#### - منطقه شمال شرق خال باز (آنومالی شماره ۸)

این محدوده دارای مساحت تقریبی هفت کیلومتر مربع آنومالی درجه یک و نه کیلومتر مربع آنومالی درجه دو می‌باشد. واحدهای سنگی آن شامل آهک، فیلیت، کلریت شیست، گایس میلوینیتی، ولکانوکلاستیک های اسیدی همراه گرانیت و رسوبات آواری دانه درشت می‌باشد. این آنومالی بر آنومالی های قلع، مس، منگنز، بیسموت، سرب و روی انتطبق دارد که اهمیت منطقه را بیشتر می‌کند. از این محدوده، شش نمونه کانی سنگین و هفت نمونه مینزالیزه و در نمونه آلتراسیون برداشت شده است. طبق نتایج آنالیز  $XRD$  آلتراسیون های سیلیسی، سریستی، آلبیستی و ژیپسی در این محدوده وجود دارد. در مقیاس کار صحرایی آلتراسیون های هماتیتی و لیموینیتی در این منطقه مشاهده گردیده است. در این منطقه نمونه آنومال بوده است.  $BT077$

#### - منطقه شمال دره ویان خشکه (آنومالی شماره ۹)

این محدوده دارای مساحتی حدود سه کیلومتر مربع آنومالی درجه یک و حدود هفت کیلومتر مربع آنومالی درجه دو می‌باشد. واحدهای سنگی این منطقه شامل آهک، ولکانیک های متوسط، شیست و ولکانوکلاستیک های اسیدی همراه با گرانیت می‌باشد. از این محدوده سه نمونه کانی سنگین و سه نمونه مینزالیزه برداشت شده است. در مقیاس کار صحرایی در این محل آلتراسیون سیلیسی مشاهده گردیده است و همچنین در این منطقه شیرزون وجود دارد. این آنومالی بر آنومالی سرب و باریم منطبق می‌باشد که اهمیت منطقه را بیشتر می‌کند. نمونه  $BT714$  در این محل آنومال بوده است.

#### - منطقه شمال وزمان (آنومالی شماره ۹)

این محدوده دارای مساحت تقریبی چهار کیلومتر مربع آنومالی درجه یک و سه کیلومتر مربع آنومالی درجه دو می‌باشد. واحدهای سنگی این منطقه شامل آهک و ولکانوکلاستیک های اسیدی همراه با گرانیت می‌باشد. از این منطقه یک نمونه کانی سنگین و سه نمونه مینزالیزه برداشت شده است. در مقیاس کار صحرایی در این محل آلتراسیون سیلیسی مشاهده شده است. همچنین در این منطقه شیرزون وجود دارد. نمونه  $BT709$  در این محل آنومال بوده است.

### - منطقه شاه قلعه - توکلان (آنومالی شماره ۴)

این منطقه دارای مساحتی حدود دو کیلومتر مربع آنومالی درجه یک و حدود دو کیلومتر مربع آنومالی درجه دو می باشد. از این محدوده یک نمونه کانی سنگین و نه نمونه میزآلیزه و یک نمونه آلتراسیون برداشت شده است. این آنومالی بر آنومالی نقره انباطق دارد که اهمیت منطقه را بیشتر می کند. واحدهای سنگی منطقه شامل ولکانوکلاستیک های اسیدی همراه گرانیت، کلریت شیست و کوارتز سریسیت شیست می باشد. طبق نتایج  $XRD$  در این منطقه آلتراسیون های سیلیسی، سریسیتی و آلبیتی وجود دارد. نمونه BT248 در این محدوده آنومال بوده است.

### - منطقه شمال کوه تفنگ چیان (آنومالی شماره ۳۴)

این محدوده شامل سه کیلومتر مربع آنومالی درجه یک و حدود یک کیلومتر مربع آنومالی درجه دو می باشد. واحدهای سنگی این منطقه شامل شیل و ولکانیک های حدواسط (آندریت) می باشند. از این منطقه به علت اهمیت کم آن و محدودیت در تعداد نمونه های کانی سنگین و میزآلیزه، نمونه ای برداشت نشده است. نمونه BT450 در این منطقه آنومال بوده است.

### آنومالی های نیکل «Ni»

برگه ۱:۵۰،۰۰۰ هزار کاریان

### - منطقه شمال گله سور (آنومالی شماره ۱۰)

این منطقه با وسعت هفده کیلومتر مربع آنومالی درجه یک و مساحتی حدود شش کیلومتر مربع آنومالی درجه دو بین روستای گله سور و بر درش قرار دارد. واحدهای سنگی این منطقه شامل آهک، نیلیت و ولکانیک های حدواسط می باشد. از این منطقه چهار نمونه کانی سنگین و شش نمونه میزآلیزه برداشت شده است. که شرح کامل آن ها در بند شش همین فصل می آید. در مقیاس کار صحرایی در این محدوده آلتراسیون سیلیسی مشاهده شده است. در این محل نمونه BH318 آنومال بوده است.

- منطقه جنوب شرق دباغ (آنومالی شماره ۳۵)

این منطقه دارای مساحتی حدود دو کیلومتر مربع آنومالی درجه یک و نوزده کیلومتر مربع آنومالی درجه دو می باشد. واحدهای سنگی این منطقه شامل شیل، آهک، ولکانیک های اسیدی و ولکانیک های حدرواسط می باشد. از این منطقه به علت اهمیت کم آن نمونه میزرازیه و کانی سنگین برداشت نشده است.

برگه ۱:۱۱۰،۱۱۱ بست

- منطقه شمال شرق نرگسله (آنومالی شماره ۳۶)

این منطقه دارای مساحتی حدود پنج کیلومتر مربع آنومالی درجه یک و چهار کیلومتر مربع آنومالی درجه دو می باشد. واحدهای سنگی این محدوده شامل آهک، شیل، ولکانیک های حدرواسط و ولکانوکلاستیک های اسیدی همراه گرانیت می باشد. از این محدوده به علت اهمیت کم آن و محدودیت در تعداد نمونه ها، نمونه کانی سنگین و میزرازیه ای برداشت نشده است. در این محل نمونه BT310 و BT313 آنومال بوده است.

آنومالی های سرب «Pb»

برگه ۱:۱۱۰،۱۱۱ بست

- منطقه شمال و زمان (آنومالی شماره ۹)

این منطقه دارای مساحت تقریبی دو کیلومتر مربع آنومالی درجه یک و یک کیلومتر آنومالی درجه دو می باشد. واحدهای سنگی این منطقه شامل آهک و ولکانوکلاستیک های اسیدی همراه توده های نفوذی گرانیت می باشد. از این محدوده یک نمونه کانی سنگین و سه نمونه میزرازیه برداشت شده است. در مقیاس کار صحرایی در این محدوده آلتراسایرون سیلیسی مشاهده شده است، همچنین در این منطقه شیرزوزن وجود دارد. در این منطقه نمونه BT709 آنومال بوده است.

- منطقه شمال شرق خال باز (آنومالی شماره ۸)

این محدوده دارای مساحت تقریبی سه کیلومتر مربع آنومالی درجه یک و سه کیلومتر مربع آنومالی درجه دو می باشد. واحدهای سنگی این محدوده شامل آهک، فیلیت، اسلیت،

ماسه سنگ های دگرگون شده، ولکانیک های حدواسط و ولکانوکلاستیک های اسیدی همراه گرانیت می باشد.

از این محدوده دو نمونه کانی سنگین و دو نمونه مینرالیزه برداشت شده است. در مقیاس کار صحرائی در این محل آلتراسیون لیمونیت مشاهده شده است. نمونه BT256 در این محل آنومال بوده است.

#### - منطقه جنوب شرق آب باره (آنومالی شماره ۶)

این منطقه دارای مساحتی حدود هفت کیلومتر مربع آنومالی درجه یک می باشد. واحدهای سنگی این محدوده شامل سنگ آهک، رسوبات آواری دانه درشت، فیلیت، کلریت شیست و ولکانوکلاستیک های اسیدی می باشد. از این محدوده سه نمونه کانی سنگین و دو نمونه مینرالیزه و یک نمونه آلتراسیون برداشت شده است. که طبق تابع  $XRD$  در این محدوده آلتراسیون های کربناتی، سیلیسی و آرژیلیت وجود دارد. در این محل نمونه BT045 و BT049 آنومال بوده است.

#### - منطقه بناآچان (آنومالی شماره ۵)

این منطقه دارای مساحت تقریبی چهار کیلومتر مربع آنومالی درجه یک و یک کیلومتر مربع آنومالی درجه دو می باشد. واحدهای سنگی این منطقه شامل سنگ آهک، اسلیت، فیلیت، ماسه سنگهای دگرگون شده، ولکانوکلاستیک های اسیدی همراه گرانیت می باشد. از این منطقه دو نمونه کانی سنگین، چهار نمونه مینرالیزه و یک نمونه آلتراسیون گرفته شده است. طبق تابع  $XRD$  تیپ آلتراسیون محتمل سیلیسی، آلبیتی و کلریتی می باشد. این منطقه نسبت به عنصر روی نیز آنومال بوده است. نمونه BT286 در این محدوده آنومال می باشد.

#### - منطقه جنوب غرب دره هوان (آنومالی شماره ۳۷)

این منطقه دارای مساحتی حدود چهار کیلومتر مربع آنومالی درجه یک و سه کیلومتر مربع آنومالی درجه دو می باشد. واحدهای سنگی این منطقه شامل ولکانیک های حدواسط و ولکانوکلاستیک های اسیدی همراه گرانیت می باشد. از این منطقه به علت محدودیت در تعداد نمونه ها و اهمیت کم آن نسبت به مناطق دیگر، نمونه کانی سنگین و مینرالیزه برداشت نشده است. نمونه BT774 در این محدوده آنومال بوده است.

### آنومالی‌های آنتیموان «Sb»

برگه ۱:۵۰، ۱۱۰ هزار کانیان

#### - منطقه جنوب گله سور (آنومالی شماره ۳۸)

این محدوده دارای مساحتی حدود چهار کیلومتر مربع آنومالی درجه یک می‌باشد. واحدهای سنگی این منطقه شامل شیل و آهک می‌باشد. از این منطقه به علت محدودیت در تعداد نمونه‌ها، نمونه کانی سنگین و میترالیزه برداشت نشده است. نمونه BH152 در این محدوده آنومال بوده است.

#### - منطقه تازه آباد گلانه (آنومالی شماره ۱۱)

این منطقه دارای مساحتی حدود پنج کیلومتر مربع آنومالی درجه یک می‌باشد. واحدهای سنگی این محدوده شامل ولکانوکلاستیک‌های اسیدی همراء گرانیت و گرانودیوریت، ولکانیک‌های حدواسط، آهک و شیل می‌باشد. از این محدوده چهار نمونه کانی سنگین، ده نمونه میترالیزه و یک نمونه آلتراسیون گرفته شده است. این آنومالی بر آنومالی طلا و آرسنیک منطبق می‌باشد که اهمیت منطقه را زیاد می‌کند. طبق نتایج XRD در این محدوده آلتراسیون‌های کربناتی، سیلیسی و آرژیلیتی (?) وجود دارد. در مقیاس کار صحرایی آلتراسیون لیمونیتی مشاهده گردیده است. نمونه BH017 در این منطقه آنومال می‌باشد.

#### برگه ۱:۵۰، ۱۱۰ باینچوب

#### - منطقه شمال غرب قلاته رشکه (آنومالی شماره ۱۲)

این منطقه دارای مساحتی حدود پنج کیلومتر مربع آنومالی درجه یک و دو کیلومتر مربع آنومالی درجه دو می‌باشد. واحدهای سنگی این منطقه شامل شیل و ولکانیک‌های حدواسط می‌باشد. از این محدوده سه نمونه کانی سنگین برداشت شده است. در مقیاس کار صحرایی در این محل آلتراسیون پروپیلیتی و سیلیسی مشاهده شده است. نمونه BB767 در این منطقه آنومال می‌باشد.

#### - منطقه مادیان دول (آنومالی شماره ۱۷)

این منطقه دارای مساحتی حدود یک کیلومتر مربع آنومالی درجه دو می‌باشد.

واحدهای سنگی این منطقه شامل فیلیت، اسلیت، شیل، ماسه سنگ‌های دگرگون شده و ولکانیک‌های حد واسط (آندرزیت) می‌باشد. از این محدوده شش نمونه کانی سنگین برداشت شده است. که شرح آن در بند شش همین فصل می‌آید. در مقیاس کار صحرایی در این محل آتراسیون سیلیسی و پروپیلیت مشاهده شده است.

#### برگه ۱:۱۱۰،۱۱۱ بست

##### - منطقه شمال کوه تمنگچیان (آنومالی شماره ۳۴)

این محدوده شامل سه کیلومتر مربع آنومالی درجه یک و هفت کیلومتر مربع آنومالی درجه دو می‌باشد. این منطقه تا حدودی نسبت به مولبیدن و آرسنیک نیز آنومال بوده است. واحدهای سنگی این منطقه شامل شیل و ولکانیک‌های حد واسط می‌باشد. از این محدوده به علت اهمیت کم آن و محدودیت در تعداد نمونه‌ها، نمونه کانی سنگین و میزرازیه برداشت نشده است.

##### - منطقه غرب دره ویان خشکه (آنومالی شماره ۳۹)

این منطقه دارای مساحتی حدود یک کیلومتر مربع آنومالی درجه یک و پنج کیلومتر مربع آنومالی درجه دو می‌باشد. واحدهای سنگی این منطقه شامل آهک، ولکانیک‌های حد واسط و ولکانوکلاستیک‌های اسیدی همراه گرانیت می‌باشد. از این منطقه به علت اهمیت کم آن نمونه کانی سنگین و میزرازیه برداشت نشده است.

#### برگه ۱:۱۱۱،۱۱۰ باینچوب

##### - منطقه جنوب شرق خاک روزی (آنومالی شماره ۱۸)

این محدوده دارای مساحتی حدود سه کیلومتر مربع آنومالی درجه یک و یک کیلومتر مربع آنومالی درجه دو می‌باشد. واحدهای سنگی این منطقه شامل شیل و ولکانیک‌های حد واسط (آندرزیت پروفیری) می‌باشد. از این محدوده دو نمونه کانی سنگین برداشت شده است. نمونه BB545 در این محدوده آنومال می‌باشد. در مقیاس کار صحرایی در این محدوده آتراسیون سیلیسی مشاهده گردیده است.

### آنومالی‌های قلع «Sn»

برگه ۱:۵۰،۰۱۰ هزار کانیان

- منطقه غرب قلعه گاه (آنومالی شماره ۴۰)

این منطقه دارای مساحتی حدود دو کیلومتر مربع آنومالی درجه یک و دو کیلومتر مربع آنومالی درجه دو می‌باشد. واحدهای سنگی این منطقه شامل آهک می‌باشد. از این منطقه به علت اهمیت کم آن و محدودیت در تعداد نمونه‌ها، نمونه‌های کانی سنگین و میترالیزه گرفته نشده است. نمونه BH322 در این ناحیه آنومال بوده است.

### - منطقه جنوب شیخ حیدر (آنومالی شماره ۱۶)

این منطقه دارای دو کیلومتر مربع آنومالی درجه یک و یک کیلومتر مربع آنومالی درجه دو می‌باشد. واحدهای سنگی این منطقه شامل شیل و ولکانیک‌های حدواسط (آنذیت پرفیری) می‌باشند. از این محدوده دو نمونه کانی سنگین و یک نمونه میترالیزه برداشت شده است. در مقیاس کار صحرایی در این محل آکتسیون سیلیسی مشاهده شده است. نمونه BH140 در این محل آنومال بوده است.

### برگه ۱:۵۰،۰۱۰ باینچوب

- منطقه هانه گلان (آنومالی شماره ۱۳)

این محدوده دارای مساحتی حدود چهار کیلومتر مربع آنومالی درجه یک و چهار کیلومتر مربع آنومالی درجه دو می‌باشد. واحدهای سنگی این منطقه شامل ریولیت، آنذیت، آنذیت پرفیری می‌باشد. از این منطقه پنج نمونه کانی سنگین، دو نمونه میترالیزه و یک نمونه آکتسیون برداشت شده است. این آنومالی بر آنومالی بُر و بریلیم منطقه منطبق می‌باشد. طبق نتایج XRD آکتسیون‌های سیلیسی و آلبیتی در این منطقه محتمل است. در مقیاس کار صحرایی آکتسیون پروپیلیتی در این محدوده مشاهده گردیده است. نمونه BB266 در این منطقه آنومال می‌باشد.

## برگه ۱۱۰، ۱۵۱ بست

## - منطقه شمال شرق خال باز (آنومالی شماره ۸)

این منطقه دارای مساحتی حدود دو کیلومتر مربع آنومالی درجه یک و دو کیلومتر مربع آنومالی درجه دو می‌باشد. واحدهای سنگین این محدوده شامل سنگ آهک، رسوبات آواری دانه درشت، فیلیت، کلریت شیست، گنایس میلونیتی، ولکانوکلاستیک‌های اسیدی و گرانیت می‌باشد. از این محدوده چهار نمونه کانی سنگین، پنج نمونه میزرازیزه و دو نمونه آلتراسیون برداشت شده است. در این منطقه شیرزون دیده شده است. طبق تابیع آنالیز *XRD* در این منطقه آلتراسیون‌های سیلیسی، سریسیتی، آلبیتی و زیپسی محتمل است. این منطقه نسبت به سرب و روی نیز آنومال بوده است، که اهمیت منطقه را بیشتر می‌کند.

## - منطقه دره دزدان (آنومالی شماره ۷)

این منطقه دارای مساحتی حدود چهار کیلومتر مربع آنومالی درجه یک و یک کیلومتر مربع آنومالی درجه دو است. واحدهای سنگی این منطقه شامل سنگ آهک، فیلیت، کلریت شیست، کوارتز سریسیت شیست، میلونیت، رسوبات آواری دانه ریز و ولکانیک‌های حدواسط می‌باشد. این آنومالی بر آنومالی نقره منطبق می‌باشد که اهمیت منطقه را بیشتر می‌کند. از این محدوده سه نمونه کانی سنگین و چهار نمونه میزرازیزه برداشت شده است که شرح کامل آن‌ها در بند شش همین فصل می‌آید. در مقیاس کار صحرایی در این محدوده آلتراسیون سیلیسی مشاهده گردیده است.

## - منطقه آب باره (آنومالی شماره ۶)

این منطقه دارای مساحتی حدود شش کیلومتر مربع آنومالی درجه یک و هفت کیلومتر مربع آنومالی درجه دو می‌باشد. واحدهای سنگی این محدوده شامل ولکانیک‌های اسیدی، ولکانیک‌های حدواسط، گرانیت، فیلیت، اسلیت، شیست، ماسه سنگ‌های دگرگون شده، سنگ آهک و سنگهای رسوبی آواری متوسط تا دانه درشت می‌باشد. از این منطقه نش نمونه کانی سنگین و ده نمونه میزرازیزه برداشت شده است که شرح آن‌ها در بند شش همین فصل می‌آید. در مقیاس کار صحرایی در این محل آلتراسیون سیلیسی مشاهده گردیده است. این آنومالی بر آنومالی تنگستان منطبق می‌باشد که اهمیت منطقه را بیشتر می‌کند. نمونه *BT281* و *BT282* در این منطقه آنومال می‌باشد.

### آنومالی‌های استرنفسیم «Sr»

برگه ۱:۵۰،۱۰۰ هزار کانیان

- منطقه کانی شیخ کوژیا (آنومالی شماره ۴۱)

این منطقه دارای یک کیلومتر مربع آنومالی درجه یک و سه کیلومتر مربع آنومالی درجه دو می‌باشد. واحدهای سنگی این منطقه شامل رسوبات آواری درشت دانه و ولکانیک‌های حدواسط (آندرزیت) می‌باشد. از این منطقه به علت محدودیت در تعداد نمونه‌ها و اهمیت کم آن نسبت به مناطق دیگر نمونه میترالیزه و کانی سنگین برداشت نشده است. در این محدوده نمونه BH662 آنومال بوده است.

### برگه ۱:۵۰،۱۰۰ باینچوب

- منطقه قلاته رشکه - افراسیاب (آنومالی شماره ۱۲)

این محدوده دارای مساحتی حدود یازده کیلومتر مربع آنومالی درجه یک و شش کیلومتر مربع آنومالی درجه دو می‌باشد. واحدهای سنگی این منطقه شامل شیل، ولکانیک‌های متوسط، بازالت و برش‌های ولکانیکی می‌باشد. از این محدوده پنج نمونه کانی سنگین و دو نمونه میترالیزه برداشت شده است که شرح کامل آن‌ها در بند شش همین فصل می‌آید. در مقیاس کار صحرایی در این منطقه آلتراسیون پروپیلیتی و سیلیسی مشاهده گردیده است. این آنومالی بر آنومالی کبات، آتیموان و طلا منطبق می‌باشد که اهمیت منطقه را بیشتر می‌کند. در این محدوده نمونه BB201 آنومال بوده است.

### - منطقه جنوب شرق برد سفید (آنومالی شماره ۴۲)

این منطقه دارای مساحتی حدود هفت کیلومتر مربع آنومالی درجه یک و سه کیلومتر مربع آنومالی درجه دو می‌باشد. واحدهای سنگی این منطقه شامل شیل، آهک و ولکانیک‌های حدواسط می‌باشد. از این منطقه به علت اهمیت کم آن و محدودیت در تعداد نمونه‌ها، نمونه کانی سنگین و میترالیزه برداشت نشده است. در این منطقه نمونه BB123 آنومال بوده است.

## آنومالی‌های تنگستان «W»

برگه ۱:۵۰، ۱۱۰ هزار کانیان

## - منطقه غرب شریف آباد (آنومالی شماره ۳۳)

این محدوده دارای مساحتی حدود پنج کیلومتر مربع آنومالی درجه یک و شش کیلومتر مربع آنومالی درجه دو می‌باشد. واحدهای سنگی این منطقه شامل ولکانیک‌های اسیدی، آهک، رسوبات آواری دانه درشت تا متوسط و ولکانوکلاستیک‌های اسیدی همراه گرانیت می‌باشد. این محدوده نسبت به  $All$  آنومالی درجه دوم بوده است. از این محدوده به علت اهمیت کم آن و محدودیت در تعداد نمونه‌ها، نمونه کانی سنگین و مینرالیزه برداشت نشده است. نمونه  $BH182$  نمونه آنومالی این منطقه می‌باشد.

برگه ۱:۵۰، ۱۱۰ بست

## - منطقه آب باره (آنومالی شماره ۶)

این محل دارای مساحتی حدود شانزده کیلومتر مربع آنومالی درجه یک و چهار کیلومتر مربع آنومالی درجه دو می‌باشد. واحدهای سنگی این منطقه شامل ولکانیک‌های اسیدی، ولکانیک‌های حدواسط، ولکانوکلاستیک، گرانیت، فیلیت، اسليت، شیست، ماسه سنگ‌های دگرگون شده، آهک و سنگ‌های رسوبی آواری متوسط تا درشت دانه می‌باشد. در این منطقه شیرزون وجود دارد. از این محل شش نمونه کانی سنگین و دو نمونه مینرالیزه برداشت شده است. این آنومالی بر آنومالی آتیموان منطبق می‌باشد که اهمیت منطقه را بیشتر می‌کند. نمونه‌های  $BT281$  و  $BT282$  در این منطقه آنومال می‌باشند.

## آنومالی‌های روی «Zn»

برگه ۱:۵۱، ۱۱۱ بست

## - منطقه جنوب شرق گاوکچ علیا (آنومالی شماره ۴۳)

این منطقه دارای مساحتی حدود دو کیلومتر مربع آنومالی درجه یک و سه کیلومتر مربع آنومالی درجه دو می‌باشد. واحدهای سنگی این منطقه شامل آهک، فیلیت، ولکانیک‌های اسیدی و ولکانوکلاستیک‌های اسیدی همراه گرانیت می‌باشد. از این منطقه به علت محدودیت در تعداد نمونه‌های کانی سنگین و اهمیت کمتر منطقه نسبت به مناطق دیگر

نمونه کانی سنگین و میزرازیه برداشت نشده است. نمونه BT258 در این منطقه آنومال بوده است.

#### - منطقه شمال شرق خال باز (آنومالی شماره ۸)

این محدوده دارای مساحتی حدود سه کیلومتر مربع آنومالی درجه یک و دو کیلومتر مربع آنومالی درجه دو می باشد. واحدهای سنگی این محدوده شامل آهک، فیلیت، اسلیت، ولکانوکلاستیک های اسیدی همراه گرانیت می باشد. از این منطقه دو نمونه کانی سنگین و دو نمونه میزرازیه برداشت شده است. این آنومالی بر آنومالی بیسموت اتفاق دارد که اهمیت منطقه را پیشتر می کند. در مقیاس کار صحرایی در این محدوده آتراسیون لیمونیت مشاهده گردیده است. نمونه BT256 در این محدوده آنومال می باشد.

#### - منطقه جنوب شرق آب باره (آنومالی شماره ۶)

این منطقه دارای مساحتی حدود شش کیلومتر مربع آنومالی درجه یک و حدود سه کیلومتر مربع آنومالی درجه دو می باشد. واحدهای سنگی این منطقه شامل ولکانوکلاستیک های اسیدی و گرانیت، آهک، رسوبات آواری دانه درشت، فیلیت و کلریت شیست می باشد. از این محدوده سه نمونه کانی سنگین، دو نمونه میزرازیه و یک نمونه آتراسیون برداشت شده است، که طبق نتایج آنالیز XRD آتراسیون های کربناتی، سیلیسی و آرژیلیتی محتمل می باشد. در مقیاس کار صحرایی در این محل آتراسیون پروپیلیتی مشاهده شده است. نمونه BT049 در این محدوده آنومال می باشد.

#### - منطقه بناوجان (آنومالی شماره ۵)

این منطقه دارای مساحتی حدود دو کیلومتر مربع آنومالی درجه یک و چهار کیلومتر مربع آنومالی درجه دو می باشد. واحدهای سنگی این منطقه شامل گرانیت و ولکانوکلاستیک های اسیدی، آهک، اسلیت، فیلیت و ماسه سنگ های دگرگون شده می باشد. در این محدوده شیرزون مشاهده گردیده است. از این محدوده دو نمونه کانی سنگین، چهار نمونه میزرازیه و یک نمونه آتراسیون برداشت شده است. طبق نتایج آنالیز XRD آتراسیون های سیلیسی، آلبیتی و کلریتی محتمل می باشد. نمونه آنومال این منطقه نمونه BT286 می باشد.

### - منطقه غرب شاه قلعه (آنومال شماره ۳)

این آنومالی دارای مساحتی حدود یک کیلومتر مربع آنومالی درجه یک و حدود سه کیلومتر مربع آنومالی درجه دو می باشد. واحدهای سنگی این منطقه شامل ولکانیک های حدواسط و ولکانولکلاستیک های اسیدی همراه گرانیت می باشد. از این محدوده یک نمونه کانی سنگین برداشت شده است. در مقیاس کار صحرایی در این منطقه آلتراسیون پروپیلیت ضعیف مشاهده گردیده است. نمونه BT302 در این محل آنومال می باشد.

### - منطقه جنوب غرب نرگسله (آنومالی شماره ۲)

این منطقه دارای مساحتی حدود ده کیلومتر مربع آنومالی درجه یک و یک کیلومتر مربع آنومالی درجه دو می باشد. واحدهای سنگی این منطقه شامل ولکانیک های حدواسط (آندزیت) می باشد. این آنومالی بر آنومالی جیوه منطبق می باشد. از این محدوده به علت محدودیت در تعداد نمونه های کانی سنگین و اهمیت کمتر آن نسبت به مناطق دیگر، نمونه کانی سنگین و میزralizه برداشت نشده است.

### ۵- محاسبه آنومالی در جامعه نمونه های آلوویوم

(موضوع بند ۴-۸ شرح خدمات)

در برگه ۱:۱۰۰،۱۰۰ با یانچوب توپوگرافی نسبتاً شدید می باشد و وسعت آبرفت ها محدود به فضای بین رودخانه ها می باشد و گسترش چندانی ندارد. بنابراین در این برگه نمونه آلوویوم برداشت نشده است و تمام نمونه های این برگه در زمرة رسوبات آبراهه ای تلقی گردیده است.

### ۶- برداشت نمونه های کانی سنگین، میزralizه و آلتره

(موضوع بند ۱-۹ شرح خدمات)

برای برگه ۱:۱۰۰،۱۰۰ با یانچوب اقدام به برداشت و مطالعه ۹۷ نمونه کانی سنگین و ۱۲ نمونه تکراری کانی سنگین در محدوده آنومالی های مقدماتی (۱٪ و ۰.۵٪ بالای جامعه) گردیده است. نمونه شماره یک محل نمونه های کانی سنگین را همراه با سایر نمونه ها برای برگه ۱:۱۰۰،۱۰۰ با یانچوب نشان می دهد. داده های خام کانی سنگین بر حسب PPM در جدول ۳ ضمیمه (بر روی CD) آورده شده است.

همچنین در محدوده این برگه اقدام به برداشت ۱۳۱ نمونه از زونهای آلتره و مینرالیزه احتمالی، گردیده است. که از این تعداد ۱۰ نمونه از محدوده گسترش زونهای آلتره واقع در محل آنومالی های ژئوشیمیابی و ۱۲۳ نمونه از آثار مینرالیزه احتمالی (جهت شناخت نوع مینرالیزاسیون احتمالی) برداشت شده است. نقشه شماره یک محل این نمونه ها را نیز نشان می دهد.

#### ۶- نکاتی در مورد محل، چگالی و وزن نمونه های کانی سنگین و آماده سازی و مطالعه آن

(موضوع بند های ۴-۹، ۳-۹ و ۲-۹ شرح خدمات).

برای اکتشافات ناحیه ای (کوچک مقیاس) رودخانه های بزرگ با حوضه آبریز وسیع مناسب هستند. زیرا محدودیت تعداد نمونه در آنها بر طرف می گردد ولی در این برگه به دلیل برداشت اختصاصی نمونه های کانی سنگین در محدوده آنومالیهای ژئوشیمیابی نیازی به رعایت اصل فوق نبوده است.

هر نمونه کانی سنگین از چند محل که احتمال تمرکز کانی سنگین در آن بیشتر بوده، تخت سنگها یا Tail (آها) برداشت شده است. در چنین مکانهایی ذرات شن و یا ماسه بیشتر حضور دارند. در مناطقی که نسبتاً مرتفع و بر فکر و در نتیجه فرسایش شیمیابی شدیدتر بوده است، پدایش چنین محل هایی مشکل بوده و در نتیجه نمونه های کانی سنگین در این مناطق با وزن بیشتر از بخش ماسه ای - سیلتی - رسی برداشت گردیده است. چگالی نمونه برداری کانی سنگین، علاوه بر سقف تعیین شده، بوسیله شرح خدمات عمدتاً تابع مساحتی است که باید با استفاده از این روش تحت ارزیابی قرار گیرد. از آنجا که در این برگه مناطق تحت بررسی کانی سنگین محدود به زونهای آنومالی ژئوشیمیابی مقدماتی بوده است، بزرگی هاله پراکنده ژئوشیمیابی از قبل مشخص شده و در نتیجه نمونه های کانی سنگین متعلق به هر برگه ۱:۵۰، ۱:۱۰۰، در چنین زونهایی تقسیم شده است. در این تقسیم بندی فرض بر آن بوده است که برای هر حوضه آبریز با مساحت یک یا چند کیلومتر مربع، یک یا دو نمونه کانی بوده است. علاوه بر موارد فوق، شدت آنومالیهای ژئوشیمیابی و نیز تعداد عناصر در پاراژنر ژئوشیمیابی، در این تقسیم بندی مؤثر واقع شده است. تحت شرایط یکسان از نظر مساحت حوضه های آبریز، اولویت بیشتر به حوضه های آبریزی داده شده است که شدت آنومالی ژئوشیمیابی آن بیشتر بوده و یا تعداد عناصر در پاراژنر ژئوشیمیابی آن بیشتر بوده.

است. وزن نمونه کانی سنگین بسته به هدف مورد نظر تغییر می‌کند. در مورد نمونه‌های کانی سنگین معمولاً در صحراء آن قدر رسوب رودخانه‌ای برداشت می‌شود که پس از الک‌کردن حدود ۴ لیتر از جزء  $-20$  تا  $+80$  مش حاصل شود. این الک‌کردن اولیه باعث سهولت در حمل و نقل و شستشوی نمونه می‌گردد. اما از آن جایی که برداشت نمونه‌های کانی سنگین این برگه در انتهای فصل پاییز صورت گرفت و رسوبات رودخانه‌ای مرطوب و قابل الک‌کردن در صحراء نبودند، ناچار نمونه‌های کانی سنگین به وزن زیاد (۳۰ تا ۵۰ کیلوگرم) برداشت و به محل شستشو حمل گردیدند. این نمونه‌ها سپس گل شوی شدند. حجم نمونه قبل و بعد از گل شوی اندازه‌گیری شد. سپس مرحله لارک شوی روی نمونه‌ها صورت گرفت. بخش باقی مانده بوسیله دو آهن ریا با شدت‌های استاندارد به سه جزء مغناطیسی شدید مغناطیسی ضعیف و غیر مغناطیسی تقسیم شده و حجم هر کدام اندازه‌گیری شد. آنگاه بخش غیرمغناطیسی برای برموفرم گیری فرستاده شده تا بخش‌های سنگین و غیرسنگین از هم جدا شوند. پس از طی مراحل فوق هر جزء (بخش سنگین جزء غیرمغناطیسی و جزء مغناطیسی) مورد مطالعه قرار گرفت و درصد کانی‌های مختلف در آن جزء مشخص شد. نهایتاً با استفاده از این درصد‌ها و حجم نمونه اولیه در هر یک از مراحل، مقدار کانی بر حسب PPM در نمونه کانی سنگین تعیین گردید. بدینه است اعداد حاصله معرف غلظت واقعی آنها در محیط نیست زیرا نمونه‌ها قبل الک شده اند و جزء دانه درشت حذف شده است. البته می‌توان گفت که مقادیر آنها در محیط باید تقطعاً کمتر از مقادیر بدست آمده باشد. شرح ترتیج نمونه‌های کانی سنگین به همراه نمونه‌های آلتراسیون و نمونه‌های مینرالیزه در زیر آمده است (به تفکیک نسبت به چهار برگه  $1:50$ ،  $1:100$ ،  $1:500$ ،  $1:1000$ ). لازم به ذکر است محدوده‌هایی که برای برداشت نمونه کانی سنگین انتخاب گردیده، از طریق شماره نمونه ژئوشیمیایی در همان محدوده معرفی می‌شوند. این شماره‌ها در اول هر پاراگراف از مطالب بند ۶ می‌آید.

#### ۶-۲- شرح نمونه‌های کانی سنگین، مینرالیزه و آلتره برداشت شده در مناطق آنومال برگه $1:50$ ، $1:100$ ، $1:500$ ، $1:1000$ بست

##### ۱- نمونه BT020

این نمونه از مختصات جهانی ( $3969142.44$  و  $425.46$ ) در شمال دره دزدان برداشت شد. ولکانوکلاستیک‌های اسیدی، نفوذی‌های اسیدی، ولکانیکهای حدواسط، سنگ

آمک سیلیسی شده، فیلیت با رگهای سیلیس، کلریت شیست، کوارتز سریسیت شیست، میلوونیت و رسوبات آواری دانه ریز در این محدوده مشاهده می‌شوند. دو گسل نرمال (یک گسل با امتداد تقریبی شرقی - غربی و دومی با امتداد شمال شرقی - جنوب غربی) از این محدوده عبور می‌کنند. در مقیاس کار صحرایی؛ آلتراسیون سیلیسی در این منطقه مشاهده شده است. این نمونه آنومالی درجه یک  $Ag$  و آنومالی درجه دو  $Sn$  نشان داده است. سه نمونه کانی سنگین به شماره  $020H1$ ,  $021H$ ,  $1020H$  از این محدوده برداشت شده است. نمونه  $020H1$  پیریت اکسید و اسفن قابل توجهی را دارد و طلای آن نیز نسبتاً قابل توجه است. نمونه  $1021H$  نیز پیریت اکسید قابل توجهی را نشان می‌دهد. چهار نمونه میزرازیه  $M_1$ ,  $20M_2$ ,  $20M_1$  و  $1021M$  از این محدوده برداشت شد. نمونه  $20M_1$  دارای  $Ag$  و  $Pb$ ، و نمونه  $1020M_1$  دارای  $Zn$ ,  $Pb$  و  $Ag$  قابل ملاحظه هستند. سایر نمونه‌های میزرازیه این محدوده قادر مقادیر قابل توجهی از عناصر کانساری می‌باشند. نمونه  $1020H$  نسبت به کانی‌های موجود در جزء سنگین غنی شدگی قابل ملاحظه را نشان نمی‌دهند.

#### BT026 - نمونه ۲

این نمونه از مختصات جهانی ( $3971827.03$  و  $656698.65$ ) در شمال روستای دره دزدان برداشت شد. ولکانوکلاستیک‌های اسیدی، نفوذی‌های اسیدی، ولکانیک‌های حدواسط، سنگ آمک سیلیسی شده، فیلیت، کلریت شیست، کوارتز سریسیت شیست، رسوبات آواری دانه ریز و برش در این منطقه مشاهده می‌گردد. دو گسل نرمال (یک گسل با امتداد تقریبی شرقی - غربی و دومی با امتداد شمال شرقی - جنوب غربی) از این محدوده عبور می‌کنند. در مقیاس کار صحرایی آلتراسیون سیلیسی در این محدوده مشاهده شده است. این نمونه نسبت به عنصر  $Ag$  آنومالی نشان می‌دهد. نمونه کانی سنگین  $H1$  و نمونه میزرازیه  $1026M$  از محدوده نمونه فوق برداشت شده است. نمونه  $H1$  لوكوسن قابل ملاحظه‌ای را دارد. نمونه  $1026M$  دارای غنی شدگی قابل ملاحظه‌ای نسبت به عناصر کانساری نیست.

#### BT048 - نمونه ۳

این نمونه از مختصات جهانی ( $3975296.99$  و  $650665.45$ ) در جنوب غرب روستای

علیجان برداشت شد. در این محدوده سنگ آهک، رسوبات آواری دانه درشت، فیلیت، کلریت شیست و سنگهای ولکانوکلاستیک اسیدی رخمنون دارند. سنگ آهک در این محدوده سیلیسی شده است و رگه‌های کوارتز درون فیلیت‌ها دیده می‌شود. در مقیاس کار صحرایی آتراسیون سیلیسی و پروپیلیتی در محدوده نمونه فوق مشاهده شده است. نقشه ژئوفیزیک هوایی ۱:۲۵۰،۰۰۰ سنتنج وجود توده نفوذی نیمه عمیق و عبور یک گسل نرمال از این منطقه را نشان می‌دهد. این نمونه نسبت به عنصر  $Pb$  آنومالی نشان می‌دهد. دو نمونه کانی سنگین  $1018H$  و  $048H$  از این محدوده برداشت شده است که نمونه  $1018H$  طبق مینیتیت، گارنت و اپیدوت و نمونه  $048H$  پیریت اسید قابل توجهی را نشان می‌دهند. یک نمونه آتراسیون به شماره  $1018A$  از این محدوده برداشت شده که تیپ آتراسیون مربوط به آن بر طبق نتایج آنالیز  $XRD$ ، آتراسیون‌های کربناتی، سیلیسی و آرژیلیتی می‌باشد. از محدوده نمونه فوق یک نمونه مینرالیزه نیز به شماره  $1018M$  برداشت شده که ناقص مقادیر قابل ملاحظه‌ای از عناصر کانساری می‌باشد.

#### ۴- نمونه BT049

این نمونه از مختصات جهانی (۳۹۷۵۲۸۱.۶۶ و ۶۴۹۰۲۱.۷۶) در جنوب شرق روستای آب باره برداشت شد. ولکانوکلاستیک‌های اسیدی، نفوذی‌های گرانیتی، سنگ آهک، رسوبات آواری دانه درشت، فیلیت و کلریت شیست در محدوده نمونه فوق رخمنون دارند. آهکهای این منطقه سیلیسی شده و رگه‌های کوارتز درون فیلیت‌ها مشاهده می‌شود. در مقیاس کار صحرایی آتراسیون سیلیسی و پروپیلیتی در محدوده نمونه فوق مشاهده گردید. نقشه ژئوفیزیک هوایی ۱:۲۵۰،۰۰۰ سنتنج یک توده نفوذی نیمه عمیق را در این محدوده نشان می‌دهد. بعلاوه همان نقشه عبور یک گسل نرمال از این محدوده را نشان داده است. این نمونه نسبت به عناصر  $Pb$  و  $Zn$  آنومالی نشان می‌دهد. یک نمونه کانی سنگین به شماره  $049H$  از این محدوده برداشت شده است که شلیت، پیریت، اسفن، مگنتیت، گارنت و سینابر قابل ملاحظه‌ای را دارد. در ضمن کانی آنگلزیت در این نمونه مشاهده می‌شود. یک نمونه مینرالیزه نیز به شماره  $049M$  از سیلیسی اسیده در این منطقه برداشت گردید که نمونه نسبت به عناصر کانساری مقدار قابل توجهی را دارا نیست.

## ۵- نمونه BT077

این نمونه از مختصات جهانی (3980720.38 و 648850.25) در شرق روستای خالباز برداشت شد. نقشه رئوفیزیک هوایی ۱:۲۵۰،۰۰۰ سنتنج یک گسل نرمال را در این محدوده نشان می‌دهد. ولکانوکلاستیک های اسیدی، نفوذی های گرانیتی، سنگ آهک، رسوبات آواری دانه درشت، فلیت، کلریت شیست و گنایس میلونیتی در این محدوده رخمنون دارند. سنگ آهک در این منطقه سیلیسی شده است. بعلاوه سنگ آهک در بعضی شیست های این محدوده تبلور مجدد پیدا کرده و مرمریت تشکیل شده است. در مقیاس کار صحرایی آلتراسیون های سیلیسی، سریستی، هماتیتی و لیمونیتی در این محدوده مشاهده شده است. شیرزون نیز در این منطقه دیده شد. این نمونه نسبت به عناصر Zn و Mo آنمالمی نشان می‌دهد. از این محدوده چهار نمونه کانی سنگین به شماره های ۰۷۷H، ۰۷۸H، ۰۷۹H و ۱۰۲۴H برداشت شد که نمونه ۰۷۷H، پیریت اکسید و سروزیت قابل ملاحظه ای را دارداست. کانی آنگلزیت نیز در این نمونه مشاهده می‌شود. نمونه H ۰۷۸H، پیریت، پیریت اکسید، زیرکن، اسفنگ، هماتیت، مگنتیت، گارنت، اپیدوت و باریت و نمونه ۰۷۹H شیلیت پیریت، پیریت اکسید، هماتیت و اپیدوت قابل ملاحظه ای را دارا می‌باشد و کانی آنگلزیت نیز در نمونه ۰۷۹H دیده می‌شود. نمونه ۱۰۲۴H شیلیت، پیریت اکسید، زیرکن، اپیدوت، سیناپر و لیمونیت شایان توجهی را دارداست. از این محدوده پنج نمونه مینرالیزه به شماره های ۰۷۷M<sub>1</sub>، ۰۷۷M<sub>2</sub>، ۰۷۷M<sub>3</sub>، ۰۷۸M<sub>1</sub>، ۰۷۸M<sub>2</sub> و ۰۷۸M<sub>3</sub> برداشت شده که نمونه ۰۷۷M<sub>1</sub>، Ag، Pb، Zn و Cu قابل توجهی را نشان می‌دهد. سایر نمونه ها نسبت به عناصر کانتساری دارای مقادیر قابل ملاحظه ای نیستند. دو نمونه از زونهای آتشه محتمل در محلوده فوق برداشت شده است. نمونه اول به شماره ۷۸A<sub>2</sub>، بر اساس نتایج آنالیز XRD دارای آلتراسیون های محتمل سیلیسی، سریستی و آلبیتی و نمونه دوم به شماره ۷۸A<sub>3</sub> بر اساس نتایج آنالیز XRD دارای آلتراسیون های محتمل سیلیسی و ژپسی می‌باشد.

## ۶- نمونه BT238

این نمونه از مختصات جهانی (3966134.32 و 44149.91) در شرق شاه قلعه برداشت شد. نقشه رئوفیزیک هوایی ۱:۲۵۰،۰۰۰ سنتنج در این محدوده یک گسل نرمال را نشان می‌دهد. سنگهای آهک، کلریت شیست، کوارتز سریست شیست و ولکانیکهای حد

واسط در این محدوده رخنمون دارند. این نمونه نسبت به عنصر  $Mn$  آنومالی نشان می‌دهد. در مقیاس کار صحرایی در این محدوده آلتراسیون سیلیسی دیده می‌شود. از این محدوده یک نمونه میزالیزه به شماره  $1025M$  و یک نمونه کانی سنگین به شماره  $239H$  برداشت شده است. نمونه  $239H$  نسبت به کانی‌های موجود در جزء سنگین مقدار قابل ملاحظه‌ای را نشان نمی‌دهد. نمونه  $1025M$  نیز نسبت به عناصر کانساری مقدار قابل ملاحظه‌ای را نشان نمی‌دهد.

#### ۷- نمونه $BT256$

این نمونه از مختصات جهانی ( $57.57^{\circ}$  و  $3982675.66^{\circ}$ ) در شمال شرقی روستای خالباز برداشت شد. نقشه ژئوفیزیک هواپی  $1:250,000$  سنتنج در این محدوده یک گسل نرمال را نشان می‌دهد. سنگ‌های آهک، ولکانیک‌های حدوداً، ولکانیک‌های اسیدی و کلریت شیست در این محدوده رخنمون دارد. این نمونه نسبت به عنصر  $Bi$  آنومالی نشان می‌دهد. از این منطقه دو نمونه کانی سنگین به شماره‌های  $255H$  و  $256H$  برداشت شده است. از کلریت شیست‌های اکسید آهن دار این محدوده، نیز دو نمونه میزالیزه به شماره‌های  $1027M$  و  $256M_2$  برداشت شد. نمونه  $255H$  پیریت و لیمونیت و نمونه  $256H$  شیلت، پیریت اکسید، باریت، هماتیت سینابر و لیمونیت قابل ملاحظه‌ای را داراست. نمونه  $256M_2$  قابل ملاحظه‌ای را دارد.

#### ۸- نمونه $BT709$

این نمونه از مختصات جهانی ( $29.06^{\circ}$  و  $3985025.29^{\circ}$ ) در شمال شرق روستای سرخه موسی برداشت شد. آهک، ولکانوکلاستیک‌های اسیدی، نفوذی‌های گرانیتی و کلریت شیست در این منطقه رخنمون دارند. نقشه ژئوفیزیک هواپی  $1:250,000$  سنتنج در محدوده فوق گسلی را با استناد شمال شرقی - جنوب غربی نشان می‌دهد. این نمونه نسبت به عنصر آنومالی درجه دوم نشان می‌دهد. در مقیاس کار صحرایی در این محدوده آلتراسیون سیلیسی مشاهده گردید. مشاهدات صحرایی نشان می‌دهد که در این منطقه شیرزرون وجود دارد. در این محدوده یک نمونه کانی سنگین به شماره  $709H$  و سه نمونه میزالیزه به شماره‌های  $709M_1$ ،  $709M_2$  و  $709M_3$  برداشت شده است. نمونه  $709H$  نسبت به کانی‌های

موجود در جزء سنگین مقدار قابل ملاحظه ای را نشان نمی دهد. نمونه های  $709M_2$  و  $709M_3$  نیز نسبت به عناصر کانساری دارای مقادیر قابل ملاحظه ای نیستند.

#### BT714-۹ - نمونه

این نمونه از مختصات جهانی (3984939.53 و 640780.82) در جنوب قهرآباد برداشت شده است. سنگ های آهک، ولکانوکلاستیک های اسیدی، نفوذی های گرانیتی، آهک دولومیتی، کلریت شیست و ولکانیک های حدواسط در این محدوده رخمنون دارد. در مقیاس کار صحرایی در این محدوده آلتراسیون سیلیسی تشخیص داده شده است. در مشاهدات صحرایی شیرزون در منطقه تشخیص داده شده است. این نمونه نسبت به عنصر  $Bi$  آنومالی نشان می دهد. از این محدوده سه نمونه کانی سنگین به شماره های  $1038H$ ،  $1038M_1$  و  $1038M_2$  برداشت شد. سه نمونه میزالیزه  $715M$  و  $1038M_1$  از این منطقه برداشت شده است. نمونه  $714H$  زیرکن، پیریت و سروزیت، نمونه  $715H$  شیلیت، روتیل، آناناز، مگنتیت، گارنت و الیزیست و نمونه  $1038H$  پیریت اکسید، باریت، زیرکن، هماتیت، گارنیت و لیمونیت شایان توجهی را دارا می باشدند. نمونه های میزالیزه  $715M$ ،  $1038M_1$  و  $1038M_2$  دارای مقادیر قابل ملاحظه ای از عناصر کانساری نیستند.

#### BT281-۱ - نمونه

این نمونه از مختصات جهانی (3976702.65 و 649837.48) در غرب روستای علیجان برداشت شد. ولکانیک های اسیدی و حدواسط، ولکانوکلاستیک های اسیدی، نفوذی های گرانیتی، فیلیت، اسلیت، شیست، متاسنداستون، سنگ آهک و سنگهای رسوبی آواری متوسط تا دانه درشت در این منطقه رخمنون دارند. شیست های محدوده عمدتاً از نوع کوارتز سریست شیست و کلریت شیست می باشد. در زوتهای شیر شده گنایس میلیونیتی تشکیل شده است. در مقیاس کار صحرایی، آلتراسیون های سیلیسی، آلریلیتی، هماتیتی و پروپیلیتی در یک محدوده مشاهده شد. این نمونه آنومالی  $W$  دارد. نقشه ژئوفیزیک هوایی ۱۰۰، ۲۵۰، ۱:۱ سنبلج یک توده نفوذی نیمه عمیق را در منطقه نشان می دهد. گسل های متعددی در منطقه وجود دارد، که بزرگترین آنها امتداد تقریبی شرقی - غربی دارد. نمونه های کانی سنگین  $041H$ ،  $042H$ ،  $043H$ ،  $044H$  و  $281H$  از این محدوده برداشت شده اند که نمونه

۰۴۱H پیریت اکسید، اسفن و گارنت، نمونه ۰۴۲H پیریت اکسید، روبل و گارنت، نمونه ۰۴۳H شلیت، باریت، زیرکن، مگنتیت، گارنت و سینابر، نمونه ۰۴۴H پیریت اکسید و لیمونیت و نمونه ۲۸۱H شلیت، پیریت، زیرکن، مگنتیت، گارنت قابل توجهی را دارد هستند. نمونه های میترالیزه ۰۴۰M<sub>1</sub>، ۰۴۰M<sub>2</sub>، ۰۴۰M<sub>3</sub>، ۰۴۱M، ۰۴۰M<sub>4</sub>، ۰۴۳M<sub>1</sub>، ۰۴۳M<sub>2</sub>، ۰۴۳M<sub>3</sub>، ۰۴۳M<sub>4</sub>، ۰۴۳M<sub>5</sub>، ۰۴۳M<sub>6</sub> و ۰۲۸۱M<sub>1</sub>، ۰۲۸۱M<sub>2</sub>، ۰۲۸۱M<sub>3</sub> و ۰۲۸۱M<sub>4</sub> از این محدوده برداشت شده اند که نمونه های ۰۴۳M<sub>1</sub>، ۰۴۳M<sub>2</sub>، ۰۴۳M<sub>3</sub> و ۰۴۳M<sub>4</sub> نسبت به عناصر کاساری هستند. نمونه ۰۴۰M<sub>1</sub>، As، Zn، Cu و Ag، نمونه ۰۴۰M<sub>2</sub> و Cu، نمونه ۰۴۰M<sub>3</sub>، Zn، Cu، ۰۴۳M<sub>3</sub>، Au، ۰۴۳M<sub>5</sub> و نمونه ۰۴۳M<sub>6</sub> و نمونه ۰۴۳M<sub>7</sub> قابل توجهی را دارا هستند. همچنین Ag نمونه ۰۴۳M<sub>5</sub> نیز نسبتاً قابل توجه می باشد. در نمونه ۰۲۸۱M<sub>3</sub>، Sb قابل توجه بود، و آن نیز نسبتاً شایان توجه می باشد.

### ۱۱- نمونه BT282

این نمونه از مختصات جهانی (39°۶'۴۰.۰۱ و ۹۷°۶'۵۹.۹۵) در جنوب شرقی روستای آب باره برداشت شد. نقشه ژئوفیزیک هوایی ۱:۲۵۰،۰۰۰ سنديج در این محدوده یک توده نفوذی نیمه عمیق را نشان می دهد. ولکانیک های اسیدی و حدواسط و ولکانوکلاستیک های اسیدی، نفوذی های گرانیتی، نیلت، اسلیت، شیست، متاسنداستون، سنگ آهک و سنگهای رسوبی آواری متوسط تا دانه درشت در این منطقه رخنمون دارند. شیست های منطقه از نوع کوارتز سریسیت شیست و کلریت شیست می باشند. شیرزو نهای متعددی در این محدوده مشاهده می شوند، که در بعضی از این زونها گنایس میلونیتی تشکیل شده است. در مقیاس کار صحراجی در این محدوده آکتروسیون سیلیسی تشخیص داده شده است. این نمونه آنمالی W دارد. نمونه های کانی سنگین ۲۸۰H و ۱۰۱۹H از محدوده این نمونه برداشت شده است که نمونه ۲۸۰H شلیت، پیریت اکسید، باریت، زیرکن، هماتیت، مگنتیت، گارنت، اپیدوت و الیثیست و نمونه ۱۰۱۹H شلیت، پیریت، زیرکن، مگنتیت و سینابر قابل ملاحظه ای را دارد و کانی مالاکیت نیز در آن مشاهده می شود. نمونه های میترالیزه ۲۸۰M<sub>1</sub> و ۲۸۰M<sub>2</sub> از این محدوده برداشت شده اند که نمونه ۰۲۸۰M<sub>1</sub>، As، Zn، Cu و Ag و نمونه ۰۲۸۰M<sub>2</sub>، As ملاحظه ای را داراست، در ضمن Ag نمونه ۰۲۸۰M<sub>2</sub> نسبتاً بالا می باشد.

## ۱۲- نمونه BT283

این نمونه از مختصات جهانی (42.14 و 397569.77) در جنوب روستای آب باره برداشت شد. نقشه ژئوفیزیک هوایی ۰۰۰، ۲۵۰، ۱:۱۰۰ متندرج در این محدوده یک توده نفوذی نیمه عمیق را نشان می دهد. در این محدوده سنگهای ولکانوکلاستیک اسیدی و نفوذی های گرانیتی رخمنون دارند. این منطقه آنومالی درجه دوم  $Ag$  داشته است. از این منطقه یک نمونه کانی سنگین به شماره 283H برداشت شده که پیریت اکسید و مگنتیت قابل ملاحظه ای را دارد و کانی کلریت نیز در آن مشاهده شده است.

## ۱۳- نمونه BT285

این نمونه از مختصات جهانی (648526.38 و 3973792.64) در شمال غرب روستای بنادچان برداشت شد. ولکانوکلاستیک های اسیدی، نفوذی های گرانیتی، سنگ آهک سیلیسی شده، فیلیت، کلریت شیست و کوارتز سریسیت شیست در این محدوده رخمنون دارند. رگه های سیلیسی نیز در این منطقه مشاهده می شوند. این نمونه آنومالی درجه دوم  $Co$  را دارد. از محدوده نمونه فوق، یک نمونه کانی سنگین به شماره 285H برداشت شده این نمونه باریت، لوکوکسن و لیمونیت قابل توجهی را دارد و کانی کلریت نیز در آن مشاهده می شود. نمونه میترالیزه 285M از محدوده نمونه فوق برداشت شد  $Cu$  و  $Zn$  قابل توجهی را دارد. آرسنیک این نمونه نیز نسبتاً بالا می باشد.

## ۱۴- نمونه BT286

این نمونه از مختصات جهانی (30.9 و 3792664.72) در جنوب روستای بنادچان برداشت شده است. نقشه ژئوفیزیک هوایی ۰۰۰، ۲۵۰، ۱:۱۰۰ متندرج یک توده نفوذی نیمه عمیق را در این محدوده نشان می دهد. ولکانوکلاستیک های اسیدی، نفوذی های گرانیتی، سنگ آهک، اسلیت، فیلیت، متاسنداستون و شیست در محدوده فوق رخمنون دارند. شیست های از نوع کوارتز سریسیت شیست می باشند. در مقیاس کار صحرایی آلتراسیون های سیلیسی و آرژیلیتی تشخیص داده شده اند. در این محدوده زون های شیر نیز وجود دارد. این نمونه آنومالی  $Pb$  و  $Zn$  دارد. نمونه 286A از یک زون آلتراه احتمالی در این محدوده برداشت شده که بر طبق نتایج آنالیز XRD، دارای تیپ آلتراسیون محتمل سیلیسی، آلبیتی و کلریتی

می باشد. دو نمونه کانی سنگین  $286H$  و  $1015H$  از این محدوده برداشت شد که نمونه  $286H$  پیریت اکسید و نمونه  $1015H$  پیریت، پیریت اکسید و زیرکن قابل توجهی را دارا هستند. چهار نمونه میترالیزه  $286M_1$ ،  $286M_2$ ،  $286M_3$  و  $1015M$  از این محدوده برداشت شده اند که نمونه  $M_1$ ،  $Cu$  و  $Zn$  قابل توجهی را داراست. این نمونه نسبتاً بالا می باشد. نمونه  $1015M$ ،  $Pb$  و  $Ag$  شایان توجهی را داراست. دو نمونه میترالیزه دیگر نسبت به عناصر کانساری فاقد مقادیر قابل توجه هستند.

### BT290 - نمونه ۱۵

این نمونه از مختصات جهانی (۳۹۷۳۱۱۵.۴۰ و ۶۴۹۱۳۶.۴۰) در شرق روستای بناآجان برداشت شد. نقشه ژئوفیزیک هوایی  $1:250,000$  سنتنج یک توده نفوذی نیمه عمیق را در این محدوده نشان می دهد. در این محدوده، ولکانوکلاستیک های اسیدی، نفوذی های گرانیتی، ولکانیک های اسیدی، سنگآهک رسوبات آواری دانه درشت تا دانه متوسط، اسلیت، فیلیت، متاسنیداستون، کلریت شیست و کوارتز سریسیت شیست رخنمن دارند. در این مطقه زون شیرشدنگی مشاهده شد. در مقیاس کار صحرایی آلتراسیون سیلیسی در این محدوده تشخیص داده شد. این نمونه نسبت به عناصر  $Zn$  و  $Pb$  آنومالی نشان می دهد. نمونه های کانی سنگین  $290H$ ،  $291H$ ،  $292H$  و  $1017H$  از این محدوده برداشت شد. نمونه  $291H$ ، پیریت اکسید و باریت قابل توجهی را داراست و کانی کلریت نیز در آن دیده می شود. نمونه  $291H$ ، لیمونیت و کلریت، نمونه  $292H$  پیریت اکسید و نمونه  $1017H$ ، گالن، پیریت، پیریت اکسید، لیمونیت قابل توجهی را نشان داده اند و کانی مالاکیت نیز در نمونه  $1017H$  دیده می شود. نمونه های میترالیزه  $290M$ ،  $291M$ ،  $292M$ ،  $1017M_1$ ،  $1017M_2$  و  $1017M_3$  از محدوده فوق برداشت شده است. نمونه  $290M$ ،  $291M$ ،  $As$ ،  $Zn$ ،  $Ni$ ،  $Pb$ ،  $Cu$ ،  $Ag$  و نمونه  $292M$ ،  $291M$ ،  $As$ ،  $Hg$ ،  $Pb$ ،  $Zn$ ،  $Ag$  قابل توجهی را دارا هستند. نمونه  $1017M_3$  نسبتاً قابل ملاحظه ای را در خود نشان می دهد و نمونه  $1017M_2$  فاقد مقادیر بالایی از عناصر کانساری می باشد.

### BT287 - نمونه ۱۶

این نمونه از مختصات جهانی (۳۹۷۲۴۱۵.۴۶ و ۶۴۸۵۵۷.۰۹) در جنوب غرب روستای

بنوچان برداشت شد. ولکانوکلاستیک های اسیدی، نفوذی های گرایتی، ولکانیک های حد واسط، سنگ آهک، رسوبات آواری دانه متوسط تاریزدانه، فیلیت، شیست، اسلیت، دیوریت بازالت، متاسنداستون و گنایس در این محدوده رخنمون دارند. شیست های منطقه از نوع کوارتز سریست شیست می باشد. در مقیاس کار صحرایی و با دقت خاص آن در منطقه آتراسیون سیلیسی تشخیص داده شد. این نمونه آنومالی  $Zn$  نشان می دهد. یک گسل بزرگ با امتداد شمال شرقی - جنوب غربی منطقه را قطع می کند. ضمناً در مقطع شیرزون نیز مشاهده گردید. دو نمونه کانی سنگین به شماره های  $1016H$  و  $287H$  از این محدوده برداشت شد نمونه  $287H$  پیریت اکسید و کلریت و نمونه  $1016H$  پیریت اکسید و لیمونیت قابل ملاحظه ای را دارد می باشند. سه نمونه میترالیزه  $1$ ،  $1016M_1$ ،  $1016M_2$  و  $287M$  از این محدوده برداشت شد، که نمونه  $1016M_1$  نسبت به عناصر  $As$ ،  $Sb$ ،  $Zn$ ،  $Cu$ ،  $Hg$  و  $Ag$  و نمونه  $287M$  نسبت به عنصر  $Zn$  مقادیر قابل ملاحظه ای را نشان می دهدند. نمونه  $1016M_2$  فاقد مقادیر قابل ملاحظه ای از عناصر کانساری می باشد.

#### BT289 - نمونه ۱۷

این نمونه از مختصات جهانی (۳۹۷۱۷۶۲.۱۹ و ۶۴۷۸۲۵.۰۲) در جنوب غرب روستای بنوچان برداشت شد. سنگ های آهکی، ولکانوکلاستیک های اسیدی، نفوذی های گرایتی، کلریت شیست و گابرو در این محدوده رخنمون دارند. گسلی بزرگ با امتداد شمال شرقی - جنوب غربی منطقه را قطع می کند. شیرزون نیز در این منطقه مشاهده گردید. این نمونه نسبت به عنصر  $Ag$  آنومالی درجه اول نشان داده است. دو نمونه از رزنهای آلتره احتمالی در این محدوده برداشت شد. نمونه اول به شماره  $289M_6$  دارای آتراسیون های محتمل تیپ سیلیسی، گوتیتی و زئولیتی و نمونه دوم به شماره  $289M_3$  دارای آتراسیون های محتمل تیپ سیلیسی و سریستی می باشد. نمونه  $289M_6$ ،  $As$  و  $Zn$  قابل ملاحظه ای را دارد و لی نمونه  $289M_3$  فاقد مقادیر قابل ملاحظه ای از عناصر کانساری می باشد. هشت نمونه میترالیزه نیز به شماره های  $289M_1$ ،  $289M_2$ ،  $289M_4$ ،  $289M_5$ ،  $289M_7$ ،  $289M_8$ ،  $289M_9$  و  $289M_{10}$  از این محدوده برداشت شده است که نمونه  $289M_9$  نسبت به عناصر  $Ag$ ،  $Sb$ ،  $Zn$ ، نمونه  $789M_{10}$  نسبت به عناصر  $As$ ،  $Pb$ ،  $Cu$ ،  $Sb$  و  $Ag$  و نمونه  $289M_5$  نیز نسبت به عناصر  $As$   $Zn$  مقادیر قابل ملاحظه ای را نشان می دهند. سایر نمونه های میترالیزه فاقد مقادیر

قابل توجهی از عناصر کانساری می باشند. نمونه کانی سنگین  $H_289$  از این محدوده برداشت شده پیریت اکسید و باریت قابل ملاحظه ای را داشته است. لیمونیت این نمونه نیز نسبتاً بالا است و کانی کلریت نیز در آن مشاهده می شود.

#### BT248 - نمونه ۱۸

این نمونه از مختصات جهانی (648133.56 و 3966919.60) در شمال غرب روستای شاه قلعه و جنوب روستای توکلان برداشت شد. ولکانوکلاستیک های اسیدی، نفوذی های گرانیتی، کلریت شیست و کوارتز سریسیت شیست در این محدوده رخنمون دارد. در مقیاس کار صحرایی آلتراسیون های آرژیلیتی و کائولینیتی تشخیص داده شده است. این نمونه نسبت به عناصر  $Ag$  و  $Mo$  آنومالی درجه اول نشان می دهد. نمونه 248A از زون آلتره بزرگ کنار جاده شاه قلعه به توکلان برداشت شده که بر طبق تابع آنالیز XRD دارای آلتراسیون های احتمالی تپ سیلیسی، آلیتی و کلریتی می باشد. نمونه های کانی سنگین،  $H_1$ ،  $248H_1$ ،  $249H_1$  و  $1023H_1$  از محدوده نمونه فوق برداشت شده که نمونه  $H_1$  249 همایت و لوکوسن قابل ملاحظه ای را داراست و کانی آنگلزیت در آن مشاهده می شود. نمونه  $H_1$  طلا، پیریت اکسید قابل ملاحظه ای را داراست و همایت و لیمونیت آن نیز نسبتاً بالا می باشد. ده نمونه میزرازیه به شماره های  $M_1$ ،  $248M_1$ ،  $248M_2$ ،  $248M_3$ ،  $248M_4$ ،  $248M_5$ ،  $248M_6$ ،  $248M_7$ ،  $249M_6$ ،  $248M_9$  از محدوده فوق برداشت شده است، که نمونه  $M_1$ ،  $248M_2$ ،  $248M_3$ ،  $248M_4$ ،  $248M_5$ ،  $248M_6$ ،  $248M_7$ ،  $248M_8$ ،  $248M_9$  نمونه  $M_1$  نیز قابل ملاحظه می باشد. نمونه های میزرازیه توجهی را دارا می باشند. نمونه  $M_1$  نیز قابل ملاحظه می باشد. نمونه های میزرازیه  $M_1$ ،  $248M_1$ ،  $248M_2$ ،  $248M_3$ ،  $248M_4$ ،  $248M_5$ ،  $248M_6$ ،  $248M_7$ ،  $248M_8$ ،  $248M_9$  فاقد مقادیر قابل ملاحظه ای از عناصر کانساری هستند. نمونه کانی سنگین  $H_1$  نسبت به کانی های موجود در جزء سنگین فاقد مقادیر قابل ملاحظه ای است.

#### BT301 - نمونه ۱۹

این نمونه از مختصات جهانی (645379.01 و 3965217.31) در غرب روستای شاه قلعه برداشت شد. سنگهای ولکانیک خد واسط و مافیک، ولکانوکلاستیک های اسیدی، نفوذی های گرانیتی و کلریت شیست در این منطقه رخنمون دارند. در مقیاس کار صحرایی

آلتراسیون های سیلیسی، پروپیلیتی، آرژیلتی و سریستی تشخیص داده شده است. این نمونه آنومالی درجه دوم  $A_2$  نشان می دهد. نمونه کانی سنگین  $301H$  از این محدوده برداشت شده است که پیریت اکسید، هماتیت، اپیدوت، لوکوکسن و لیمونیت قابل ملاحظه ای را دارد. سه نمونه  $301M_1$ ،  $301M_2$  و  $301M_3$  از محلهای محتمل برای میزراлизاسیون برداشت شده، اند که فاقد مقادیر قابل توجهی از عناصر کانساری هستند.

#### ۲- نمونه $BT302$

این نمونه از مختصات جهانی ( $3966175.01$  و  $646889.09$ ) در غرب روستای شاه قلعه برداشت شد. سنگهای ولکانیک حد واسط و مایک و ولکانوکلاستیک های اسیدی همراه با نفوذی های گرانیتی در این منطقه رخنمون دارند. آلتراسیون پروپیلیتی ضعیف در کار صحرایی تشخیص داده شده است. این نمونه نسبت به عنصر  $Zn$  آنومالی درجه دوم نشان داده است. نمونه کانی سنگین  $302H$  از این محدوده برداشت شده است که پیریت، پیریت، اکسید، باریت، زیرکن، روتیل، آناتاز و هماتیت قابل توجهی را دارد.

#### ۲- نمونه $BT788$

این نمونه از مختصات جهانی ( $3957377.89$  و  $635790.18$ ) در جنوب شرق روستای گوگجه برداشت شده است. بر اساس نقشه ژئوفیزیک هوایی  $1:250,000$  سندج دو گسل بزرگ به موازات هم و با امتداد شمال شرقی - جنوب غربی از این منطقه عبور می کنند. این نمونه آنومالی  $A_2$  دارد. سنگهای ولکانیک حد واسط، سنگ آهک، رسوبات آواری دانه متوسط تا دانه ریز، بازالت و شیست در این منطقه رخنمون دارند. در مقیاس کار صحرایی آلتراسیون های سیلیسی، پروپیلیتی و هماتیتی در محدوده فوق تشخیص داده شده است. نمونه های کانی سنگین  $796H$ ،  $789H$ ،  $787H$ ،  $786H$ ،  $1001H$ ،  $784H$ ،  $1002H$ ،  $785H$ ،  $1003H$  و  $685H$  از این محدوده برداشت شده اند. نمونه  $1001H$ ، اپیدوت قابل ملاحظه ای دارد و لیمونیت آن نیز نسبتاً بالا می باشد. نمونه  $1002H$ ، شنلیت، زیرکن، هماتیت، مگنتیت، اپیدوت و لوکوکسن، نمونه  $1003H$ ، پیریت اکسید و نمونه  $685H$  اپیدوت قابل توجهی را دارد می باشند و لیمونیت نمونه  $685H$  نیز نسبتاً بالا می باشد. نمونه  $784H$  هماتیت، نمونه  $785H$  طلا؛ اپیدوت، لوکوکسن و لیمونیت، نمونه  $786H$  طلا، پیریت اکسید، هماتیت و لیمونیت و

نمونه  $787H$  دارای پیریت اکسید، هماتیت قابل ملاحظه‌ای می‌باشد و لیمونیت نمونه  $787H$  نیز نسبتاً بالاست. نمونه  $789H$  شلیت، هماتیت، مگنتیت و لوکوکسن و نمونه  $796H$  طلا و اپیدوت قابل ملاحظه‌ای را در خود نشان می‌دهند و هماتیت نمونه اخیر نیز نسبتاً بالا می‌باشد. هفت نمونه مینرالیزه  $784M_1$ ,  $784M_2$ ,  $784M_3$ ,  $785M$ ,  $786M$ ,  $787M$  و  $789M$  از این محدوده برداشت شده است. از این میان نمونه  $786M$  قابل ملاحظه‌ای داشته و  $Ag$  آن نیز نسبتاً بالاست. سایر نمونه‌های مینرالیزه فاقد مقادیر قابل توجهی از عناصر کانساری هستند.

#### BT795 - نمونه ۲۴

این نمونه از مختصات جهانی ( $3958494.47$  و  $637595.81$ ) در شرق روستای گوگجه برداشت شد. ولکانیک‌های حد واسط، رسوبات آواری دانه متوسط تا ریز دانه، سنگ آهک سیلیسی شده و کوارتز سریست شیست در محدوده این نمونه رخمنون دارند. در مقیاس کار صحرایی در این منطقه آلتراسیبون پروپیلیت تشخیص داده شده است. این نمونه نسبت به عناصر  $As$  و  $Au$  آنومالی نشان می‌دهد. بر اساس نقشه رُثُوفیزیک هواپی ۱:۲۵۰،۰۰۰ سنندج دو گسل بزرگ با امتداد شمال شرقی - جنوب غربی محدوده نمونه فوق را قطع می‌کنند. از این محدوده یک نمونه کانی سنگین به شماره  $795H$  برداشت شد که شلیت و هماتیت قابل ملاحظه‌ای را دارد. نمونه مینرالیزه  $795M$  نیز از محدوده فوق برداشت شد که نسبت به عناصر کانساری مقادیر قابل توجهی را نشان نمی‌دهد.

#### BT794 - نمونه ۲۳

این نمونه از مختصات جهانی ( $3958907.16$  و  $638189.73$ ) در شرق روستای گوگجه برداشت شد. ولکانیک‌های حد واسط و مایک، رسوبات آواری دانه متوسط تا دانه ریز و سنگ آهک در این منطقه رخمنون دارند. میلوئیت و برش ولکانیکی نیز در این محدوده مشاهده شد. این نمونه نسبت به عنصر  $As$  آنومالی نشان می‌دهد. در این محدوده یک نمونه کانی سنگین به شماره  $794H$  برداشت شده که پیریت اکسید، زیرکن و اپیدوت قابل ملاحظه‌ای را دارد. سه نمونه مینرالیزه  $794M_1$ ,  $794M_2$  و  $794M_3$  نیز از محدوده نمونه فوق برداشت شده که نسبت به عناصر کانساری فاقد مقادیر قابل توجهی می‌باشد.

## BT793- نمونه ۲۴

این نمونه از مختصات جهانی (73 و 3958567.73 و 638458.97) در شرق روستای گوگجه برداشت شد. ولکانیک های حد واسط، رسوبات آواری دانه متوسط تا ریز دانه، سنگ آهک سیلیسی شده و کوارتز سریست شیست در این منطقه رخنمون دارند. در مقیاس کار صحرایی آلتراسیون پروپیلیتی در این محدوده تشخیص داده شد. این نمونه نسبت به عنصر آنومالی نشان می دهد. چهار نمونه کانی سنگین به شماره های 793H، 1004H، 1005H و 1006H از این محدوده برداشت شده است که نمونه 793H هماتیت و لیمونیت و نمونه 1004H پیریت و اپیدوت قابل ملاحظه ای را دارند و لیمونیت و هماتیت نمونه اخیر نیز نسبتاً بالاست. نمونه 1005H، پیریت اکسید، باریت، اپیدوت و لیمونیت و نمونه 1006H پیریت اکسید، زیرکن و اپیدوت قابل ملاحظه ای را دارا می باشد. نمونه M1004 از قسمت مینرالیزه محتمل برداشت شد که نسبت به عناصر کانساری فاقد مقادیر قابل ملاحظه ای است.

## BT791- نمونه ۲۵

این نمونه از مختصات جهانی (97 و 3959463.97 و 639337.23) در شرق روستای گوگجه برداشت شد. ولکانیک های حد واسط، رسوبات آواری دانه متوسط تا ریز دانه، سنگ آهک و ولکانیک های مافیک میلیونیتی شده در این محدوده مشاهده می شوند. در مقیاس کار صحرایی آلتراسیون های سیلیسی، هماتیتی و پروپیلیتی در این منطقه تشخیص داده شده است. این نمونه نسبت به عنصر آنومالی نشان می دهد. نمونه 791A از یک زون آلتراسیون محتمل در این محدوده برداشت شد که بر اساس نتایج آنالیز XRD تیپ آلتراسیون احتمالی مربوط به آن کربناتی و سیلیسی می باشد. نمونه های کانی سنگین 790H، 1007H، 1008H، 1009H، 1010H، 1011H، 1012H، 1013H و 1012H از این محدوده برداشت شد که نمونه 790H طلا پیریت اکسید، باریت، زیرکن، هماتیت، اپیدوت و لیمونیت، نمونه 1007H هماتیت و لیمونیت قابل توجهی را دارد. پیریت اکسید، هماتیت و لیمونیت نمونه 1010H، باریت، هماتیت، مگنتیت و اپیدوت، نمونه 1011H، هماتیت و اپیدوت، نمونه 1012H اپیدوت و نمونه 1013 هماتیت و اپیدوت قابل توجهی را نشان می دهند. سایر نمونه های کانی سنگین نسبت به کانی های موجود در جزء کانی سنگین مقدار قابل ملاحظه ای را نشان نمی دهند. نمونه های مینرالیزه 790M، 790M<sub>1</sub>، 790M<sub>2</sub>، 790M<sub>3</sub>، 791M<sub>1</sub>، 791M<sub>2</sub>، 1011M<sub>1</sub>، 1011M<sub>2</sub> و 1011M<sub>3</sub> از این محدوده برداشت شده اند.

*860PP* *976PP*

از محدوده نمونه فوق برداشت شده است. که از این میان دو نمونه  $790M$  و  $791M_1$  نسبت به عنصر  $Al$  دارای مقادیر قابل توجهی هستند و سایر نمونه ها نسبت به عناصر کانساری مقدار قابل ملاحظه ای را نشان نمی دهند.

### ۳-۶- شرح نمونه های کانی سنگین، میزرا لیزه و آلتره برداشت شده در مناطق آنومال برگه ۱:۵۰، ۱۰۰ اسلام دشت

از این برگه نمونه های کانی سنگین  $1006H$ ،  $1001H$ ،  $787H$ ،  $786H$  و  $796H$  و نمونه های میزرا لیزه  $786M$  و  $787M$  برداشت شده اند که بعلت وابسته بودن به آنومالی های برگه ۱:۵۰، ۱۰۰ بست در آن قسمت شرح داده شدند. از سایر مناطق آنومال برگه ۱:۵۰، ۱۰۰ اسلام دشت بدليل اهمیت کمتر و محدودیت تعداد نمونه های کانی سنگین، نمونه کانی سنگین و میزرا لیزه برداشت نشد.

### ۴- شرح نمونه های کانی سنگین، میزرا لیزه و آلتره برداشت شده در مناطق آنومال برگه ۱:۵۰، ۱۰۰ با یانچوب

#### ۱- نمونه BB201

این نمونه از مختصات جهانی (28.25 و 3947655.28) در شرق روستای افراسیاب برداشت شد. ولکانیک های حد واسط (آندرزیت پرفیری)، بازالت و برشهای ولکانیک در این محدوده رخمنو دارند. این نمونه آنومالی  $Al$  نشان می دهد. زون پروپلیتی وسیعی در این محدوده گسترش یافته است. بر اساس نقشه رئوفیزیک هوایی ۱:۲۵۰، ۱۰۰ سنتنج محدوده نمونه فوق بین دو گسل موازی به امتداد شمالی - جنوبی قرار گرفته است. دو نمونه کانی سنگین به شماره  $201H$  و  $1031H$  از این محدوده برداشت شده اند که نمونه  $201H$  اپیدوت قابل ملاحظه ای را دارد و کرومیت نیز در آن مشاهده می شود. نمونه  $1031H$  طلا و اپیدوت قابل ملاحظه ای را در خود نشان می دهد و کرومیت نیز در آن دیده می شود. دو نمونه میزرا لیزه نیز به شماره های  $201M$  و  $1031M$  از محدوده فوق برداشت شده اند که قادر مقادیر قابل توجهی از عناصر کانساری هستند.

## BB767- نمونه ۲

این نمونه از مختصات جهانی (15<sup>o</sup> 394723.11 و 678993.11) در شرق روستای افراسیاب برداشت شد. ولکانیک های حد وسط، رسوبات آواری دانه متوسط تا ریز دانه و برشهای ولکانیکی در این محدوده رخنمون دارند. در مقیاس کار صحرایی آلتراسیون های پروپیلیتی و سیلیسی در این منطقه تشخیص داده شده است. این نمونه نسبت به عنصر Sb آنومالی نشان می دهد. سه نمونه کانی سنگین 770H، 770H و 1032H از 1033H بروزیت قابل برداشت شد که نمونه 770H، اپیدوت و نمونه 1033H، زیرکن، هماتیت و سروزیت قابل ملاحظه ای را داشته اند. نمونه 1032H نسبت به کانی های موجود در جزء سنگین فاقد مقادیر قابل توجه بوده است.

## BB545- نمونه ۳

این نمونه از مختصات جهانی (96<sup>o</sup> 3931145.96 و 27<sup>o</sup> 671431.27) در جنوب شرقی روستای خاک روزی برداشت شد. آندزیت، آندزیت پورفیری، شیل و دیوریت رخنمون های سنگی این منطقه را تشکیل می دهند، این نمونه نسبت به عنصر Sb آنومالی نشان می دهد. دو نمونه کانی سنگین 1101H و 1545H از این محدوده برداشت شد. نمونه 454H، آپاتیت، ایلمینیت، مگنتیت و اپیدوت و نمونه 1101H آپاتیت، آناناتاز، ایلمینیت، مگنتیت ولوکوکسن قابل توجهی را دارا هستند.

## BB266- نمونه ۴

این نمونه از مختصات جهانی (95<sup>o</sup> 3941058.95 و 69<sup>o</sup> 663036.69) در غرب روستای هانه گلان برداشت شد. ریولیت، آندزیت، آندزیت پورفیری و شیل رخنمون های سنگی این منطقه را تشکیل می دهند. این نمونه نسبت به عنصر Sb آنومالی نشان می دهد. یک نمونه آلتراسیون به شماره 1037A از محدوده فوق برداشت شد که بر طبق نتایج آنالیز XRD تپ آلتراسیون محتمل برای آن سیلیسی و آلیتی تعیین شده است. در بازدید صحرایی در این منطقه آلتراسیون پروپیلیتی مشاهده گردید. شش نمونه کانی سنگین 265H، 266H، 264H، 1034H، 1035H و 1036H از این منطقه برداشت شد. نمونه 1034H، طلا، پیریت اکسید، اپیدوت، سینابر و لیمونیت و نمونه 264H سروزیت قابل ملاحظه ای را دارا می باشد. سایر

نمونه ها نسبت به کانی های موجود در جزء سنگین فاقد مقادیر قابل ملاحظه ای می باشند. دو نمونه میزرازیه  $M_1$  و  $M_2$  از محدوده فوق برداشت شد که نمونه  $W$  و  $1037M_1$  نسبت به عناصر کانساری فاقد مقادیر قابل ملاحظه می باشد.

#### BB523- نمونه ۵

این نمونه از مختصات جهانی (40.02 و 59.04) در شمال روستای مادیان دول برداشت شد. آندزیت، آندزیت پرفیری، شیل و برشهای ولکانیکی در این محدوده رخنمون دارند. گسلی با امتداد تقریبی شمالی - جنوبی منطقه را قطع می کند. این نمونه نسبت به عناصر  $As$  و  $Sb$  آنومالی درجه دوم دارد. نمونه های کانی سنگین  $H$ ،  $519H$ ،  $518H$ ،  $521H$ ،  $522H$  و  $523H$  از این محدوده برداشت شده اند. نمونه  $518H$ ، پیریت اکسید و سیناپر، نمونه  $519H$ ، زیرکن، آناناژ و لوکوكسن، نمونه  $521H$ ، پیریت اکسید، لوکوكسن و لیمونیت، نمونه  $522H$  طلا و لوکوكسن و نمونه  $523H$ ، مارکاسیت قابل ملاحظه دارد. نمونه  $520H$  نسبت به کانی های موجود در جزء سنگین، فاقد مقادیر قابل ملاحظه ای می باشد.

#### ۶- شرح نمونه های کانی سنگین، میزرازیه و آلتره برداشت شده در مناطق آنومال برگه ۱۰۱:۵۱ هزار کانیان

#### BH217- نمونه ۱

این نمونه از مختصات جهانی (44.44 و 27.14) در شرق روستای دباغ برداشت شد. فیلیت، کلریت شیست و شیل رخنمون های سنگی منطقه را تشکیل می دهند. این نمونه نسبت به عنصر  $Au$  آنومال بوده است. نمونه کانی سنگین  $H$  از این محدوده برداشت شده باریت، زیرکن، روتبیل، گارنت و اپیدوت قابل ملاحظه ای را دارد. نمونه  $217M$  نیز از زون میزرازیه احتمالی در این محدوده برداشت شد و جهت عنصر  $Au$  آنالیز شیمیایی گردید که مقدار قابل ملاحظه ای را شناس نمی دهد.

#### BH140- نمونه ۲

این نمونه از مختصات جهانی (92.19 و 57.39) در جنوب روستای شیخ

حیدر برداشت شد. شیل و آندزیت در این منطقه رخمنون دارند. در مقیاس کار صحرایی و با دقیق خاص آن در این منطقه آلتراسیون سیلیسی تشخیص داده شد. این نمونه نسبت به عناصر  $Sn$  و  $Ag$  آنومالی نشان می‌دهد. از این محدوده دو نمونه کانی سنگین به شماره‌های  $1039H$  و  $140H$  برداشت شد. نمونه  $140H$ ، پیریت اکسید، آناتاز، هماتیت، سروزیت و لیمونیت قابل ملاحظه‌ای را دارد. کانی آنگلزیت نیز در این نمونه وجود دارد. نمونه  $1039H$  پیریت اکسید، آناتاز، سروزیت و لیمونیت قابل توجهی را نشان می‌دهد. نمونه میزآلیزه  $M1039$  نیز از این محدوده برداشت شده که نسبت به عنصر  $Pb$  مقدار قابل ملاحظه‌ای را نشان می‌دهد.

### BH671 - ۳ - نمونه

این نمونه از مختصات جهانی ( $3971665.51$  و  $3971089.25$ ) در شمال روستای بردش برداشت شد. شیل، آهک و ولکانیک‌های حد وسط رخمنون‌های سنگی این منطقه را تشکیل می‌دهند. در مقیاس کار صحرایی در این محدوده آلتراسیون سیلیسی تشخیص داده شده است. این نمونه نسبت به عناصر  $Co$  و  $C_2$  آنومالی نشان می‌دهد. دو نمونه کانی سنگین  $1042H$  و  $1043H$  از این محدوده برداشت شده است. نمونه  $1042H$ ، پیریت اکسید، هماتیت و لوکوکسن و نمونه  $1043H$  گارنت و لوکوکسن قابل ملاحظه‌ای را دارد. نمونه‌های میزآلیزه  $M1042M_1$ ،  $M2$ ،  $M3$ ،  $1042M_1$ ،  $1042M_2$ ،  $1043M_2$  و  $1043M_3$  از این محدوده برداشت شده‌اند که نسبت به عناصر کانساری قادر مقادیر قابل توجهی هستند.

### ۴ - نمونه‌های BH317، BH318 و BH319

این نمونه از مختصات جهانی ( $3973287.30$  و  $397198.32$ ) و نمونه از Mختصات جهانی ( $3971665.51$  و  $3971089.25$ ) از شمال روستای گله سور و نمونه از Mختصات جهانی ( $3971251.08$  و  $397154.11$ ) از غرب روستای گله سور برداشت شده‌اند. در محدوده نمونه‌های فوق سنگ آهک و آندزیت رخمنون دارند. در مقیاس کار صحرایی آلتراسیون سیلیسی در محدوده نمونه‌های فوق تشخیص داده شده است. نمونه‌های کانی سنگین  $H318$ ،  $319H$ ،  $319H$  و  $1041$  در این منطقه برداشت شده‌اند که نمونه  $H318$  نسبت به کانی‌های پیریت، پیریت اکسید، باریت، زیرکن، روتیل، آناتاز، هماتیت، لوکوکسن، سینابر،

سروزیت و لیمونیت مقادیر قابل ملاحظه ای را نشان می دهد. کانی های مالاکیت و آنگلزیت نیز در این نمونه مشاهده شده است. نمونه  $319H$ ، زیرکن، روتبیل، هماتیت و لیمونیت، نمونه  $1040H$  زیرکن، هماتیت، سینابر و لیمونیت و نمونه  $1041H$  روتبیل و هماتیت قابل توجهی را دارا می باشند. لیمونیت نمونه اخیر نیز نسبتاً بالا می باشد. نمونه های میزراخیزه<sub>1</sub>،  $318M_1$ ،  $318M_2$ ،  $319M_1$ ،  $319M_2$ ،  $1041M$  و  $1040M$  از این محدوده برداشت شده اند. نمونه  $318M_1$  نسبت به عنصر  $Pb$  و نمونه  $1040M$  نسبت به عنصر  $As$  مقدار قابل توجهی را نشان می دهند. سایر نمونه های میزراخیزه نسبت به عناصر کانساری فاقد مقادیر قابل توجه هستند.

### ۵- نمونه های BH018 و BH017

نمونه BH017 از مختصات جهانی (3961560.25 و 680232.65) و نمونه BH018 از مختصات جهانی (3962437.35 و 680076.15) در شمال روستای تازه آباد گلله برداشت شده اند. در این محدوده آهک، ولکانوکلاستیک های اسیدی، گرانیت، گرانودیوریت، ولکانیک های حدرواست و شیل رخمنون دارند. نمونه آلتراسیون  $17A$  از این محدوده، گرفته شد که بر طبق نتایج آنالیز XRD تیپ آلتراسیون احتمالی مربوط به آن کربناتی، سیلیسی و آرژیلیتی می باشد. بر اساس نقشه ژئوفیزیک هواپی ۱:۲۵۰، ۰۰۰ سنتلچ گسلی با امتداد شمال غربی - جنوب شرقی این محدوده را قطع می کند. نمونه های کانی سنگین  $017H$ ،  $018H$  و  $1029$  از این محدوده برداشت شده اند که نمونه  $017H$  باریت، اسفن، و لوکوکسن، نمونه  $018H$  طلا، باریت، روتبیل، اسفن و لوکوکسن، نمونه  $1029H$  پیریت اکسید، زیرکن، روتبیل، سینابر و لیمونیت و نمونه  $1029H$  پیریت اکسید، زیرکن، روتبیل، آناتاز و لیمونیت قابل توجهی را دارا می باشند. یازده نمونه میزراخیزه<sub>1</sub>،  $18M_2$ ،  $18M_3$ ،  $18M_4$ ،  $18M_5$ ،  $18M_6$  و  $1030M_6$  از محدوده فوق برداشت شده است. از بین نمونه های  $1030M_1$  تا  $1030M_6$  که جهت عنصر Au آنالیز شده اند، نمونه های  $1030M_1$ ،  $1030M_3$  و  $1030M_4$  مقادیر قابل ملاحظه ای از این عنصر را دارا هستند. نمونه های  $1030M_2$ ،  $1030M_5$  و  $1030M_6$  نسبت به عنصر Au مقادیر قابل توجهی را نشان نمی دهند. نمونه  $18M_1$  و  $18M_2$  و  $18M_3$  و  $18M_4$  و  $18M_5$  نسبت به عناصر کانساری، فاقد مقادیر قابل توجهی هستند.

### ۷- پردازش داده‌های کانی سنگین (موضوع بند ۴-۹ شرح خدمات)

#### ۷-۱- رسم هیستوگرام متغیرهای کانی سنگین

هیستوگرام توزیع فراوانی ۲۳ متغیر شامل گالن، پیریت، پیریت اکسید، باریت، زیرکن، روتیل آناتاز، اسفن، ایلمینیت، هماتیت، مگنتیت، گارنت، پیروکسن، اپیدوت، لوكوکسن، سیناپر، اولیژیست، سروزیت، لیمونیت، سیلیکات‌های آلترا، شنلیت، طلا، کانی‌های سبک و مجموع سیلیکات‌های آلترا و کانی‌های سبک به ترتیب در اشکال ۱-۷ تا ۷-۲۴ نشان داده شده‌اند (داده‌های خام در جدول ۳ ضمیمه بر روی CD آورده شده است). ارزش این هیستوگرام‌ها یکسان نمی‌باشد، زیرا در آنها بین ۱۰ تا ۹۷ مورد اندازه‌گیری وجود دارد. در بعضی از آنها تعداد نمونه‌ها در جامعه به حد کافی زیاد است بطوری که می‌توان روند تغییرات را پیش‌بینی کرد؛ ولی در بعضی به علت کمی تعداد موارد اندازه‌گیری شده روند تغییرات در هیستوگرام چندان مشخص نیست. لازم به توضیح است که لگاریتم مقادیر متغیرهای فوق در رسم هیستوگرام مورد استفاده قرار گرفته است.

در بین کانه‌های آهن دار هیستوگرام مگنتیت و اولیژیست خصلت دومدی از خود نشان می‌دهد. (شکل ۱۱-۷ و شکل ۱۷-۷) ولی با توجه به کمی تعداد موارد اندازه‌گیری شده در مورد کانه اولیژیست (۲۱ مورد) نسبت دادن خصلت دومدی به آن چندان قابل اعتماد نیست، به علت کمی اندازه‌گیری‌ها و نبود مشاهدات بین دومد احتمالی، روند تغییرات بین این مشخص نیست و نمی‌توان در مورد این که جامعه یک مدلی یا دومدلی است تصمیم‌گیری قاطعی انجام داد.

علاوه بر مگنتیت، کانی‌های سروزیت، لوكوکسن، گارنت، اسفن، آناتاز، روتیل، زیرکن، پیریت اکسید، شنلیت و پیریت خصلت دومدی دارند. (اشکال ۱۱-۷، ۱۸-۷، ۱۵-۷، ۱۲-۷، ۱۰-۷، ۸-۷، ۷-۷، ۶-۷، ۵-۷، ۳-۷ و ۲-۷). برای هر یک از متغیرهای فوق نمودارهای جوامع تفکیک شده آنها، که در آن دومد به صورت دو مقدار میانگین همراه با دو انحراف معیار و نسبت هر یک در جامعه کل می‌باشد ترسیم گردیده، اند (اشکال ۷-۲۵ تا ۷-۳۵). کانی‌های سیناپر و اپیدوت ظاهرًا سه مدلی هستند (اشکال ۱۶-۷ و ۷-۱۴). برای این متغیرها نیز نمودار جوامع تفکیک شده که در آنها سه مدل به صورت سه مقدار میانگین همراه با سه انحراف معیار و نسبت هر یک در جامعه کل می‌باشد ترسیم گردید (شکل‌های ۷-۳۶ و ۷-۳۷). اعداد میانگین و انحراف معیار در نمودارها بر حسب لگاریتم

مبنای ۱۰ می باشد. در مورد کانی های سیناپر و اپیدوت این احتمال وجود دارد که بروز جامعه های اول (با میانگین کم) به علت کمبود داده در غلظت های پایین باشد، که این می تواند ناشی از عدم برداشت نمونه های کانی سنگین در مناطق فاقد کانی سازی باشد. بزرگی انحراف معیارها در جوامع اول غالب متغیر های کانی سنگینی که خصلت دو یا سه مدل داشته اند، نیز می تواند ناشی از این امر باشد.

خلاصه این تفکیک پذیری جوامع دومی در جدول (۱-۷) آورده شده است. تیجه آن که برای کانی هایی که خصلت دومی دارند مقادیر حدود میانگین حد آستانه ای وبالاتر از آن و برای اپیدوت و سیناپر که خصلت سه مدلی از خود نشان داده اند مقادیر حدود میانگین حد آستانه ای دوم و بالاتر از آن (که در جدول ۱-۷ این مقادیر میانگین بر حسب  $PPM$  آورده شده است) مربوط به جوامع کانی سازی شده احتمالی می باشند. قابل ذکر است که در مورد پیریت اکسید و گارنت در صدق نمونه ای جامعه حد آستانه ای بیش از در صدق نمونه های جامعه زمینه می باشد که این امر برخلاف معمول است. لذا به نظر می رسد تخمین مقدار بحرانی آن منعکس کننده واقعیت نمی باشد. خطای آنالیز کانی سنگین در این مورد بی تأثیر نبوده است.

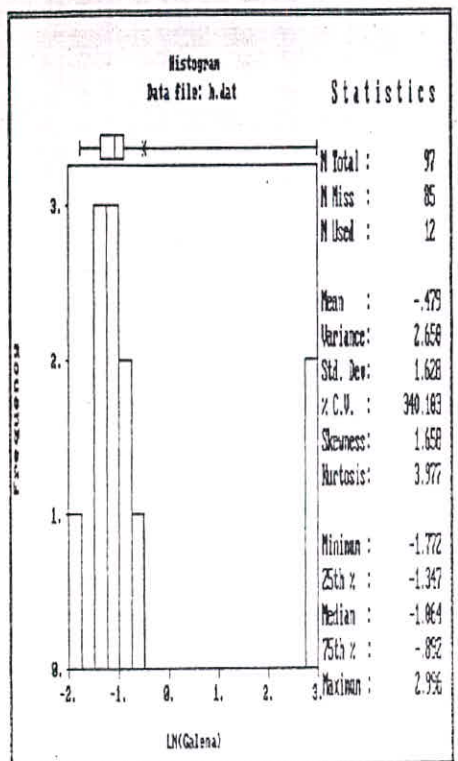


Fig : 7-1

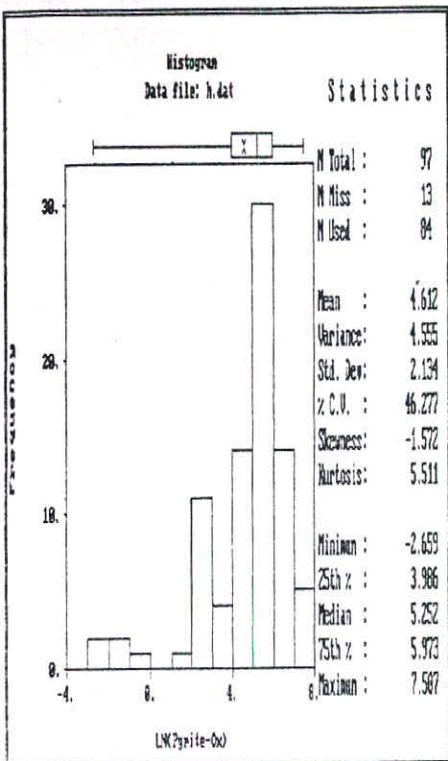


Fig : 7-3

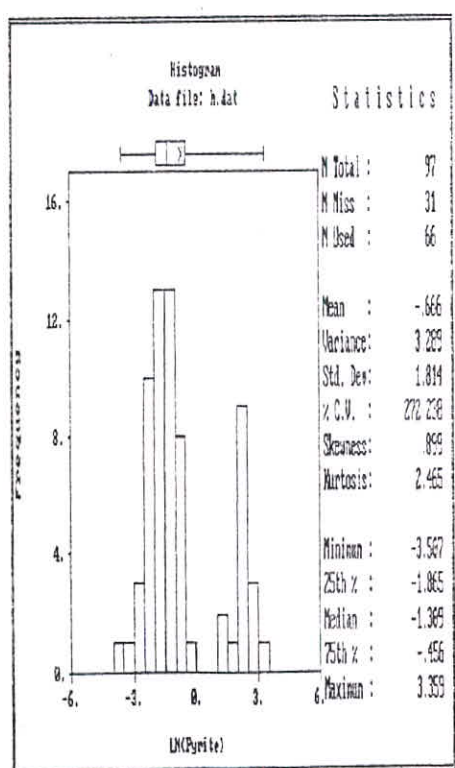


Fig : 7-2

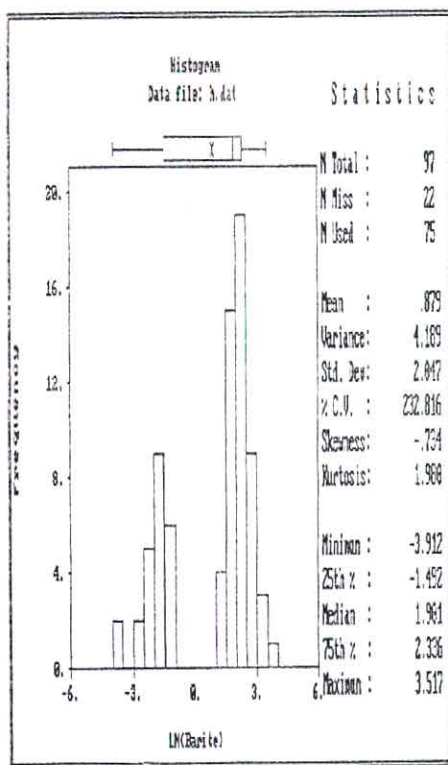


Fig : 7-4

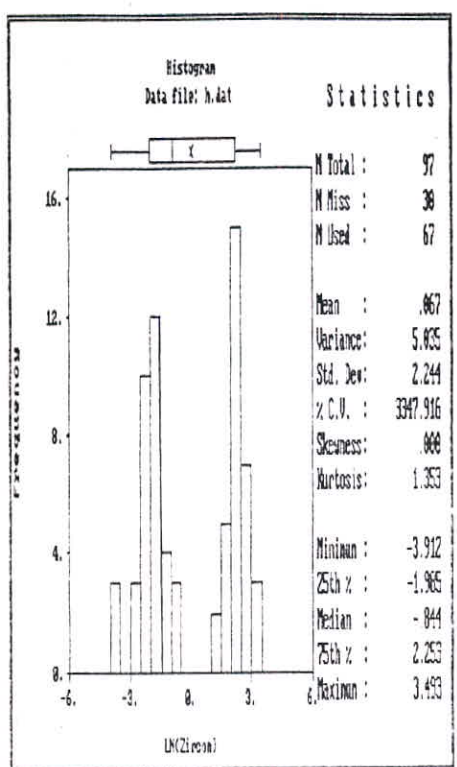


Fig : 7-5

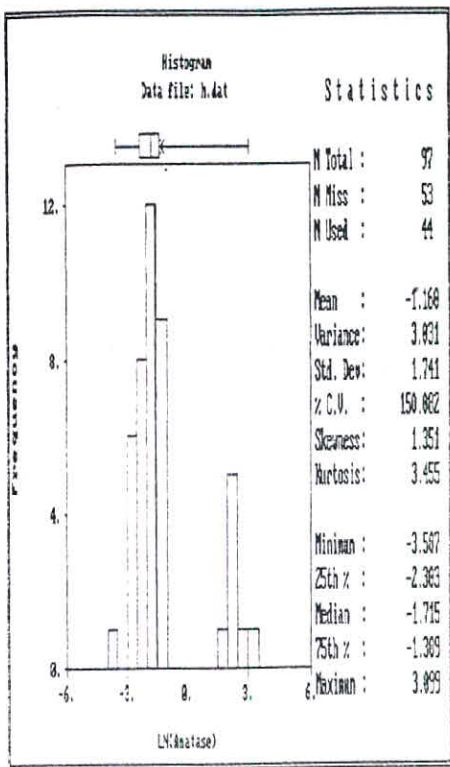


Fig : 7-7

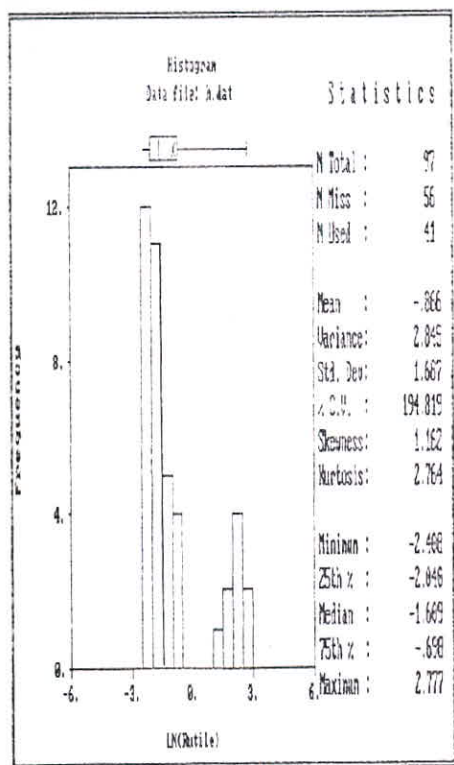


Fig : 7-6

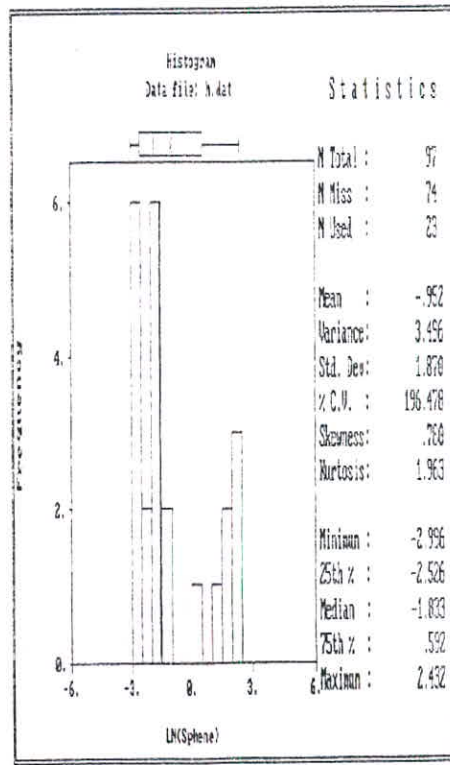


Fig : 7-8

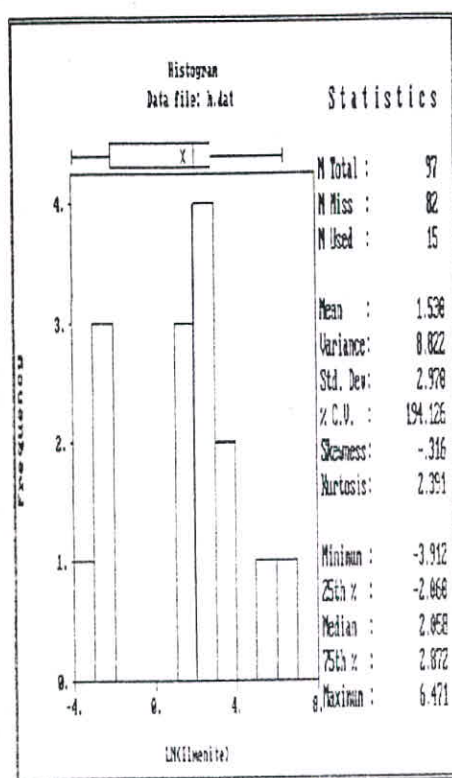


Fig : 7-9

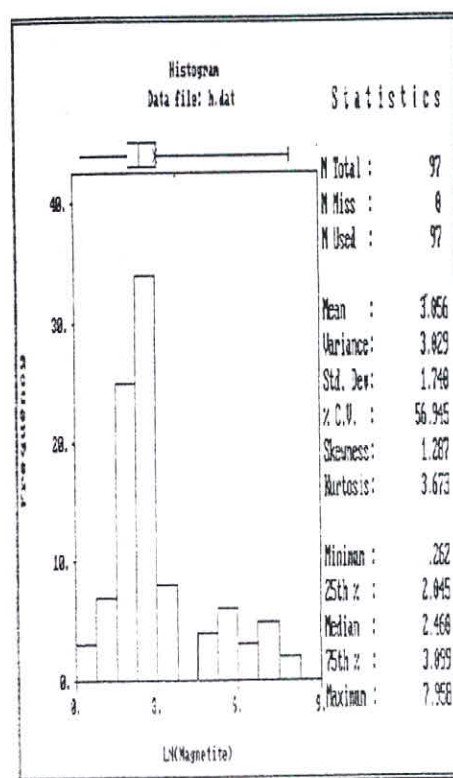


Fig : 7-11

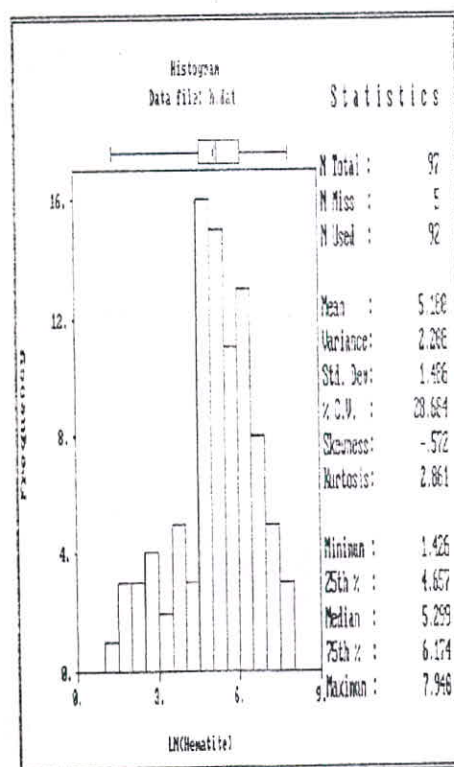


Fig : 7-10

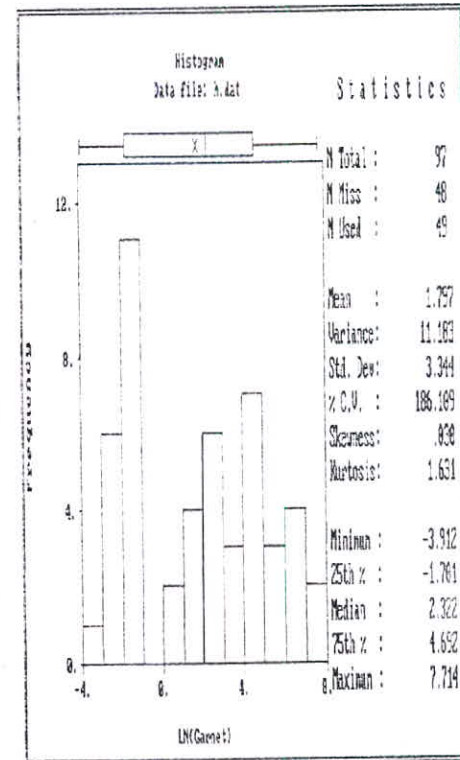


Fig : 7-12

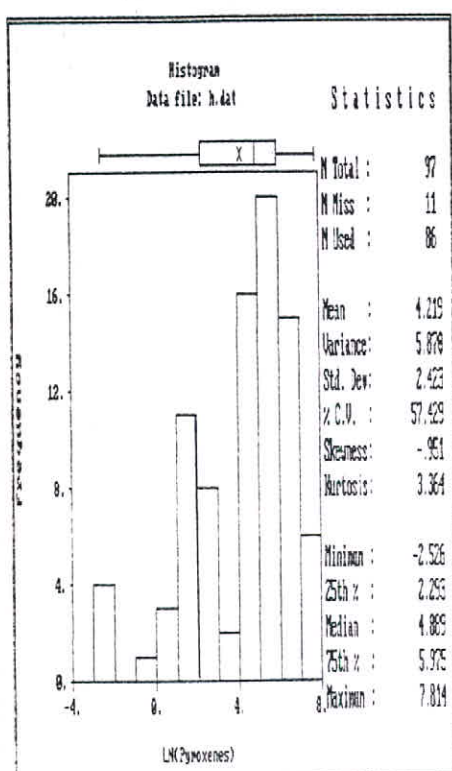


Fig : 7-13

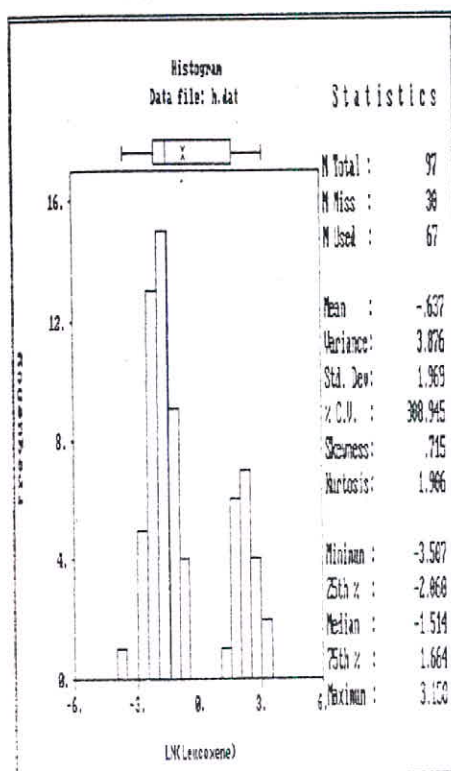


Fig : 7-15

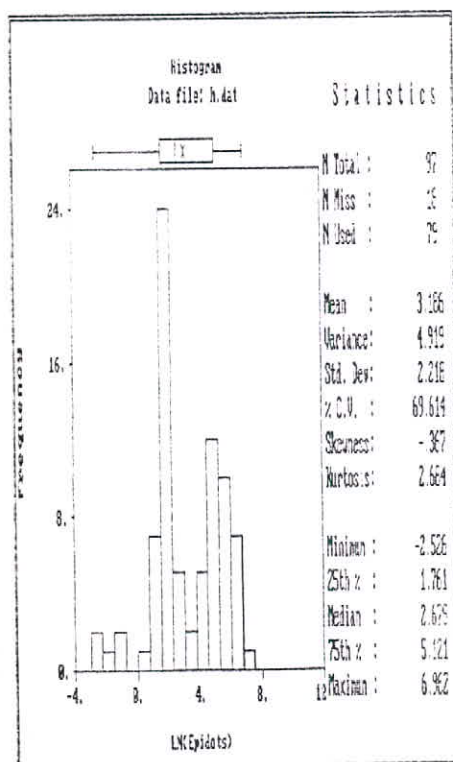


Fig : 7-14

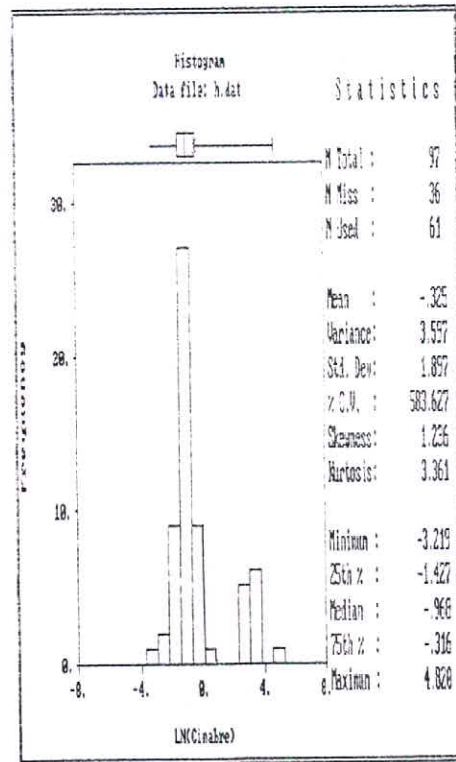


Fig : 7-16

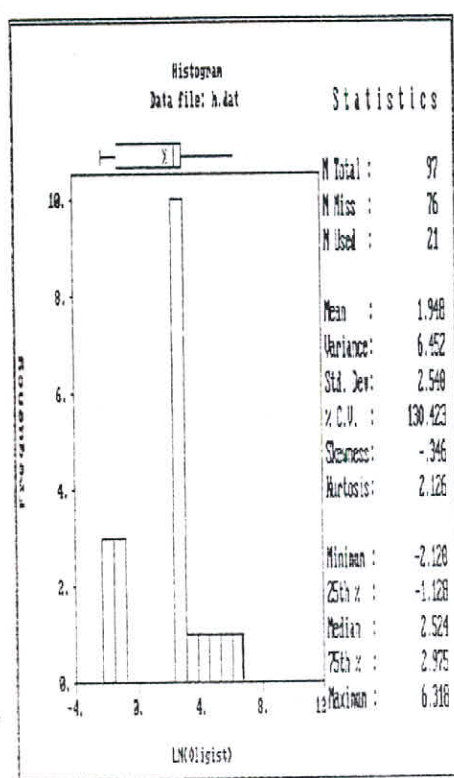


Fig : 7-17

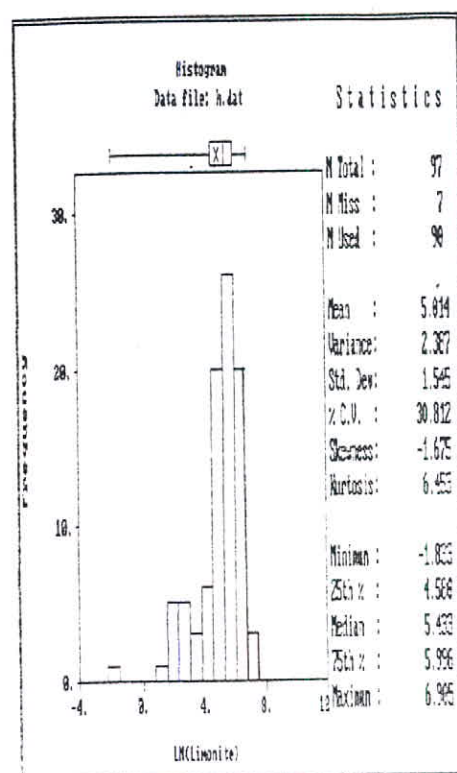


Fig : 7-19

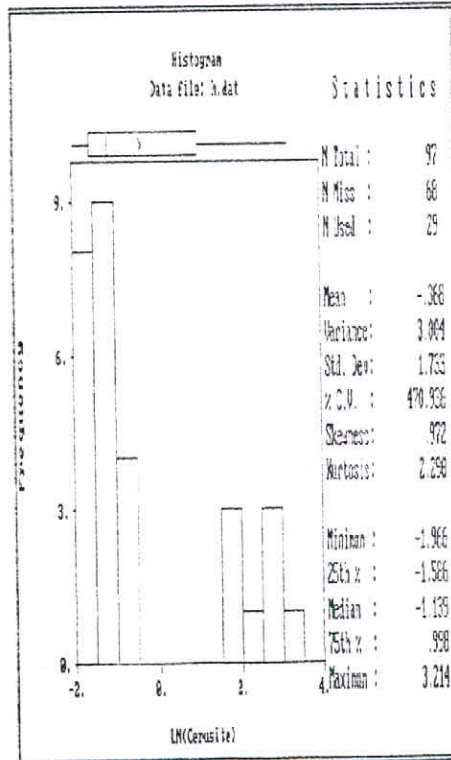


Fig : 7-18

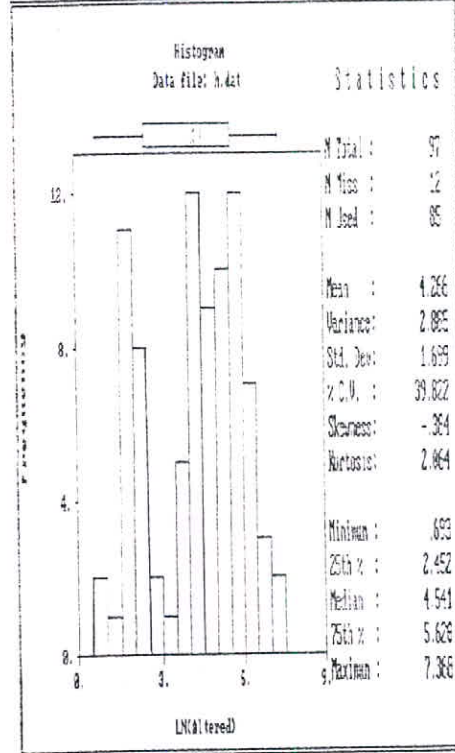


Fig : 7-20

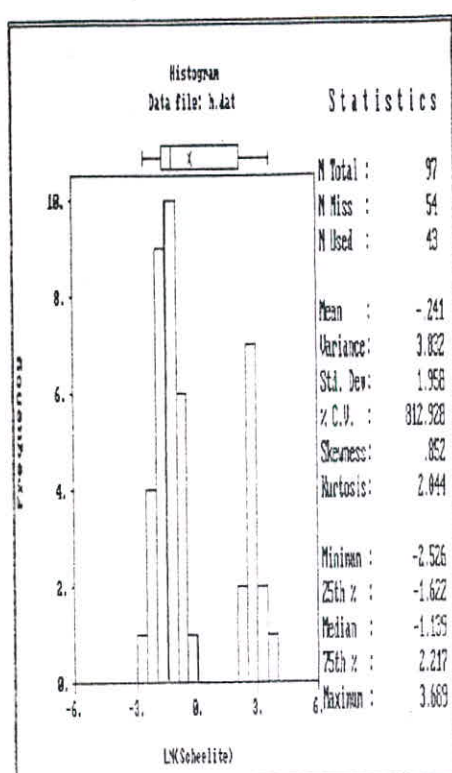


Fig : 7-21

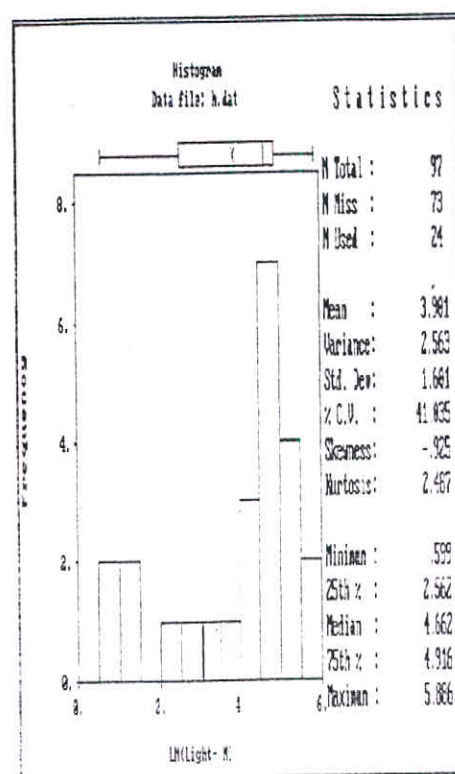


Fig : 7-23

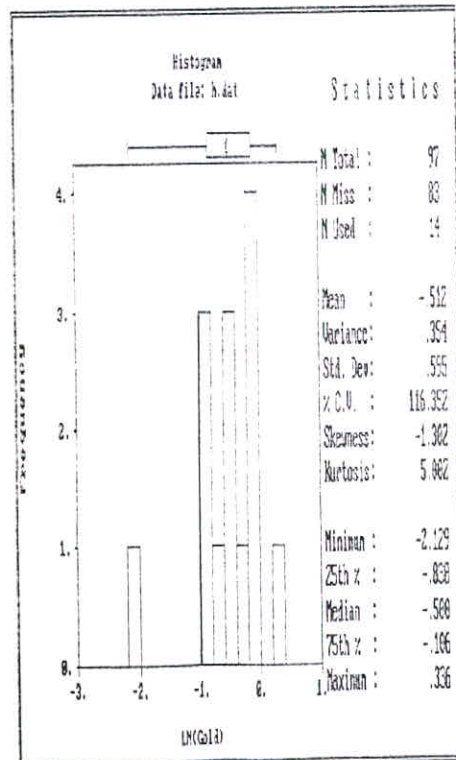


Fig : 7-22

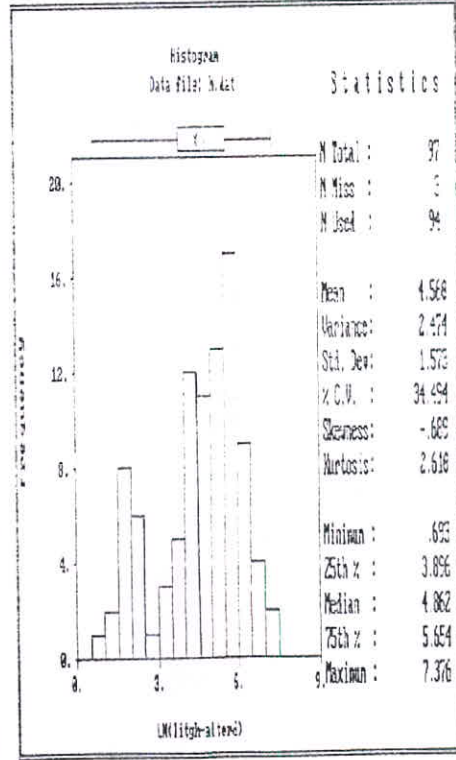
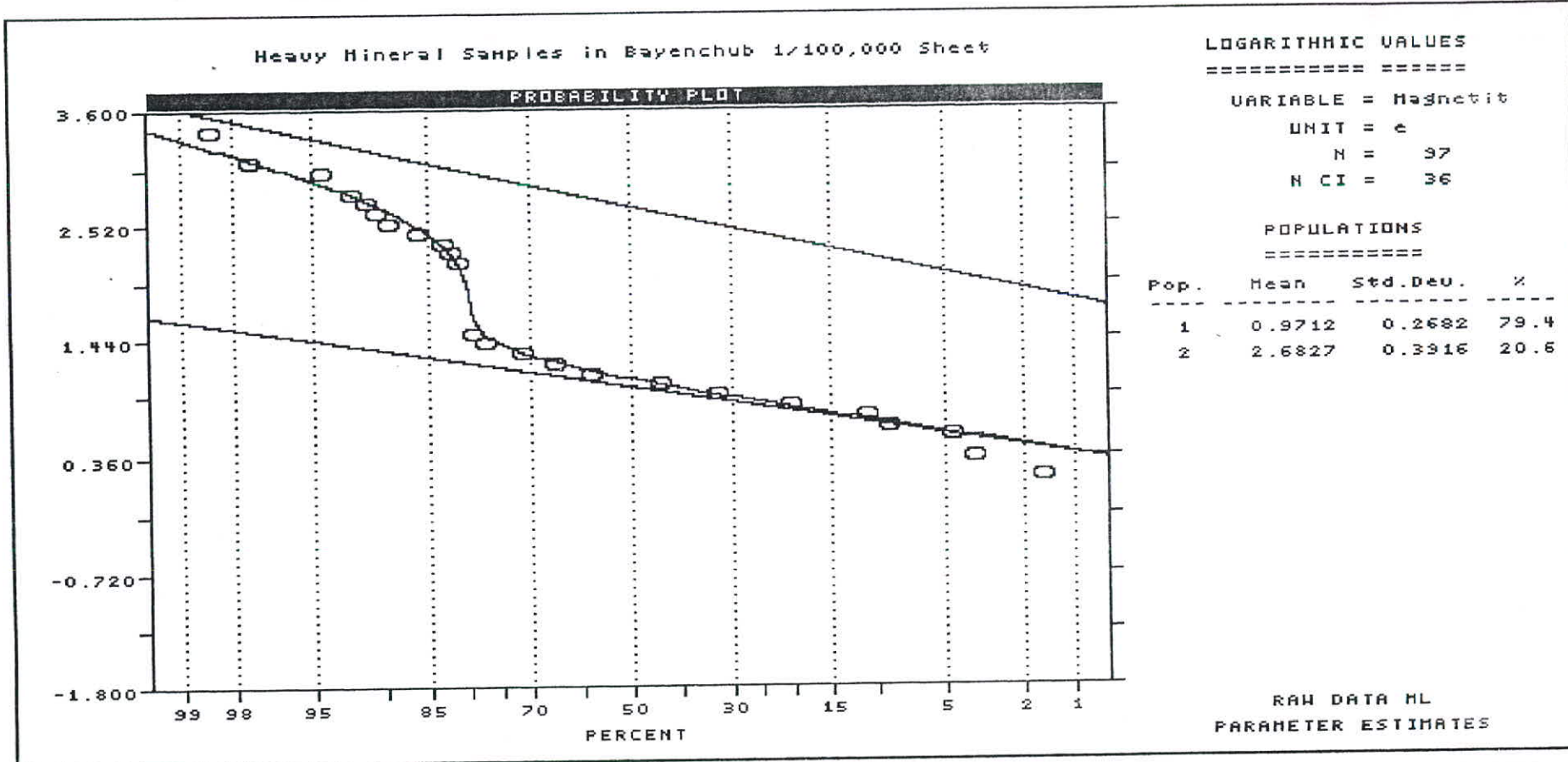
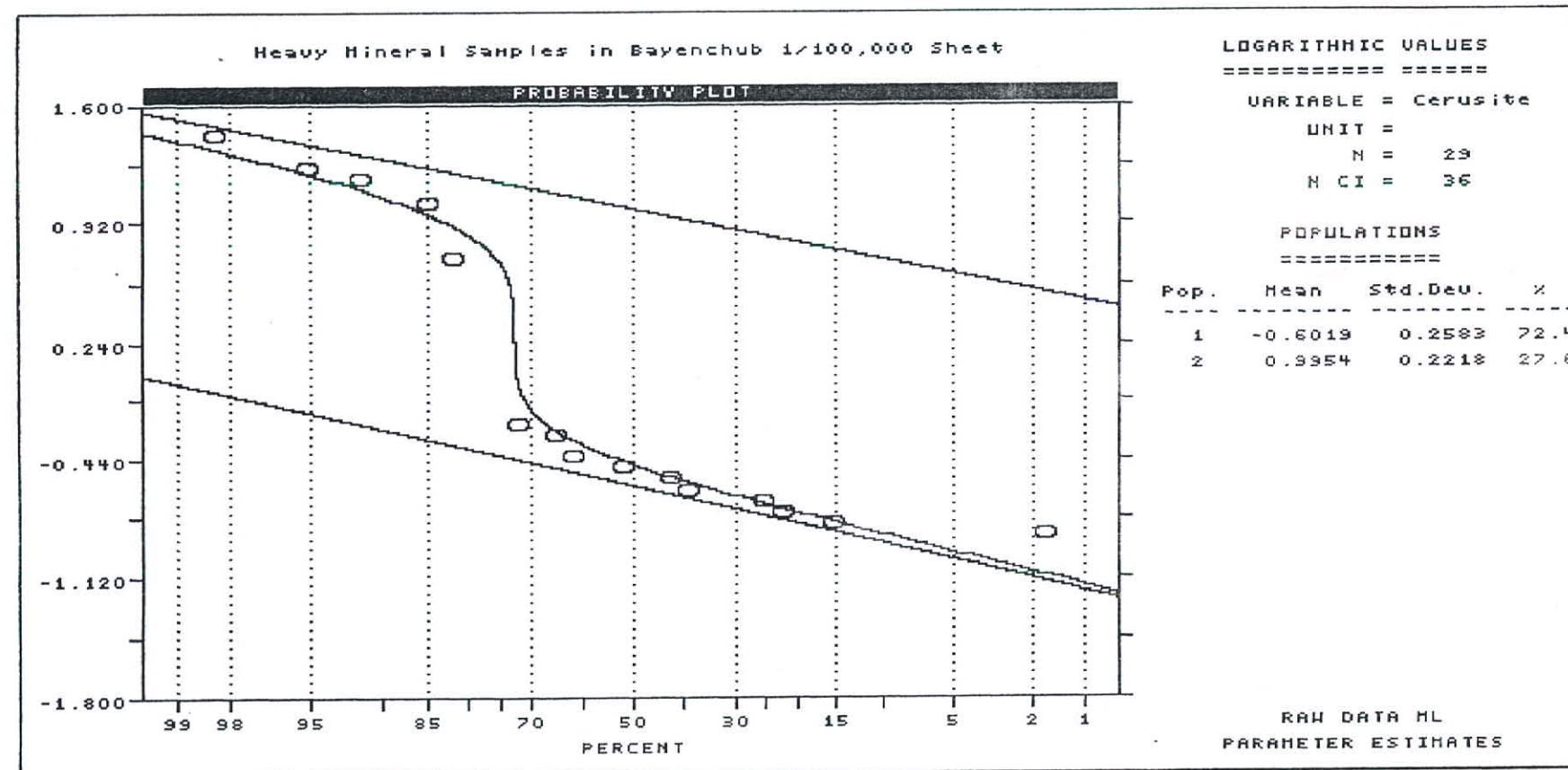


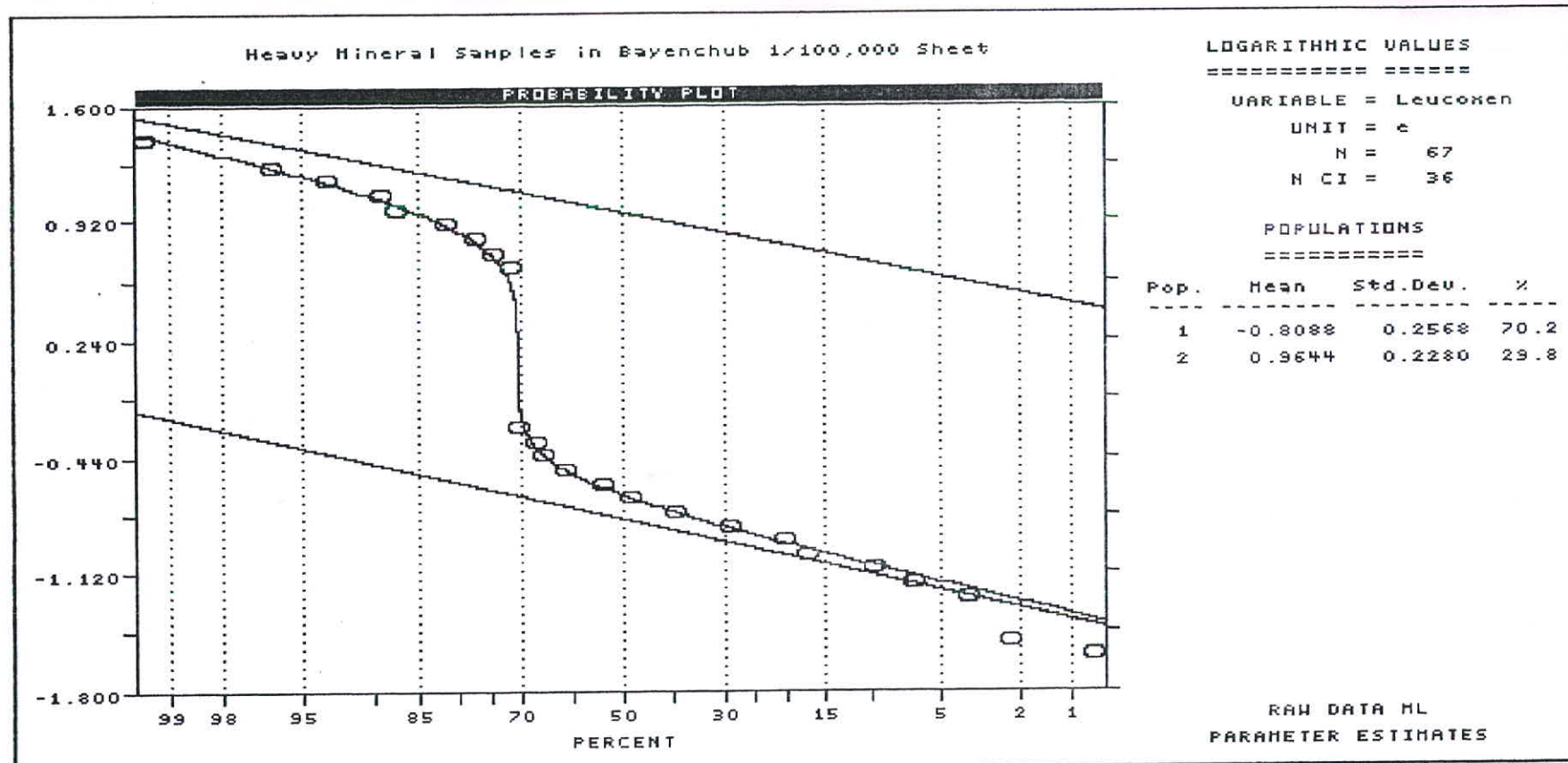
Fig : 7-24



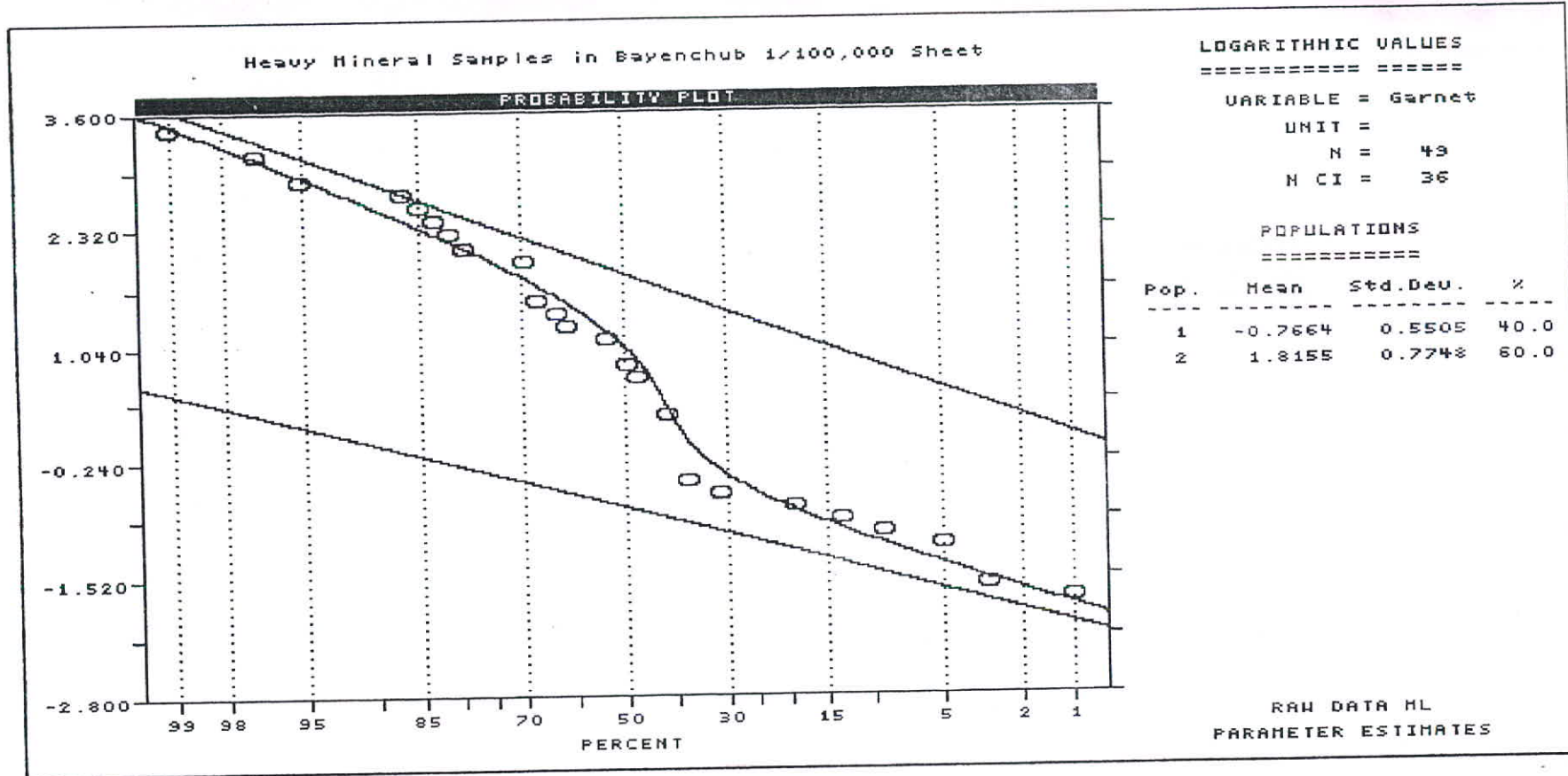
شکل ۷-۲۵ - نمودار تفکیک جامعه دو مدل متغیر کانی سنگین مگنتیت.



شكل ٧-٢٦ : نمودار تفکیک جامعه دومدی متغیر کانی سنگین سروزیت



شکل ۲۷-۷ : نمودار تفکیک جامعه دومدی متغیر کانی سنگین لوکوکسن



شکل ۲۸-۷ : نمودار تفکیک جامعه دومدی متغیر کانی سنگین گارنت

Heavy Mineral Samples in Bayenchub 1/100,000 sheet

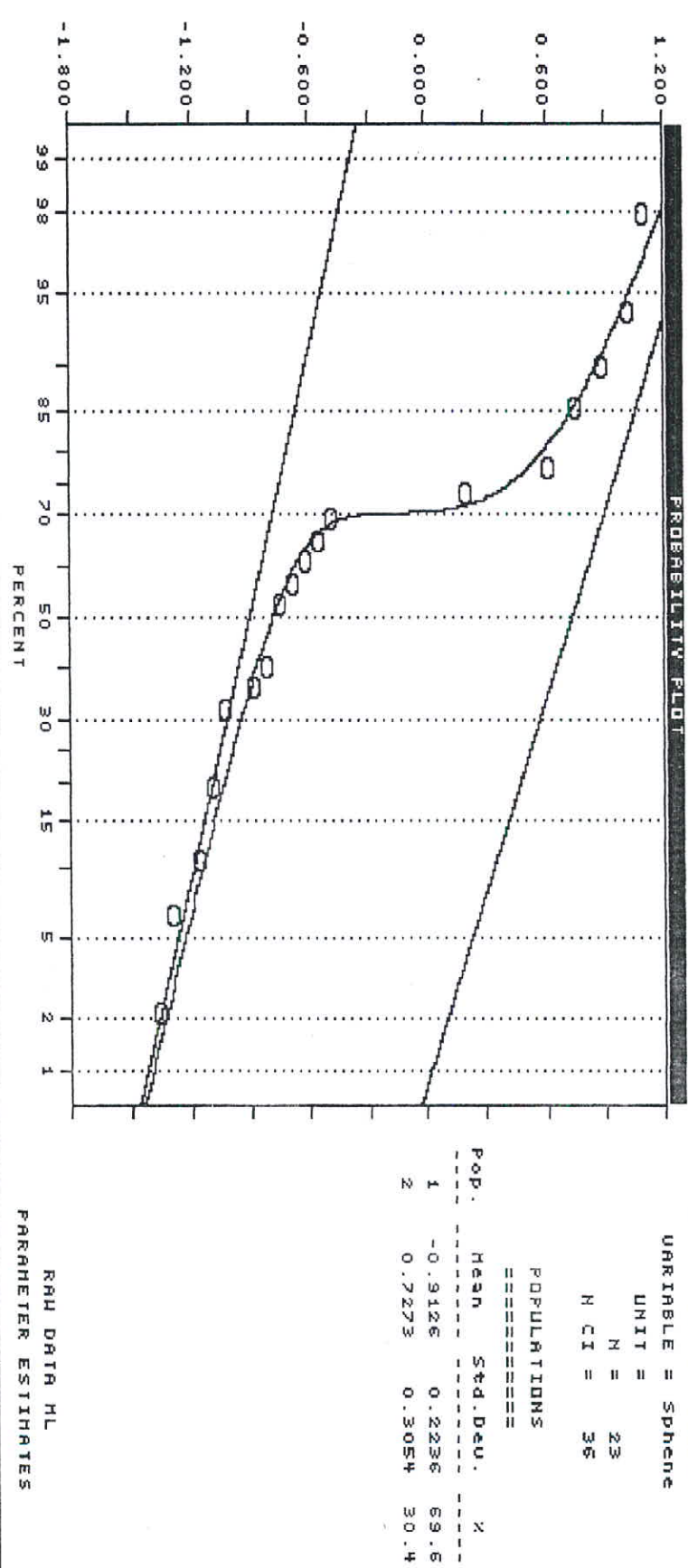
LOGARITHMIC VALUES

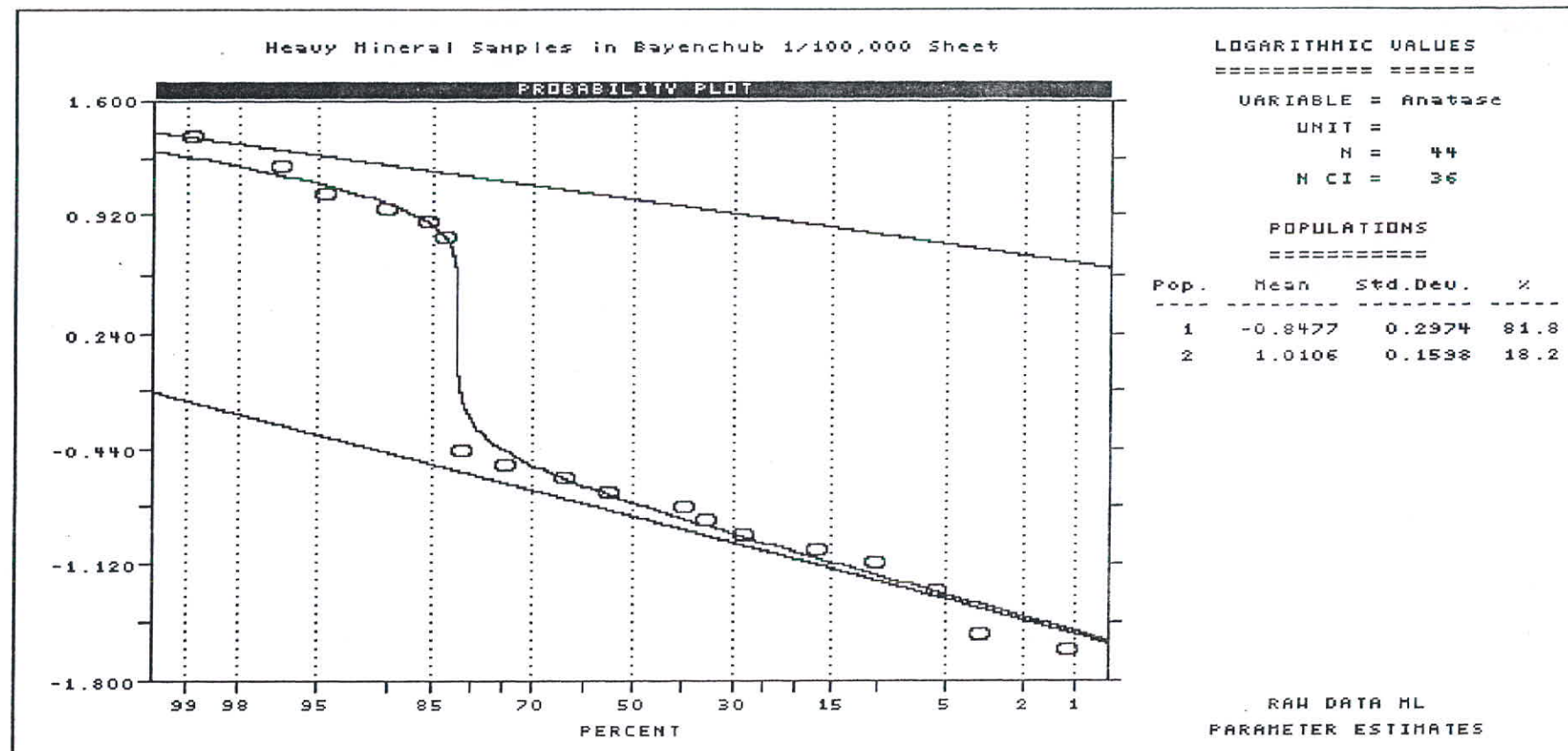
VARIABLE = Sphene

UNIT =  
N = 23  
H CI = 36

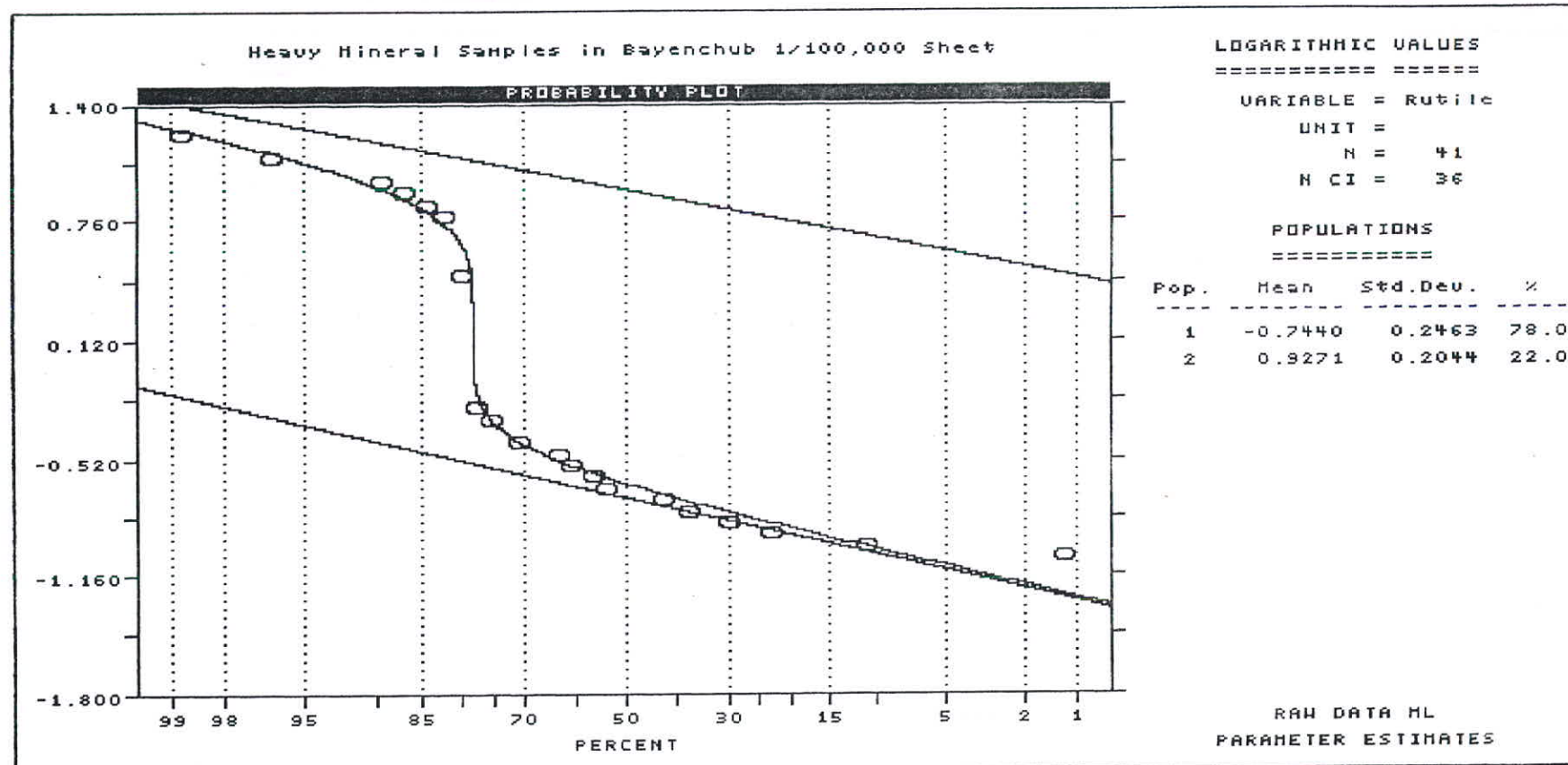
POPULATIONS

Pop.	Mean	Std. Dev.	$\chi$
1	-0.9126	0.2236	69.6
2	0.7273	0.3054	30.4

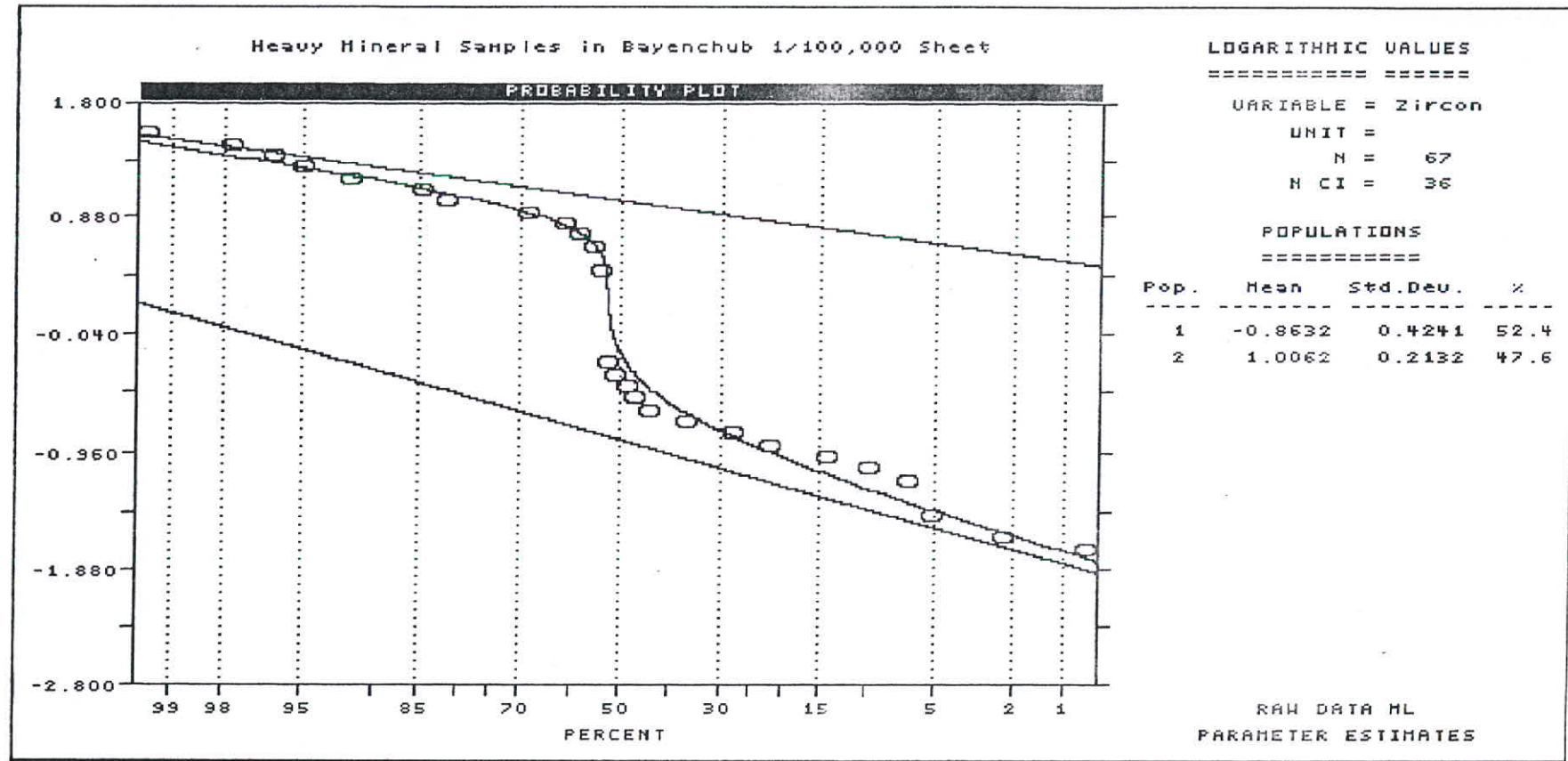




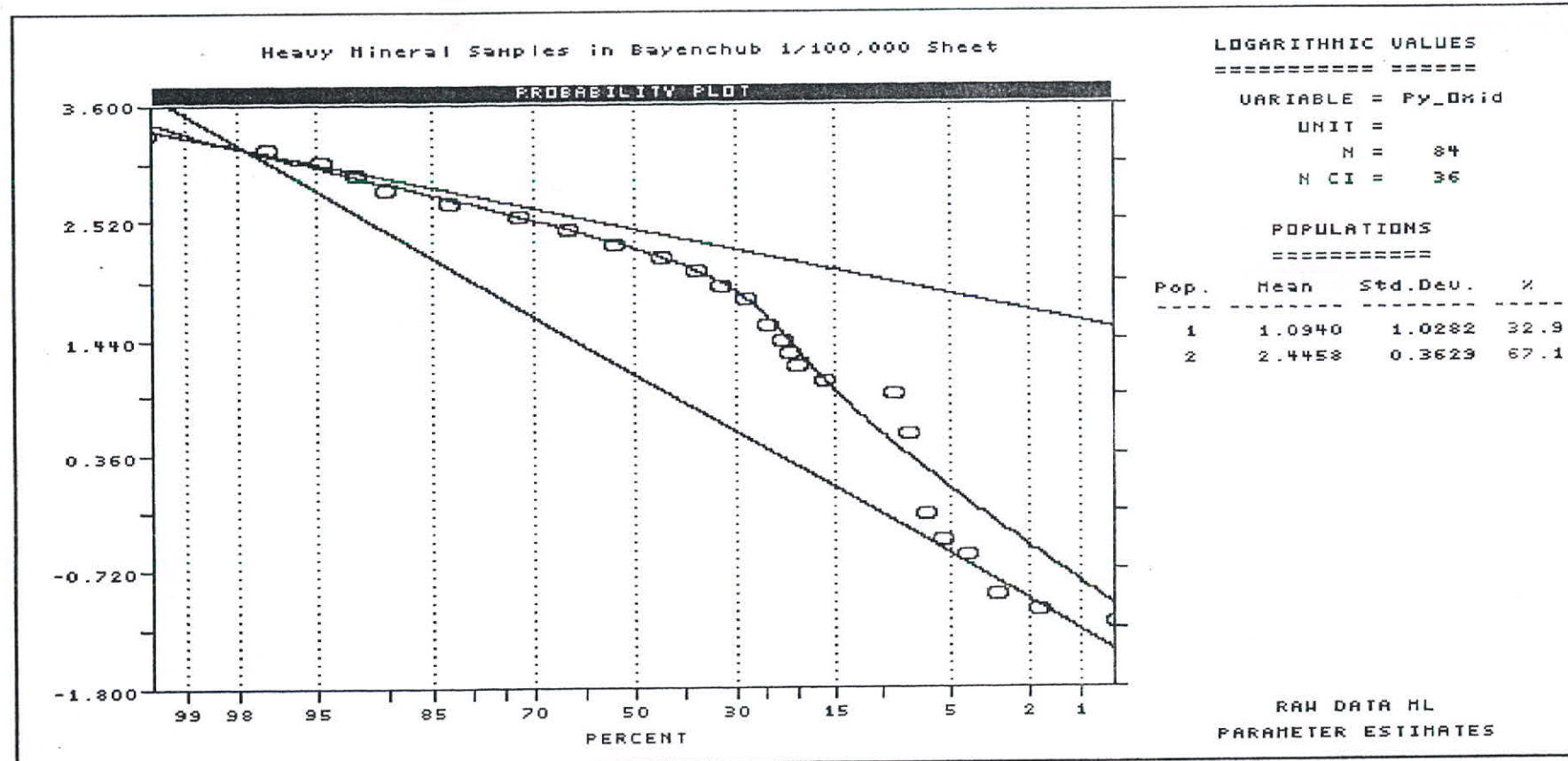
شکل ۷-۳۰: نمودار تفکیک جامعه دومدی متغیر کانی سنگین آناتاز



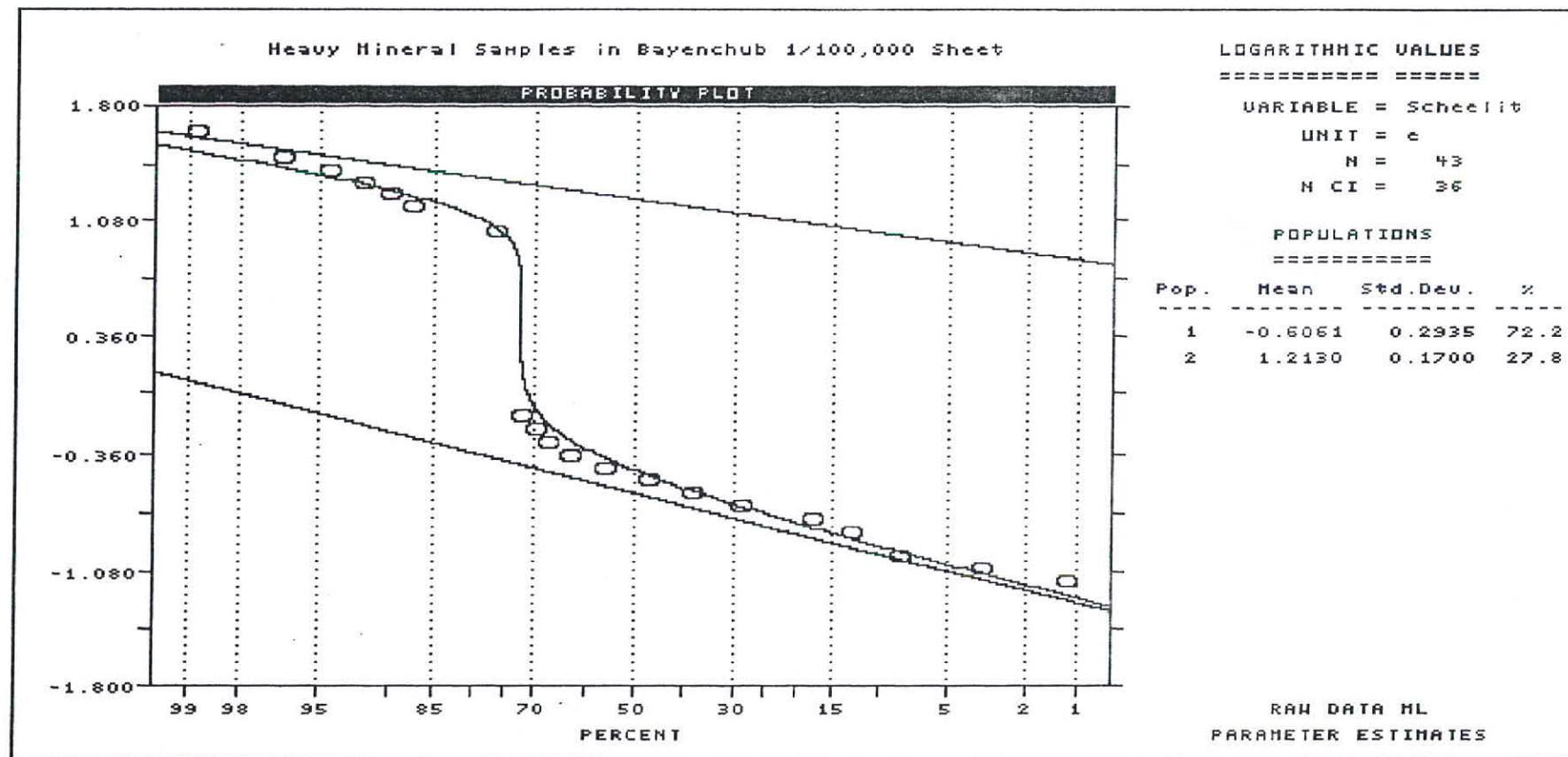
شکل ۷-۳۱: نمودار تفکیک جامعه دومدی متغیر کانی سنگین روتیل



شكل ٧-٣٢ : نمودار تفکیک جامعه دومدی متغیر کانی سنگین زیرکن



شکل ۷-۳۳ : نمودار تفکیک جامعه دومدی متغیر کانی سنگین پیریت اکسید



شكل ٣٤-٧ : نمودار تفکیک جامعه دومدی متغیر کانی سنگین شلیت

Heavy Mineral Samples in Bayenhub 1/100,000 Sheet

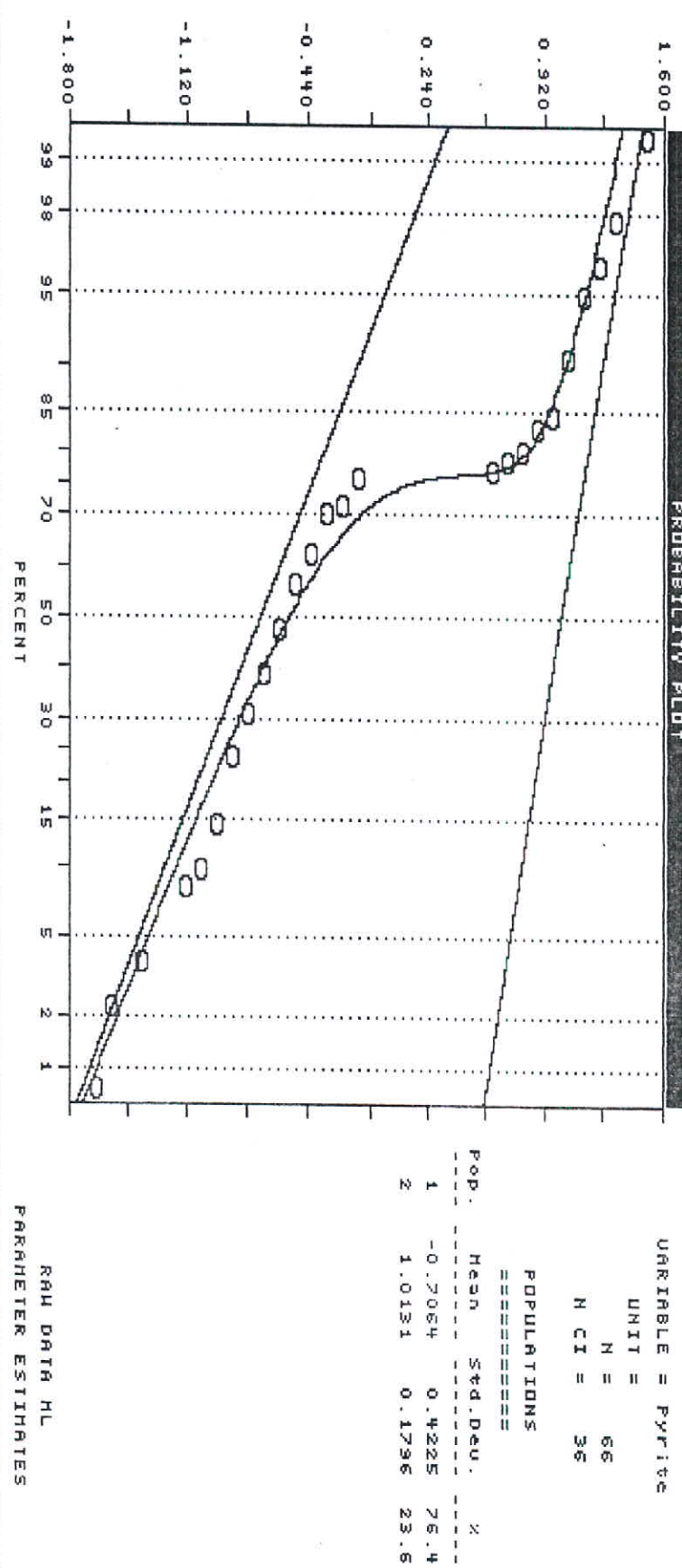
LOGARITHMIC VALUES  
=====

VARIABLE = Pyrite  
UNIT =

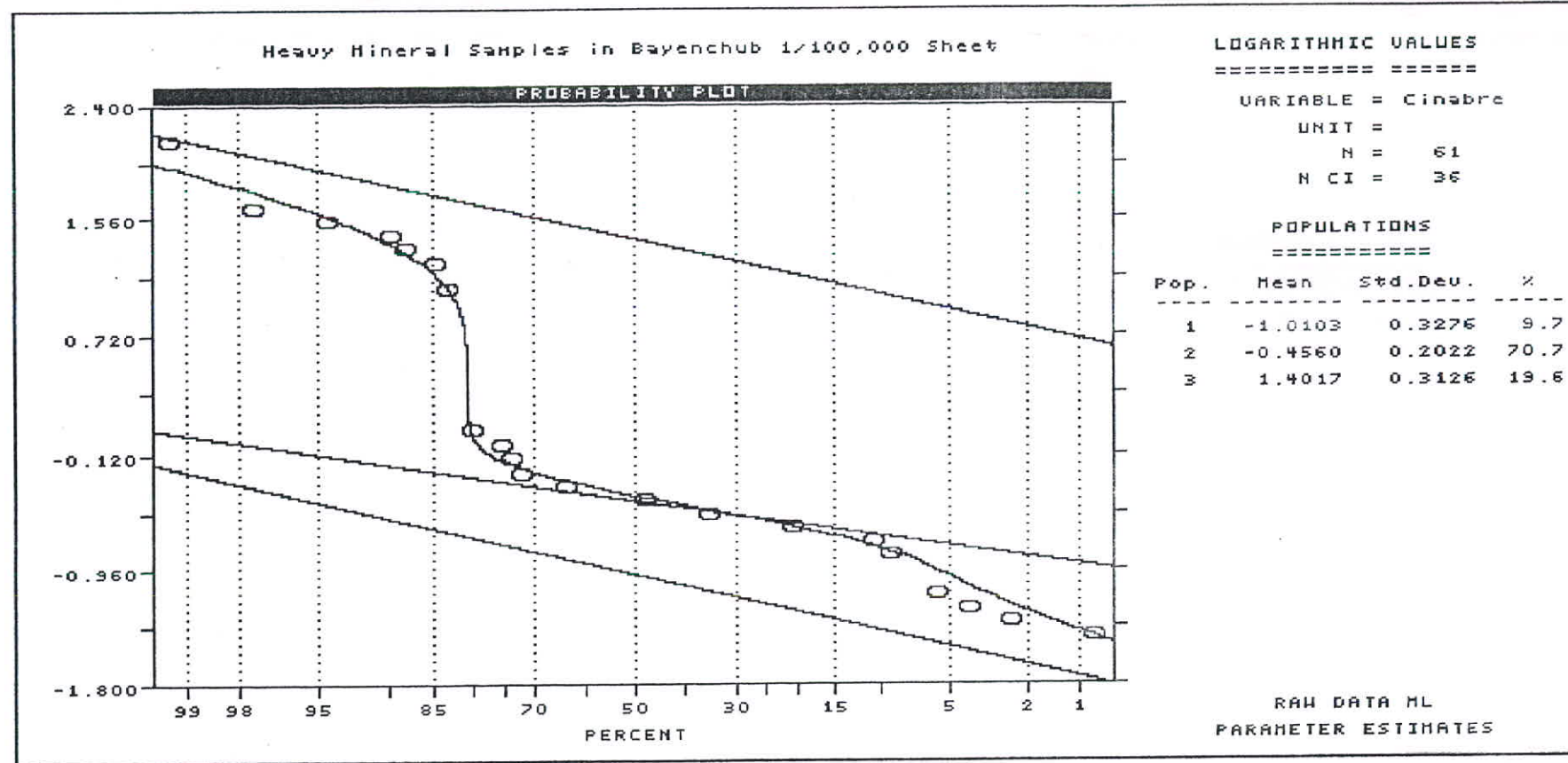
N = 66  
N CI = 36

POPULATIONS  
=====

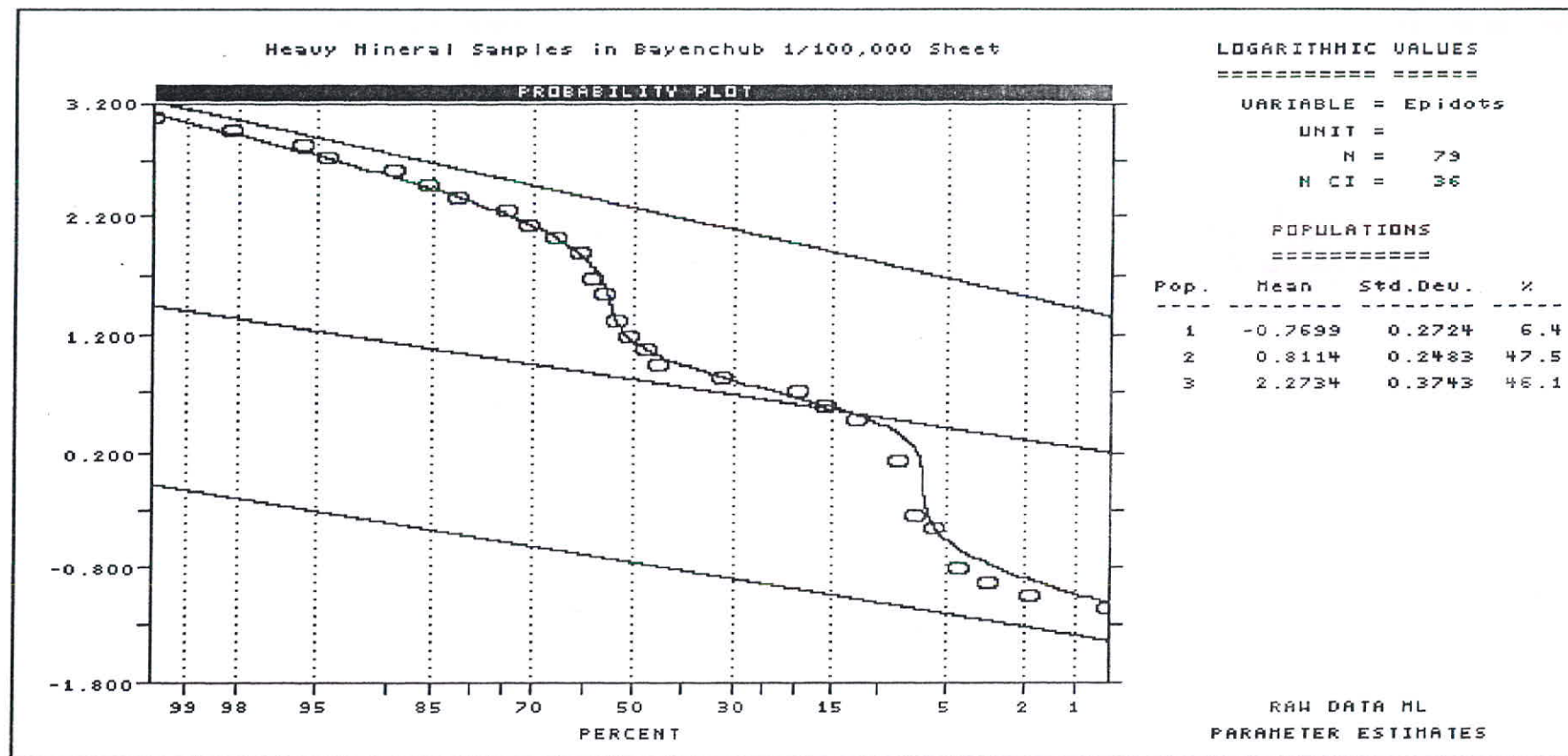
POP.	Mean	Std. Dev.	$\chi^2$
1	-0.7064	0.4225	76.4
2	1.0131	0.1796	23.6



شکل ۷-۳۵: نمودار تفکیک جامدہ دو مدلی متغیر کاٹی سسکیں پریت



شکل ۷-۳۶: نمودار تفکیک جامعه دومدی متغیر کانی سنگین سینابر



شکل ۷-۷: نمودار تفکیک جامعه دومدی متغیر کانی سنگین اپیدوت

جدول (۱-۷): نتایج تفکیک جوامع دومدی و سه مددی آمارهای مریوطه.

کانی	میانگین	انحراف معیار	درصد فراوانی
زمینه	۹/۳	۱/۸	۷۹/۴
حد آستانه‌ای	۴۸۲	۲/۵	۲۰/۶
زمینه	۰/۲۵	۱/۸	۷۲/۴
حد آستانه‌ای	۹/۹	۱/۷	۲۷/۶
زمینه	۰/۱۵	۱/۸	۷۰/۲
حد آستانه‌ای	۹/۲	۱/۷	۲۹/۸
زمینه	۰/۱۷	۲/۵	۴۰
حد آستانه‌ای	۶۵/۴	۵/۹	۶۰
زمینه	۰/۱۲	۱/۶۷	۶۹/۶
حد آستانه‌ای	۵/۳	۲/۰۲	۳۰/۴
زمینه	۰/۱۴	۲/۶	۵۲/۴
حد آستانه‌ای	۱۰/۱	۱/۶	۴۷/۶
زمینه	۰/۱۸	۱/۷۶	۷۸
حد آستانه‌ای	۸/۴	۱/۶	۲۲
زمینه	۰/۱۴	۲/۶	۵۲/۴
حد آستانه‌ای	۱۰/۱	۱/۶	۴۷/۶
زمینه	۱۲/۴	۱۰/۷	۳۲/۹
حد آستانه‌ای	۲۷۹/۱	۲/۳۱	۶۷/۱
زمینه	۰/۲۴	۱/۹۶	۷۲/۲
حد آستانه‌ای	۱۶/۳	۱/۴۸	۲۷/۸
زمینه	۰/۲	۲/۶۴	۷۶/۴
حد آستانه‌ای	۱۰/۳	۱/۵۱	۲۳/۶
زمینه	۰/۱۷	۱/۸۷	۶/۴
حد آستانه‌ای اول	۶/۵	۱/۸	۴۷/۵
حد آستانه‌ای دوم	۱۸۸	۲/۴	۴۶/۱
زمینه	۰/۱	۲/۱	۹/۷
حد آستانه‌ای اول	۰/۳۵	۱/۶	۷۰/۷
حد آستانه‌ای دوم	۲۵/۲	۲	۱۹/۶

## ۲-۷-آنالیز کلاستر متغیرهای کانی سنگین

این روش می‌تواند به منظور درک ارتباط بین متغیرهای مختلف کانی سنگین مفید واقع شود زیرا نحوه ارتباط پاراژنزی متغیرهای کانی سنگین را با یکدیگر شان می‌دهد. برای تعیین ارتباط پاراژنزی بین متغیرهای مختلف و انتخاب مناسبترین متغیرها برای رسم نقشه توزیع کانی سنگین، اقدام به آنالیز چند متغیره به روش کلاستر شده است. تیجه این آنالیز در دندروگرام شکل (۳۸-۷) نشان داده شده است. چنانچه ملاحظه می‌شود این دندروگرام نامتقارن می‌باشد که دلالت بر ضعف روابط پاراژنزی بین متغیرها دارد، گروه‌هایی که رابطه قابل توجهی با یکدیگر دارند عبارتند از: ۱- آپاتیت، ایلمینیت و آناتاز، ۲- گالن، اولیژیست، شلیت، گارنت و مگنتیت، ۳- سروزیت، آنگلزیت، سینابرو و مالاکیت، ۴- باریت، زیرکن، هماتیت، پیریت اکسید و لیمونیت. متأسفانه طلا ارتباط پاراژنزی معنی داری با دیگر فازهای کانی سنگین نشان نمی‌دهد. لازم به ذکر است که از مجموع چهارصد نمونه کانی سنگین برداشت شده در پروردگرستان که شامل سه برگه باینچوب، تیزیز، کامیاران و برگه آلوت (به کارفرمایی اداره کل معادن و فلزات استان کردستان) می‌باشد، برای حدود ۹۰ نمونه، طلا در کانی سنگین گزارش شده است. برای کنترل مقادیر گزارش شده کانی سنگین، اقدام به آنالیز شیمیایی ۶۳ نمونه از جزء غیرمعناطیسی کانی سنگین برای اندازه‌گیری طلا گردید. خط رگرسیون معرف آن است که مقادیر طلا محاسبه شده برای نمونه‌های کانی سنگین بطور تقریبی ده تا صدبرابر بیش از مقادیر اندازه‌گیری شده به روش شیمیائی است، لذا لازم است در مورد مقادیر طلا در کانی سنگین با احتیاط قضاوت نمود. برای توضیح بیشتر می‌توان به بخش ۱-۳، فصل ۸ گزارش آلوت مراجعه کرد. با توجه به دندروگرام مذکور و نیز با توجه به محدودیت ساخت متغیرها جهت رسم نقشه (سه نقشه برای متغیرهای کانی سنگین) در مجموع اقدام به رسم مقادیر بالای گروه‌های زیرگردید (نقشه‌های شماره ۷، ۸ و ۹):

۱- گروه‌های ۱ و ۴ فوق الذکر.

۲- طلا، بدليل اهمیت پتانسیل کانی سازی آن در منطقه به عنوان یک متغیر مستقل جهت

معرفی مناطق با پتانسیل کانی سازی آن.

۳- گروه‌های ۲ و ۳ حاصل از دندروگرام جهت معرفی مناطق کانی سازی.

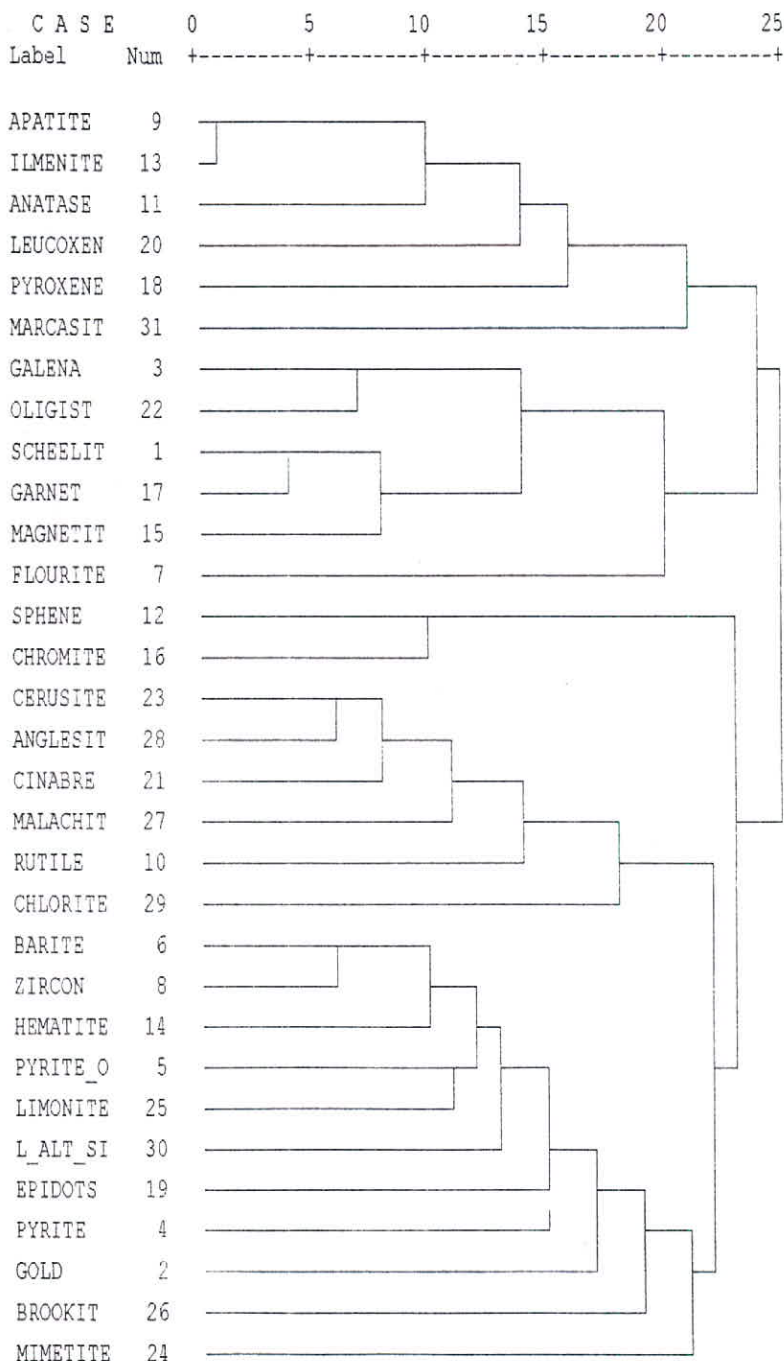
## ۸-تخمین شبکه‌ای و رسم نقشه متغیرهای کانی سنگین

تکنیک تخمین شبکه‌ای که اساس رسم نقشه ژئوشیمیائی و کانی سنگین را تشکیل

\* \* \* \* \* H I E R A R C H I C A L C L U S T E R A N A L Y S I S \* \* \* \*

Dendrogram using Average Linkage (Within Group)

Rescaled Distance Cluster Combine



شکل ۳۸-۷- دندروگرام متغیرهای کانی سنگین در برگه ۱:۱۰۰۰۰۰ با نجوب.

می دهد در فصول قبلی گزارش تشریح گردیده است. با استفاده از این تکنیک برای پنج متغیر شامل: طلا،  $V_1$  (مجموع آپاتیت، ایلمینیت و آناتاز)،  $V_2$  (مجموع گالن، اولیزیست، شلیلت، گارنت و مگنتیت)،  $V_3$  (مجموع سروزیت، انگلزیت، سینابر و مالاکیت) و  $V_4$  (مجموع باریت، هماتیت، پیریت اکسید و لیمونیت) اقدام به رسم نقشه گردید. نقشه متغیر طلا (نقشه شماره ۹) محدوده های زیر  $۰/۵\%$ ، بین  $۵/۰\%$  تا  $۹/۰\%$ ، بین  $۹/۵\%$  تا  $۹/۷\%$  تا  $۹/۹\%$  به بالا رانمایش می دهد.

نقشه شماره ۹ چهار منطقه آنومال نسبت به متغیر طلا را نشان می دهد، این مناطق عبارتند از:

۱- منطقه گوگجه با وسعت تقریبی  $۱/۵$  کیلومتر مربع که بر آنومالی ژئوشیمیایی آرسنیک انطباق دارد.

۲- منطقه دره دزادن با وسعت تقریبی  $۴$  کیلومتر مربع که بر آنومالی ژئوشیمیایی نقره و قلع انطباق دارد.

۳- منطقه هانه گلان با وسعت تقریبی  $۱/۵$  کیلومتر مربع که بر آنومالی ژئوشیمیایی قلع انطباق دارد.

نقشه شماره ۸ در قسمت شمال بست منطقه ای به وسعت  $۲۰/۵$  کیلومتر مربع را معرفی می کند که بر آنومالی های ژئوشیمیایی روی، تنگستن، مولیبدن و بیسموت انطباق دارد.

شرح بعضی از این مناطق در قسمت توضیح آنومالی های ژئوشیمیایی آورده شده است.

## ۹- نتایج حاصل از نمونه های میزرازیه

(موضوع بند های ۵-۹ و ۶-۷ شرح خدمات)

در بررسی های ژئوشیمیایی ناحیه ای، بدلیل بروز خطاهای ناشی از تغییرات سنگ بستر، تغییرپذیری مقدار مواد آلی و عناصر جذب کننده، مانند آهن و منگنز کلوییدی و در نتیجه ظهور آنومالی های کاذب، فاز کنترل آنومالی های تواند در انتخاب آنومالی های مرتبط با کانی سازی بسیار مفید واقع شود. در این پژوهه از طریق برداشت نمونه های کانی سنگین، نمونه های میزرازیه و آلترا احتمالی در محدوده آنومالی های ژئوشیمیایی، این آنومالی های مقدماتی کنترل گردیدند. در نهایت نتایج حاصل از روش های مختلف در یک مدل مورد بررسی قرار گرفتند و از این طریق مناطق آنومال ارزیابی نهایی شدند. در محدوده برگه

جدول ۲-۷: نتایج آنالیز شیمیایی نمونه های مینرالیزه احتمالی برداشت شده در فاز کترل آنومالی های مقدماتی  
در برگه ۱:۱۰۰۰۰ باینچوب

Sample number	Ag ppm	As ppm	Au ppb	B ppm	Cu ppm	Hg ppm	Mo ppm	Pb ppm	Sb ppm	Sn ppm	W ppm	Zn ppm
1016M2	*	*	0.86	*	*	*	*	*	*	*	*	*
1026M	*	*	2.2	*	*	*	*	*	*	*	*	*
1030M1	*	*	480	*	*	*	*	*	*	*	*	*
1030M2	*	*	11	*	*	*	*	*	*	*	*	*
1030M3	*	*	5780	*	*	*	*	*	*	*	*	*
1030M4	*	*	200	*	*	*	*	*	*	*	*	*
1030M5	*	*	17	*	*	*	*	*	*	*	*	*
1030M8	*	*	380	*	*	*	*	*	*	*	*	*
217M	*	*	27	*	*	*	*	*	*	*	*	*
248M7	*	*	0.84	*	*	*	*	*	*	*	*	*
248M8	*	*	1.8	*	*	*	*	*	*	*	*	*
248M9	*	*	10	*	*	*	*	*	*	*	*	*
286M2	*	*	63	*	*	*	*	*	*	*	*	*
289M1	*	*	8.6	*	*	*	*	*	*	*	*	*
049M	0.082	41	1.2	*	31	0.036	*	5	1.52	*	*	20
077M1	42.5	8.44	34	*	2150	0.17	*	10000	0.99	*	*	41000
077M2	0.24	4.5	5.6	*	40	0.034	*	53	0.45	*	*	170
077M3	0.066	120	77	*	24	0.042	*	25	7.4	*	*	80
1002M	0.051	8.84	0.79	*	6.4	0.034	*	21.5	0.43	*	*	65
1004M	0.052	2.21	0.82	*	10.4	0.036	*	12	0.49	*	*	20
1008M	0.1	32.3	1.2	*	19	0.036	*	48	3	*	*	85
1010M	0.056	26.8	0.86	*	13	0.036	*	8.2	2.88	*	*	20
1011M1	0.22	4.62	4.3	*	8	0.039	*	13	1.93	*	*	34
1011M2	0.38	17.1	12	*	46	0.036	*	23	1.12	*	*	69
1014M	0.09	20.5	0.6	*	27	0.036	*	32	1.64	*	*	46
1015M	14.5	101	20	*	200	0.86	*	8750	4.26	*	*	2600
1016M1	65.5	519	15	*	1800	1.15	*	11500	741	*	*	2700
1017M1	1.35	1129	30	*	480	0.26	*	600	11.1	*	*	1100
1017M2	0.05	1.77	0.7	*	14	0.078	*	6.1	0.61	*	*	34
1017M3	6.5	179	4.5	*	580	0.22	*	19.5	0.81	*	*	410
1018M	0.15	24.1	4.2	*	25	0.1	*	21.5	4.15	*	*	45
1020M1	13	182	19	*	500	0.18	*	2200	5.3	*	*	810
1021M	0.11	27.2	1	*	19	0.081	*	34	6.2	*	*	70
1025M	0.31	42.8	4.5	*	50	0.042	*	200	5.4	*	*	92
1031M	0.066	20.7	9.8	*	15	0.034	*	11.5	1.19	*	*	24
1038M1	0.4	6.84	1.3	*	68	0.042	*	19	4.7	*	*	44
1038M2	1.1	22.7	2.7	*	10	0.045	*	24	2.94	*	*	34
1039M	0.42	160	3.6	*	400	0.14	*	2000	3.13	*	*	150
1040M	0.16	4612	6.7	*	135	0.084	*	140	3.27	*	*	370
1041M	0.16	51.3	2.4	*	27	0.056	*	27	1.3	*	*	74
1042M1	0.19	6.73	4.3	*	48	0.042	*	68	3.33	*	*	87
1042M2	0.11	2.39	16	*	19	0.036	*	24.5	0.61	*	*	20
1042M3	0.38	10.7	25	*	2500	0.034	*	17	3.49	*	*	190
1043M1	0.09	3.65	1.3	*	13	0.039	*	13.5	1.5	*	*	32
1043M2	0.25	8.26	1.4	*	125	0.036	*	68	1.83	*	*	102
1043M3	0.09	2.05	5.2	*	17	0.036	*	20.5	1.58	*	*	20
18M1	1.5	2380	360	*	1800	0.039	*	460	63.7	*	*	840
18M2	0.09	359	1.5	*	38	0.053	*	8.2	2.54	*	*	92
18M3	0.22	86.6	2	*	76	0.042	*	43	3.43	*	*	112
18M4	0.16	5.93	5.6	*	92	0.039	*	17	2.72	*	*	110
18M5	0.098	9.63	3.3	*	5	0.042	*	44	4.95	*	*	90
201M	0.13	5.53	4	*	27.5	0.036	*	24	0.61	*	*	80
20M1	5	71.2	9.2	*	180	0.13	*	1450	19.2	*	*	420
20M2	0.68	78.7	6.1	*	39.5	0.042	*	205	2.17	*	*	83
248M1	1.35	250	14	*	150	0.063	*	130	7.62	*	*	238
248M2	0.07	6.95	1.1	*	23	0.036	*	13.5	1.48	*	*	3500
248M3	0.21	2.34	2.4	*	123	0.039	*	43	2.15	*	*	180
248M4	0.36	200	200	*	198	0.059	*	12500	1.89	*	*	115
248M5	2.5	100	49	*	1180	0.053	*	115	1.62	*	*	460
248M6	22	31.6	110	*	20000	0.09	*	8000	96	*	*	60000
249M	27	60.4	11	*	80	0.087	*	730	41	*	*	148
256M2	0.81	71.5	17	*	110	0.43	*	660	2.11	*	*	2800
280M1	14	342	31	*	2200	1.23	*	200	3.29	*	*	5800

\* نمونه ها برای این عناصر آنالیز نشده اند

**دادمه جدول ۲-۷: نتایج آنالیز شیمیایی نمونه های مینرالیزه احتمالی برداشت شده در فاز کترل آنومالیهای  
مقدماتی در برگه ۱:۰۰۰۰۰ یا یانچوب**

Sample number	Ag ppm	As ppm	Au ppb	B ppm	Cu ppm	Hg ppm	Mo ppm	Pb ppm	Sb ppm	Sn ppm	W ppm	Zn ppm
280M2	5.4	274	110	*	56	0.05	*	92	0.81	*	*	105
281M1	0.082	2.11	1.4	*	5.2	0.036	*	5.2	0.69	*	*	74
281M2	0.048	74.1	51	*	98	0.058	*	9.6	74.1	*	*	25
281M3	0.15	227	50	*	100	0.16	*	39	227	*	*	200
285M	1	204	32	*	1700	0.05	*	850	204	*	*	3000
286M1	5	153	6.6	*	6500	0.15	*	310	9.38	*	*	2600
286M3	0.72	47.3	7.2	*	67	0.074	*	62	0.7	*	*	210
287M	0.14	28.5	2.2	*	240	0.052	*	50	7.76	*	*	1200
289M10	17	94	9.8	*	3500	0.11	*	2400	324	*	*	2300
289M2	0.097	4.16	0.62	*	21	0.052	*	12	0.7	*	*	40
289M4	0.046	1.42	0.4	*	10	0.038	*	4.4	0.46	*	*	20
289M5	0.078	365	4.6	*	98	0.05	*	57	49.1	*	*	1500
289M7	0.063	1.6	0.55	*	48	0.05	*	3.2	1.57	*	*	120
289M8	0.03	1.6	0.5	*	2.5	0.035	*	2.5	0.35	*	*	67
289M9	15.5	47.3	9.6	*	450	0.06	*	1500	219	*	*	190
290M	0.12	1488	0.57	*	95	0.042	*	24	1.57	*	*	1200
291M	12	160	20	*	3900	0.15	*	2900	4.16	*	*	1500
292M	30	359	16	*	160	0.63	*	4200	8.1	*	*	3600
301M1	0.13	22.6	0.48	*	26	0.061	*	92	2.67	*	*	69
301M2	1.2	77.5	1.4	*	38	0.083	*	70	6.21	*	*	64
301M3	0.1	23.9	4.6	*	38	0.061	*	54	2.92	*	*	105
318M1	2.1	88.4	2.9	*	110	0.048	*	1550	2.59	*	*	76
318M2	0.17	74.1	0.7	*	34	0.33	*	35	12.7	*	*	40
319M1	0.58	101	2.2	*	3.4	0.093	*	8.4	6.08	*	*	150
319M2	0.21	99.2	13	*	5	0.061	*	32	4.05	*	*	44
040M1	35	1949	14	*	18000	0.14	*	120	47	*	*	3800
040M2	3	6.95	1.2	*	88000	0.059	*	25	51.3	*	*	2000
040M3	0.15	7.98	2.2	*	520	0.045	*	10	0.81	*	*	150
040M4	0.092	3.25	0.99	*	48	0.041	*	10	1.7	*	*	900
041M	0.056	7.18	0.82	*	180	0.045	*	4.9	0.51	*	*	55
043M1	0.048	27.9	0.38	*	31	0.047	*	9	0.35	*	*	22
043M2	0.03	2.79	0.32	*	16	0.037	*	3	0.32	*	*	20
043M3	0.29	8.55	1980	*	21	0.1	*	8.1	1.32	*	*	44
043M4	0.48	14	51	*	14	0.06	*	4.8	1.76	*	*	87
043M5	6.5	1254	110	*	100	0.065	*	100	5.26	*	*	20
709M1	0.035	2.62	0.8	*	5.8	0.053	*	9	0.54	*	*	44
709M2	0.054	2.56	0.68	*	32	0.047	*	5.2	0.84	*	*	72
709M3	0.066	157	2.1	*	66	0.05	*	24	1.19	*	*	74
715M	0.031	3.99	1.3	*	2.9	0.077	*	3.6	0.57	*	*	38
784M1	0.032	6.44	0.55	*	10	0.042	*	4.9	0.3	*	*	20
784M2	0.056	5.53	0.55	*	12	0.049	*	25	1.81	*	*	20
785M	0.14	11.3	9.5	*	28	0.043	*	29	1.7	*	*	34
786M	5.2	271	20	*	140	0.069	*	560	7.56	*	*	340
787M	0.076	5.42	25	*	48	0.051	*	4.8	1.51	*	*	92
789M	0.098	4.5	28	*	4.8	0.041	*	6.4	0.24	*	*	41
786M1	0.19	12.7	28	*	39	0.06	*	3.1	1.38	*	*	25
789M2	0.079	8.84	730	*	41	0.052	*	8.6	0.35	*	*	35
790M	0.063	3.14	970	*	8.6	0.047	*	16	0.86	*	*	72
791M1	0.068	1.94	850	*	9.4	0.042	*	32	0.35	*	*	21
791M2	0.088	4.45	71	*	100	0.051	*	15	2.24	*	*	75
791M3	0.98	68.4	67	*	150	0.056	*	320	6.48	*	*	35
794M1	0.82	9.29	83	*	36	0.058	*	42	0.49	*	*	50
794M2	0.42	4.62	27	*	170	0.05	*	3.2	0.35	*	*	21
794M3	0.15	3.93	26	*	32	0.05	*	13	0.65	*	*	26
795M	0.04	1.14	24	*	9.1	0.04	*	11	0.32	*	*	20
1037M1	0.07	*	*	10	9.1	*	1.23	6.4	*	4.7	0.5	92
1037M2	0.07	*	*	47	45	*	0.58	3	*	2.8	0.5	75
1027M	0.088	*	58	*	32	0.05	21.6	8.5	*	*	10.5	84
289M3	0.081	11.3	*	*	16	*	*	5.4	0.62	*	*	58
289M6	0.14	279	*	*	170	0.053	*	50	*	*	*	1300

\* نمونه ها برای این عناصر آنالیز نشده اند

۱۰۰، ۱۰۰: باینچوب و در محدوده آنومالی های ژئوشیمیابی مقدماتی (۱٪ و ۲٪ بالا) جامعه) ۱۳۱ نمونه سنگی از زون های مینرالیزه و دگرسان شده احتمالی برداشت گردید. این نمونه ها در محدوده زون های آنومالی بخصوص از مناطق شیرد، میلونتی، اطراف رگ ها، اکسید آهنی بر جا و یا از قطعات مینرالیزه در کف آبراهه ها برداشت گردیده است. از این میان ۱۲۳ نمونه جهت آنالیز شیمیابی به آزمایشگاه شرکت توسعه علوم زمین فرستاده شده است که تایج آن در جدول (۲-۷) آورده شده است. تعداد ۱۰ نمونه سنگی جهت مطالعات اشعه ایکس و تعیین کانی های حاصل از دگرسانی احتمالی به آزمایشگاه XRD سازمان زمین شناسی کشور فرستاده شده است که تایج آن در جدول (۳-۷) آورده شده است. تایج حاصل از مطالعات XRD می تواند در تشخیص تیپ دگرسانی های وابسته به مناطق آنومالی مورد استفاده قرار گیرد. چنین داده هایی در مدلسازی مناطق آنومالی و رتبه بندی آنها حائز اهمیت فراوان است. چنانکه از جدول (۷-۳) بر می آید تیپ آلتراسیونهای موجود در

جدول (۳-۷): نتایج XRD نمونه های آلتره برداشت شده در فاز کنترل آنومالی ها

در برگه ۱۰۰، ۱۰۰: باینچوب.

شماره نمونه	کانی ها	تیپ آلتراسیون معکن
17A	کلسیت + کوارتز + کانی های رسی	کربناتی، سبلیسی، آرزبلیشی(?)
78A2	کوارتز + مسکویت (سریبیت؟) + فلدسپات (پلازیوکلاز سدیک)، آلتیت*(?). (به صورت جزئی).	سبلیسی، سریبیتی آلیتی
78A3	زپس + کوارتز	سبلیسی، ذپسی
248A	کوارتز + مسکویت (سریبیت؟) + فلدسپات (پلازیوکلاز سدیک)، آلتیت*(?) + کلریت + سریبیت	سبلیسی، آلتیتی، کلریتی
286A	کوارتز + فلدسپات (پلازیوکلاز سدیک)، آلتیت*(?) + کلریت + سریبیت	سبلیسی، آلتیتی، کلریتی
289M3	کوارتز + فلدسپات کلکب + سریبیت + کلریت	سبلیسی، سریبیتی
289M6	کوارتز + گوپتیت + لاموریت + مونت مریبونیت + کاٹلوبیت	سبلیسی، گوتیتی، زنوبیتی
791A	دولومیت + کلسیت + کوارتز	کربناتی، سبلیسی
1018A	کلسیت + کوارتز + مونت مریبونیت + کاٹلوبیت	کربناتی، سبلیسی، آرزبلیتی
1037A	کوارتز + فلدسپات (پلازیوکلاز سدیک، آلتیت*)	سبلیسی، آلتیتی

۱- دو نمونه آلتره جهت آنالیز شیمی بین فرستاده شده اند. (289M6 و 289M3)  
 ۲- طبق مذاکرات خصوصی با آقای مهندس نتوی کارشناس محترم بختن XRF اغلب فلدسپات های گزارش شده از نوع پلازیوکلاز سدیک (آلتیت) است.

محدوده‌های تحت بررسی به ترتیب عبارتند از: سیلیسی، کربناتی، آلیتی، سریستی، آرژیلتی، کلریتی، گوتیتی، زئولیتی و ریپسی. البته نوع آرژیلتی ممکن است مورد بحث باشد زیرا تشکیل آن به طریق هوازدگی نیز متحمل است. از ترکیب این مشاهدات با مشاهدات روی زمین می‌توان دریافت که دگرانسانی‌های تیپ سیلیسی، کربناتی و آلیتی انواع معمول در کل برگه ۱:۱۰۰، ۱:۱۰۰، ۱:۱۵۰، ۱:۱۵۰ با نجوب می‌باشند. البته در کنار روتاستای افراسیاب در برگه ۱:۱۵۰، ۱:۱۵۰، ۱:۱۵۰ با نجوب یک زون بزرگ پروپیلتی تشخیص داده شده است.

#### ۱۰- آنالیز ویژگی نمونه‌های میترالیزه (موضوع بند ۷-۹ شرح خدمات)

این آنالیز جهت رتبه‌بندی اهمیت اکتشافی نمونه‌ها و عناصر (متغیرهای ژئوشیمیایی) صورت می‌پذیرد. این آنالیز عناصر کانساری را از جهت پتانسیل کانی‌سازی آنها رتبه‌بندی می‌کند. جدول (۷-۴) رتبه‌بندی نمونه‌ها را بر حسب اهمیت اکتشافی آنها به طور نزولی نشان می‌دهد. اعداد مربوط به رتبه هر یک از نمونه‌ها و متغیرها براساس رتبه‌های معادل ۱، ۲ و ۰ بترتیب برای کانی‌سازی کانساری، کانی‌سازی غنی‌شده و کانی‌سازی پراکنده و عقیم هر یک از عناصر در نمونه‌ها محاسبه گردیده است. بدینصورت که در ماتریس "نمونه - عنصر" مقادیر فراوانی یک عنصر یا در حد کانی‌سازی کانساری، یا در حد کانی‌سازی غنی‌شده؛ و یا در حد کانی‌سازی پراکنده بوده است. در اینصورت برای هر یک بترتیب اعداد ۱، ۰ و -۱ در ماتریس ذکر شده قرار داده می‌شود. ماتریس حاصل یکبار برای متغیرهای عنصری و یکبار برای نمونه‌ها مورد آنالیز ویژگی می‌گرفت. داده‌های این جدول معرف انسکه بیشترین امتیاز کسب شده برای کانی‌سازی در نمونه ۲۴۸M<sub>6</sub> با ۱۴۲ امتیاز و کمترین آن یعنی صفر در چندین نمونه مشاهده می‌شود.

بمنظور تعیین پتانسیل کانی‌سازی نسبت به عناصر کانساری در برگه ۱/۱۰۰، ۰۰۰ با نجوب، برای عناصر نیز آنالیز ویژگی صورت گرفته است که نتیجه آن در جدول (۵-۷) آمده است. داده‌های این جدول معرف انسکه بیشترین پتانسیل کانی‌سازی در نمونه‌های میترالیزه متعلق به طلا با امتیاز ۷۳/۱۱۴ و بترتیب Zn با ۸۱/۵۵، Pb با ۰/۷، Cu با ۰/۷، Ag با ۰/۴۴، Sb با ۰/۲۶ و Ba با ۰/۵ امتیاز در رده‌های پایین تر قرار می‌گیرند. امتیاز عناصر در این آنالیز صفر می‌باشد که نشان از عدم وجود پتانسیل کانی‌سازی این عناصر دارد. وجود فلزات پایه Zn، Pb و Cu در ردیف‌های دوم تا چهارم دلالت بر پتانسیل کانسارهای این فلزات دارد که بمراتب بیشتر از برگه آلوت است. دو عنصر Ag و Sb با ضریب همبستگی متوسط تا ضعیف با طلا می‌توانند ردیابهای آن تلقی شوند.

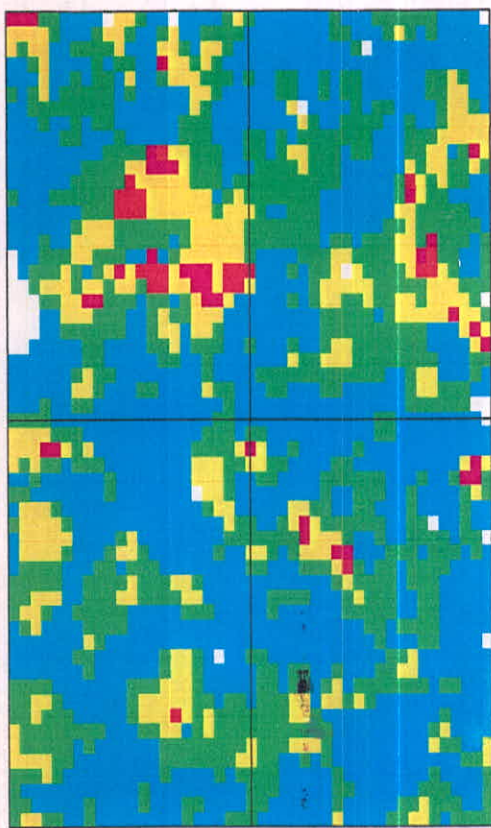
جدول ۴-۷- نتایج آنالیز ویژگی برای نمونه های مینرالیزه بر اساس حدود ژینزبرگ [۱۰]

در برگه ۱:۱۰۰۰۰ باینچوب

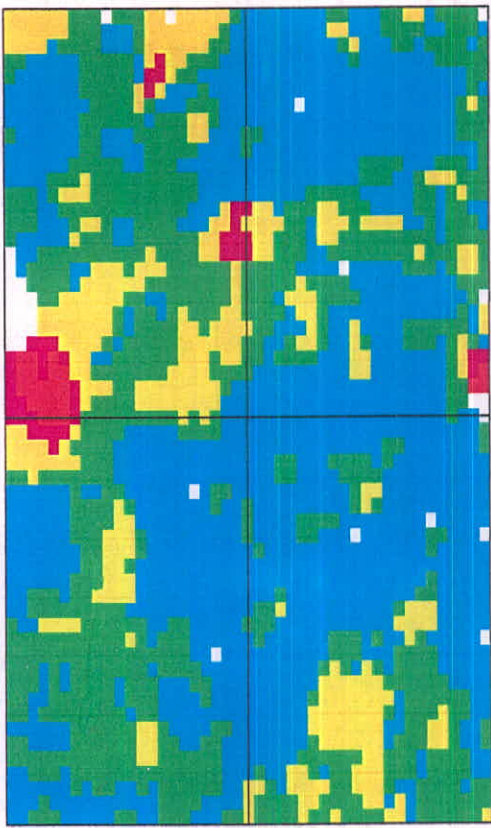
Row	Sample No.	Rank of Score	Row	Sample No.	Rank of Score	Row	Sample No.	Rank of Score
1	248M6	42.14	51	78M1	10.44	101	289M4	0.00
2	040M1	31.58	52	794M2	10.44	102	289M7	0.00
3	18M1	30.94	53	794M3	10.44	103	289M8	0.00
4	077M1	30.79	54	795M	10.44	104	301M1	0.00
5	292M	27.22	55	1040M	9.80	105	301M2	0.00
6	248M4	27.20	56	287M	6.32	106	301M3	0.00
7	1016M1	26.12	57	289M5	6.32	107	318M2	0.00
8	291M	25.32	58	040M4	6.32	108	319M1	0.00
9	043M5	25.06	59	289M6	6.32	109	040M3	0.00
10	280M1	22.54	60	1039M	5.83	110	041M	0.00
11	1015M	22.25	61	20M1	5.83	111	043M1	0.00
12	285M	21.07	62	289M9	5.83	112	043M2	0.00
13	1030M1	20.88	63	318M1	5.83	113	709M1	0.00
14	1030M3	20.88	64	1016M2	0.00	114	709M2	0.00
15	1030M4	20.88	65	1026M	0.00	115	709M3	0.00
16	1030M6	20.88	66	248M7	0.00	116	715M	0.00
17	286M2	20.88	67	248M8	0.00	117	784M1	0.00
18	077M3	20.88	68	248M9	0.00	118	784M2	0.00
19	280M2	20.88	69	289M1	0.00	119	785M	0.00
20	281M2	20.88	70	049M	0.00	120	1037M1	0.00
21	043M3	20.88	71	077M2	0.00	121	1037M2	0.00
22	043M4	20.88	72	1002M	0.00	122	1027M	0.00
23	78M2	20.88	73	1004M	0.00	123	289M3	0.00
24	790M	20.88	74	1008M	0.00			
25	791M1	20.88	75	1010M	0.00			
26	791M2	20.88	76	1011M1	0.00			
27	791M3	20.88	77	1014M	0.00			
28	794M1	20.88	78	1017M2	0.00			
29	289M10	20.20	79	1017M3	0.00			
30	1017M1	19.36	80	1018M	0.00			
31	1020M1	17.58	81	1021M	0.00			
32	256M2	17.58	82	1025M	0.00			
33	286M1	16.00	83	1031M	0.00			
34	040M2	16.00	84	1038M1	0.00			
35	249M	13.60	85	1038M2	0.00			
36	290M	13.27	86	1041M	0.00			
37	1042M3	13.11	87	1042M1	0.00			
38	248M5	13.11	88	1043M1	0.00			
39	248M2	12.65	89	1043M2	0.00			
40	1030M2	10.44	90	1043M3	0.00			
41	1030M5	10.44	91	18M2	0.00			
42	217M	10.44	92	18M3	0.00			
43	1011M2	10.44	93	18M4	0.00			
44	1042M2	10.44	94	18M5	0.00			
45	248M1	10.44	95	201M	0.00			
46	281M3	10.44	96	20M2	0.00			
47	319M2	10.44	97	248M3	0.00			
48	786M	10.44	98	281M1	0.00			
49	787M	10.44	99	286M3	0.00			
50	789M	10.44	100	289M2	0.00			

جدول ۵-۷: نتایج آنالیز ویژگی برای متغیرهای ژئوشیمیایی در نمونه های مینرالیزه بر اساس حدود ژئنزبرگ در  
برگه ۱:۱۰۰۰۰ باينچوب

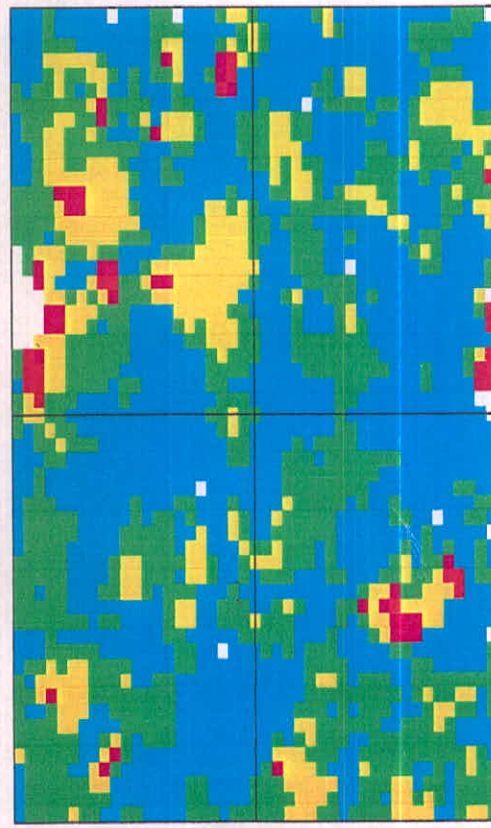
Variables	Rank of Score
Au	114.73
Zn	55.81
Pb	47.07
Cu	44.27
As	29.26
Sb	5.20
Ag	0.00
Hg	0.00



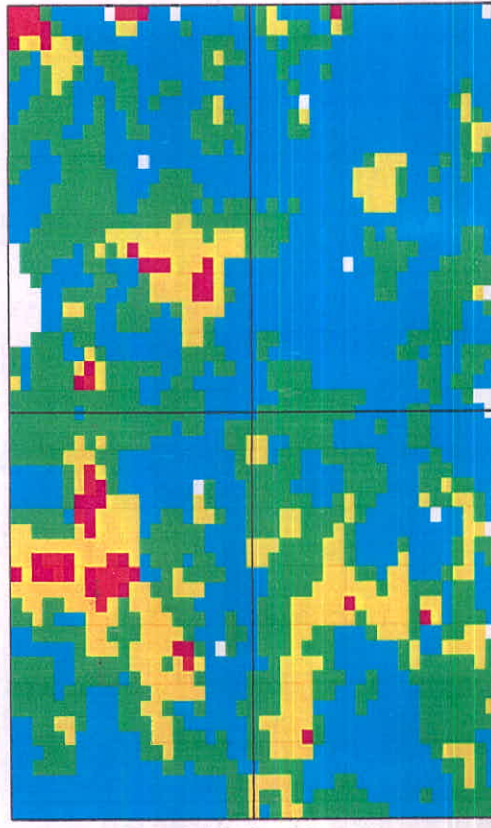
Grid Distribution Map of Ag.



Grid Distribution Map of As.

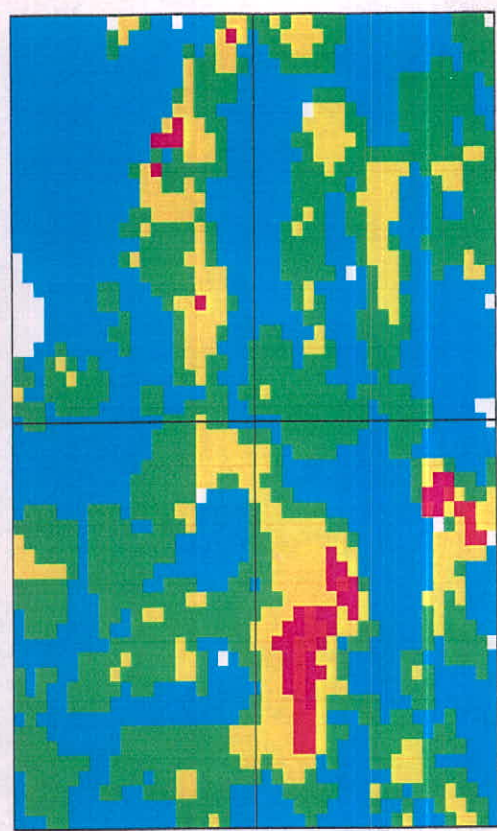


Grid Distribution Map of Au.

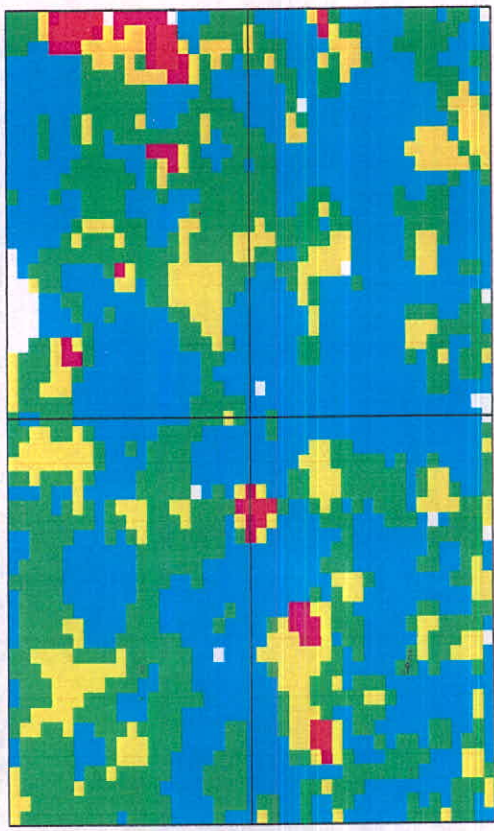


Grid Distribution Map of Ba.

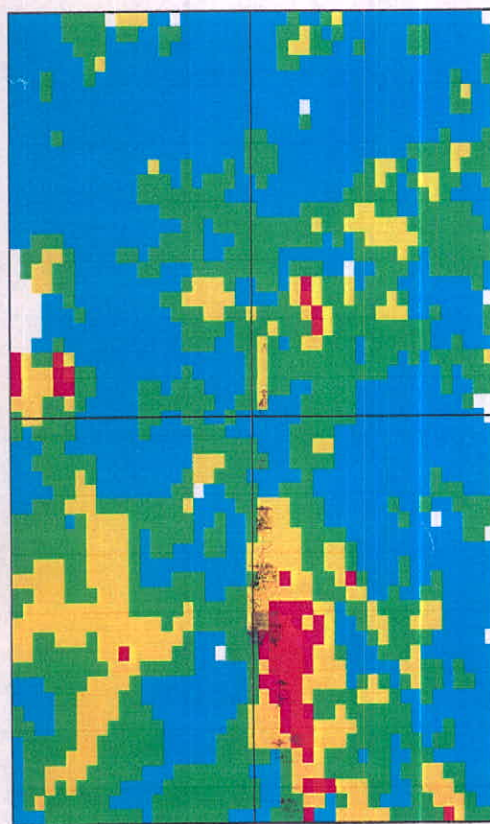
Fig : 7-39



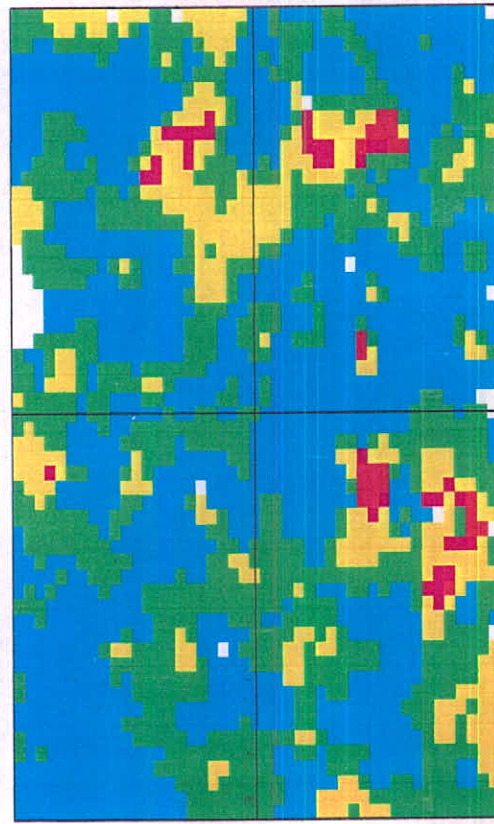
Grid Distribution Map of Be.



Grid Distribution Map of Bi.

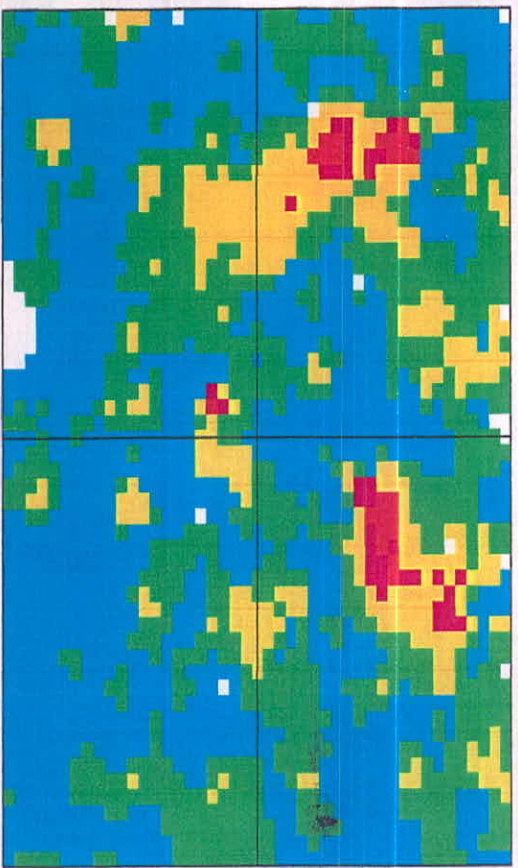


Grid Distribution Map of B.

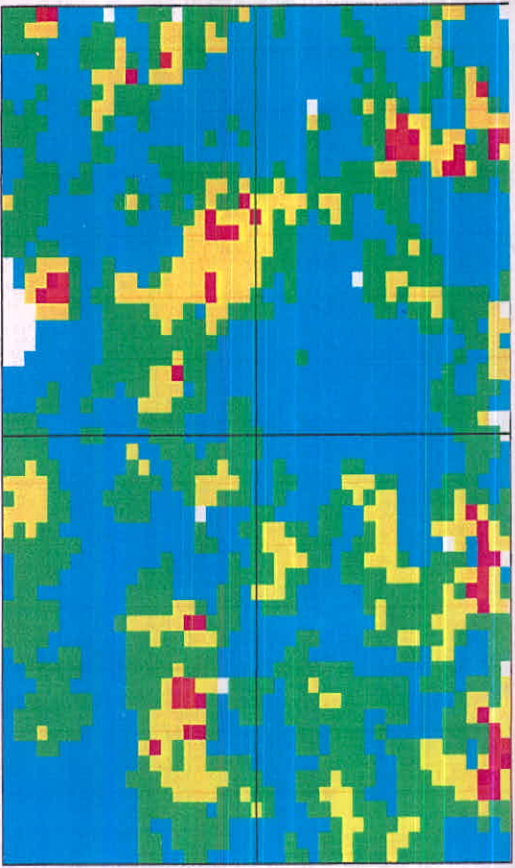


Grid Distribution Map of Co.

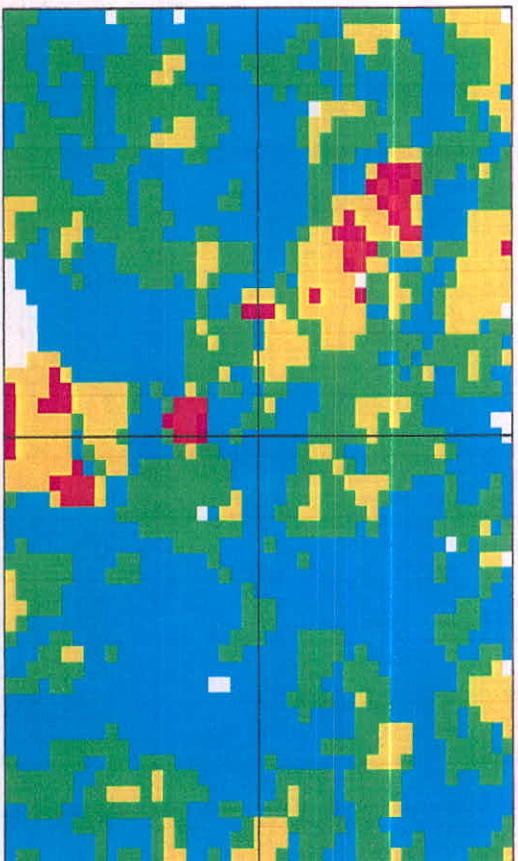
Fig : 7-40



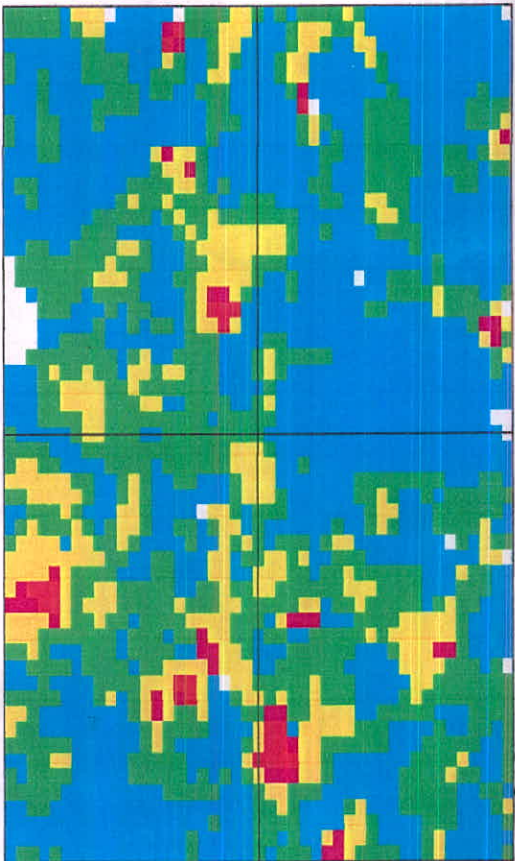
Grid Distribution Map of Cr.



Grid Distribution Map of Cu.

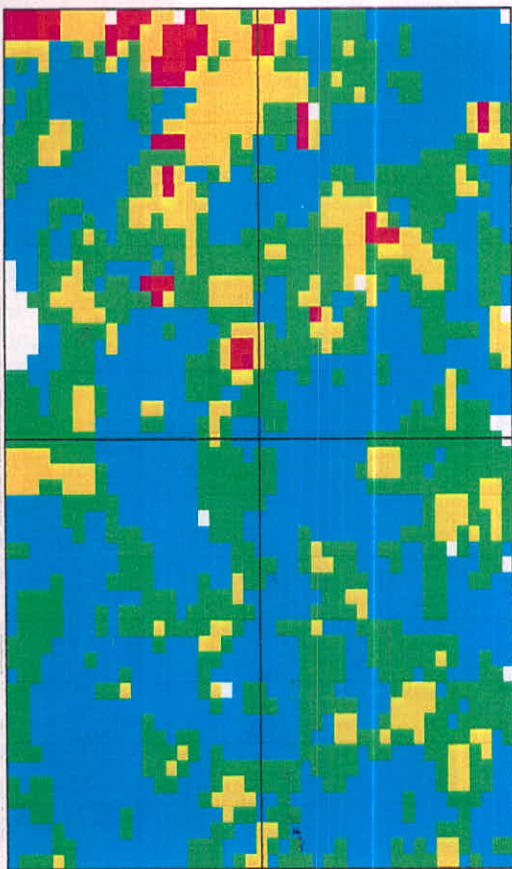


Grid Distribution Map of Hg.

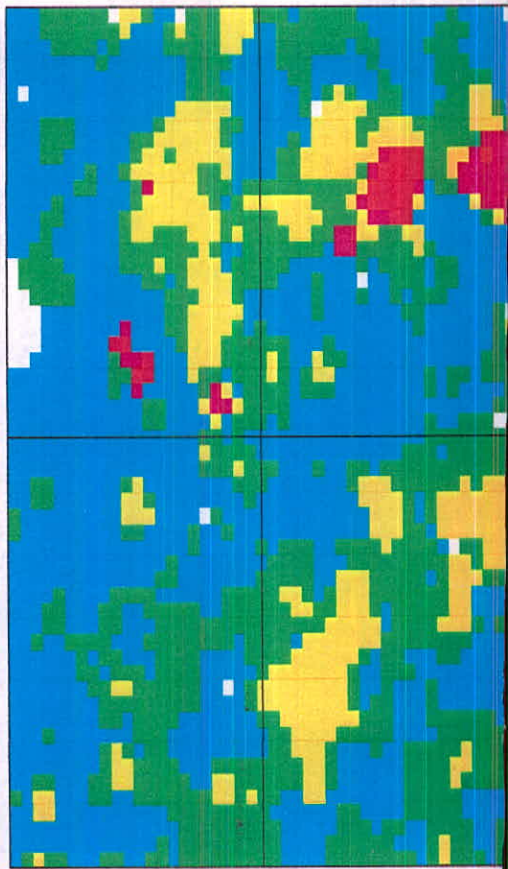


Grid Distribution Map of Mn.

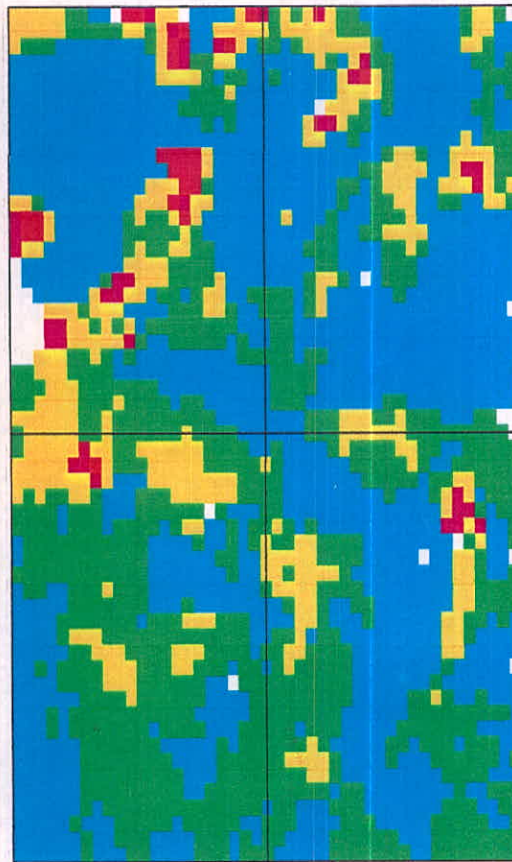
Fig : 7-41



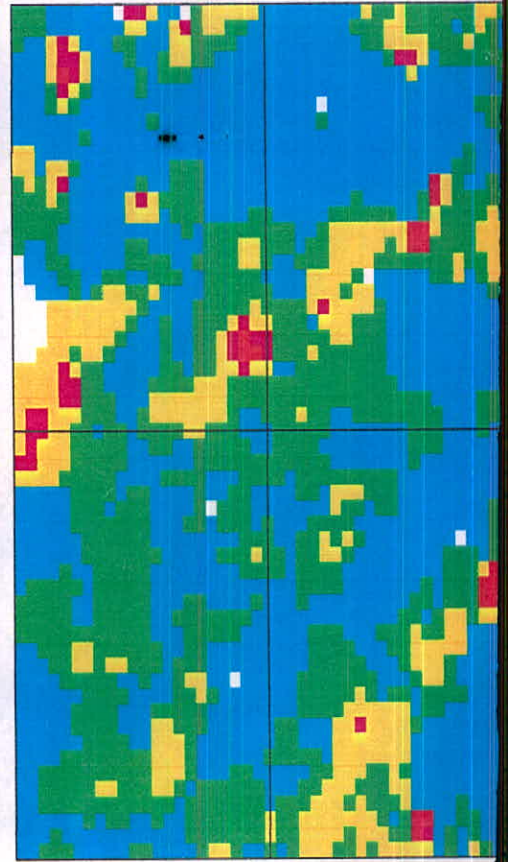
Grid Distribution Map of Mo.



Grid Distribution Map of Ni.

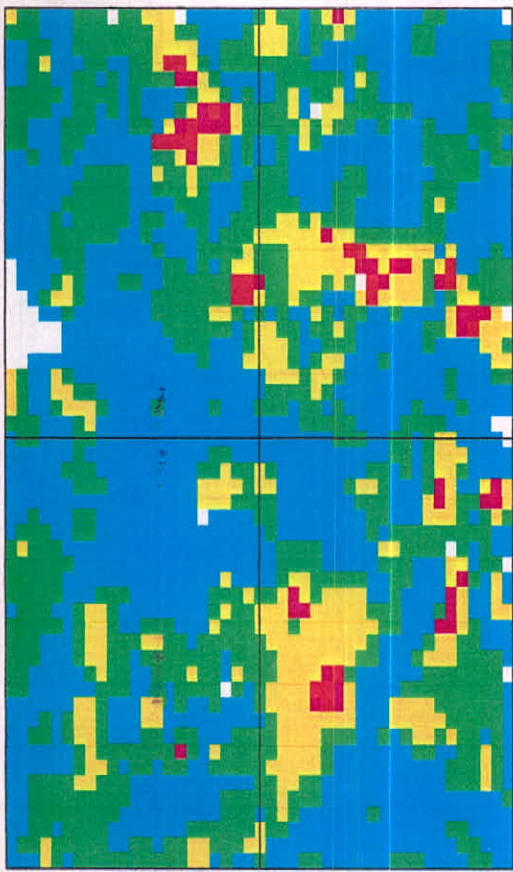


Grid Distribution Map of Pb.

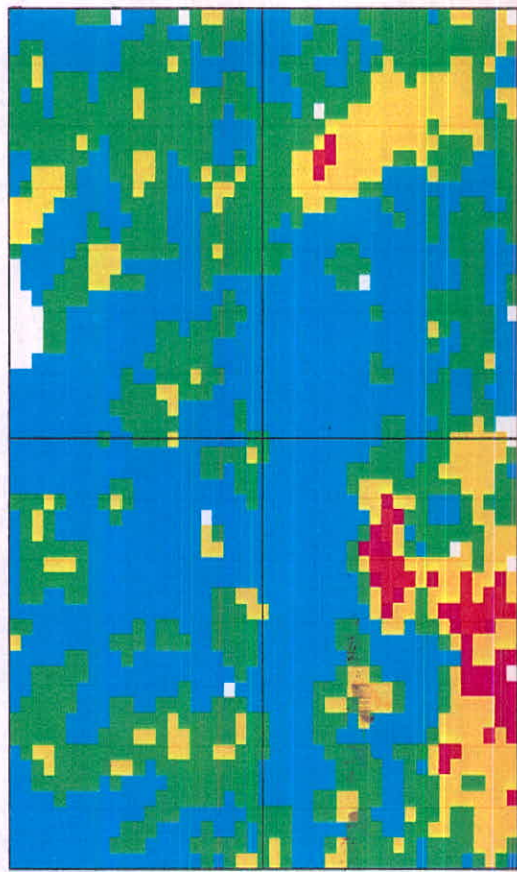


Grid Distribution Map of Sb.

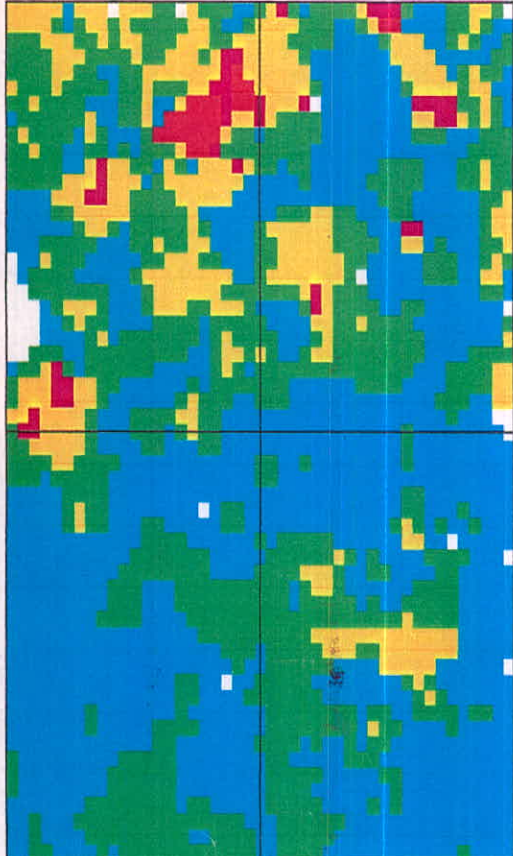
Fig : 7-42



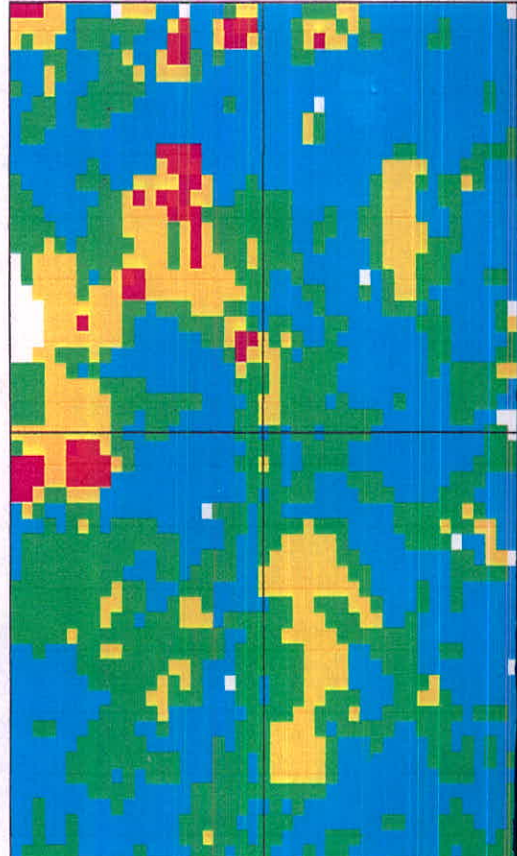
Grid Distirbution Map of Sn.



Grid Distirbution Map of Sr.



Grid Distirbution Map of W.



Grid Distirbution Map of Zn.

Fig : 7-43

## ۱۱- مطالعه تغییرپذیری دانسیتۀ گسلها و امتداد آنها

(موضوع بند ۱۰ شرح خدمات)

### ۱۱-۱- مقدمه

بررسی ارتباط کانی سازی با توسعه زونهای شکسته شده در شرح خدمات آمده است. از آنجایی که در تشکیل بسیاری از کانسارها سیالات کانه ساز نقش اساسی دارند و برای حرکت آنها نیاز به کانالهایی در ابعاد مختلف (میکروسکوپی تا ماکروسکوپی) می‌باشد (Plumbing System) و از طرفی توسعه چنین سیستمهایی از مجاری در زونهای شکسته شده (چه در مناطق کنشی و چه در مناطق نشاری) محتمل‌تر است، لذا مطالعه زونهای شکسته شده و مقایسه نقشه توزیع آنومالی‌های ژئوشیمیایی و کانی سنگین با نقشه توزیع شکستگی‌ها می‌تواند در ارزیابی آنومالی‌ها مفید واقع شود. نکته اساسی در این مورد آن است که زمان تشکیل شکستگی در این خصوص بسیار بالاتر است، زیرا تنها شکستگی‌هایی که قبل از فعال شدن پدیده کانی سازی توسعه یافته باشند می‌توانند در ایجاد کانالها و مجاری لازم جهت حركت سیالات کانه ساز و تشکیل کانسارهای اپی ژنتیک هیپرزن مؤثر باشند. بنابراین شکستگی‌هایی که بعد از کانی سازی توسعه می‌یابند فقط می‌توانند در توسعه هاله‌های ثانوی آنها و تشکیل زون غنی شدگی اکسیدی و یا احیائی از نوع اپی ژنتیک سوپرزن مؤثر واقع شوند. البته توسعه شکستگی‌های نوع اخیر موجب تسهیل در فرآیند اکسیداسیون عناصر کانساری و در نتیجه افزایش قابلیت تحرک آنها و نهایتاً توسعه هاله‌های ثانویه آنها نیز خواهد شد.

از آنجایی که در بررسیهای اکتشافی ناحیه‌ای در مقیاس ۱/۱۰۰،۰۰۰ اندازه‌گیری شکستگی‌ها امکان پذیر نیست، لذا توصیه شده است تا از طریق مطالعه دانسیتۀ گسلها به محدوده زونهایی که احتمال توسعه سیستم شکستگی‌ها در آنها بیشتر است دست یافته. بدینهی است در زونهای کشنی ممکن است شکستگی‌های توسعه یابند که همراه با گسلش نباشند. و در صورت وجود این چنین مناطقی با توجه به بحث فوق این مناطق به غلط فاقد سیستم شکستگی در نظر گرفته می‌شوند.

### ۱۱-روش مطالعه

- در این پژوهه روش مطالعه دانسته گسلها، (که می‌توان آن را متناسب با دانسته شکستگی‌ها فرض کرد) به شرح زیر بوده است:
- ۱- انتقال گسلهای موجود در نقشه زمین شناسی ۱:۱۰۰،۰۰۰ به روی کالک.
  - ۲- انتخاب مبدأ مختصات در گوشه جنوب غربی برگه زمین شناسی ۱:۱۰۰،۰۰۰.
  - ۳- رسم شبکهٔ مربعی به مساحت یک کیلومتر مربع برای نقشهٔ زمین شناسی. بدین ترتیب برای هر برگهٔ ۱:۱۰۰،۰۰۰ حدود ۲۵۰۰ سلوی به مساحت یک کیلومتر مربع مشخص می‌گردد.
  - ۴- اندازه‌گیری طول گسلهای موجود در هر واحد شبکه و سپس محاسبهٔ حاصل جمع آنها بازهٔ واحد سطح، در مورد گسلهایی که دارای امتداد مختلف هستند، طول آنها بدون در نظر گرفتن امتدادشان در نظر گرفته می‌شود، زیرا اثر آنها در ایجاد شکستگی‌ها مشابه فرض می‌شود. این حاصل جمع طول گسلها به مرکز همان واحد شبکه نسبت داده می‌شود.
  - ۵- اندازه‌گیری آزیموت گسلهای مختلف موجود در هر واحد شبکه و سپس رسم رز دیاگرام آنها و تحلیل نتایج حاصل. بنابراین آزیموت مربوط به یک گسل نمی‌باشد بلکه این نوعی آزیموت وزن دار است و متناسب با طول یک گسل وزن پیدا می‌کند. با توجه به مراتب فوق رز دیاگرام مربوطه نسبت به طول گسلها وزن دار است.
  - ۶- مطالعهٔ آماری مجموع طول گسلها و سپس رسم نقشهٔ توزیع آن در هر برگه.
  - ۷- کاربرد نقشهٔ توزیع سیستم شکستگی‌ها در مدل‌سازی آنومالی‌های ژئوشیمیایی مربوطه.

### ۱۱-داده‌های خام

پس از انجام مراحل مشروح در بندهای ۱، ۲، ۳، ۴ و ۵ فوق، نتایج مربوط به مجموع طول گسلها همراه با مختصات هر سلوی و همچنین آزیموت آنها در جداول جداگانه‌ای خلاصه شد (جدول ۴ و ۵ بروی CD). در جدول ۴ در هر واحد شبکه که گسل در آن وجود داشته یک عدد بعنوان مجموع طول گسلها ثبت گردیده است. برای هر سلوی ممکن است چندین آزیموت اندازه‌گیری شده باشد که با توجه به وزن آزیموت‌ها نسبت به طول گسلها رز دیاگرام وزن دار آنها رسم می‌شود.

#### ۱۱-۴-پارامترهای آماری مجموع طول گسلها

(موضوع بندهای ۱-۱۰ و ۱۰-۳ شرح خدمات)

در محدوده برگه ۱/۱۰۰،۰۰۰ باینچوب از حدود ۲۵۰۰ واحد شبکه، در ۸۴۳ واحد شبکه می‌توان مجموع طول گسلها را اندازه‌گیری کرد که فقط حدود ۳۳/۷٪ مساحت تحت پوشش را شامل می‌شود. شکل (۴۴-۷) هیستوگرام توزیع دانشیه گسلها را بر حسب متر بر کیلومترمربع نشان می‌دهد. همانطور که ملاحظه می‌شود این کمیت توزیع فراوانی نزدیک به لاغ نرمال با چولگی مثبت دارد. متوسط طول گسلهای موجود در واحدهای شبکه دارای گسل، ۱۰۲۳/۱۳ متر می‌باشد. حداقل طول گسل موجود در یک واحد شبکه دارای گسل ۵۰ متر و حداکثر آن ۴۰۵۰ متر بوده است. مع الوصف با چنین تغییرات شدید دامنه اندازه‌گیریها، ضریب تغییرات این متغیر حدود ۴/۶۸٪ است زیرا دامنه فوقانی آن محدود به تعداد اندکی است. رقم معادل ۷۵٪ فراوانی، حدود ۱۳۱۲ متر می‌باشد. شکل این تابع توزیع کمی غیرعادی است به طوری که فراوانی سلول هایی تا حدود ۱۰۰۰ متر گسل در کیلومتر مربع بعد از یک افت اولیه افزایش می‌یابد و سپس فراوانی آنها برای مقادیر بالاتر از حدود ۱۲۰۰ متر بر کیلومتر مربع گسل یک مرتبه کاهش شدید نشان می‌دهد به طوری که حالت انقضای در آن دیده می‌شود.

#### ۱۱-۵-پارامترهای آماری امتداد گسلها

(موضوع بندهای ۱۰-۲ و ۱۰-۳ شرح خدمات)

شکل (۴۵-۷) هیستوگرام توزیع امتداد شکستگی‌ها (آزموت آن‌ها) را در واحدهای شبکه‌ای دارای گسل نشان می‌دهد. این هیستوگرام بوضوح نشان می‌دهد که امتداد وزن دار غالب در محدوده‌این برگه بین ۳۰° تا ۴۰° قرار دارد. یک حد نسبتاً ضعیف دیگر در ۱۲۰° تا ۱۳۰° درجه ظاهر می‌شود که تقریباً عمود بر امتداد اول است. یک امتداد نیز در این شکل مشاهده می‌شود. امتداد شمال غربی - جنوب شرقی مربوطه به مجموعه گسل‌های معکوس - رانده زاگرس است که بیشتر در بخش‌های جنوب و جنوب غربی نقشه گسترش دارد. اما در بخش‌های مرکزی و شمالی راستهای فرعی شمال شرقی - جنوب غربی و شمالی جنوبی بیشترین گسترش را دارد. احتمالاً این راستهای فرعی ناشی از فعالیت مجدد گسل‌های پی‌سنگ زاگرس است.

بنابراین تا آنجا که به امتداد این گسلها در محدوده این برگه مربوط می‌شود توسعه

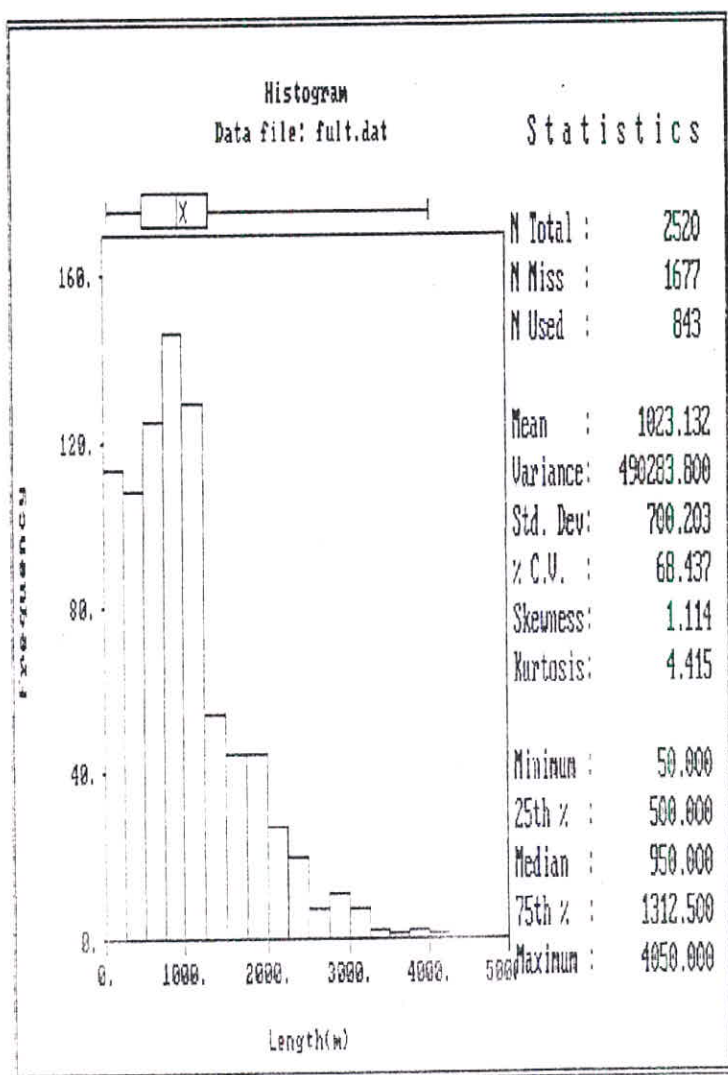


Fig : 7-44

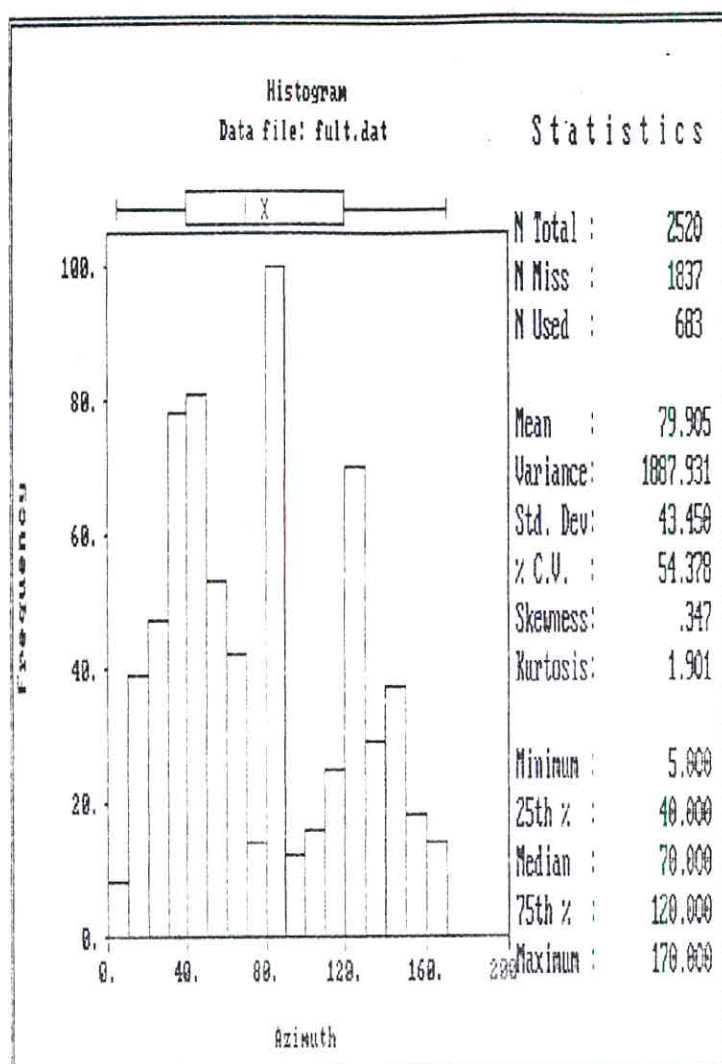


Fig : 7-45

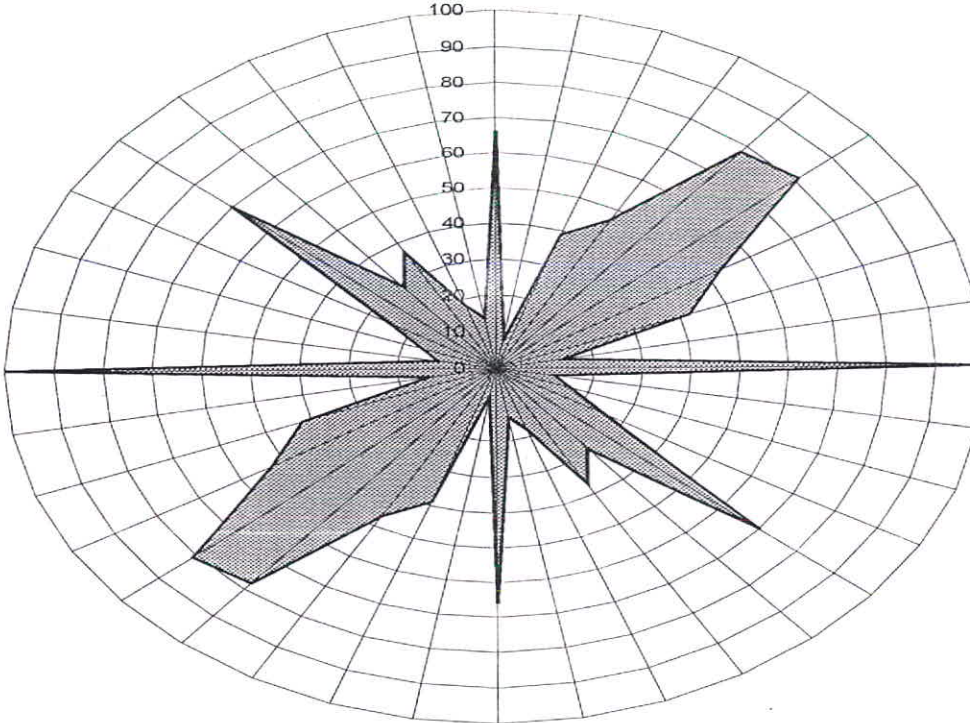


Fig. 7-46: Rose Diagram of Fault Azimuth Frequency in Bayenhub 1/100,000 Sheet.

### Variogram for LN (Fault Density)

#### Parameters

File : b-fault.pcf

Pairs : 13943

Direct. : .000

Tol. : 90.000

MaxBand: n/a

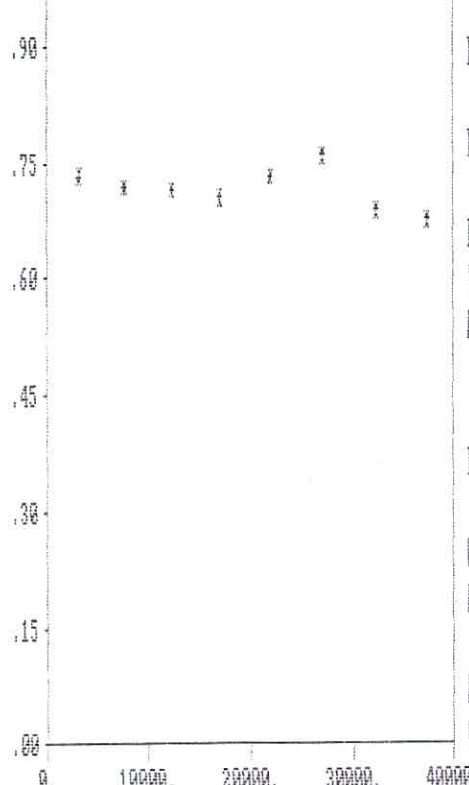
#### LM (L(M)oo) Limits

Minimum: 3.912

Maximum: 8.306

Mean : 6.650

Var. : .69930



Distance

Fig : 7-47

گسلها و به تبع آن امتداد زونهای با شکستگی بیشتر از روندهای تکتونیکی ناحیه‌ای تبعیت می‌کند. شکل (۴۶-۷) روز دیاگرام داده‌های امتدادی مربوط به گسلها را نشان می‌دهد که تا حدودی منعکس کننده آنیزوتropی امتدادی آنها می‌باشد. این شکل معرف آن است که در امتداد  $30^{\circ}$  تا  $40^{\circ} (\pm 10^{\circ}$  درجه) تعداد گسلها چشمگیر است. قابل توجه است که این روز دیاگرام بر اساس ۷۴۹ امتداد مختلف اندازه‌گیری شده ترسیم شده است. در مجموع این روز دیاگرام معرف آن است که رخدادهای تکتونیکی این برگه کمی پیچیده‌تر از برگه آلوت است.

#### ۱۱-۶-رسم نقشه دانسیته گسلها

شکل (۷-۷) واریوگرام دانسیته گسلها را برای ۱۳۹۴۳ جفت داده نشان می‌دهد. داده‌های موجود در این شکل معرف آن است که کل واریوگرام را مولفه تصادفی (ناگت) تشکیل می‌دهد، که این امر نشان می‌دهد که داده‌های مربوط به شکستگی‌های برگه ۱:۱۰۰،۰۰۰ با یانچوب فاقد فضایی می‌باشند. ناچار برای تخمین های لازم از روش‌های آمار کلاسیک کمک گرفته شد، که در این میان روش عکس فاصله با توان دوم بهترین جواب را داده است. تیجه این تحلیلها در نقشه شماره ۱۰ آورده شده است. در مدل سازی آنومالی‌ها از این نقشه بالای تعیین موقعیت آنومالی نسبت به زون شکستگی استفاده می‌شود.

#### ۱۱-۷-انطباق محدوده آنومالی‌های ژئوشیمیایی با محدوده زون‌های با شکستگی زیاد

همان گونه که در نقشه شماره ۱۰ ملاحظه می‌شود زونهای با شکستگی بالا در اکثر قسمت‌های برگه ۱:۱۰۰،۰۰۰ با یانچوب پراکنده شده‌اند. (بجز در قسمت جنوب شرقی برگه ۱:۱۰۰،۰۰۰ هزار کائیان قسمت جنوب غربی برگه ۱:۵۰،۰۰۰ بست و شمال غرب برگه ۱:۵۰،۰۰۰ اسلام دشت). در سه محدوده ذکر شده احتمالاً دانسیته کم شکستگی‌ها به دلیل پوشیده شدن رخمنونهای سنگی بوسیله آبرفت‌ها بوده است. در کل بدليل استفاده از نقشه ۱:۱۰۰،۰۰۰ انطباق خوبی بین آنومالی‌های ژئوشیمیایی و مناطق با شکستگی بالا برقرار است.

## فصل هشتم

### مدل سازی آنومالیهای ژئوشیمیائی

(موضوع بند ۱۱ شرح خدمات)

#### ۱- روش کار

یکی از معضلات بررسیهای اکتشافی ژئوشیمیائی، انتخاب مناطق امیدبخش و اولویت بندی آنها برای کارهای نیمه تفصیلی است. ریشه مشکلات مربوط به این کار آن است که ملاک ژئوشیمیائی معینی برای این کار تعریف نشده است و اگر هم تعریف شود ممکن است تواند بطور مؤثر بکار برد شود، زیرا مجموعه داده های ژئوشیمیائی، کانی سنگین و نمونه های میترالیزه و آلتراسیون، تا زمانی که در چهار چوب یک مدل کلی مورد سنجش قرار نگیرد و میزان سازگاری کلیه مشاهدات مشخص نشود، از اعتبار لازم برای تصمیم گیری برخوردار نخواهد بود و تکیه بر آنها می تواند رسک عملیات اکتشافی را بالا برد و پیامدهای ناخواهایندی را به همراه داشته باشد.

برقراری چنین مدلی در اکتشافات ناحیه ای در مقیاس ۱/۱۰۰،۰۰۰ نیاز به کسب اطلاعاتی در زمینه های ناحیه ای و محلی دارد. اطلاعات ناحیه ای که هاله های ثانوی را در بر می گیرد شامل سکانسهای موجود در منطقه، سنگ درونگیر، دامنه سنی آنها و شرایط تکتونیکی محیط مربوط به آنهاست. شرایط محلی بیشتر محدود به ویژگیهای موجود در محدوده هاله های ثانوی است که شامل ویژگیهای محیط آنومالی از قبیل پدیده های ماگمایی، ذگرگونی و رسوبی فعال در محدوده آنومالی و همچنین شرایط زمین شناسی ساختمانی محدوده آنومالی، پارازنزهای ژئوشیمیائی توسعه یافته در محدوده آنومالی، ویژگیهای کانی شناسی فرایندهای بعد از ماگمایی شامل انواع آلتراسیونها و ساخت و بافت سنگها و ذرنهای کانی سازی احتمالی و بالاخره آنومالیهای ژئوفیزیکی در محدوده آنومالی می باشد. اگر بخواهیم اطلاعات فوق را، که شامل بیش از ۱۲۰۰ ویژگی تعیین شده است، برای ۹۳ تیپ کانسar مدل سازی شده به کار ببریم، نیاز به نرم افزاری است که قادر باشد براساس منطق خاصی از روی ویژگیهای معلوم در محل گسترش یک آنومالی معین محتمل ترین تیپ

کانسار احتمالی وابسته به مجموعه خواص مشاهده شده را پیشنهاد نماید. مناسبترین منطقه برای این کار، منطقی است که در آن هر کانسار مانند شیبی با خواص و ویژگیهای معین احتمال پذیر مورد مطالعه قرار گیرد. بنابراین در محل هر آنومالی، تعدادی از خواص که مورد اندازه‌گیری قرار گرفته است، عنوان خواص احتمالی آن شی معلوم می‌باشد. وجود هر یک از خواص در اثبات تشابه با کانساري معين، از امتياز تعين شده اي بخوردار است و نبود آن خاصيت در رد آن کانسار نيز امتياز تعين شده معيني دارد. با توجه به مراتب فوق می‌توان با مطمئن بودن از وجود بعضی از خواص و نبود بعضی از خواص، محتمل ترين تيپ کانسار وابسته را پيش بیني کرد که بيشترین سازگاري و كمترین ناسازگاري را با مجموعه خواص مشاهده شده در محل توسيع آنومالي داشته باشد. چون در مورد بعضی از خواص نه به وجود و نه به نبود آن اطمینان کافی در دست نیست، لذا لازم است در نرم افزار مورد نظر حق انتخاب دیگري به مفهوم خاصيت تعين شده؛ وجود داشته باشد که در سنجش سازگاري و ناسازگاري مجموعه خواص بي اثرباشد.

بالاترين امتياز کاربرد چنین مدلی اين است که پس از رتبه بندی آنوماليهها براساس سازگاري آنها با تيپ معيني از کانسارها، عمليات اكتشافي احتمالی که باید در محدوده آن صورت پذيرد را با اولويت بندی پیشنهاد نماید. اين کار از طریق مقایسه خواص داده شده در محل آنومالی با خواصی که محتمل ترين تيپ کانسار دارا می‌باشد، انجام می‌پذيرد.

## -۲- مدل سازی

در محدوده برگه ۱/۱۰۰،۱۰۰ باينچوب، پس از رسم نقشه‌های تک متغيره و چند متغيره (شامل  $PN$ ، فاكتوري و آماره  $U$ ) و انتخاب مناطق دو و نيم درصد بالاي فراوانی و كنترل آنومالیها به روشهای مختلف و کسب اطلاعات گوناگون، اقدام به مدل سازی محدوده آنومالی های مهم شده است که در بندهای بعدی به شرح هر یک خواهیم پرداخت.

## -۱- مقدمه

مدل سازی آنومالی های ژئوشیمیائی يكی از مهم ترین موضوعاتی است که در دهه گذشته در زمینه اكتشافات ژئوشیمیائی مطرح شده است و بسرعت مسیر تحول خود را می گذراند. مدل سازی آنومالی های ژئوشیمیائی را می توان مانند هر نوع مدل سازی دیگری

در زیستهای مهندسی، نوعی روش ساده سازی داشت که موجب سهولت در شناخت واقعی تر پدیده‌ها و رخدادها (برای مثال کانی سازی از تیپ خاصی) می‌شود. بدیهی است هر نوع مدل سازی با نوعی ساده سازی همراه است که ممکن است موجب بروز خطأگردد. ریشه این خطأ می‌تواند در ارتباط با نادیده گرفتن عناصر و عوامل جزئی تر باشد. در مقابل این نقطه ضعف هر مدلی نقطه قوتی دارد و آن این است که ارتباط عناصر و عوامل اصلی یک پدیده و یا رخداد با مدل سازی روشن تر و شفاف تر می‌شود، زیرا امکان سنجش درجه سازگاری و ناسازگاری عناصر و عوامل موجود در یک رخداد (برای مثال مجموعه خواص مشاهده شده در یک تیپ کانی سازی معین) با مدل سازی فراهم می‌گردد.

اگر داده‌های معرف یک تیپ خاصی از کانی سازی که در واقع مجموعه خواص آن تیپ کانی سازی است، در یک محیط معینی یافت شود می‌تواند دلالت بر رخداد آن تیپ کانی سازی داشته باشد. چنانچه خاصیتی بیگانه نسبت به مجموعه خواص فوق نیز مشاهده شود با مدل سازی می‌توان به بی اهمیت بودن آن پی برد. بر عکس اگر در مجموعه خواص سازگار از یک تیپ معین کانی سازی جای یک یا چند خاصیت خالی باشد، می‌توان برای یافتن احتمالی آنها و تأیید و یا تکذیب مدل به جستجوی هدف دار پرداخت. این جستجوی هدف دار خمیرمایه اصلی در طراحی برنامه اکتشافی برای فاز بعدی است. بنابراین بدون مدل سازی نمی‌توان به تخمین قابل قبولی از احتمال پیدایش یک تیپ کانسار خاص (وابسته به مجموعه مشاهدات تجربی) در یک محیط زمین‌شناسی معین پرداخت. از نظر تاریخچه مدل سازی باید گفت که در گذشته مدل سازی کانسارها بیشتر براساس ژئز آنها صورت می‌گرفت و بدین دلیل کارآیی اکتشافی لازم را دارا نبود. ولی امروزه مدل سازی کانسارها بیشتر بر اساس منطق ابجکت اوریتتدی است که در آن اساس کار بر وجود یا عدم وجود ویژگی‌های مشترک معین قرار دارد. براساس این منطق هر تیپ کانسار خاص مانند شیئی می‌ماند که بوسیله مجموعه‌ای از خواص معین شناخته می‌شود، با این نگرش که پیدایش هر یک از خواص در این مجموعه حالت قطعی نداشته بلکه احتمال پذیر است و امکان بود و نبود آن با عددی بین صفر تا یک بیان می‌شود. چنین نگرش احتمال پذیری استفاده از منطق فازی (Fuzzy Logic) را در مدل سازی کانسارها اجتناب ناپذیر می‌سازد. به طور خلاصه انگیزه اصلی مدل سازی آنومالی‌های ژئوشیمیائی ارتباط دادن آنها از جنبه آماری با نوع خاصی از کانی سازی است تا درجه سازگاری و ناسازگاری خواص اندازه‌گیری شده و

مشاهدات مختلف مانند آنومالی های تک عنصری و پیدایش کانیهای سنگین خاص و انواع خاصی از دگرمانی ها در سنگ درونگیر معین با سن معین مورد سنجش قرار گیرد. از این طریق می توان آن دسته از خواص ژئوشیمیائی، کانی سنگین، هوازدگی، دگرمانی، سنگ درونگیر و غیره که به طور تصادفی در مجموعه خواص مشاهده شده در یک ناحیه ثبت گردیده اند را شناخت و سپس آنها را بعنوان خواص ناسازگار از مجموعه خواص مشاهده شده حذف کرد.

چنین منطقی موجب تصفیه مؤثر آنومالی های ژئوشیمیائی وابسته به کانی سازی از انواع دیگر می شود که خود موجب افزایش احتمال کشف و کاهش هزینه های اکتشافی می گردد. بنابراین با نسبت دادن یک مجموعه از آنومالی های ژئوشیمیائی ثبت شده در یک منطقه به مدل خاصی می توان برای هر یک از ویژگی های کمی و کیفی آن با تکیه به مقدار پارامترهای مشابه در مدل استاندارد، تخمین های لازم را با دقت کافی بعمل آورد.

## ۲- مدل های عددی

ویژگی های هر تیپ کانسار را می توان به دو گروه تعیین کننده و عادی تقسیم کرد. ویژگی های تعیین کننده شامل آن دسته از خواصی است که وجودشان در اثبات یک مدل خاص کانی سازی و یا نبودشان در رد یک مدل خاص کانی سازی می تواند مؤثر باشد. خواص عادی یک کانسار خواصی است که بود و نبودش در اثبات و یا رد یک مدل معین نقشی ندارد. از آنچاکه اهمیت "بود" یک خاصیت و یا "نبود" آن در مقایسه با خواص دیگر، در اثبات یا رد یک تیپ معینی از کانی سازی یکسان نیست، لذا لازم است برای وجود یک خاصیت (و یا نبود آن) در اثبات (و یا رد) یک مدل کانی سازی وزن معینی انتخاب گردد. این وزنها از طریق محاسبات آماری روی ۳۶۰۰ کانسار شناخته شده در جهان بدست آمده و توسط کاکس و سینگر (۱۹۸۶) و بلیس (۱۹۹۲) ارائه گردیده است. در این پژوهه مدل سازی آنومالی های ژئوشیمیائی عمدتاً براساس وزن های فوق است که در یک مجموعه نرم افزاری بنام *ODM* جمع آوری شده است.

### ۲-۳- مدل سازی آنومالی‌های ژئوشیمیائی در برگه باینچوب

داده‌های به کار رفته در مدل سازی هر آنومالی شامل موارد زیر است: سکانس سنگهای رخمنون دار در منطقه در برگیرنده آنومالی، سنگ درونگیر آنومالی، سنگ درونگیر آنومالی، انواع دگرسانی‌های احتمالی در محدوده آنومالی، پاراژن‌های ژئوشیمیائی در محدوده آنومالی، ترکیب کانه‌ها و کانیها در جزء کانی سنگین، ساخت و یافت سنگ درونگیر و ساخت و بافت در زون میترالیزه احتمالی، محصولات هوازدگی و خاستگاه تکتونیکی، حداقل امتیاز مثبت وجود یک خاصیت معین ۵ و حداقل آن ۴۰۰ می‌باشد. امتیازات منفی (بعثت نبود خاصیت) وابسته به خواص بین ۰ تا ۴۰۰ تغییر می‌کند. این مجموعه خواص در درجه اصلی ناحیه‌ای که با علامت  $R$  در جداول آمده است و محلی که با علامت  $L$  در جداول آمده است قرار می‌گیرند. مشاهدات صحرابی در خلال فاز کنترل آنومالی‌های ژئوشیمیائی نشان داد که تعدادی از آنومالی‌های ژئوشیمیائی بدست آمده در ارتباط با خطای ناشی از درست خشند اثر سنگ بالادرست رسوبات آبراهه‌ای بوده است. (به خصوص در برگه ۱:۰۰،۰۱۰ اسلام دشت) البته سعی شد تا با آنالیز فاکتوری به وجود چنین اثراتی پی برد؛ شود و حتی الامکان خشند گردد. در محدوده برگه ۱:۰۰۰،۰۱۰ باینچوب در مجموع ۴۴ آنومالی ژئوشیمیائی با اهمیت و بی اهمیت تشخیص داده شده است که بعضًا تک عنصری ولی بیشتر چند عنصری می‌باشد، بعضی از آنومالی‌های تک عنصری در فاز کنترل آنومالی به علت شدت و وسعت کم و یا بعلت درست خشند اثر سنگ بالادرست حذف شده‌اند، و مورد مدل‌سازی قرار نگرفته‌اند. برای هر مورد از آنومالی‌هایی که تحت عنوان Bay44 شماره‌گذاری شده است می‌توان سه نوع خاصیت به نرم افزار داد.

۱- خواصی که وجود آنها بوسیله یکی از روش‌های به کار گرفته شده در پژوهه مانند

روش‌های ژئوشیمیائی، کانی سنگین، دگرسانی، زونهای کانی سازی و سیستم‌های پلمبینگ، ژئوفیزیک هوازی، سنگ شناسی و زمین شناسی ساختمانی به اثبات رسیده است. تذکر این که آنومالی‌هایی که در مدل‌سازی بکار برده شده است نه تنها بر اساس رسوبات آبراهه‌ای است، بلکه بر اساس ژئوشیمی نمونه‌های میترالیزه نیز می‌باشد.

۲- خواصی که از طریق بررسی‌های لازم به نبود آنها در محیط یک آنومالی معین در حد امکان اطمینان حاصل شده است.

۳- خواصی که پس از بررسی های انجام شده فوق در بود یا نبود آنها (به تیجه ای که قابل تصمیم گیری باشد) اطمینان حاصل نشده است.

نتیجه مدل سازی آنومالی های برگه ۱۰۰،۱۰۰:۱ با نجوب به صورت جداولی که در زیر تشریح می شود آورده شده است. لازم به ذکر است که داده های خام هر یک از آنومالیها در

جدول ۲-۸ ضمیمه گزارش (فرم های شناسنامه ای مناطق آنومالی) و موقعیت جغرافیایی محل پیدایش هر یک بهمراه مشاهدات صحراوی مربوطه در جدول ۱-۸ آورده شده است.

۱- در بالای هر جدول شماره آنومالی مطابق آنچه که در شرح آنومالیها در صفحات

گذشته آورده شده است نشان داده می شود مانند Bay 10 Bay 12 یا

۲- در چنین جداولی که شماره آنومالی با سه حرف Bay و یک شماره از یک تا ۱۲ مشخص می شوند، تیپ کانسارهای احتمالی به ترتیب اولویت (احتمال رخداد) آورده شده است. اساس اولویت بندی آنها ارقام آخرین ستون سمت راست جدول است که پس از کسر امتیازات منفی از مثبت حاصل شده است.

۳- در جدول فوق شش ستون عددی وجود دارد که دوستون اول امتیازات مثبت مطلق و درصدی (نسبی) را برای هر یک از تیپ کانسارهای احتمالی نشان می دهد. دوستون دوم امتیازات منفی مطلق و درصدی (نسبی) را برای همان تیپ کانسارها معرفی می کند و دوستون آخر امتیازات باقیمانده مطلق و درصدی را که اساس اولویت بندی است، مشخص می سازد.

۴- برای هر یک از کانسارهای محتمل در جدول فوق لیست خواصی که وجودشان سازگار با مدل پیشنهاد شده است در جداولی که ساختار شماره گذاری آنها بشرح زیر است آورده می شود:

حرف Y	شماره ردیف کانسار احتمالی	خط نبره	شماره آنومالی	Bay
-------	---------------------------	---------	---------------	-----

در چنین جداولی هر یک از خواص همراه با امتیاز مثبت بودشان و امتیاز منفی بودشان بانضمام دامنه آن آورده می شود. در آخرین ستون این جداول علامت Yes بمعنی وجود آن خاصیت و علامت L یا R بمعنی محلی بودن و یا ناحیه ای بودن آن خاصیت ذکر می شود. در پائین ترین سطر این جداول جمع امتیازات مثبت و منفی و دامنه نشان داده می شود.

۵- برای هر یک از کانسارهای پیشنهاد شده محتمل در جداول Bay 1 تا Bay 12 لیست خواصی که نبودشان در رد مدل مؤثر بوده است همراه با وزن منفی آنها در جداولی که ساختار شماره گذاری آنها بشرح زیر است آورده شده است:

Bay	خط تبره	شماره آنومالی	ردیف کانسار احتمالی	حرف N
-----	---------	---------------	---------------------	-------

در پائین ترین سطر این جداول جمع امتیازات منفی نیز آورده شده است.

#### ۴-۲-۱- اولویت بندی مناطق امیدبخش

##### ۴-۲-۱- اولویت بندی

در این پروژه اساس اولویت بندی مناطق امیدبخش را درجه سازگاری مجموعه پارامترهای مشاهده شده و یا اندازه گیری شده در محل توسعه هر آنومالی تشکیل می دهد. این درجه سازگاری به صورت درصد انطباق مجموعه خواص مشاهده شده با تیپ های استاندارد کانساری مورد ارزیابی قرار گرفته است و نتایج آن در ستون آخر جداول ارائه شده در محدوده برگه باینچوب به ترتیب زیر در اولویت قرار داد (شکل ۶-۸ و جدول ۱-۸) بر ترتیب موقعیت آنومالیهای چندگانه و موقعیت هر یک را نشان می دهد).

از بین ۴۴ محل آنومالی تشخیص داده شده در محدوده برگه ۱، ۱۰۰، ۱۰۱، ۱۰۰ باینچوب

بر اساس اهمیت آنها اقدام به مدل سازی نه مورد شده است. که عبارتند از: باینچوب شماره ۱، ۲، ۳، ۴، ۵، ۶، ۸، ۱۰، ۱۱، ۱۲ که به ترتیب در موقعیت‌های جغرافیائی شمال شرق گوگجه، پنج کیلومتری غرب شاه قلعه، شاه قلعه - توکلان، بنوچان، آب باره، شمال شرق خالباز، گله سور - بردش، تازه آباد گلانه و افراسیاب می باشد. (شکل ۶-۸). لازم به یادآوری است که این مناطق در زمرة مناطقی است که داده های لازم در حد قابل قبول برای آنها وجود داشته است، بخصوص برای مواردی که جمع نهایی امتیازات آنها بیش از ۲۰ می باشد. بنابراین می توان تا آنجا که به مدل سازی مربوط می شود آنها را جزء اولویت دارها محسوب نمود، البته لازم است نه مورد آنومالی فوق را بر حسب اهمیتشان به دو گروه با اولویت اول و دوم تقسیم بندی کرد. قبل از انجام این کار لازم است در مورد مدل های ارائه شده برای هر یک از مناطق آنومالی یک بحث مختصری صورت پذیرد:

جدول (۱-۸): موقعیت جغرافیایی و مشاهدات صحرایی آنومالی‌های ژئوشیمیایی برگه ۱۰۰،۰۰۰:۱ باینچوب.

آنومالی	برگه ۱۰۰،۰۰۰:۱ باینچوب	موقعیت جغرافیایی	مشاهدات زمین‌شناسی صحرایی
Bay1	بست	شمال شرق گوگجه	سنگ‌های مشاهده شده عبارتند از: آهک، ولکانیک‌های حد واسط، رسوبات آواری دانه متوسط تا دانه ریز، بازالت، شیست و کوارتز سربیست شیست می‌باشد. آتراسیون‌ها شامل آتراسیون سیلیسی، پروپیلیتی و همانیتی می‌باشد. آثار روراندگی و شیرزون در منطقه مشاهده گردیده است. میلونیت و برش ولکانیکی نیز در این محدوده مشاهده می‌شود.
Bay2	بست	پنج کیلومتری جنوب طربی نرگسله	به علت کم اهمیت تر بودن این آنومالی نسبت به سایر آنومالیها و محدودیت تعداد نمونه‌های کائی سنگین این منطقه کترل نشد.
Bay3	بست	چهار کیلومتری غرب شاه قلمه	سنگهای این منطقه شامل کلریت شیست، ولکانیک‌های حد واسط و ماقیک، ولکانوکلاستیک‌های اسیدی و نفوذی‌های اسیدی می‌باشد. در مقیاس کار صحرایی آتراسیونهای سیلیسی، آرژیلیتی، پروپیلیتی و سربیست دیده شده است.
Bay4	بست	شاه قلمه - توکلان	سنگهای این منطقه شامل ولکانوکلاستیک‌های اسیدی، نفوذی‌های اسیدی، کلریت شیست و کوارتز شیست می‌باشد. یک زون آلترا-بزرگ در این منطقه شناسایی شده است که دارای تیپ آتراسیون آرژیلیتی می‌باشد. در این منطقه شیرزون نیز مشاهده شده است.
Bay5	بست	بناآچان	سنگهای این منطقه شامل ولکانوکلاستیک‌های اسیدی، سنگهای آهکی، نفوذی‌های اسیدی، اسليت، قیلیت، متساستون، شیست و کوارتز سربیست شیست می‌باشد. آتراسیون‌ها شامل: آتراسیون‌های سیلیسی و آرژیلیتی بوده و در منطقه شیرزون نیز دیده شده است.
Bay6	بست	آب باره	سنگهای این منطقه شامل: ولکانیک‌های اسیدی - حدواسط، نفوذی‌های اسیدی، قیلیت، اسليت، شیست، متساستون، سنگ آهک و سنگهای رسوبی آواری متوسط تا درشت دانه می‌باشد. آتراسیون‌های سیلیسی (به شکل رگه‌ای و ماسیو)، آرژیلیتی، همانیتی و پروپیلیتی تشخیص داده شده است. شیرزونهای متعددی در این محدوده مشاهده می‌شود.

✓  
Auz  
✓ 22 Auz

✓ I

✓ I

✓ I

✓ I

ادامه جدول (۸-۱): موقعیت جغرافیایی و مشاهدات صحرایی آنومالی‌های ژئوشیمیایی برگه ۱۰۰،۰۰۰:۱ با اینچوب.

آنومالی	برگه ۱۰۰،۰۰۰:۱	موقعیت جغرافیایی	مشاهدات زمین‌شناسی صحرایی
Bay7	بست	دره دزدان	سنگ‌های مشاهده شده عبارتند از: نفوذی‌های اسیدی، وکانیک‌های حد واسط، سنگ آهک سیلیسی شده، فیلیت با رگه‌های سیلیس، کلریت شیست، گوارتز سریبیت شیست، میلونیت، رسوبات آواری دانه ویز و پرش، دوگسل نرمال از این محدوده عبور می‌کند. در منطقه آثار رو راندگی و شیرزون مشاهده می‌گردد. در مقیاس کار صحرایی آلتراسیون سیلیسی مشاهده شده است.
Bay8	بست	شمال شرق خالباز	سنگ‌های مشاهده شده عبارتند از: ولکانو کلاسیتک‌های اسیدی، نفوذی‌های اسیدی، سنگ آهک، رسوبات آواری دانه درشت، فیلیت، کلریت شیست و گنیس میلونیتی. آلتراسیونهای سیلیسی، هماتیتی، لیمونیتی و سریبیتی در این محدوده مشاهده شده است. در این منطقه شیرزون نیز دیده شده است.
Bay9	بست	شمال و زمان	سنگ‌های مشاهده شده عبارتند از: آهک، ولکانو کلاسیتک‌های اسیدی، نفوذی‌های اسیدی، کلریت شیست و آمکهای دولومیتی شده. در این محدوده گسلی با امتداد شمال شرق - جنوب طرب تشخیص داده شده و شیرزون نیز وجود دارد. در مقیاس کار صحرایی در این منطقه آلتراسیون سیلیسی تشخیص داده شده است.
Bay10	هزار کانیان	گله سور - بر درش	سنگ‌های مشاهده شده عبارتند از: سنگ آهک، آندزیت و فیلیت با رگه‌های سیلیس. در مقیاس کار صحرایی آلتراسیون سیلیسی تشخیص داده شده است.
Bay11	هزار کانیان	نازه آباد گلانه	در این محدوده آهک، ولکانو کلاسیتک‌های اسیدی، گرانیت، گرانودیوریت، وکانیک‌های حد واسط و شیل رخنمون دارند. در این منطقه آثار شیرزون و نیز آلتراسیون آرژیلیتی دیده شده است.

ادامه جدول (۸-۱): موقعیت جغرافیایی و مشاهدات صحرایی آنومالی‌های ژئوشیمیایی برگه ۱:۰۰،۰۰۰ باینچوب.

آنومالی	برگه ۱:۰۰،۰۰۰	موقعیت جغرافیایی	مشاهدات زمین‌شناسی صحرایی
Bay12	باينچوب	افراسیاب	در این منطقه ولکانیک‌های حدوداً سطح، رسوبات آواری دانه متوسط تا بیز دانه، آندزیز پر فیری، بازلات و پرشهای ولکانیکی دیده شده است. در مقیاس کار صحرایی آنرا سیونهای پروپیلیتی و سیلیسی در این منطقه تشخیص داده شده است.
Bay13	باينچوب	هانه گلان	ستگهای این منطقه شامل ریولیت، آندزیز، آندزیز پر فیری و شیل می‌باشد. در بازدید صحرایی این منطقه آنرا سیون پروپیلیتی مشاهده گردیده است.
Bay14	باينچوب	جنوب غرب کانی طلا	به علت کم اهمیت بودن آنومالی و محدود بودن تعداد نمونه‌های کانی ستگین که می‌توان برداشت این منطقه کنترل نشده است.
Bay15	هزارکاتیان	شرق دیاغ	ستگهای مشاهده شده در این منطقه عبارتند از: فیلیت، کلریت شیست و شیل.
Bay16	هزارکاتیان	جنوب شیخ حیدر	ستگهای مشاهده شده در این منطقه عبارتند از: شیل و آندزیز و در مقیاس کار صحرایی آنرا سیون سیلیسی تشخیص داده شده است.
Bay17	باينچوب	مادیان دول	ستگهای مشاهده شده در این منطقه عبارتند از: آندزیز، آندزیز پر فیری، شیل و پرشهای ولکانیک.
Bay18	باينچوب	جنوب شرق خاک روزی	در این منطقه آندزیز، آندزیز پر فیری، شیل و دیبوریت دیده شده است. آنرا سیون سیلیسی نیز در سطح منطقه مشاهده گردیده است.
Bay19	هزارکاتیان	شمال غرب شریف آباد	به علت کم اهمیت بودن آنومالی و محدود بودن تعداد نمونه‌های کانی ستگین که می‌توان برداشت این منطقه کنترل نشده است.
Bay20	هزارکاتیان	جنوب شرق گلله	به علت کم اهمیت بودن آنومالی و محدود بودن تعداد نمونه‌های کانی ستگین که می‌توان برداشت این منطقه کنترل نشده است.
Bay21	اسلام دشت	شاهنشین - صوفی بله	به علت کم اهمیت بودن آنومالی و محدود بودن تعداد نمونه‌های کانی ستگین که می‌توان برداشت این منطقه کنترل نشده است.
Bay22	باينچوب	غرب کيزمل عليا	به علت کم اهمیت بودن آنومالی و محدود بودن تعداد نمونه‌های کانی ستگین که می‌توان برداشت این منطقه کنترل نشده است.
Bay23	باينچوب	جنوب شرقی گاوآهنتو	به علت کم اهمیت بودن آنومالی و محدود بودن تعداد نمونه‌های کانی ستگین که می‌توان برداشت این منطقه کنترل نشده است.
Bay24	هزارکاتیان	شمال تبریز خاتون	به علت کم اهمیت بودن آنومالی و محدود بودن تعداد نمونه‌های کانی ستگین که می‌توان برداشت این منطقه کنترل نشده است.
Bay25	باينچوب	جنوب شرق باينچوب	به علت کم اهمیت بودن آنومالی و محدود بودن تعداد نمونه‌های کانی ستگین که می‌توان برداشت این منطقه کنترل نشده است.
Bay26	بست	۵ کیلومتر جنوب غربی بست	به علت کم اهمیت بودن آنومالی و محدود بودن تعداد نمونه‌های کانی ستگین که می‌توان برداشت این منطقه کنترل نشده است.

ادامه جدول (۸-۱): موقعیت جغرافیایی و مشاهدات صحرایی آنومالی‌های ژئوشیمیایی برگه ۱:۱۰۰،۰۰۰ باینچوب.

آنومالی	برگه ۱:۱۰۰،۰۰۰	موقعیت جغرافیایی	مشاهدات زمین‌شناسی صحرایی
هزارکاتیان	Bay27	مره در	به علت کم اهمیت بودن آنومالی و محدود بودن تعداد نمونه‌های کانی سنگین که می‌توان برداشت این منطقه کترول نشده است.
	Bay28	بست	جنوب غرب دره گاوان
	Bay29	باینچوب	غرب آل دره
	Bay30	باینچوب	شمال خنجره علیا
	Bay31	اسلام دشت	جنوب شرق گل چیدر
	Bay32	اسلام دشت	شمال چارکلان و زیر
	Bay33	هزارکاتیان	غرب ابراهیم آباد
	Bay34	بست	شمال کوه فنگچیان
	Bay35	هزارکاتیان	جنوب شرق دیاغ
	Bay36	بست	شمال شرق نرگله
	Bay37	بست	جنوب غرب دره موان
	Bay38	هزارکاتیان	جنوب گله سور
	Bay39	بست	غرب دره ویان خشکه
	Bay40	هزارکاتیان	غرب قلعه گاه
	Bay41	هزارکاتیان	شیخ کوزیا
	Bay42	باینچوب	جنوب شرق برد سفید
	Bay43	بست	شرق گاو گچ علیا
	Bay44	هزارکاتیان	غرب نمل شکن

- آنومالی شماره ۱؛ مدل های این آنومالی در جدول Bayenhub 1-Calc آورده شده است در این جدول دو کانسار دارای مجموع امتیازات حدود بیست می باشد که اولین مورد آن طلای کوارتز رگه ای کم سولفید با ۳۵/۹٪ و دومین مورد آن طلای مرتبط با گسلهای کم شیب با ۱۹/۴٪ می باشد. از دو تیپ کانسار احتمالی معرفی شده در این جدول هر دو مورد، از کانسارهای طلا (با محصول اصلی) است. برای محتمل ترین کانسار در جدول Bayenhub 1-ND و Bayenhub 1-I-N شرح عملیاتی که باید انجام گردد آورده شده است.

- آنومالی شماره ۲؛ مدل های حاصل از مدل سازی این آنومالی در جدول Bayenhub-3-Calc آورده شده است. در این جدول یک کانسار دارای مجموع امتیازات بالاتر از ۱۰ می باشد که عبارت است از کانسار تیپ طلای کوارتز رگه ای کم سولفید با ۱۰٪ امتیاز. این تیپ کانسار احتمالی معرفی شده در این جدول، کانسار با محصول اصلی طلا است. برای محتمل ترین تیپ کانسار منطبق بر این آنومالی در جدول Bayenhub 3-N و Bayenhub 3-ND شرح عملیاتی که باید در مورد آن انجام پذیرد آورده شده است.

- آنومالی شماره ۴؛ مدل های حاصل از مدل سازی این آنومالی در جدول Bayenhub-4-Calc آورده شده است. در این جدول یک کانسار دارای مجموع امتیازات بالاتر از ۲۰ می باشد که عبارت است از تیپ کوارتز رگه ای کم سولفید با ۳۷٪ امتیاز. این تیپ کانسار احتمالی معرفی شده؛ در این جدول، کانسار با محصول اصلی طلا است. برای محتمل ترین تیپ کانسار منطبق بر این آنومالی در جدول Bayenhub-4-N و Bayenhub-4-ND شرح عملیاتی که باید در مورد آن انجام پذیرد آورده شده است.

- آنومالی شماره ۵؛ مدل های حاصل از مدل سازی این آنومالی در جدول Bayenhub-5-Calc آورده شده است. در این جدول چهار کانسار دارای مجموع امتیازات بالاتر از ۲۰ می باشد، که اولین مورد آن آستیموان رگه ای ساده با ۴۱/۹٪ امتیاز و آخرین مورد آن مولیبدن پرفیری کم فلوئور با ۲۶/۶٪ امتیاز می باشد. از چهار تیپ کانسار احتمالی معرفی شده در این جدول، مدل سوم کانسار با محصول اصلی طلا است و مدل های اول و دوم از

کانسارهای با محصول فرعی طلاتقی می شوند. برای محتمل ترین تیپ کانسار منطبق بر این آنومالی در جدول Bayenchub-5-1N و Bayenchub-5-IND شرح عملیاتی که باید در مورد آن انجام پذیرد آورده شده است.

- آنومالی شماره ۶؛ مدل های حاصل از مدل سازی این آنومالی در جدول Bayenchub-6-Calc آورده شده است. در این جدول دو کانسار دارای مجموع امتیازات بالاتر از ۲۰ می باشد، که اولین مورد آن آهن اسکارنی با  $32/3$ % امتیاز و دومین مورد آن سرب و روی اسکارنی با امتیاز  $23/8$ % می باشد. برای محتمل ترین تیپ کانسار منطبق بر آنومالی در جدول Bayenchub-6-1N شرح عملیاتی که باید در مورد آن انجام پذیرد آورده شده است.

- آنومالی شماره ۸؛ مدل های حاصل از مدل سازی این آنومالی در جدول Bayenchub-8-Calc آورده شده است. در این جدول چهار کانسار دارای مجموع امتیاز بالاتر از ۲۰ می باشد که اولین مورد آن طلا کوارتز رگه ای کم سولفید با  $30/8$ % امتیاز و آخرین مورد آن آهن اسکارنی با  $21/8$ % امتیاز می باشد. از چهار تیپ کانسار احتمالی معروفی شده در این جدول، مدل اول از نوع کانسار طلا (با محصول اصلی) است، برای محتمل ترین تیپ کانسار منطبق بر این آنومالی در جدول Bayenchub-8-1-N شرح عملیاتی که باید در مورد آن انجام پذیرد آورده شده است.

- آنومالی شماره ۱۰؛ مدل های حاصل از مدل سازی این آنومالی در جدول Bayenchub10-Calc آورده شده است. در این جدول یک کانسار دارای مجموع امتیاز بالاتر از ۲۰ می باشد که عبارت است از جیوه با میزان سیلیسی کربناتی با  $24/9$ % امتیاز. برای محتمل ترین تیپ کانسار منطبق بر این آنومالی در جدول Bayenchub10-N شرح عملیاتی که باید در مورد آن انجام پذیرد آورده شده است.

- آنومالی شماره ۱۱؛ مدل های حاصل از مدل سازی این آنومالی در جدول Bayenchub11-Calc آورده شده است. در این جدول یک کانسار دارای مجموع امتیاز بالاتر از ۲۰ می باشد یعنی طلا کوارتز رگه ای کم سولفید با  $31/2$ % امتیاز و بخاطر این که این

آنومالی در موقعیت جفرانیائی تازه آبادگلانه واقع شده و در فاز کنترل آنومالی ها مشخص شد که این منطقه با اهمیت می باشد بنابراین دو تیپ کانسار احتمالی دیگر که مجموع امتیاز آنها کمتر از ۲۰ است نیز معرفی شده اند، یکی از آنها جیوه با میزان سیلیسی کربناتی با ۱۷٪ امتیاز و دیگری طلا، نقره چشمی آب گرم با ۱۶/۴٪ امتیاز می باشد. از سه تیپ کانسار احتمالی معرفی شده در این جدول دو مورد کانسار طلا (با محصول اصلی) است. برای محتمل ترین تیپ کانسار منطبق بر این آنومالی در جدول Bayenchub 11-1-N شرح عملیاتی که باید در مورد آن انجام پذیرد آورده شده است.

- آنومالی شماره ۱۲: مدل های حاصل از مدل سازی این آنومالی در جدول Bayenchub-12-Calc آورده شده است. در این جدول یک کانسار دارای مجموع امتیاز بالاتر از ۱۸ می باشد که عبارت است از تیپ کانسار طلای مرتبه با گسلهای کم شیب با ۱۸/۵٪ امتیاز. برای محتمل ترین تیپ کانسار منطبق بر این آنومالی در جدول Bayenchub-12-N شرح عملیاتی که باید در مورد آن انجام پذیرد آورده شده است.

۴-۲- معرفی مناطق امیدبخش اولویت بندی شده (نهایی)،  
با توجه به جمیع جهات مناطقی که برای بررسیهای اکتشافی بیشتر در اولویت قرار می گیرند عبارتند از:

۱- اولویت اول (شامل ۷ مورد):  
 محل آنومالی ها در شکل (۶-۸) و نقشه شماره ۱۰ نشان داده شده است. مساحت آنها حدود ۱۰۰ کیلومتر مربع است.

مدل های با امتیازات بیش از ۲۰٪ به ترتیب رتبه شامل:

- آنومالی شماره ۵ واقع در بنارچان

- آنومالی شماره ۴ واقع در شاه قلعه - توکلان

- آنومالی شماره ۱ واقع در شمال شرق گوگجه

- آنومالی شماره ۶ واقع در آب باره

- آنومالی شماره ۱۱ واقع در تازه آبادگلانه

- آنومالی شماره ۸ واقع در شمال شرق خالباز

- آنومالی شماره ۱۰ واقع در گله سور - بردش

#### ۲- اولویت دوم (شامل ۲ مورد)

مساحت این مناطق حدود ۱۲ کیلومتر مربع بوده و شامل مناطق زیر است:

- آنومالی شماره ۱۲ واقع در افرازیاب

- آنومالی شماره ۳ واقع در پنج کیلومتری غرب شاه قلعه

در تمام روش های آماری قبلی به کار گرفته شده در انتخاب آنومالی ها و معروفی مناطق امیدبخش، مختصات محل نمونه و در نتیجه ساختار فضایی احتمالی آن در نظر گرفته نشده است. از آن جا که داده های ژئوشیمیایی در رسویات آبراهه ای ممکن است دارای ساختار فضایی خاصی باشند، استفاده از یک روش آماری که تواند ساختار احتمالی را در محاسبات خود شرکت دهد و از این طریق تواند به معروفی دقیقتر مناطق امیدبخش پردازد می تواند بسیار مفید باشد. تکنیک استفاده از آمار  $Au$  قادر به چنین بھیه سازی می باشد. اشکال ۱-۸ تا ۵-۸ مناطق امیدبخش بھیه شده را به ترتیب برای متغیرهای  $Au$ ، ردیاب های  $Au$ ،  $B+Be$ ،  $Mo+Ag$  و  $Pb+Zn$  نشان می دهد. شکل ۱-۸ مناطق امیدبخش بھیه شده را برای  $Au$  به عنوان معروف کانی سازی طلا نشان می دهد که چهار مورد نشان داده شده، توسط این شکل منطبق بر آنومالی های اولویت بندی شده معروفی شده است. این آنومالی ها عبارتند از: آنومالی های شماره ۱، ۳، ۱۱ و ۱۲ که آنومالی های ۱ و ۱۱ جزو اولویت های اول و دو مورد دیگر جزو اولویت های دوم می باشند. برخلاف برگه آلوت در این برگه آنومالی های طلا ساختار چندان منظمی نشان نمی دهند (خصوصاً آنومالی های شماره ۱۱ و ۱۲) و در برخی قسمت ها منطقه آنومال بلافتاصله در کنار حد زیست ناچیه ای قرار می گیرد. شکل ۲-۸ مناطق امیدبخش بھیه شده برای عناصر ردیاب طلا بر پایه تاییج رگرسیون چند متغیره  $[13]$  / را نشان می دهد. برای رسم این شکل ابتدا داده های شاخص غنی شدگی نرمال و استاندارد شده و سپس رگرسیون چند متغیره شده اند و متغیر زیر به عنوان ردیاب طلا حاصل شده است:  $Au=0.14Sb+0.15Cu+0.18W+0.1As$  تکنیک  $U$  پردازش شده اند. بر طبق این شکل تنها یک مورد از مناطق امیدبخش بھیه شده بر یکی از اولویت های معروفی شده (آنومالی شماره ۱) منطبق است. این آنومالی ساختار منظمی

نشان داده است و تنها در بخش جنوبی آن ساختار ضعیف می شود. در این شکل همچنین سه مورد از مناطق با اولویت اول شامل آنومالی های شماره ۸، ۱۰ و ۱۱ با اهمیت کمتر نشان داده شده اند.

شکل ۳-۸ مناطق امیدبخش بهینه شده را برای متغیر  $B+Be$  معرفی می کند. تنها منطقه امیدبخش بهینه شده نشان داده شده در این شکل بر هیچ یک از آنومالی های اولویت بندی شده منطبق نیست. این منطقه یک ساختار خیلی توی و منظم از خود نشان داده است. موقعیت جغرافیایی این آنومالی بین روستاهای هانه گلان و مادیان دول است. شکل ۴-۸ مناطق امیدبخش بهینه شده را برای متغیر  $Mo+Ag$  نشان می دهد. سه مورد از مناطق امیدبخش معرفی شده در این شکل بر آنومالی های شماره ۴، ۵ و ۸ منطبق می باشد، ساختارهای موجود در این شکل هیچ یک چندان منظم نمی باشند. شکل ۵-۸ مناطق امیدبخش بهینه شده برای متغیر  $Pb+Zn$  را به عنوان معرف کانی سازی فلزات پایه نشان می دهد. که تنها مورد معرفی شده بوسیله این شکل بر آنومالی شماره ۵ منطبق است و ساختار منظمی نشان داده است.

تذکر: گزارش بند ۱۲ شرح خدمات شامل محاسبه خطای آنالیز نمونه های ژئوشیمیائی و کانی سنگین برای هر سه برگه باینچوب، تیزتیز و کامیاران در فصل هشتم گزارش کامیاران یکجا آورده می شود.

## Bayenhub (Sheet 5361)

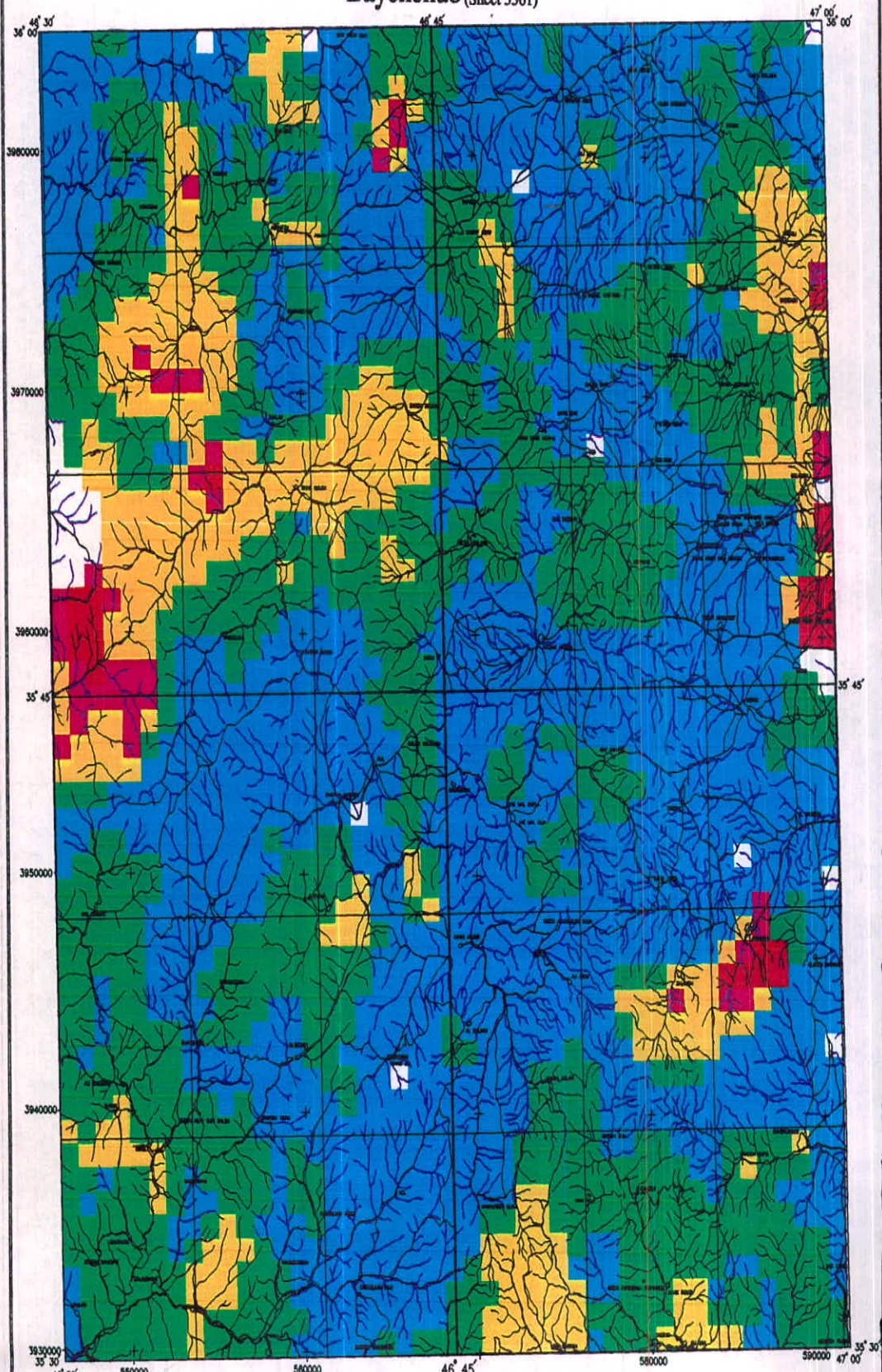


Fig.8-1 : Surface Grid Map of (U) Value for Au .

### Bayenhub (Sheet 5361)

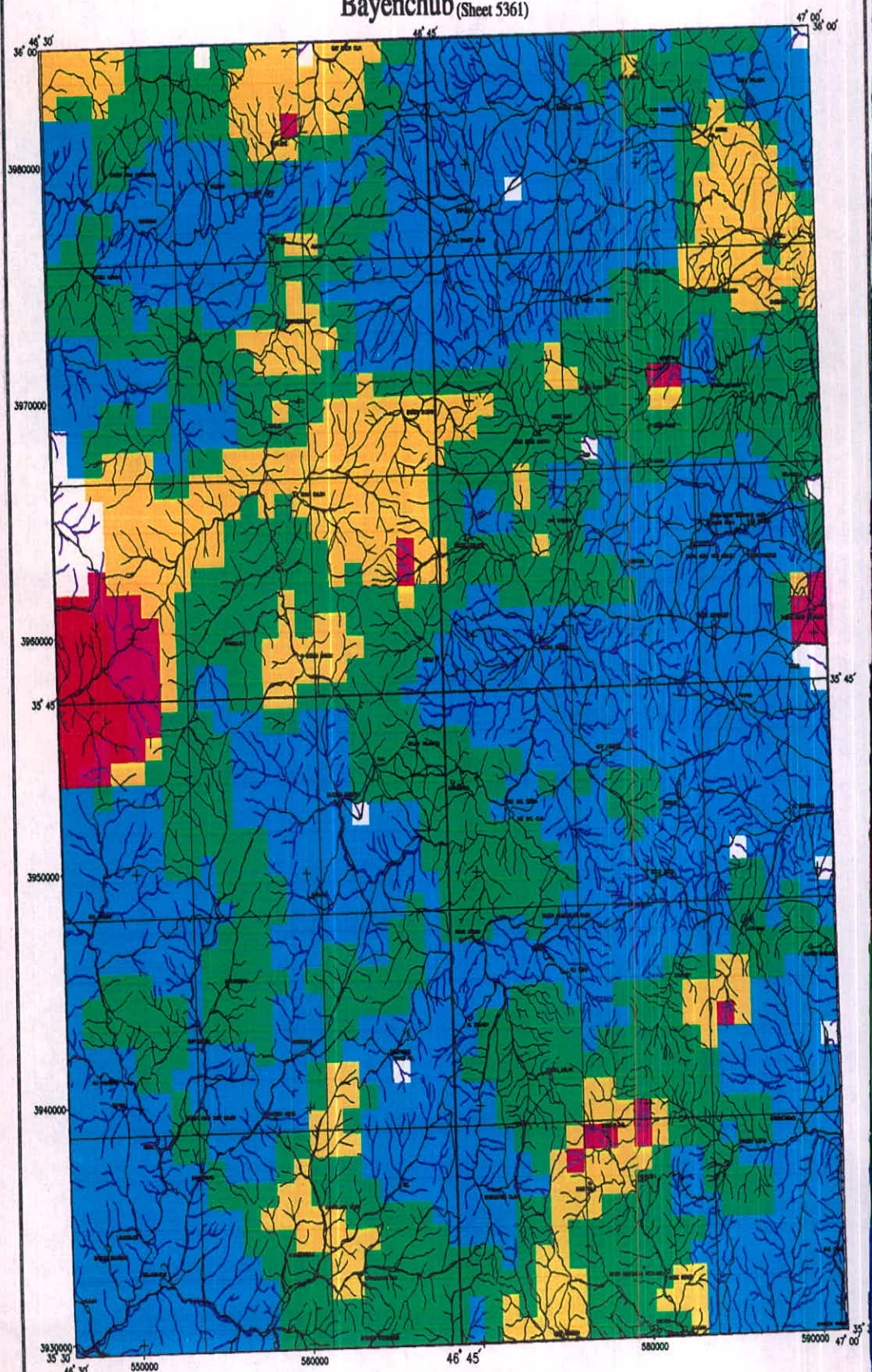


Fig.8-2 : Surface Grid Map of (U) Value for Au Pathfinders (Calculated Based on M.V. Regression Analysis).

### Bayenchub (Sheet 5361)

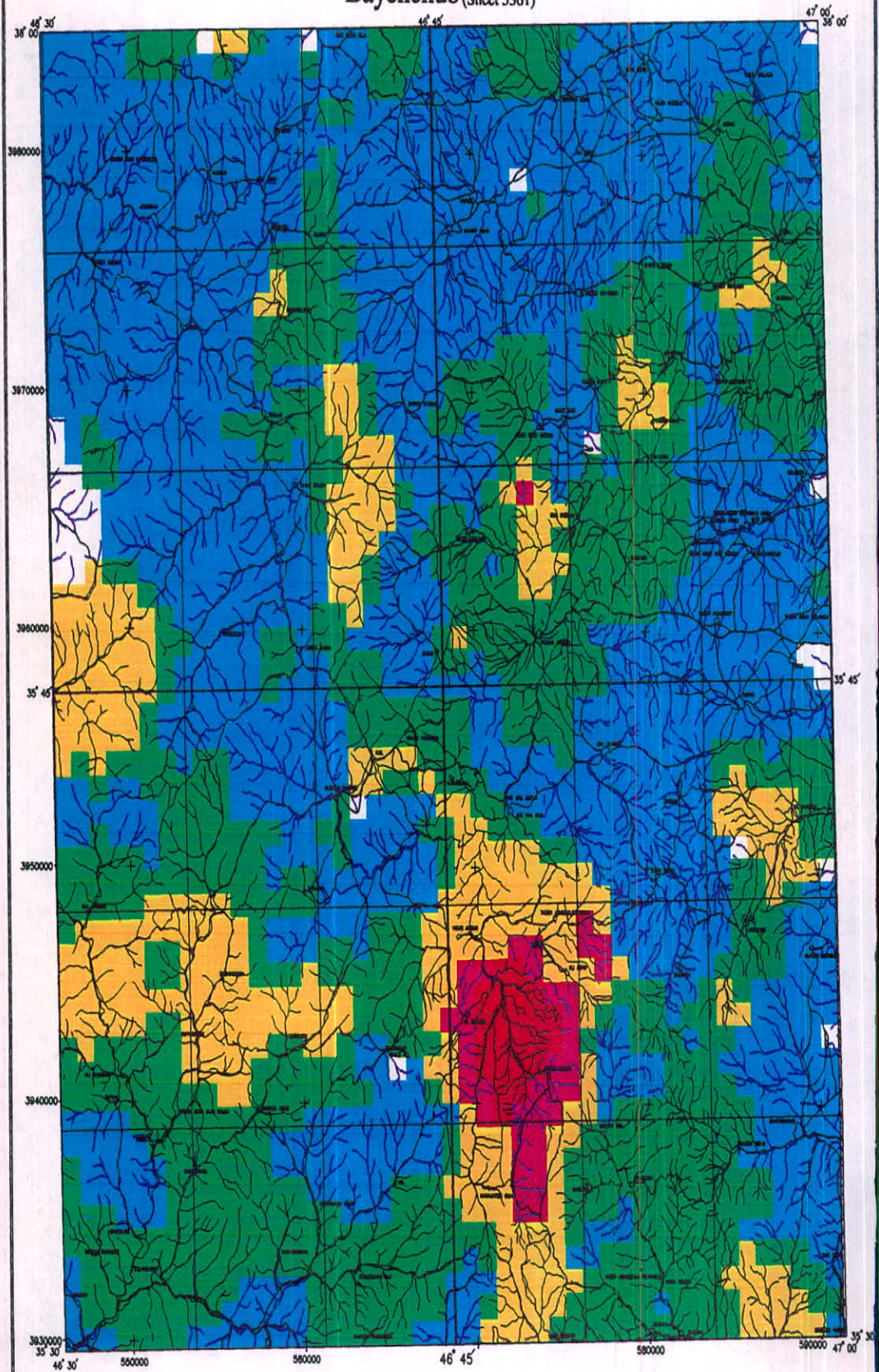


Fig.8-3 : Surface Grid Map of (U) Value for (B + Be).

### Bayenchub (Sheet 5361)

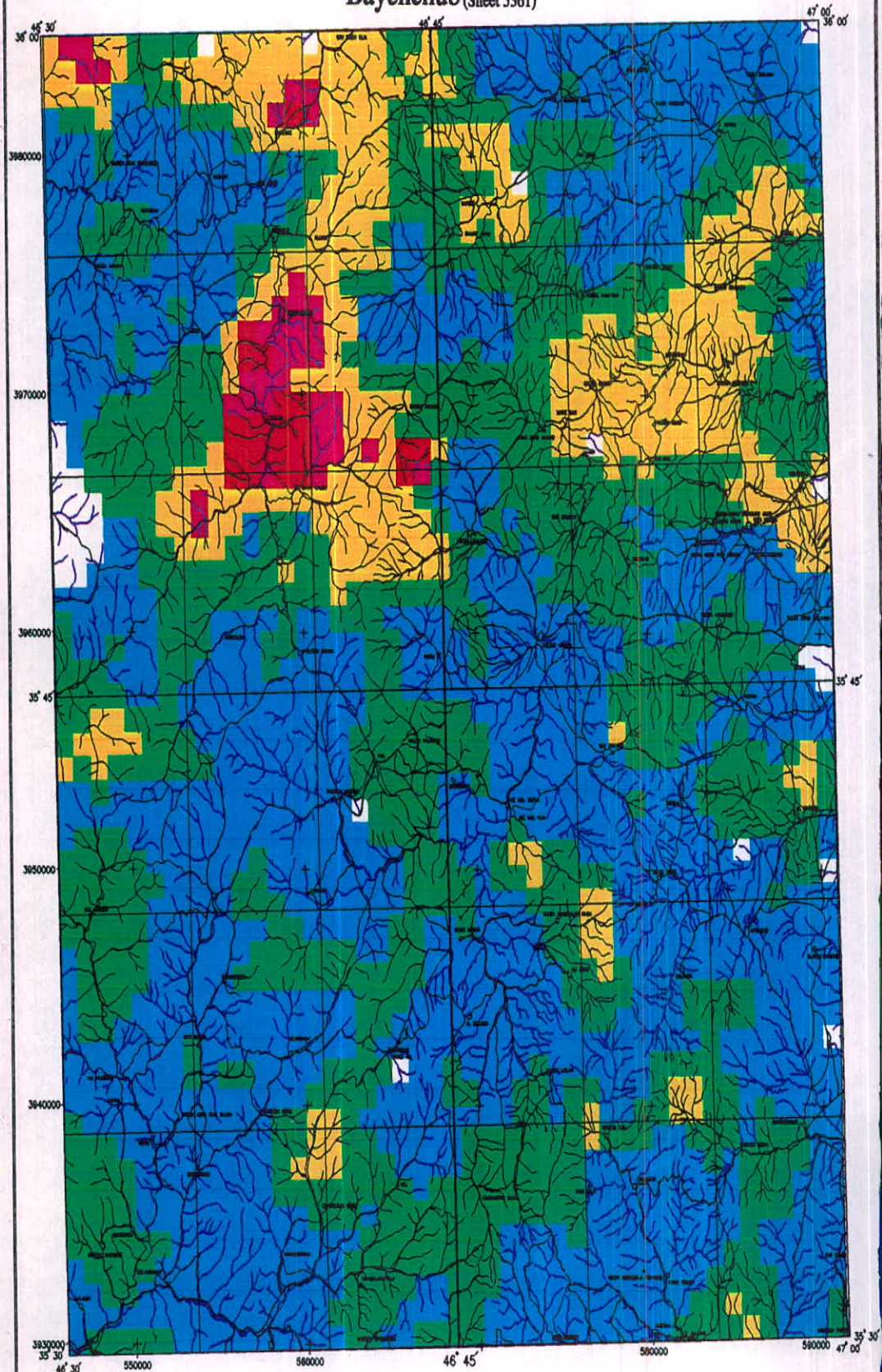


Fig.8-4 : Surface Grid Map of (U) Value for ( Mo + Ag ) .

### Bayenchub (Sheet 5361)

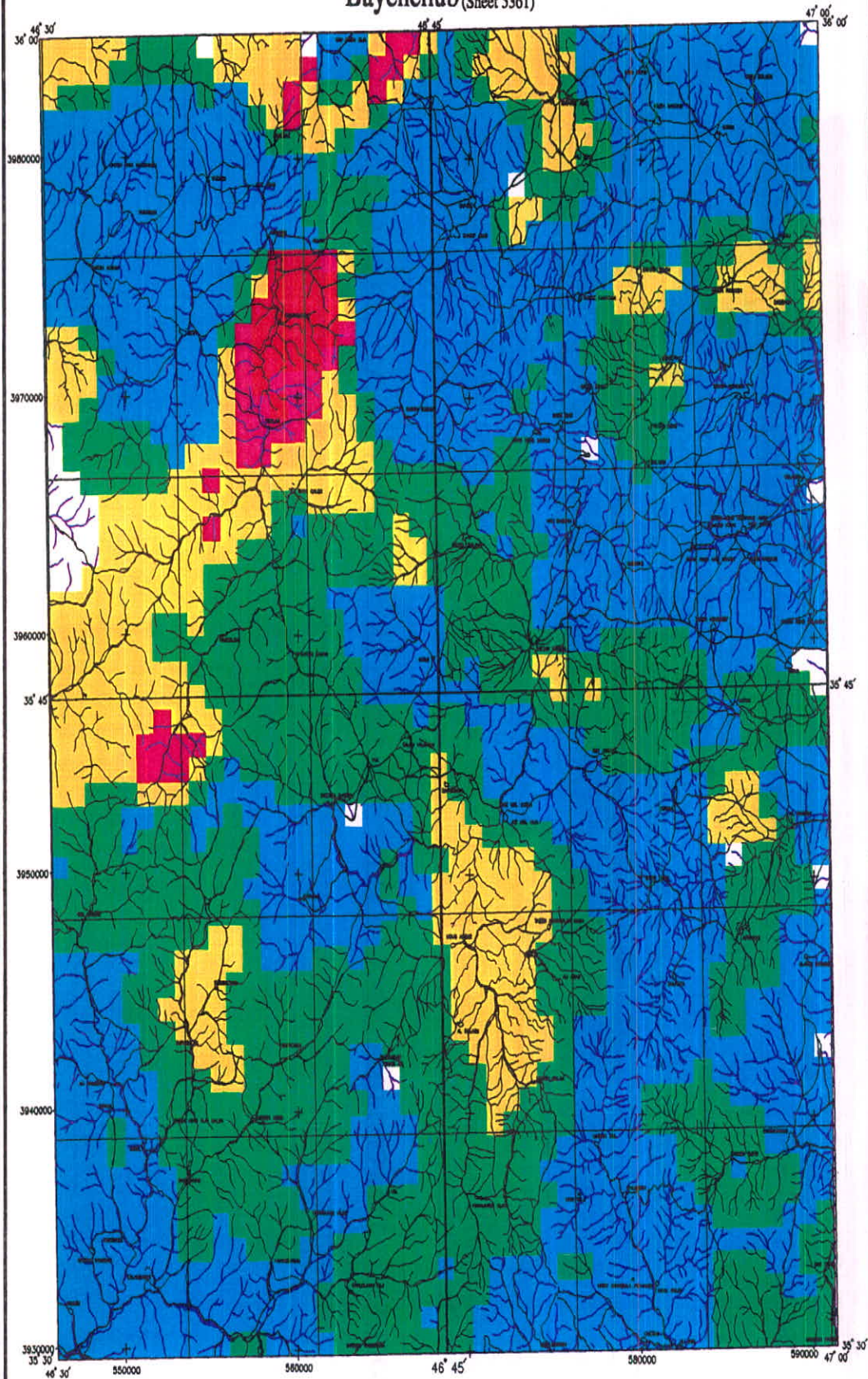


Fig.8-5 : Surface Grid Map of (U) Value for ( Pb + Zn ) .

Bayenchub (Sheet 5361)

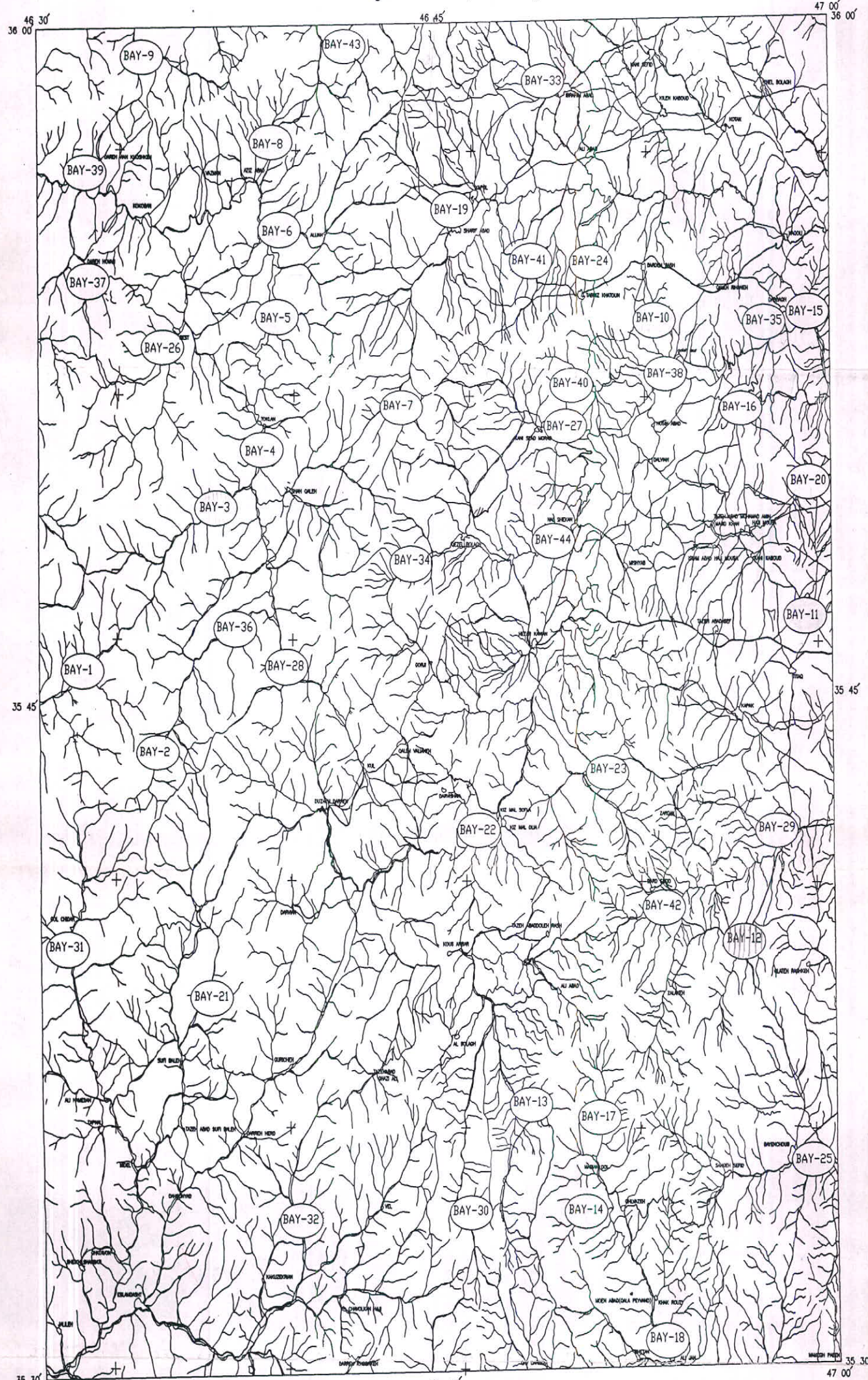


Fig. 8-6 Location Map of All 44 Anomal Area

# Bayenchub (Sheet 5361)

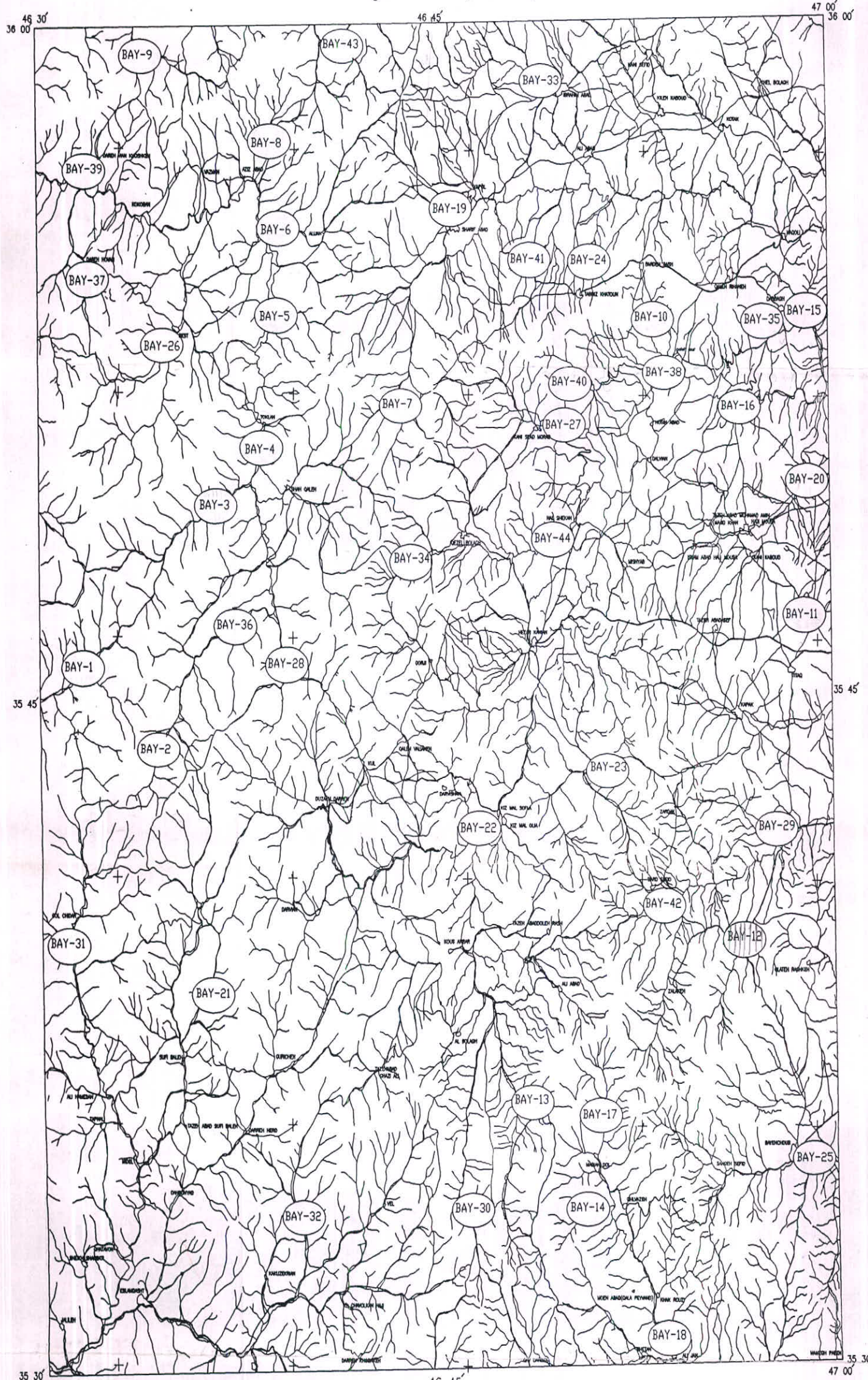


Fig. 8-6 : Location Map of All 44 Anomal Area

### فهرست منابع

- ۱- م.شاه پسندزاده، آگورابجیری، گزارش مقدماتی نقشه زمین شناسی ۱:۱۰۰،۰۰۰ باینچوب زیر نظر آقایان دکتر هوشمندزاده و دکتر نوگل.
- 2- Govett, G.J.S., (1994), *Handbook of Exploration Geochemistry*, Vol. 6.
- ۳- حسنی پاک، علی اصغر (۱۳۷۱)، نمونه برداری معدنی، انتشارات دانشگاه تهران (۲۱۴۰).
- 4- Cohen, A.C., 1961. *Tables for Maximum Likelihood Estimates*, *Technometrics*, 3(4): 535.541.
- 5- Govett, G.J.S., (1983), *Handbook of Exploration Geochemistry*, Vol.2 (*Statistics and Data Analysis in Geochemical Prospecting*), Elsevier.
- ۶- حسنی پاک، علی اصغر (۱۳۷۷)، زئوستاتیستیک، انتشارات دانشگاه تهران (۲۳۸۹).
- 7- Hair, J.F., Anderson, R.E., Tatham, R.L., and Black, W.C., 1995, *Multivariate Data Analysis with Reading*. Prentice Hall.
- ۸- حسنی پاک، علی اصغر (۱۳۷۶)، بهینه سازی پژوهش های اکتشافی، انتشارات بزد.
- 9- Cheng, Q., Agterberg, F.P., Bonham Carter, G.F., (1996), *A Spatial Analysis Method for Geochemical Anomaly Separation: Journal of Geochemical Exploration*, 56, P.183.195.
- 10- Ginsburg, I.I., *Principles of Geochemical Prospecting*, Trans. by V.P. Sokoloff, Newyork and London: Pergamon, 311P. 1960.
- 11- Cox, D.F. and Singer, D.A., 1986, *Ore Deposit Modeling*, U.S. Geological Survey Bulletin 1693.
- 12- Bliss, J.D., 1992, *Ore Deposit Modeling*, U.S. Geological Survey Bulletin 2004.
- ۱۳- حسنی پاک، علی اصغر (۱۳۷۸)، اکتشافات ذخایر طلا، انتشارات دانشگاه تهران (۲۴۴۱).

# جداول مدل سازی

برگه ۱۰۰،۰۰۰:۱ باینچوب

## Bayenchub1-Calc

No	Type	Positive Score		Negative Score		Overall Score	
		W	%P	W	%P	W	%P
81	Low-Sulfide Au-Quartz	1160	45.2	240	36.9	920	35.9
84	Flat Faults Au	560	33.4	235	35.6	325	19.4

## Bayenchub1-1-y

###	Low-Sulfide Au-Quartz	Pos. Score	Neg. Score	Interval S	State
516	SILICIFICATION PROCESSES	400	10	410	YES L
544	CARBONATES	200	20	220	YES L
207	METASEDIMENTARY ROCKS	75	10	85	YES R
1045	NATIVES GOLD	75	75	150	YES L
217	MAFIC METAVOLCANIC	60	10	70	YES R
828	As	60	75	135	YES L
830	Au	60	75	135	YES L
1072	PYRITE	60	75	135	YES L
17	LOW GRADE METAMORPHIC SEQUENCE	50	50	100	YES R
266	UNSTABLE CONDITION	15	0	15	YES R
279	COMPRESSIVE REGIME	15	0	15	YES R
289	FAULT SYSTEM	15	0	15	YES R
290	NORMAL FAULT	15	0	15	YES R
298	FRACTURE SYSTEM	15	0	15	YES R
423	FAULTED STRUCTURE	15	0	15	YES R
424	NORMAL FAULT STRUCTURE	15	0	15	YES L
434	LOW GRADE METAMORPHISM	15	0	15	YES L
Total		1160	400	1560	

## Bayenchub1-1-N

####	Low-Sulfide Au-Quartz	Pos.Score	Neg.Score	Interval S	State
1215	Low-Sulfide Au-Quartz	150	0	150	L
487	EARLY ALBITIZATION	100	10	110	L
227	GREEN STONE	75	75	150	R
137	GRAYWACKE	60	10	70	R
829	Ag	60	75	135	L
863	Pb	45	30	75	L
916	ARSENOPYRITE	45	10	55	L
947	CHALCOPYRITE	45	10	55	L
996	GALENA	45	10	55	L
886	Zn	30	10	40	L
1077	PYRRHOTITE	30	0	30	L
281	ACCRETED MARGINE	15	0	15	R
318	ACTIVE CONTINENTAL MARGINE	15	0	15	R
528	ALBITE	15	0	15	L
559	DOLOMITE	15	0	15	L
584	QUARTZ	15	0	15	L
588	SERICITE	15	0	15	L
594	TALC	15	0	15	L
611	MECHANICAL ENRICHMENT	15	0	15	L
612	RESIDUAL MECHANICAL ENRICHMENT	15	0	15	L
634	QUARTZ CHIPS IN RESIDUAL SOIL	15	0	15	L
643	Au ENRICHMENT IN SOIL	15	0	15	L
821	REGULAR VIEN	15	0	15	L
Total		865	240	1105	

## Bayenchub1-1-ND

####	Low-Sulfide Au-Quartz	Pos.Score	Neg.Score	Interval S	State
1196	Kuroko Massive sulfide	150	0	150	nd
1216	Homestake Au	150	0	150	nd
1223	Placer Au-PGE	150	0	150	nd
164	CHERT	30	5	35	R
744	DESIMINATED	15	0	15	nd
822	IRREGULAR VIEN	15	0	15	nd
826	VEIN LETS	15	0	15	nd
877	Te	15	5	20	nd
Total		540	10	550	

## Bayenchub1-2-Y

####	Flat Faults Au	Pos. Score	Neg. Score	Interval S	State
233	PHANEROZOIC	100	0	100	YES R
516	SILICIFICATION PROCESSES	100	10	110	YES L
226	BRECCIA	75	75	150	YES R
830	Au	60	75	135	YES L
1045	NATIVES GOLD	60	75	135	YES L
225	MYLONITE	45	45	90	YES R
1010	HEMATITE	30	75	105	YES L
266	UNSTABLE CONDITION	15	0	15	YES R
279	COMPRESSORIAL REGIME	15	0	15	YES R
289	FAULT SYSTEM	15	0	15	YES R
423	FAULTED STRUCTURE	15	0	15	YES L
434	LOW GRADE METAMORPHISM	15	0	15	YES L
565	HEMATITE	15	0	15	YES L
Total		560	355	915	

## Bayenchub1-2-N

####	Flat Faults Au	Pos. Score	Neg. Score	Interval S	State
1218	Flat Faults Au	150	0	150	L
230	PRECAMBRIAN	100	0	100	R
514	CHLORITIZATION	100	10	110	L
16	METAMORPHIC SEQUENCE	50	50	100	R
832	Ba	30	10	40	L
837	Cu	30	75	105	L
947	CHALCOPYRITE	30	30	60	L
1094	SPECULAR HEMATITE	30	30	60	L
54	PLUTONIC FELSIC BODY	15	15	30	R
87	FELSIC VOLCANIC BODY	15	15	30	R
293	TRUST FAULT	15	0	15	R
427	TRUST FAULT STRUCTURE	15	0	15	L
433	LATE STAGE DEFORMED STRUCTURE	15	0	15	L
545	CALCITE	15	0	15	L
547	CHLORITE	15	0	15	L
584	QUARTZ	15	0	15	L
605	SURFACE AND NEAR SURFACE OXIDA	15	0	15	L
616	OXIDIZING LEACHING	15	0	15	L
791	STOCKWORK	15	0	15	L
802	TECTONIC BRECCIA	15	0	15	L
821	REGULAR VIEN	15	0	15	L
Total		715	235	950	

Bayenhub1-2-ND

####	Flat Faults Au	Pos. Score	Neg. Score	Interval S	State
1185	Epithermal Quartz-Alunite Au	150	0	150	nd L
521	HEMATITIZATION	100	10	110	nd L
845	F	45	30	75	nd L
844	Fe	30	30	60	nd L
610	SECONDARY ENRICHMENT PROCESSES	15	0	15	nd L
614	CHEMICAL SECONDARY ENRICHMENT	15	0	15	nd L
744	DESIMINATED	15	0	15	nd L
822	IRREGULAR VIEN	15	0	15	nd L
826	VEIN LETS	15	0	15	nd L
Total		400	70	470	

## Bayenhub3-Calc

No	Type	Positive Score		Negative Score		Overall Score	
		W	%P	W	%P	W	%P
81	Low-Sulfide Au-Quartz	705	27.5	430	66.2	275	10.7

## Bayenhub3-1-y

####	Low-Sulfide Au-Quartz	Pos. Score	Neg. Score	Interval S	State
516	SILICIFICATION PROCESSES	400	10	410	YES L
207	METASEDIMENTARY ROCKS	75	10	85	YES R
830	Au	60	75	135	YES L
1072	PYRITE	60	75	135	YES L
17	LOW GRADE METAMORPHIC SEQUENCE	50	50	100	YES R
266	UNSTABLE CONDITION	15	0	15	YES R
279	COMPRESSATIONAL REGIME	15	0	15	YES R
434	LOW GRADE METAMORPHISM	15	0	15	YES L
588	SERICITE	15	0	15	YES L
Total		705	220	925	

## Bayenchub3-1-N

####	Low-Sulfide Au-Quartz	Pos. Score	Neg. Score	Interval S	State
544	CARBONATES	200	20	220	L
1196	Kuroko Massive sulfide	150	0	150	L
1215	Low-Sulfide Au-Quartz	150	0	150	L
1216	Homestake Au	150	0	150	L
1223	Placer Au-PGE	150	0	150	L
487	EARLY ALBITIZATION	100	10	110	R
227	GREEN STONE	75	75	150	L
1045	NATIVES GOLD	75	75	70	R
137	GRAYWACKE	60	10	70	R
217	MAFIC METAVOLCANIC	60	10	135	L
828	As	60	75	135	L
829	Ag	60	75	75	L
863	Pb	45	30	55	L
916	ARSENOPYRITE	45	10	55	L
947	CHALCOPYRITE	45	10	55	L
996	GALENA	45	10	55	R
164	CHERT	30	5	35	L
886	Zn	30	10	40	LLR
1077	PYRRHOTITE	30	0	30	R
281	ACCRETED MARGINE	15	0	15	R
289	FAULT SYSTEM	15	0	15	R
290	NORMAL FAULT	15	0	15	R
298	FRACTURE SYSTEM	15	0	15	R
318	ACTIVE CONTINENTAL MARGINE	15	0	15	L
423	FAULTED STRUCTURE	15	0	15	L
424	NORMAL FAULT STRUCTURE	15	0	15	L
528	ALBITE	15	0	15	L
559	DOLOMITE	15	0	15	L
584	QUARTZ	15	0	15	L
594	TALC	15	0	15	L
611	MECHANICAL ENRICHMENT	15	0	15	L
612	RESIDUAL MECHANICAL ENRICHMENT	15	0	15	L
634	QUARTZ CHIPS IN RESIDUAL SOIL	15	0	15	L
744	DESIMINATED	15	0	15	L
821	REGULAR VIEN	15	0	15	L
Total		1800	425	2225	

## Bayenchub3-1-ND

####	Low-Sulfide Au-Quartz	Pos. Score	Neg. Score	Interval S	State
643	Au ENRICHMENT IN SOIL	15	0	15	nd L
822	IRREGULAR VIEN	15	0	15	nd L
826	VEIN LETS	15	0	15	nd L
877	Te	15	5	20	nd L
Total		60	5	65	

## Bayenchub4-Calc

No	Type	Positive Score		Negative Score		Overall Score	
		W	%P	W	%P	W	%P
81	Low-Sulfide Au-Quartz	1090	42.5	140	21.5	950	37.0

## Bayenchub4-1-Y

####	Low-Sulfide Au-Quartz	Pos.Score	Neg.Score	Interval S	State
516	SILICIFICATION PROCESSES	400	10	410	YES L
487	EARLY ALBITIZATION	100	10	110	YES L
1045	NATIVES GOLD	75	75	150	YES L
828	As	60	75	135	YES L
829	Ag	60	75	135	YES L
830	Au	60	75	135	YES L
1072	PYRITE	60	75	135	YES L
17	LOW GRADE METAMORPHIC SEQUENCE	50	50	100	YES R
863	Pb	45	30	75	YES L
886	Zn	30	10	40	YES L
266	UNSTABLE CONDITION	15	0	15	YES R
279	COMPRESSATIONAL REGIME	15	0	15	YES R
289	FAULT SYSTEM	15	0	15	YES R
290	NORMAL FAULT	15	0	15	YES R
298	FRACTURE SYSTEM	15	0	15	YES R
423	FAULTED STRUCTURE	15	0	15	YES L
424	NORMAL FAULT STRUCTURE	15	0	15	YES L
434	LOW GRADE METAMORPHISM	15	0	15	YES L
528	ALBITE	15	0	15	YES L
588	SERICITE	15	0	15	YES L
Total		1090	485	1575	

## Bayenchub4-1-N

####	Low-Sulfide Au-Quartz	Pos.Score	Neg.Score	Interval S	State
1215	Low-Sulfide Au-Quartz	150	0	150	L
207	METASEDIMENTARY ROCKS	75	10	85	R
227	GREEN STONE	75	75	150	R
137	GRAYWACKE	60	10	70	R
217	MAFIC METAVOLCANIC	60	10	70	R
916	ARSENOPYRITE	45	10	55	L
947	CHALCOPYRITE	45	10	55	L
996	GALENA	45	10	55	L
164	CHERT	30	5	35	R
1077	PYRRHOTITE	30	0	30	L
281	ACCRETED MARGINE	15	0	15	R
318	ACTIVE CONTINENTAL MARGINE	15	0	15	R
559	DOLOMITE	15	0	15	L
584	QUARTZ	15	0	15	L
611	MECHANICAL ENRICHMENT	15	0	15	L
612	RESIDUAL MECHANICAL ENRICHMENT	15	0	15	L
634	QUARTZ CHIPS IN RESIDUAL SOIL	15	0	15	L
821	REGULAR VIEN	15	0	15	L
Total		735	140	875	

## Bayenchub4-1-ND

####	Low-Sulfide Au-Quartz	Pos.Score	Neg.Score	Interval S	State
544	CARBONATES	200	20	220	nd L
1196	Kuroko Massive sulfide	150	0	150	nd L
1216	Homestake Au	150	0	150	nd L
1223	Placer Au-PGE	150	0	150	nd L
594	TALC	15	0	15	nd L
643	Au ENRICHMENT IN SOIL	15	0	15	nd L
744	DESIMINATED	15	0	15	nd L
822	IRREGULAR VIEN	15	0	15	nd L
826	VEIN LETS	15	0	15	nd L
877	Te	15	5	20	nd L
Total		740	25	765	

## Bayenhub5-Calc

No	Type	Positive Score		Negative Score		Overall Score	
		W	%P	W	%P	W	%P
60	Simple Sb	1230	49.3	185	24.7	1045	41.9
61	Disseminated Sb	1245	47.1	210	27.6	1035	39.1
81	Low-Sulfide Au-Quartz	1130	44.1	280	43.1	850	33.1
38	Porphyry-Mo, Low-F	1445	35.2	350	53.0	1095	26.6

## Bayenhub5-1Y

####	Simple Sb	Pos. Score	Neg. Score	Interval S	State
234	PALEOZOIC	100	0	100	YES R
243	MESOZOIC	100	0	100	YES R
493	SERICITIZATION	100	10	110	YES L
495	ARGILLIC ALTERATION	100	10	110	YES L
516	SILICIFICATION PROCESSES	100	10	110	YES L
54	PLUTONIC FELSIC BODY	75	75	150	YES R
87	FELSIC VOLCANIC BODY	75	75	150	YES R
120	SEDIMENTARY ROCKS	75	75	150	YES R
174	REGIONAL METAMORPHIC ROCKS	75	75	150	YES R
430	SHEAR ZONE	30	30	60	YES L
828	As	30	30	60	YES L
829	Ag	30	30	60	YES L
863	Pb	30	10	40	YES L
870	Sb	30	75	105	YES L
886	Zn	30	10	40	YES L
1072	PYRITE	30	10	40	YES L
7	FELSIC PLUTONIC SEQUENCE	25	25	50	YES R
16	METAMORPHIC SEQUENCE	15	15	30	YES R
266	UNSTABLE CONDITION	15	0	15	YES R
280	FOLDED BELTS	15	0	15	YES R
283	UPLIFT	15	0	15	YES R
284	OROGENIC	15	0	15	YES R
289	FAULT SYSTEM	15	0	15	YES R
298	FRACTURE SYSTEM	15	0	15	YES R
333	CONVERGENT PLATE BOUNDARY	15	0	15	YES R
423	FAULTED STRUCTURE	15	0	15	YES L
434	LOW GRADE METAMORPHISM	15	0	15	YES L
536	ARGILLITE	15	0	15	YES L
547	CHLORITE	15	0	15	YES L
588	SERICITE	15	0	15	YES L
Total		1230	565	1795	

## Bayenchub5-1N

####	Simple Sb	Pos.Score	Neg.Score	Interval S	State
1181	Hot Spring Au-Ag	150	0	150	L
1190	Carbonite-Hosted Au-Ag	150	0	150	L
1194	Simple Sb	150	0	150	L
1215	Low-Sulfide Au-Quartz	150	0	150	L
1223	Placer Au-PGE	150	0	150	L
247	TERTIARY	100	0	100	R
1103	STIBNITE	45	75	120	L
642	KERMESITE ENRICHMENT IN SOIL	30	0	30	L
830	Au	30	30	60	L
844	Fe	30	30	60	L
847	Hg	30	10	40	L
8	FELSIC VOLCANIC SEQUENCE	25	25	50	R
10	SEDIMENTARY SEQUENCE	15	15	30	R
282	MOBILE BELT	15	0	15	R
295	FAULTS INTERSECTIONS	15	0	15	R
589	SERPENTINE	15	0	15	L
605	SURFACE AND NEAR SURFACE OXIDA	15	0	15	L
614	CHEMICAL SECONDARY ENRICHMENT	15	0	15	L
615	LEACHING PROCESSES	15	0	15	L
616	OXIDIZING LEACHING	15	0	15	L
640	Sb-OXIDES ENRICHMENT IN SOIL	15	0	15	L
744	DESIMINATED	15	0	15	L
796	MASSIVE	15	0	15	L
806	LENS	15	0	15	L
814	BANDED	15	0	15	L
821	REGULAR VIEN	15	0	15	L
	Total	1250	185	1435	

## Bayenchub5-1ND

####	Simple Sb	Pos.Score	Neg.Score	Interval S	State
826	VEIN LETS	15	0	15	nd L
	Total	15	0	15	

## Bayenhub5-2Y

####	Disseminated Sb	Pos. Score	Neg. Score	Interval S	State
234	PALEOZOIC	100	0	100	YES R
243	MESOZOIC	100	0	100	YES R
493	SERICITIZATION	100	10	110	YES L
495	ARGILLIC ALTERATION	100	10	110	YES L
516	SILICIFICATION PROCESSES	100	10	110	YES L
54	PLUTONIC FELSIC BODY	75	75	150	YES R
87	FELSIC VOLCANIC BODY	75	75	150	YES R
120	SEDIMENTARY ROCKS	75	75	150	YES R
174	REGIONAL METAMORPHIC ROCKS	75	75	150	YES R
870	Sb	60	75	135	YES L
828	As	45	75	120	YES L
430	SHEAR ZONE	30	0	30	YES L
863	Pb	30	10	40	YES L
886	Zn	30	10	40	YES L
1072	PYRITE	30	10	40	YES L
7	FELSIC PLUTONIC SEQUENCE	25	25	50	YES R
16	METAMORPHIC SEQUENCE	15	15	30	YES R
266	UNSTABLE CONDITION	15	0	15	YES R
290	FOLDED BELTS	15	0	15	YES R
293	UPLIFT	15	0	15	YES R
284	OROGENIC	15	0	15	YES R
289	FAULT SYSTEM	15	0	15	YES R
298	FRACTURE SYSTEM	15	0	15	YES R
333	CONVERGENT PLATE BOUNDARY	15	0	15	YES R
423	FAULTED STRUCTURE	15	0	15	YES L
434	LOW GRADE METAMORPHISM	15	0	15	YES L
536	ARGILLITE	15	0	15	YES L
547	CHLORITE	15	0	15	YES L
588	SERICITE	15	0	15	YES L
Total		1245	550	1795	

## Bayenchub5-2N

####	Disseminated Sb	Pos. Score	Neg. Score	Interval S	State
1181	Hot Spring Au-Ag	150	0	150	L
1190	Carbonite-Hosted Au-Ag	150	0	150	L
1194	Simple Sb	150	0	150	L
1195	Disseminated Sb	150	0	150	L
1215	Low-Sulfide Au-Quartz	150	0	150	L
1223	Placer Au-PGE	150	0	150	L
247	TERTIARY	100	0	100	R
642	KERMESITE ENRICHMENT IN SOIL	30	0	30	L
744	DESIMINATED	30	0	30	L
745	MASSIVE	30	0	30	L
830	Au	30	75	105	L
844	Fe	30	10	40	L
847	Hg	30	10	40	L
1103	STIBNITE	30	75	105	L
8	FELSIC VOLCANIC SEQUENCE	25	25	50	R
10	SEDIMENTARY SEQUENCE	15	15	30	R
282	MOBILE BELT	15	0	15	R
295	FAULTS INTERSECTIONS	15	0	15	R
589	SERPENTINE	15	0	15	L
605	SURFACE AND NEAR SURFACE OXIDA	15	0	15	L
614	CHEMICAL SECONDARY ENRICHMENT	15	0	15	L
615	LEACHING PROCESSES	15	0	15	L
616	OXIDIZING LEACHING	15	0	15	L
640	Sb-OXIDES ENRICHMENT IN SOIL	15	0	15	L
821	REGULAR VIEN	15	0	15	L
Total		1385	210	1595	

## Bayenchub5-2ND

####	Disseminated Sb	Pos. Score	Neg. Score	Interval S	State
826	VEIN LETS	15	0	15	nd L
Total		15	0	15	

## Bayenchub5-3Y

####	Low-Sulfide Au-Quartz	Pos.Score	Neg.Score	Interval S	State
516	SILICIFICATION PROCESSES	400	10	410	YES L
544	CARBONATES	200	20	220	YES L
207	METASEDIMENTARY ROCKS	75	10	85	YES R
828	As	60	75	135	YES L
829	Ag	60	75	135	YES L
1072	PYRITE	60	75	135	YES L
17	LOW GRADE METAMORPHIC SEQUENCE	50	50	100	YES R
863	Pb	45	30	75	YES L
996	GALENA	45	10	55	YES L
886	Zn	30	10	40	YES L
266	UNSTABLE CONDITION	15	0	15	YES R
279	COMPRESSATIONAL REGIME	15	0	15	YES R
289	FAULT SYSTEM	15	0	15	YES R
298	FRACTURE SYSTEM	15	0	15	YES R
423	FAULTED STRUCTURE	15	0	15	YES L
434	LOW GRADE METAMORPHISM	15	0	15	YES L
588	SERICITE	15	0	15	YES L
Total		1130	365	1495	

## Bayenchub5-3N

####	Low-Sulfide Au-Quartz	Pos. Score	Neg. Score	Interval S	State
1196	Kuroko Massive sulfide	150	0	150	L
1215	Low-Sulfide Au-Quartz	150	0	150	L
1216	Homestake Au	150	0	150	L
1223	Placer Au-PGE	150	0	150	L
487	EARLY ALBITIZATION	100	10	110	L
227	GREEN STONE	75	75	150	R
1045	NATIVES GOLD	75	75	150	L
137	GRAYWACKE	60	10	70	R
217	MAFIC METAVOLCANIC	60	10	70	R
830	Au	60	75	135	L
916	ARSENOPYRITE	45	10	55	L
947	CHALCOPYRITE	45	10	55	L
164	CHERT	30	5	35	R
1077	PYRRHOTITE	30	0	30	L
281	ACCRETED MARGINE	15	0	15	R
290	NORMAL FAULT	15	0	15	R
318	ACTIVE CONTINENTAL MARGINE	15	0	15	R
424	NORMAL FAULT STRUCTURE	15	0	15	L
528	ALBITE	15	0	15	L
559	DOLOMITE	15	0	15	L
584	QUARTZ	15	0	15	L
594	TALC	15	0	15	L
611	MECHANICAL ENRICHMENT	15	0	15	L
612	RESIDUAL MECHANICAL ENRICHMENT	15	0	15	L
634	QUARTZ CHIPS IN RESIDUAL SOIL	15	0	15	L
744	DESIMINATED	15	0	15	L
821	REGULAR VIEN	15	0	15	L
Total		1375	280	1655	

## Bayenchub5-3ND

####	Low-Sulfide Au-Quartz	Pos. Score	Neg. Score	Interval S	State
643	Au ENRICHMENT IN SOIL	15	0	15	nd L
822	IRREGULAR VIEN	15	0	15	nd L
826	VEIN LETS	15	0	15	nd L
877	Te	15	5	20	nd L
Total		60	5	65	

## Bayenchub5-4Y

####	Porphyry-Mo, Low-F	Pos. Score	Neg. Score	Interval S	State
495	ARGILLIC ALTERATION	400	10	410	YES L
516	SILICIFICATION PROCESSES	400	10	410	YES L
243	MESOZOIC	100	0	100	YES R
54	PLUTONIC FELSIC BODY	75	75	150	YES R
87	FELSIC VOLCANIC BODY	75	10	85	YES R
7	FELSIC PLUTONIC SEQUENCE	50	50	100	YES R
65	GRANODIORITE	45	5	50	YES R
829	Ag	30	5	35	YES L
837	Cu	30	30	60	YES L
863	Pb	30	5	35	YES L
886	Zn	30	5	35	YES L
1072	PYRITE	30	75	105	YES L
1086	SCHEALITE	30	30	60	YES L
266	UNSTABLE CONDITION	15	0	15	YES R
289	FAULT SYSTEM	15	0	15	YES R
298	FRACTURE SYSTEM	15	0	15	YES R
423	FAULTED STRUCTURE	15	0	15	YES L
536	ARGILLITE	15	0	15	YES L
588	SERICITE	15	0	15	YES L
715	INEQUIGRANULAR TEXTURES	15	0	15	YES L
717	PORPHYRY	15	0	15	YES L
Total		1445	310	1755	

## Bayenchub5-4N

###	Porphyry-Mo, Low-F	Pos. Score	Neg. Score	Interval S	State
483	POTASIC FELDSPAR FORMATION	400	10	410	L
490	POROPLITIC ALTERATION	400	10	410	L
492	PHYLLOCALIC ALTERATION	400	10	410	L
1161	Skarn-Cu	150	0	150	L
1171	Porphyry-Cu-Mo	150	0	150	L
1172	Porphyry-Mo, Low-F	150	0	150	L
1173	Volcanic-Hosted Cu-As-Sb	150	0	150	L
247	TERTIARY	100	0	100	R
1038	MOLYBDENITE	60	75	135	L
64	MONZOGRANITE	45	5	50	R
66	TONALITE	45	5	50	R
72	QUARTZ MONZONITE	45	5	50	R
830	Au	30	5	35	L
854	Mo	30	75	105	L
865	Re	30	5	35	L
882	W	30	30	60	L
947	CHALCOPYRITE	30	75	105	L
1115	TETRAHEDERITE	30	30	60	L
290	NORMAL FAULT	15	0	15	R
295	FAULTS INTERSECTIONS	15	0	15	R
318	ACTIVE CONTINENTAL MARGINE	15	0	15	R
341	ARC RELATED	15	0	15	R
424	NORMAL FAULT STRUCTURE	15	0	15	R
528	ALBITE	15	0	15	L
529	K-FELDSPAR	15	0	15	L
530	MICROCLINE	15	0	15	L
541	BIOTITE	15	0	15	L
545	CALCITE	15	0	15	L
553	KAOLINITE	15	0	15	L
554	MONTMORILLONITE	15	0	15	L
555	SMECTITE	15	0	15	L
560	EPIDOT	15	0	15	L
605	SURFACE AND NEAR SURFACE OXIDA	15	0	15	L
614	CHEMICAL SECONDARY ENRICHMENT	15	0	15	L
615	LEACHING PROCESSES	15	0	15	L
616	OXIDIZING LEACHING	15	0	15	L
645	FERRO-MOLYBDENITE ENRICHMENT I	15	0	15	L
654	Cu-CARBONATE STAINS	15	0	15	L
712	APLITIC	15	0	15	L
744	DESIMINATED	15	0	15	L
791	STOCKWORK	15	0	15	L
845	F	15	5	20	L
849	K	15	5	20	L
Total		2650	350	3000	

## Bayenchub5-4ND

###	Porphyry-Mo, Low-F	Pos. Score	Neg. Score	Interval S	State
826	VEIN LETS	15	0	15	nd L
	Total	15	0	15	

## Bayenchub6-Calc

No	Type	Positive Score		Negative Score		Overall Score	
		W	%P	W	%P	W	%P
29	Skarn-Fe	610	45.9	180	30.3	430	32.3
28	Skarn-Pb-Zn	790	47.0	390	41.3	400	23.8

## Bayenchub6-1-Y

####	Skarn-Fe	Pos. Score	Neg. Score	Interval S	State
475	SKARNIZATION METASOMATIC PROCE	100	10	110	YES L
54	PLUTONIC FELSIC BODY	75	45	120	YES R
147	CARBONATE ROCKS	75	75	150	YES R
886	Zn	60	75	135	YES L
1029	MAGNETITE	60	75	135	YES L
830	Au	30	75	105	YES L
837	Cu	30	30	60	YES L
1072	PYRITE	30	30	60	YES L
266	UNSTABLE CONDITION	15	0	15	YES R
283	UPLIFT	15	0	15	YES R
317	CONTINENTAL PLATE MARGINE	15	0	15	YES R
354	CONTINENTAL CRUST PLUTONIC MAG	15	0	15	YES R
385	X=SMALL IGNEOUS INTRUSIVE Y=MI	15	0	15	YES L
560	EPIDOT	15	0	15	YES L
564	GROSSULAR	15	0	15	YES L
715	INEQUIGRANULAR TEXTURES	15	0	15	YES L
717	PORPHYRY	15	0	15	YES L
725	GRANOBLASTIC	15	0	15	YES L
Total		610	415	1025	

## Bayenhub6-1-N

###	Skarn-Fe	Pos.Score	Neg.Score	Interval S	State
1163	Skarn-Fe	150	0	150	L
107	DIABASE	30	5	35	R
831	Be	30	5	35	L
833	B	30	5	35	L
885	Zr	30	5	35	L
947	CHALCOPYRITE	30	30	60	L
1077	PYRRHOTITE	30	30	60	L
5	INTERMEDIATE PLUTONIC SEQUENCE	25	25	50	R
7	FELSIC PLUTONIC SEQUENCE	25	25	50	R
889	MAGNETIC-HIGH	25	50	75	L
268	RIFT SYSTEM	15	0	15	R
270	MARGINAL CONTINENTAL RIFT SYST	15	0	15	R
284	OROGENIC	15	0	15	R
318	ACTIVE CONTINENTAL MARGINE	15	0	15	R
326	OCEANIC PLATE MARGINE	15	0	15	R
327	OCEANIC PLATE MARGINE-ARC	15	0	15	R
331	CONTINENTAL DIVERGENT BOUNDARY	15	0	15	R
334	OCEANIC-OCEANIC SUBDUCTION	15	0	15	R
336	OCEANIC-CONTINENTAL SUBDUCTION	15	0	15	R
341	ARC RELATED	15	0	15	R
345	RIFT RELATED MAGMATISM	15	0	15	R
348	SUBDUCTION RELATED MAGMATISM	15	0	15	R
350	ARC RELATED MAGMATISM	15	0	15	R
380	X=FELSIC PLUTON Y=MEUGEOSYNCLI	15	0	15	L
558	DIOPSID	15	0	15	L
605	SURFACE AND NEAR SURFACE OXIDA	15	0	15	L
630	MAGNETITE IN RESIDUAL SOIL	15	0	15	L
730	HORNFELSIC	15	0	15	L
745	MASSIVE	15	0	15	L
869	Sn	15	0	15	L
Total		705	180	885	

## Bayenhub6-2-V

###	Skarn-Pb-Zn	Pos. Score	Neg. Score	Interval S	State
475	SKARNIZATION METASOMATIC PROCE	100	10	110	YES L
147	CARBONATE ROCKS	75	75	150	YES R
54	PLUTONIC FELSIC BODY	60	45	105	YES R
863	Pb	45	45	105	YES R
886	Zn	45	75	120	YES L
996	GALENA	45	75	120	YES L
828	As	30	75	120	YES L
830	Au	30	30	60	YES L
837	Cu	30	30	60	YES L
882	W	30	75	105	YES L
1029	MAGNETITE	30	10	40	YES L
1045	NATIVES GOLD	30	10	40	YES L
1072	PYRITE	30	5	35	YES L
1086	SCHEALITE	30	30	60	YES L
266	UNSTABLE CONDITION	15	10	40	YES L
283	UPLIFT	15	0	15	YES R
316	PLATE MARGINE	15	0	15	YES R
333	CONVERGENT PLATE BOUNDARY	15	0	15	YES R
344	OROGENIC RELATED MAGMATISM	15	0	15	YES R
354	CONTINENTAL CRUST PLUTONIC MAG	15	0	15	YES R
385	X=SMALL IGNEOUS INTRUSIVE Y=MI	15	0	15	YES L
411	MESOZONAL MAGMATISM	15	0	15	YES L
547	CHLORITE	15	0	15	YES L
564	GROSSULAR	15	0	15	YES L
715	INEQUIGRANULAR TEXTURES	15	0	15	YES L
717	PORPHYRY	15	0	15	YES L
Total		790	555	1345	

## Bayenchub6-2-N

####	Skarn-Pb-Zn	Pos. Score	Neg. Score	Interval S	State
1161	Skarn-Cu	150	0	150	L
1162	Skarn-Pb-Zn	150	0	150	L
928	BORNITE	45	10	55	L
992	FLUORITE	45	75	120	L
829	Ag	30	75	105	L
836	Co	30	10	40	L
845	F	30	10	40	L
853	Mn	30	75	105	L
869	Sn	30	10	40	L
916	ARSENOPYRITE	30	10	40	L
926	BISMUTHINITE	30	10	40	L
1047	NATIVES SILVER	30	5	35	L
1077	PYRRHOTITE	30	30	60	L
1101	STANNITE	30	5	35	L
5	INTERMEDIATE PLUTONIC SEQUENCE	25	25	50	R
7	FELSIC PLUTONIC SEQUENCE	25	25	50	R
318	ACTIVE CONTINENTAL MARGINE	15	0	15	R
336	OCEANIC-CONTINENTAL SUBDUCTION	15	0	15	R
341	ARC RELATED	15	0	15	R
348	SUBDUCTION RELATED MAGMATISM	15	0	15	R
350	ARC RELATED MAGMATISM	15	0	15	L
605	SURFACE AND NEAR SURFACE OXIDA	15	0	15	L
655	Mn-OXIDES STAINS	15	0	15	L
745	MASSIVE	15	5	20	L
831	Be	15	0	25	L
871	S	15	10	25	L
Total		890	390	1280	

## Bayenchub8-Calc

No	Type	Positive Score		Negative Score		Overall Score	
		W	%P	W	%P	W	%P
81	Low-Sulfide Au-Quartz	1170	45.6	380	58.5	790	30.8
26	Porphyry-skarn-Cu	1030	37.5	275	42.6	755	27.5
38	Porphyry-Mo, Low-F	1250	30.4	340	51.5	910	22.1
29	Skarn-Fe	480	36.1	190	31.9	290	21.8

## Bayenchub8-1-Y

####	Low-Sulfide Au-Quartz	Pos. Score	Neg. Score	Interval S	State
516	SILICIFICATION PROCESSES	400	10	410	YES L
544	CARBONATES	200	20	220	YES L
487	EARLY ALBITIZATION	100	10	110	YES L
207	METASEDIMENTARY ROCKS	75	10	85	YES R
217	MAFIC METAVOLCANIC	60	10	70	YES R
830	Au	60	75	135	YES L
1072	PYRITE	60	75	135	YES L
17	LOW GRADE METAMORPHIC SEQUENCE	50	50	100	YES R
886	Zn	30	10	40	YES L
266	UNSTABLE CONDITION	15	0	15	YES R
279	COMPRESSIVE REGIME	15	0	15	YES R
289	FAULT SYSTEM	15	0	15	YES R
290	NORMAL FAULT	15	0	15	YES R
298	FRACTURE SYSTEM	15	0	15	YES R
423	FAULTED STRUCTURE	15	0	15	YES L
424	NORMAL FAULT STRUCTURE	15	0	15	YES L
434	LOW GRADE METAMORPHISM	15	0	15	YES L
588	SERICITE	15	0	15	YES L
Total		1170	270	1440	

## Bayenchub8-1-N

####	Low-Sulfide Au-Quartz	Pos.Score	Neg.Score	Interval S	State
1196	Kuroko Massive sulfide	150	0	150	L
1215	Low-Sulfide Au-Quartz	150	0	150	L
1216	Homestake Au	150	0	150	L
1223	Placer Au-PGE	150	0	150	L
227	GREEN STONE	75	75	150	R
1045	NATIVES GOLD	75	75	150	L
137	GRAYWACKE	60	10	70	R
828	As	60	75	135	L
829	Ag	60	75	135	L
863	Pb	45	30	75	L
916	ARSENOPYRITE	45	10	55	L
947	CHALCOPYRITE	45	10	55	L
996	GALENA	45	10	55	L
164	CHERT	30	5	35	R
1077	PYRRHOTITE	30	0	30	L
281	ACCRETED MARGINE	15	0	15	R
318	ACTIVE CONTINENTAL MARGINE	15	0	15	R
528	ALBITE	15	0	15	L
559	DOLOMITE	15	0	15	L
584	QUARTZ	15	0	15	L
594	TALC	15	0	15	L
611	MECHANICAL ENRICHMENT	15	0	15	L
612	RESIDUAL MECHANICAL ENRICHMENT	15	0	15	L
634	QUARTZ CHIPS IN RESIDUAL SOIL	15	0	15	L
643	Au ENRICHMENT IN SOIL	15	0	15	L
744	DESIMINATED	15	0	15	L
821	REGULAR VIEN	15	0	15	L
822	IRREGULAR VIEN	15	0	15	L
826	VEIN LETS	15	0	15	L
877	Te	15	5	20	L
Total		1395	380	1775	

## Bayenhub8-2-Y

###	Porphyry-skarn-Cu	Pos. Score	Neg. Score	Interval S	State
492	PHYLLOCALIC ALTERATION	400	10	410	YES L
54	PLUTONIC FELSIC BODY	75	45	120	YES R
147	CARBONATE ROCKS	75	75	150	YES R
837	Cu	45	75	120	YES L
854	Mo	45	75	120	YES L
1029	MAGNETITE	45	10	55	YES L
830	Au	30	30	60	YES L
834	Bi	30	5	35	YES L
886	Zn	30	10	40	YES L
1072	PYRITE	30	30	60	YES L
1086	SCHEALITE	30	5	35	YES L
266	UNSTABLE CONDITION	15	0	15	YES R
283	UPLIFT	15	0	15	YES R
290	NORMAL FAULT	15	0	15	YES R
301	SHALLOW SEATED	15	0	15	YES R
316	PLATE MARGINE	15	0	15	YES R
333	CONVERGENT PLATE BOUNDARY	15	0	15	YES R
354	CONTINENTAL CRUST PLUTONIC MAG	15	0	15	YES R
355	MORE EVOLVED SHALLOW SEATED IN	15	0	15	YES R
423	FAULTED STRUCTURE	15	0	15	YES L
424	NORMAL FAULT STRUCTURE	15	0	15	YES L
588	SERICITE	15	0	15	YES L
715	INEQUIIGRANULAR TEXTURES	15	0	15	YES L
717	PORPHYRY	15	0	15	YES L
Total		1030	370	1400	

## Bayenhub8-2-N

####	Porphyry-skarn-Cu	Pos.Score	Neg.Score	Interval S	State
483	POTASIC FELDSPAR FORMATION	400	10	410	L
1160	Porphyry-skarn-Cu	150	0	150	L
1161	Skarn-Cu	150	0	150	L
1165	Polymetallic-Replacement	150	0	150	L
247	TERTIARY	100	0	100	R
7	FELSIC PLUTONIC SEQUENCE	50	50	100	R
947	CHALCOPYRITE	45	75	120	L
1113	TENNANTITE	45	10	55	L
243	MESOZOIC	40	0	40	R
828	As	30	10	40	L
829	Ag	30	75	105	L
863	Pb	30	10	40	L
869	Sn	30	10	40	L
870	Sb	30	10	40	L
882	W	30	5	35	L
318	ACTIVE CONTINENTAL MARGINE	15	0	15	R
326	OCEANIC PLATE MARGINE	15	0	15	R
327	OCEANIC PLATE MARGINE-ARC	15	0	15	R
336	OCEANIC-CONTINENTAL SUBDUCTION	15	0	15	R
341	ARC RELATED	15	0	15	R
348	SUBDUCTION RELATED MAGMATISM	15	0	15	R
350	ARC RELATED MAGMATISM	15	0	15	R
390	X=EPIZONAL GRANITE ROCK Y=CARB	15	0	15	L
411	MESOZONAL MAGMATISM	15	0	15	L
525	ACTINOLITE	15	0	15	L
529	K-FELDSPAR	15	0	15	L
530	MICROCLINE	15	0	15	L
541	BIOTITE	15	0	15	L
547	CHLORITE	15	0	15	L
558	DIOPSIDE	15	0	15	L
571	MICA	15	0	15	L
605	SURFACE AND NEAR SURFACE OXIDA	15	0	15	L
610	SECONDARY ENRICHMENT PROCESSES	15	0	15	L
614	CHEMICAL SECONDARY ENRICHMENT	15	0	15	L
616	OXIDIZING LEACHING	15	0	15	L
622	Fe-RICH GOSSAN	15	0	15	L
654	Cu-CARBONITE STAINS	15	0	15	L
677	AZURITE	15	0	15	L
678	MALACHAITE	15	0	15	L
712	APLITIC	15	0	15	L
826	VEIN LETS	15	0	15	L
872	Se	15	10	25	L
Total		1715	275	1990	

## Bayenchub8-3-Y

####	Porphyry-Mo, Low-F	Pos. Score	Neg. Score	Interval S	State
492	PHYLLIC ALTERATION	400	10	410	YES L
516	SILICIFICATION PROCESSES	400	10	410	YES L
54	PLUTONIC FELSIC BODY	75	75	150	YES R
65	GRANODIORITE	45	5	50	YES R
830	Au	30	5	35	YES L
837	Cu	30	30	60	YES L
854	Mo	30	75	105	YES L
886	Zn	30	5	35	YES L
1072	PYRITE	30	75	105	YES L
1086	SCHEALITE	30	30	60	YES L
266	UNSTABLE CONDITION	15	0	15	YES R
289	FAULT SYSTEM	15	0	15	YES R
290	NORMAL FAULT	15	0	15	YES R
298	FRACTURE SYSTEM	15	0	15	YES R
423	FAULTED STRUCTURE	15	0	15	YES L
424	NORMAL FAULT STRUCTURE	15	0	15	YES L
560	EPIDOT	15	0	15	YES L
588	SERICITE	15	0	15	YES L
715	INEQUIGRANULAR TEXTURES	15	0	15	YES L
717	PORPHYRY	15	0	15	YES L
	Total	1250	320	1570	

## Bayenhub8-3-N

###	Porphyry-Mo, Low-F	Pos. Score	Neg. Score	Interval S	State
483	POTASIC FELDSPAR FORMATION	400	10	410	L
490	POROPЛИTIC ALTERATION	400	10	410	L
495	ARGILLIC ALTERATION	400	10	410	L
1161	Skarn-Cu	150	0	150	L
1171	Porphyry-Cu-Mo	150	0	150	L
1172	Porphyry-Mo, Low-F	150	0	150	L
1173	Volcanic-Hosted Cu-As-Sb	150	0	150	L
243	MESOZOIC	100	0	100	R
247	TERTIARY	100	0	100	R
87	FELSIC VOLCANIC BODY	75	10	85	R
1038	MOLYBDENITE	60	75	135	L
7	FELSIC PLUTONIC SEQUENCE	50	50	100	R
64	MONZOGRANITE	45	5	50	R
66	TONALITE	45	5	50	R
72	QUARTZ MONZONITE	45	5	50	R
829	Ag	30	5	35	L
863	Pb	30	5	35	L
865	Re	30	5	35	L
882	W	30	30	60	L
947	CHALCOPYRITE	30	75	105	L
1115	TETRAHDERITE	30	30	60	L
295	FAULTS INTERSECTIONS	15	0	15	R
318	ACTIVE CONTINENTAL MARGINE	15	0	15	R
341	ARC RELATED	15	0	15	R
528	ALBITE	15	0	15	L
529	K-FELDSPAR	15	0	15	L
530	MICROCLINE	15	0	15	L
536	ARGILLITE	15	0	15	L
541	BIOTITE	15	0	15	L
545	CALCITE	15	0	15	L
553	KAOLINITE	15	0	15	L
554	MONTMORILLONITE	15	0	15	L
555	SMECTITE	15	0	15	L
605	SURFACE AND NEAR SURFACE OXIDA	15	0	15	L
614	CHEMICAL SECONDARY ENRICHMENT	15	0	15	L
615	LEACHING PROCESSES	15	0	15	L
616	OXIDIZING LEACHING	15	0	15	L
645	FERRO-MOLYBDENITE ENRICHMENT I	15	0	15	L
654	Cu-CARBONITE STAINS	15	0	15	L
712	APLITIC	15	0	15	L
744	DESIMINATED	15	0	15	L
791	STOCKWORK	15	0	15	L
826	VEIN LETS	15	0	15	L
845	F	15	5	20	L
849	K	15	5	20	L
Total		2860	340	3200	

## Bayenchub8-4-Y

####	Skarn-Fe	Pos. Score	Neg. Score	Interval S	State
54	PLUTONIC FELSIC BODY	75	45	120	YES R
147	CARBONATE ROCKS	75	75	150	YES R
886	Zn	60	75	135	YES L
1029	MAGNETITE	60	75	135	YES L
830	Au	30	75	105	YES L
837	Cu	30	30	60	YES L
1072	PYRITE	30	30	60	YES L
266	UNSTABLE CONDITION	15	0	15	YES R
283	UPLIFT	15	0	15	YES R
317	CONTINENTAL PLATE MARGINE	15	0	15	YES R
354	CONTINENTAL CRUST PLUTONIC MAG	15	0	15	YES R
560	EPIDOT	15	0	15	YES L
715	INEQUIGRANULAR TEXTURES	15	0	15	YES L
717	PORPHYRY	15	0	15	YES L
725	GRANOBLASTIC	15	0	15	YES L
Total		480	405	885	

## Bayenhub8-4-N

####	Skarn-Fe	Pos.Score	Neg.Score	Interval S	State
1163	Skarn-Fe	150	0	150	L
475	SKARNIZATION METASOMATIC PROCE	100	10	110	L
107	DIABASE	30	5	35	R
831	Be	30	5	35	L
833	B	30	5	35	L
885	Zr	30	5	35	L
947	CHALCOPYRITE	30	30	60	L
1077	PYRRHOTITE	30	30	60	L
5	INTERMEDIATE PLUTONIC SEQUENCE	25	25	50	R
7	FELSIC PLUTONIC SEQUENCE	25	25	50	R
889	MAGNETIC-HIGH	25	50	75	L
268	RIFT SYSTEM	15	0	15	R
270	MARGINAL CONTINENTAL RIFT SYST	15	0	15	R
284	OROGENIC	15	0	15	R
318	ACTIVE CONTINENTAL MARGINE	15	0	15	R
326	OCEANIC PLATE MARGINE	15	0	15	R
327	OCEANIC PLATE MARGINE-ARC	15	0	15	R
331	CONTINENTAL DIVERGENT BOUNDARY	15	0	15	R
334	OCEANIC-OCEANIC SUBDUCTION	15	0	15	R
336	OCEANIC-CONTINENTAL SUBDUCTION	15	0	15	R
341	ARC RELATED	15	0	15	R
345	RIFT RELATED MAGMATISM	15	0	15	R
348	SUBDUCTION RELATED MAGMATISM	15	0	15	R
350	ARC RELATED MAGMATISM	15	0	15	R
380	X=FELSIC PLUTON Y=MEUGEOSYNCLI	15	0	15	L
385	X=SMALL IGNEUOS INTRUSIVE Y=MI	15	0	15	L
558	DIOPSIDE	15	0	15	L
564	GROSSULAR	15	0	15	L
605	SURFACE AND NEAR SURFACE OXIDA	15	0	15	L
630	MAGNETITE IN RESIDUAL SOIL	15	0	15	L
730	HORNFELSIC	15	0	15	L
745	MASSIVE	15	0	15	L
869	Sn	15	0	15	L
Total		835	190	1025	
Percent		0	0		

## Bayenchub10-Calc

No	Type	Positive Score		Negative Score		Overall Score	
		W	%P	W	%P	W	%P
59	Silica Carbonate Hg	785	43.0	330	52.4	455	24.9

## Bayenchub10-1-Y

####	Silica Carbonate Hg	Pos. Score	Neg. Score	Interval S	State
516	SILICIFICATION PROCESSES	400	10	410	YES L
847	Hg	60	75	135	YES L
959	CINNABAR	60	75	135	YES L
870	Sb	45	30	75	YES L
837	Cu	30	10	40	YES L
1072	PYRITE	30	75	105	YES L
10	SEDIMENTARY SEQUENCE	25	25	50	YES R
266	UNSTABLE CONDITION	15	0	15	YES R
279	COMPRESSSIONAL REGIME	15	0	15	YES R
289	FAULT SYSTEM	15	0	15	YES R
298	FRACTURE SYSTEM	15	0	15	YES R
333	CONVERGENT PLATE BOUNDARY	15	0	15	YES R
423	FAULTED STRUCTURE	15	0	15	YES L
434	LOW GRADE METAMORPHISM	15	0	15	YES L
437	REGIONAL METAMORPHISM	15	0	15	YES L
559	DOLOMITE	15	0	15	YES L
Total		785	300	1085	

## Bayenchub10-1-N

####	Silica Carbonate Hg	Pos. Score	Neg. Score	Interval S	State
1193	Silica Carbonate Hg	150	0	150	L
1194	Simple Sb	150	0	150	L
247	TERTIARY	100	0	100	R
1046	NATIVES MERCURY	75	75	150	L
206	SERPENTINITE	60	60	120	R
132	SILTSTONE	45	10	55	R
137	GRAYWACKE	45	10	55	R
1103	STIBNITE	45	30	75	L
293	TRUST FAULT	30	0	30	R
294	SUBDUCTION RELATED TRUST FAULT	30	0	30	L
833	B	30	0	30	R
886	Zn	30	10	40	L
928	BORNITE	30	10	40	L
947	CHALCOPYRITE	30	10	40	L
996	GALENA	30	30	60	L
1097	SPHALERITE	30	30	60	L
3	MAFIC PLUTONIC SEQUENCE	25	30	60	L
337	OCEANIC-CONTINENTAL OBDUCTION	15	25	50	R
427	TRUST FAULT STRUCTURE	15	0	15	R
431	DEFORMED STRUCTURE	15	0	15	L
584	QUARTZ	15	0	15	L
792	STRINGER	15	0	15	L
821	REGULAR VIEN	15	0	15	L
826	VEIN LETS	15	0	15	L
Total		1040	330	1370	

## Bayenchub11-1-N

####	Low-Sulfide Au-Quartz	Pos. Score	Neg. Score	Interval S	State
1196	Kuroko Massive sulfide	150	0	150	L
1215	Low-Sulfide Au-Quartz	150	0	150	L
1216	Homestake Au	150	0	150	L
1223	Placer Au-PGE	150	0	150	L
487	EARLY ALBITIZATION	100	10	110	L
207	METASEDIMENTARY ROCKS	75	10	85	R
227	GREEN STONE	75	75	150	R
137	GRAYWACKE	60	10	70	R
217	MAFIC METAVOLCANIC	60	10	70	R
829	Ag	60	75	135	L
863	Pb	45	30	75	L
916	ARSENOPYRITE	45	10	55	L
947	CHALCOPYRITE	45	10	55	L
996	GALENA	45	10	55	L
164	CHERT	30	5	35	R
886	Zn	30	10	40	L
1077	PYRRHOTITE	30	0	30	L
281	ACCRETED MARGINE	15	0	15	R
318	ACTIVE CONTINENTAL MARGINE	15	0	15	R
528	ALBITE	15	0	15	L
559	DOLOMITE	15	0	15	L
588	SERICITE	15	0	15	L
594	TALC	15	0	15	L
611	MECHANICAL ENRICHMENT	15	0	15	L
612	RESIDUAL MECHANICAL ENRICHMENT	15	0	15	L
634	QUARTZ CHIPS IN RESIDUAL SOIL	15	0	15	L
643	Au ENRICHMENT IN SOIL	15	0	15	L
744	DESIMINATED	15	0	15	L
822	IRREGULAR VIEN	15	0	15	L
877	Te	15	5	20	L
Total		1495	270	1765	

## Bayenchub11-2-Y

####	Silica Carbonate Hg	Pos.Score	Neg.Score	Interval S	State
516	SILICIFICATION PROCESSES	400	10	410	YES L
959	CINNABAR	60	75	135	YES L
870	Sb	45	30	75	YES L
1072	PYRITE	30	75	105	YES L
10	SEDIMENTARY SEQUENCE	25	25	50	YES R
266	UNSTABLE CONDITION	15	0	15	YES R
279	COMPRESSIVE REGIME	15	0	15	YES R
289	FAULT SYSTEM	15	0	15	YES R
298	FRACTURE SYSTEM	15	0	15	YES R
333	CONVERGENT PLATE BOUNDARY	15	0	15	YES R
423	FAULTED STRUCTURE	15	0	15	YES L
434	LOW GRADE METAMORPHISM	15	0	15	YES L
437	REGIONAL METAMORPHISM	15	0	15	YES L
584	QUARTZ	15	0	15	YES L
821	REGULAR VIEN	15	0	15	YES L
826	VEIN LETS	15	0	15	YES L
	Total	725	215	940	

## Bayenchub11-2-N

####	Silica Carbonate Hg	Pos.Score	Neg.Score	Interval S	State
1193	Silica Carbonate Hg	150	0	150	L
1194	Simple Sb	150	0	150	L
247	TERTIARY	100	0	100	L
1046	NATIVES MERCURY	75	75	150	R
206	SERPENTINITE	60	60	120	R
847	Hg	60	75	135	R
132	SILTSTONE	45	10	55	R
137	GRAYWACKE	45	10	55	R
1103	STIBNITE	45	30	75	R
293	TRUST FAULT	30	0	60	R
294	SUBDUCTION RELATED TRUST FAULT	30	0	60	R
833	B	30	10	40	R
837	Cu	30	10	40	R
886	Zn	30	10	40	R
923	BORNITE	30	10	40	R
947	CHALCOPYRITE	30	30	60	R
996	GALENA	30	30	60	R
1097	SPHALERITE	30	30	60	R
3	MAFIC PLUTONIC SEQUENCE	25	25	50	R
337	OCEANIC-CONTINENTAL OBDUCTION	15	0	15	R
427	TRUST FAULT STRUCTURE	15	0	15	R
431	DEFORMED STRUCTURE	15	0	15	R
559	DOLOMITE	15	0	15	R
792	STRINGER	15	0	15	R
	Total	1100	415	1515	

## Bayenhub11-3-Y

###	Hot Spring Au-Ag	Pos.Score	Neg.Score	Interval S	State
516	SILICIFICATION PROCESSES	400	10	410	YES L
828	As	45	75	120	YES L
830	Au	45	75	120	YES L
870	Sb	45	30	75	YES L
1045	NATIVES GOLD	45	75	120	YES L
1072	PYRITE	30	75	105	YES L
266	UNSTABLE CONDITION	15	0	15	YES R
423	FAULTED STRUCTURE	15	0	15	YES L
424	NORMAL FAULT STRUCTURE	15	0	15	YES L
544	CARBONATES	15	0	15	YES L
605	SURFACE AND NEAR SURFACE OXIDA	15	0	15	YES L
616	OXIDIZING LEACHING	15	0	15	YES L
651	LIMONITE IN BLEACHED COUNTRY R	15	0	15	YES L
665	LIMONITE	15	0	15	YES L
715	INEQUIGRANULAR TEXTURES	15	0	15	YES L
717	PORPHYRY	15	0	15	YES L
821	REGULAR VIEN	15	0	15	YES L
Total		775	340	1115	

## Bayenhub11-3-N

####	Hot Spring Au-Ag	Pos. Score	Neg. Score	Interval S	State
1181	Hot Spring Au-Ag	150	0	150	L
1185	Epithermal Quartz-Alunite Au	150	0	150	L
1191	Hot spring Hg	150	0	150	L
1223	Placer Au-PGE	150	0	150	L
247	TERTIARY	100	0	100	R
255	QUATERNARY	100	0	100	R
88	RHYOLITE	75	75	150	R
829	Ag	45	75	120	L
1079	REALGAR	45	30	75	L
1103	STIBNITE	45	10	55	L
847	Hg	30	30	60	L
875	Ta	30	30	60	L
916	ARSENOPYRITE	30	10	40	L
947	CHALCOPYRITE	30	10	40	L
992	FLUORITE	30	10	40	L
1097	SPHALERITE	30	30	60	L
7	FELSIC PLUTONIC SEQUENCE	25	25	50	R
8	FELSIC VOLCANIC SEQUENCE	25	25	50	R
267	EXTENTIONAL REGIME	15	0	15	R
268	RIFT SYSTEM	15	0	15	R
270	MARGINAL CONTINENTAL RIFT SYST	15	0	15	R
296	TRANSFORM FAULT	15	0	15	R
318	ACTIVE CONTINENTAL MARGINE	15	0	15	R
334	OCEANIC-OCEANIC SUBDUCTION	15	0	15	R
336	OCEANIC-CONTINENTAL SUBDUCTION	15	0	15	R
345	RIFT RELATED MAGMATISM	15	0	15	R
348	SUBDUCTION RELATED MAGMATISM	15	0	15	R
350	ARC RELATED MAGMATISM	15	0	15	R
394	CENTRAL SUBAERIAL RHYOLITIC	15	0	15	R
395	CENTRAL SUBAREAL RHYOLITIC FLC	15	0	15	R
418	GEOTHERMAL ACTIVITY	15	0	15	R
419	VOLCANIC RELATED GEOTHERMAL AC	15	0	15	R
421	SHALLOW INTRUSIVE RELATED GEOT	15	0	15	R
429	NEAR SURFACE FRACTURES	15	0	15	R
516	ADULARIA	15	0	15	R
530	MICROCLINE	15	0	15	R
541	BIOTITE	15	0	15	R
575	LEPIDOLITE	15	0	15	R
580	PLAGIOCLASE	15	0	15	R
583	PYROPHILITIC	15	0	15	R
608	LATERITIZATION	15	0	15	R
623	HEMATITE GOSSAN	15	0	15	R
624	LIMONITE GOSSAN	15	0	15	R
648	JAROSITE IN BLEACHED COUNTRY R	15	0	15	R
649	ALUNITE IN BLEACHED COUNTRY RO	15	0	15	R
650	GOETHITE IN BLEACHED COUNTRY R	15	0	15	R
652	HEMATITE IN BLEACHED COUNTRY R	15	0	15	R
664	GOETHITE	15	0	15	R
683	ALUNITE	15	0	15	R
750	BRECCIA FILLINGS	15	0	15	R
762	BRECCIA	15	0	15	L
791	STOCKWORK	15	0	15	L
	Total	1750	360	2110	

## Bayenhub12-Calc

No	Type	Positive Score		Negative Score		Overall Score	
		W	%P	W	%P	W	%P
84	Flat Faults Au	550	32.8	240	36.4	310	18.5

## Bayenhub12-1-Y

####	Flat Faults Au	Pos. Score	Neg. Score	Interval S	State
233	PHANEROZOIC	100	0	100	YES R
516	SILICIFICATION PROCESSES	100	10	110	YES L
226	BRECCIA	75	75	150	YES R
830	Au	60	75	135	YES L
1045	NATIVES GOLD	60	75	135	YES L
16	METAMORPHIC SEQUENCE	50	50	100	YES R
1010	HEMATITE	30	75	105	YES L
266	UNSTABLE CONDITION	15	0	15	YES R
279	COMPRESSIVE REGIME	15	0	15	YES R
423	FAULTED STRUCTURE	15	0	15	YES L
434	LOW GRADE METAMORPHISM	15	0	15	YES L
565	HEMATITE	15	0	15	YES L
Total		550	360	910	

## Bayenchub12-1-N

###	Flat Faults Au	Pos.Score	Neg.Score	Interval S	State
1185	Epithermal Quartz-Alunite Au	150	0	150	L
1218	Flat Faults Au	150	0	150	L
230	PRECAMBRIAN	100	0	100	R
514	CHLORITIZATION	100	10	110	L
521	HEMATITIZATION	100	10	110	L
225	MYLONITE	45	45	90	R
832	Ba	30	10	40	L
837	Cu	30	75	105	L
947	CHALCOPYRITE	30	30	60	L
1094	SPECULAR HEMATITE	30	30	60	L
54	PLUTONIC FELSIC BODY	15	15	30	R
87	FELSIC VOLCANIC BODY	15	15	30	R
289	FAULT SYSTEM	15	0	15	R
293	TRUST FAULT	15	0	15	R
427	TRUST FAULT STRUCTURE	15	0	15	L
433	LATE STAGE DEFORMED STRUCTURE	15	0	15	L
545	CALCITE	15	0	15	L
547	CHLORITE	15	0	15	L
584	QUARTZ	15	0	15	L
605	SURFACE AND NEAR SURFACE OXIDA	15	0	15	L
610	SECONDARY ENRICHMENT PROCESSES	15	0	15	L
614	CHEMICAL SECONDARY ENRICHMENT	15	0	15	L
616	OXIDIZING LEACHING	15	0	15	L
744	DESIMINATED	15	0	15	L
791	STOCKWORK	15	0	15	L
802	TECTONIC BRECCIA	15	0	15	L
821	REGULAR VIEN	15	0	15	L
	Total	1020	240	1260	

## Bayenchub12-1-ND

###	Flat Faults Au	Pos.Score	Neg.Score	Interval S	State
845	F	45	30	75	nd L
844	Fe	30	30	60	nd L
822	IRREGULAR VIEN	15	0	15	nd L
826	VEIN LETS	15	0	15	nd L
	Total	105	60	165	

## جداول ۲-۸ - فرم‌های شناسنامه‌ای مناطق آنومالی

علامت اختصاری

الف) سنگ‌شناسی (سنگ بالادست)

$SCH$ : شبیت  
بقیه سنگها مطابق آنچه در گزارش آمده است.

ب) ساختمانی (دانسیته گسلها و شکستگی‌ها)

$L$ : دانسیته نسبی کم  
 $M$ : دانسیته نسبی متوسط  
 $H$ : دانسیته نسبی زیاد

ج) آلتراسیون: در صورتی که با علامت *others* مشخص شده، نوع آن در زیر صفحه آورده شده است. در صورت پیدایش شیرزون در منطقه آنومالی، ذکر آن در پایین صفحات آمده است.

تنذیر: مقادیر طلا در این جداول لازم است به عدد ۱۰۰ تقسیم گردد تا مقدار طلا را به طور تقریبی بر حسب گرم در تن نشان دهد.

Sheet 1/50,000 : BEST Anomaly Name : BAY-1

Geochemical Anomal Samples :

Sample No.	Anomaly	Raw Data	USR	Ei	1/PN
BT-791	As	171	IMV-FGS-CAR	20.82	12.41
BT-793	As	139	IMV-FGS-CAR	16.93	8.48
BT-794	As	107	IMV-FGS-CAR	12.47	3.71
BT-795	As	1560	IMV-FGS-CAR	181.81	12.41
BT-795	Au	0.024	IMV-FGS-CAR	12	3.37

Airborne Geoph. : Shallow Magnetic Bodies: Geoph. Faults : \*

Alteration :	Silicification	Propilitic	Argilic	Qz. Carbonate	Listv.
Fault:	Fractur:	Limonite	Hematite	Goethite	Siderite
				Graizen	Others

|L|

Heavy Mineral Samples Taken From Anomal Area :

Heavy Mineral	S. No.	S. No.	S. No.	Heavy Mineral	S. No.	S. No.	S. No.
	BT-790H	BT-789H	BT-785H		BT-790H	BT-789H	BT-785H
ANGLESITE				PYRITE	0.41		0.16
ANATASE	0.31	0.11		RUTILE	0.34	0.12	0.14
APATITE				SCHEELITE	0.49	9.12	0.2
BARITE	18.1	6.68	0.14	SILLIMANITE			
BIOTITE				SPHENE			
BROOKITE				ZIRCON	17.69	0.13	
CHLORITE							
CHALCOPYRITE							
CINABRE	0.66	0.24					
CERUSSITE	0.53		0.21				
EPIDOTE	419.66	5.16	228.48				
FLOURITE			0.1				
GARNET							
GALENA		0.22					
GOLD	1.4		0.57				
HEMATITE	1497.6	695.55	87.36				
ILMENITE							
LEUCOXENE	0.32	6.08	6.72				
LIMONITE	592.46	87.55	483.84				
MARCASITE							
MAGNETITE	21.39	237.12	8.73				
MALACHITE							
MIMETITE							
MUSCOVITE							
OLIGISTE	21.39						
PERIDOTS							
PYROMORPHITE							
PYRITE-OXIDE	205.71		182.4				

Weathering : Gossan Other

Mineralized Samples Taken From Anomal Area :

Variables	No.	No.	No.	No.
	BT-791M1	BT-791M2	BT-791M3	BT-790M
Co				
Mn				
Ti				
Ba				
Cr				
Ni				
W				
Mo				
Au(ppb)	850	71	67	970
Sb	0.35	2.24	6.48	0.86
Bi				
Hg	0.042	0.051	0.056	0.047
As	1.94	4.45	68.4	3.14
Sn				
Pb	32	15	320	16
Ag	0.06	0.08	0.98	0.06
Cu	9.4	100	150	8.6
Zn	21	75	35	72
B				
Be				

Others: carbonate

Sheet 1/50,000 : **BEST** Anomaly Name : **BAY-1**

**Geochemical Anomal Samples :**

Sample No.	Anomaly	Raw Data	USRT	Ei	1/PN

Airborne Geoph. : Shallow Magnetic Bodies: Geoph. Faults :

Alteration :	Silicification	Propilitic	Argilic	Qz. Carbonate	Listv.		
Fault:	Fractur:	Limonite	Hematite	Goethite	Siderite	Graizen	Others

**Heavy Mineral Samples Taken From Anomal Area :**

Heavy Mineral	S. No.	S. No.	S. No.	Heavy Mineral	S. No.	S. No.	S. No.
	BT-793H	BT-794H	BT-795H	PYRITE	0.46	0.15	
ANGLESITE				RUTILE	0.18		
ANATASE		0.17		SCHEELITE	0.27	9.38	
APATITE				SILLIMANITE			
BARITE		9.9	6.88	SPHENE			
BIOTITE				ZIRCON	9.67	0.13	
BROOKITE		0.18					
CHLORITE							
CHROMITE							
CINABRE	0.74						
CERUSSITE			0.2				
EPIDOTE	15.69	413.1	5.31				
FLOURITE							
GARNET							
GALENA							
GOLD							
HEMATITE	480	210.6	487.85				
ILMENITE							
LEUCOXENE	0.36	9					
LIMONITE	996.92	388.8	168.87				
MARCASITE							
MAGNETITE	24	187.2	8.13				
MALACHITE							
MIMETITE							
MUSCOVITE							
OLIGISTE							
PERIDOTS							
PYROMORPHITE							
PYRITE-OXIDE	23.07	303.75	156.36				

Weathering : Gossan Other

**Mineralized Samples Taken From Anomal Area :**

Variables	No.	No.	No.	No.
Co	BT-794M1	BT-794M2	BT-794M3	BT-1002M
Mn				
Ti				
Ba				
Cr				
Ni				
W				
Mo				
Au(ppb)	83	27	26	0.79
Sb	0.49	0.35	0.65	0.43
Bi				
Hg	0.05	0.05	0.05	0.03
As	9.29	4.62	3.93	8.84
Sn				
Pb	42	3.2	13	21.5
Ag	0.82	0.42	0.15	0.05
Cu	36	170	32	6.4
Zn	50	21	26	65
B				
Be				

Sheet 1/50,000 : BEST Anomaly Name : BAY-1

Geochemical Anomal Samples :

Sample No.	Anomaly	Raw Data	USR	Ei	1/PN

Airborne Geoph. : Shallow Magnetic Bodies: Geoph. Faults :

Alteration :	Silicification	Propilitic	Argilic	Qz. Carbonate	Listv.
Fault:	Fractur:	Limonite Hematite Goethite	Siderite Graizen	Others	

Heavy Mineral Samples Taken From Anomal Area :

Heavy Mineral	S. No.	S. No.	S. No.	Heavy Mineral	S. No.	S. No.	S. No.
	BT-1002H	BT-1003H	BT-685H				
ANGLESITE				PYRITE	0.32		
ANATASE		0.3		RUTILE			
APATITE				SCHEELITE	19.2	0.48	0.16
BARITE			0.11	SILLIMANITE			
BIOTITE				SPHENE			
BROOKITE		0.33		ZIRCON	13.76	0.34	0.11
CHLORITE							
CHROMITE							
CINABRE			0.21				
CERUSSITE							
EPIDOTE	391.68	408	272				
FLOURITE							
GARNET							
GALENA							
GOLD							
HEMATITE	1597.44	1040	138.66				
ILMENITE							
LEUCOXENE	12.8	16					
LIMONITE	184.32	864	336				
MARCASITE							
MAGNETITE	465.92	20.8	6.93				
MALACHITE							
MIMETITE							
MUSCOVITE							
OLIGISTE		16.64					
PERIDOTS							
PYROMORPHITE							
PYRITE-OXIDE	16	400					

Weathering : Gossan Other

Mineralized Samples Taken From Anomal Area :

Variables	No.	No.	No.	No.
Co	BT-1004M	BT-1014M	BE-786M	BE-787M
Mn				
Ti				
Ba				
Cr				
Ni				
W				
Mo				
Au(ppb)	0.82	0.6	20	25
Sb	0.49	1.64	7.56	1.51
Bi				
Hg	0.036	0.036	0.069	0.051
As	2.21	20.5	271	5.42
Sn				
Pb	12	32	560	4.8
Ag	0.052	0.09	5.2	0.076
Cu	10.4	27	140	48
Zn	20	46	340	92
B				
Be				

Sheet 1/50,000 : **BEST** Anomaly Name : **BAY-1**

**Geochemical Anomal Samples :**

Sample No.	Amomaly	Raw Data	USR	Ei	1/PN

Airborne Geoph. : Shallow Magnetic Bodies:  Geoph. Faults :

Alteration :	Silicification	Propilitic	Argilic	Qz. Carbonate	Listv.		
Fault:	Fractur:	Limonite	Hematite	Goethite	Siderite	Graizen	Others

**Heavy Mineral Samples Taken From Anomal Area :**

Heavy Mineral	S. No.	S. No.	S. No.	Heavy Mineral	S. No.	S. No.	S. No.
	BT-1004H	BT-1005H	BT-1007H		BT-1004H	BT-1005H	BT-1007H
ANGLESITE				PYRITE	7.69		0.33
ANATASE				RUTILE			
APATITE				SCHEELITE			
BARITE	6.79	14.66	0.17	SILLIMANITE			
BIOTITE				SPHENE			
BROOKITE				ZIRCON			
CHLORITE							
CHROMITE							
CINABRE		0.54	0.32				
CERUSSITE							
EPIDOTE	104.61	113.33	68				
FLOURITE							
GARNET		14					
GALENA							
GOLD							
HEMATITE	320	173.33	1248				
ILMENITE							
LEUCOXENE	0.12						
LIMONITE	332.3	480	432				
MARCASITE							
MAGNETITE	8	17.33	10.4				
MALACHITE							
MIMETITE							
MUSCOVITE							
OLIGISTE							
PERIDOTS							
PYROMORPHITE							
PYRITE-OXIDE	153.84	333.33	10				

Weathering : Gossan  Other

**Mineralized Samples Taken From Anomal Area :**

Variables	No.	No.	No.	No.
	BT-1008M	BT-1010M	BT-1011M1	BT-1011M2
Co				
Mn				
Ti				
Ba				
Cr				
Ni				
W				
Mo				
Au(ppb)	1.2	0.86	4.3	12
Sb	3	2.86	1.93	1.12
Bi				
Hg	0.036	0.036	0.039	0.036
As	32.3	26.8	4.62	17.1
Sn				
Pb	48	8.2	13	23
Ag	0.1	0.056	0.22	0.38
Cu	19	13	8	46
Zn	85	20	34	69
B				
Be				

Sheet 1/50,000 : **BEST** Anomaly Name : **BAY-1**

**Geochemical Anomal Samples :**

Sample No.	Amomaly	Raw Data	USR	EI	1/PN

Airborne Geoph. : Shallow Magnetic Bodies: Geoph. Faults :

Alteration :	Silicification	Propilitic	Argilic	Qz. Carbonate	Listv.		
Fault:	Fractur:	Limonite	Hematite	Goethite	Siderite	Graizen	Others

**Heavy Mineral Samples Taken From Anomal Area :**

Heavy Mineral	S. No.	S. No.	S. No.	Heavy Mineral	S. No.	S. No.	S. No.
	BT-1008H	BT-1009H	BT-1010H		BT-1008H	BT-1009H	BT-1010H
ANGLESITE				PYRITE	13.33	0.25	
ANATASE	0.2		0.26	RUTILE			
APATITE				SCHEELITE	0.32		
BARITE		0.22	15.08	SILLIMANITE			
BIOTITE				SPHENE			
BROOKITE		0.21		ZIRCON	11.46	0.22	
CHLORITE							
CHROMITE							
CINABRE							
CERUSSITE		0.33					
EPIDOTE	244.8	87.42	209.82				
FLOURITE	0.16						
GARNET							
GALENA							
GOLD							
HEMATITE	776.53	534.85	1283.65				
ILMENITE							
LEUCOXENE	0.21	0.2	0.27				
LIMONITE	364.8	555.42	222.17				
MARCASITE							
MAGNETITE	166.4	13.37	320.91				
MALACHITE							
MIMETITE							
MUSCOVITE							
OLIGISTE							
PERIDOTS							
PYROMORPHITE							
PYRITE-OXIDE	257.14		154.28				

Weathering : Gossan Other

**Mineralized Samples Taken From Anomal Area :**

Variables	No.	No.	No.	No.
	BT-789M	BT-785M	BT-784M1	BT-784M2
Co				
Mn				
Ti				
Ba				
Cr				
Ni				
W				
Mo				
Au(ppb)	28	9.5	0.55	0.55
Sb	0.24	1.7	0.3	1.81
Bi				
Hg	0.04	0.043	0.042	0.049
As	4.5	11.3	6.44	5.53
Sn				
Pb	6.4	29	4.9	25
Ag	0.09	0.14	0.032	0.056
Cu	4.8	28	10	12
Zn	41	34	20	20
B				
Be				

Sheet 1/50,000 : **BEST** Anomaly Name : **BAY-1**

**Geochemical Anomal Samples :**

Sample No.	Amomaly	Raw Data	USR	Ei	1/PN

Airborne Geoph. : Shallow Magnetic Bodies: Geoph. Faults :

Alteration :	Silicification	Propilitic	Argilic	Qz. Carbonate	Listv.
Fault:	Fractur:	Limonite Hematite	Goethite	Siderite Graizen	Others

**Heavy Mineral Samples Taken From Anomal Area :**

Heavy Mineral	S. No.	S. No.	S. No.	Heavy Mineral	S. No.	S. No.	S. No.
	BT-1011H	BT-1012H	BT-1013H		BT-1011H	BT-1012H	BT-1013H
ANGLESITE				PYRITE	0.6		0.22
ANATASE				RUTILE	0.5		
APATITE				SCHEELITE	0.72	0.19	
BARITE	0.14	0.19		SILLIMANITE			
BIOTITE				SPHENE			
BROOKITE	0.49			ZIRCON	0.51		0.19
CHLORITE							
CHROMITE							
CINABRE							
CERUSSITE							
EPIDOTE	816	108.8	153				
FLOURITE							
GARNET							
GALENA							
GOLD							
HEMATITE	2184	332.8	1053				
ILMENITE							
LEUCOXENE	0.48	0.12	9				
LIMONITE	21.6	345.6	162				
MARCASITE							
MAGNETITE	31.2	8.32	11.7				
MALACHITE							
MIMETITE							
MUSCOVITE							
OLIGISTE							
PERIDOTS							
PYROMORPHITE							
PYRITE-OXIDE	30	8	112.5				

Weathering : Gossan Other

**Mineralized Samples Taken From Anomal Area :**

Variables	No.	No.	No.	No.
Co				
Mn				
Ti				
Ba				
Cr				
Ni				
W				
Mo				
Au(ppb)	24			
Sb	0.32			
Bi				
Hg	0.04			
As	1.14			
Sn				
Pb	11			
Ag	0.04			
Cu	9.1			
Zn	20			
B				
Be				

Sheet 1/50,000 : **BEST** Anomaly Name : **BAY-1**

**Geochemical Anomal Samples :**

Sample No.	Anomaly	Raw Data	USR	Ei	1/PN

Airborne Geoph. : Shallow Magnetic Bodies : Geoph. Faults :

Alteration :	Silicification	Propilitic	Argilic	Qz. Carbonate	Listv.		
Fault:	Fractur:	Limonite	Hematite	Goethite	Siderite	Graizen	Others

**Heavy Mineral Samples Taken From Anomal Area :**

Heavy Mineral	S. No.	S. No.	S. No.	Heavy Mineral	S. No.	S. No.	S. No.
	BE-796H	BE-786H	BE-1001H	PYRITE	BE-796H	BE-786H	BE-1001H
ANGLESITE				RUTILE			0.2
ANATASE		0.17		SCHEELITE		0.17	
APATITE				SILLIMANITE	0.21		
BARITE	8		8.8	SPHENE			
BIOTITE				ZIRCON	7.81		0.17
BROOKITE							
CHLORITE							
CHROMITE							
CINABRE		0.37					
CERUSSITE	0.23						
EPIDOTE	111.27	7.93	340.36				
FLOURITE							
GARNET							
GALENA							
GOLD	0.62	0.79					
HEMATITE	340.36	606.66	208				
ILMENITE							
LEUCOXENE		0.18	0.16				
LIMONITE	235.63	504	288				
MARCASITE							
MAGNETITE	132.36	12.13	10.4				
MALACHITE							
MIMETITE							
MUSCOVITE							
OLIGISTE		0.24					
PERIDOTS							
PYROMORPHITE							
PYRITE-OXIDE	9.09	233.33	100				

Weathering : Gossan Other

**Mineralized Samples Taken From Anomal Area :**

Variables	No.	No.	No.	No.
Co				
Mn				
Ti				
Ba				
Cr				
Ni				
W				
Mo				
Au(ppb)				
Sb				
Bi				
Hg				
As				
Sn				
Pb				
Ag				
Cu				
Zn				
B				
Be				

Sheet 1/50,000 :

BEST

Anomaly Name :

BAY-1

## Geochemical Anomal Samples :

Sample No.	Amomaly	Raw Data	USR	Ei	1/PN

Airborne Geoph.: Shallow Magnetic Bodies: Geoph. Faults:

Alteration:	Silicification	Propilitic	Argilic	Qz. Carbonate	Listv.
Fault:	Fractur:	Limonite	Hematite	Goethite	Siderite
					Graizen
					Others

## Heavy Mineral Samples Taken From Anomal Area :

Heavy Mineral	S. No.	S. No.	S. No.	Heavy Mineral	S. No.	S. No.	S. No.
	BE-787H	BE-1006H	BT-784H		BE-787H	BE-1006H	BT-784H
ANGLESITE				PYRITE	0.2		0.33
ANATASE				RUTILE			0.28
APATITE				SCHEELITE		0.57	0.4
BARITE	0.17	21.12	0.29	SILLIMANITE			
BIOTITE				SPHENE			
BROOKITE				ZIRCON	0.17	20.64	
CHLORITE							
CHROMITE							
CINABRE							
CERUSSITE	0.26						
EPIDOTE	6.8	652.8	45.33				
FLOURITE							
GARNET							
GALENA							
GOLD							
HEMATITE	416	249.6	1040				
ILMENITE							
LEUCOXENE	0.16			0.26			
LIMONITE	1288	17.28	240				
MARCASITE							
MAGNETITE	10.4	24.96	17.33				
MALACHITE							
MIMETITE							
MUSCOVITE							
OLIGISTE							
PERIDOTS							
PYROMORPHITE		600	240				
PYRITE-OXIDE							

Weathering : Gossan  Other 

## Mineralized Samples Taken From Anomal Area :

Variables	No.	No.	No.	No.
Co				
Mn				
Ti				
Ba				
Cr				
Ni				
W				
Mo				
Au(ppb)				
Sb				
Bi				
Hg				
As				
Sn				
Pb				
Ag				
Cu				
Zn				
B				
Be				

## Geochemical Anomal Samples :

Sample No.	Amomaly	Raw Data	USR	Ei	1/PN
BE-698	Zn	345	IMV	3.87	12.41

Airborne Geoph. :  Shallow Magnetic Bodies:  Geoph. Faults: 

Alteration:	Silicification	Propilitic	Argilic	Qz. Carbonate	Listv.
Fault:	Fractur:	Limonite	Hematite	Goethite	Siderite
★	L.	<input type="checkbox"/>	<input type="checkbox"/>	<input type="checkbox"/>	<input type="checkbox"/>

## Heavy Mineral Samples Taken From Anomal Area :

Heavy Mineral	S. No.	S. No.	S. No.	Heavy Mineral	S. No.	S. No.	S. No.
ANGLESITE				PYRITE			
ANATASE				RUTILE			
APATITE				SCHEELITE			
BARITE				SILLIMANITE			
BIOTITE				SPHENE			
BROOKITE				ZIRCON			
CHLORITE							
CHROMITE							
CINABRE							
CERUSSITE							
EPIDOTE							
FLOURITE							
GARNET							
GALENA							
GOLD							
HEMATITE							
ILMENITE							
LEUCOXENE							
LIMONITE							
MARCASITE							
MAGNETITE							
MALACHITE							
MIMETITE							
MUSCOVITE							
OLIGISTE							
PERIDOTS							
PYROMORPHITE							
PYRITE-OXIDE							

Weathering : Gossan  Other 

## Mineralized Samples Taken From Anomal Area :

Variables	No.	No.	No.	No.
Co				
Mn				
Ti				
Ba				
Cr				
Ni				
W				
Mo				
Au(ppb)				
Sb				
Bi				
Hg				
As				
Sn				
Pb				
Ag				
Cu				
Zn				
B				
Be				

Sheet 1/50,000 : BEST Anomaly Name : BAY-3

Geochemical Anomal Samples :

Sample No.	Amomaly	Raw Data	USR	Ei	1/PN
BT-300	Au	0.0017	VCG	0.94	
BT-301	Au	0.012	VCG-IMV-SCH	6.66	0.71

Airborne Geoph.		Shallow Magnetic Bodies:			*	Geoph. Faults:	
Alteration:		Silicification	Propilitic	Argilic		Qz. Carbonate	Listv.
Fault:	Fractur:	Limonite	Hematite	Goethite		Siderite	Graizen
	L.-M.						Others

Heavy Mineral Samples Taken From Anomal Area :

Heavy Mineral	S. No.	S. No.	S. No.	Heavy Mineral	S. No.	S. No.	S. No.
BT-301H				PYRITE			28.75
BT-302H				RUTILE			
ANGLESITE				SCHEELITE			
ANATASE				SILLIMANITE			0.36
APATITE				SPHENE			
BARITE		25.3		ZIRCON			
BIOTITE							
BROOKITE							
CHLORITE							
CHROMITE							
CINABRE		0.93					
CERUSSITE							
EPIDOTE	367.2	1055.7					
FLOURITE							
GARNET	12.6	24.15					
GALENA							
GOLD							
HEMATITE	421.2	1883.7					
ILMENITE							
LEUCOXENE	12.5						
LIMONITE	388.8	186.3					
MARCASITE							
MAGNETITE	265.2	418.6					
MALACHITE							
MIMETITE							
MUSCOVITE							
OLIGISTE							
PERIDOTS							
PYROMORPHITE							
PYRITE-OXIDE	405	258.75					

Weathering : Gossan				Other

Mineralized Samples Taken From Anomal Area :

Variables	No.	No.	No.	No.
Co				
Mn				
Ti				
Ba				
Cr				
Ni				
W				
Mo				
Au(ppb)	0.48	1.4	4.6	
Sb	2.67	6.21	2.92	
Bi				
Hg	0.061	0.083	0.061	
As	22.6	77.5	23.9	
Sn				
Pb	92	70	54	
Ag	0.13	1.2	0.1	
Cu	26	38	38	
Zn	69	64	105	
B				
Be				

Others: Sericitic

## Geochemical Anomal Samples :

Sample No.	Amomaly	Raw Data	USR	Ei	1/PN
BT-248	Ag	0.61	VCG-SCH	6.1	12.41
BT-248	Mo	3.8	VCG-SCH	4.63	12.41

Airborne Geoph. :		Shallow Magnetic Bodies:			Geoph. Faults :		
Alteration :	Silicification	Propilitic	Argilic	Qz. Carbonate	Listv.		
Fault:	Fractur:	Limonite	Hematite	Goethite	Siderite	Graizen	Others
	M.-H.						*

## Heavy Mineral Samples Taken From Anomal Area :

Heavy Mineral	S. No.	S. No.	S. No.	Heavy Mineral	S. No.	S. No.	S. No.
	BT-248H	BT-249H	BT-1023H		BT-248H	BT-249H	BT-1023H
ANGLESITE			0.13	PYRITE	4.28	0.11	0.17
ANATASE	0.06	0.08		RUTILE			
APATITE				SCHEELITE	0.1	0.13	
BARITE	3.77	4.88	0.15	SILLIMANITE			
BIOTITE				SPHENE	0.06	0.07	
BROOKITE				ZIRCON	3.68	4.77	
CHLORITE							
CHROMITE							
CINABRE		0.18	0.28				
CERUSSITE		0.14	0.22				
EPIDOTE	29.14	75.55	5.95				
FLOURITE							
GARNET	3.6						
GALENA			0.26				
GOLD			0.59				
HEMATITE	267.42	635.55	364				
ILMENITE							
LEUCOXENE	0.06	4.44					
LIMONITE	123.42	200	252				
MARCASITE							
MAGNETITE	4.45	5.77	9.1				
MALACHITE							
MIMETITE							
MUSCOVITE							
OLIGISTE							
PERIDOTS							
PYROMORPHITE							
PYRITE-OXIDE	128.57	55.55	525				

Weathering : Gossan		Other	

## Mineralized Samples Taken From Anomal Area :

Variables	No.	No.	No.	No.
Co				
Mn				
Ti				
Ba				
Cr				
Ni				
W				
Mo				
Au(ppb)	11	14	1.1	2.4
Sb	41	7.62	1.48	2.15
Bi				
Hg	0.087	0.063	0.036	0.039
As	60.4	250	6.95	2.34
Sn				
Pb	730	130	13.5	43
Ag	27	1.35	0.07	0.21
Cu	80	150	23	123
Zn	148	238	3500	180
B				
Be				

Others: Sericitic, Albitic

Sheet 1/50,000 :  BEST  Anomaly Name :  BAY-4

Geochemical Anomalous Samples :

Sample No.	Anomaly	Raw Data	USR	Ei	1/PN

Airborne Geoph. :  Shallow Magnetic Bodies:  Geoph. Faults :

Alteration :	Silicification	Propilitic	Argilic	Qz. Carbonate	Listv.		
Fault:	Fractur:	Limonite	Hematite	Goethite	Siderite	Graizen	Others

Heavy Mineral Samples Taken From Anomalous Area :

Heavy Mineral	S. No.	S. No.	S. No.	Heavy Mineral	S. No.	S. No.	S. No.
				BT-239H			
ANGLESITE				PYRITE			
ANATASE	0.05			RUTILE			
APATITE				SCHEELITE			
BARITE				SILLIMANITE			
BIOTITE				SPHENE			
BROOKITE				ZIRCON			
CHLORITE							
CHROMITE							
CINABRE							
CERUSSITE							
EPIDOTE							
FLOURITE	0.04						
GARNET							
GALENA							
GOLD							
HEMATITE	105.3						
ILMENITE							
LEUCOXENE	0.05						
LIMONITE	2.43						
MARCASITE							
MAGNETITE	3.51						
MALACHITE							
MIMETITE							
MUSCOVITE							
OLIGISTE							
PERIDOTS							
PYROMORPHITE							
PYRITE-OXIDE	3.37						

Weathering : Gossan  Other

Mineralized Samples Taken From Anomalous Area :

Variables	No.	No.	No.	No.
Co				
Mn				
Ti				
Ba				
Cr				
Ni				
W				
Mo				
Au(ppb)	200	49	110	0.84
Sb	1.89	1.62	96	
Bi				
Hg	0.059	0.053	0.09	
As	200	100	31.6	
Sn				
Pb	12500	115	8000	
Ag	0.36	2.5	22	
Cu	198	1180	20000	
Zn	115	460	60000	
B				
Be				

## Geochemical Anomal Samples :

Sample No.	Amomaly	Raw Data	USR	Ei	1/PN

Airborne Geoph. :

Shallow Magnetic Bodies:

Geoph. Faults:

Alteration :	Silicification	Propilitic	Argilic	Qz. Carbonate	Listv.
Fault:	Fractur:	Limonite	Hematite	Goethite	Siderite
					Graizen
					Others

## Heavy Mineral Samples Taken From Anomal Area :

Heavy Mineral	S. No.	S. No.	S. No.	Heavy Mineral	S. No.	S. No.	S. No.
ANGLESITE				PYRITE			
ANATASE				RUTILE			
APATITE				SCHEELITE			
BARITE				SILLIMANITE			
BIOTITE				SPHENE			
BROOKITE				ZIRCON			
CHLORITE							
CHROMITE							
CINABRE							
CERUSSITE							
EPIDOTE							
FLOURITE							
GARNET							
GALENA							
GOLD							
HEMATITE							
ILMENITE							
LEUCOXENE							
LIMONITE							
MARCASITE							
MAGNETITE							
MALACHITE							
MIMETITE							
MUSCOVITE							
OLIGISTE							
PERIDOTS							
PYROMORPHITE							
PYRITE-OXIDE							

Weathering : Gossan

Other

## Mineralized Samples Taken From Anomal Area :

Variables	No.	No.	No.	No.
Co	248M8	248M9	1025M	
Mn				
Ti				
Ba				
Cr				
Ni				
W				
Mo				
Au(ppb)	1.8	10	4.5	
Sb			5.4	
Bi				
Hg			0.04	
As			42.8	
Sn				
Pb			200	
Ag			0.31	
Cu			50	
Zn			92	
B				
Be				

Sheet 1/50,000 : **BEST** Anomaly Name : **BAY-5**

**Geochemical Anomal Samples :**

Sample No.	Amomaly	Raw Data	USR	Ei	1/PN
BT-286	Zn	283	VCG-CAR-CCS	3.17	12.41
BT-286	Pb	30	VCG-CAR-CCS	3.68	4.68
BT-289	Ag	0.61	VCG-CAR	5.08	12.41

Airborne Geoph. :		Shallow Magnetic Bodies:			Geoph. Faults :		
Alteration :	Silicification	Propilitic	Argilic	Qz. Carbonate	Listv.		
Fault:	Fractur:	Limonite	Hematite	Goethite	Siderite	Graizen	Others
*	H.			*			

**Heavy Mineral Samples Taken From Anomal Area :**

Heavy Mineral	S. No.	S. No.	S. No.	Heavy Mineral	S. No.	S. No.	S. No.
	BT-285H	BT-290H	BT-291H	BT-285H	BT-290H	BT-291H	
ANGLESITE				PYRITE	0.25		0.16
ANATASE		0.19		RUTILE			
APATITE				SCHEELITE	0.3	0.3	
BARITE	11.1	11.2	7.04	SILLIMANITE			
BIOTITE				SPHENE			
BROOKITE				ZIRCON	0.21		
CHLORITE	6.87	7	4.4				
CHROMITE							
CINABRE		0.41					
CERUSSITE							
EPIDOTE	8.5	8.65	5.44				
FLOURITE							
GARNET		0.21	0.13				
GALENA							
GOLD		0.86					
HEMATITE	13	13.23	166.4				
ILMENITE							
LEUCOXENE	10						
LIMONITE	540	183.27	345.6				
MARCASITE							
MAGNETITE	13	13.23	8.32				
MALACHITE							
MIMETITE							
MUSCOVITE							
OLIGISTE							
PERIDOTS							
PYROMORPHITE							
PYRITE-OXIDE		763.63	160				

Weathering : Gossan				
Other				

**Mineralized Samples Taken From Anomal Area :**

Variables	No.	No.	No.	No.
Co				
Mn				
Ti				
Ba				
Cr				
Ni				
W				
Mo				
Au(ppb)	32	0.57	20	16
Sb	204	1.57	4.16	8.1
Bi				
Hg	0.05	0.042	0.15	0.63
As	204	1488	160	359
Sn				
Pb		2900	4200	
Ag	1	0.12	12	30
Cu	1700	95	3900	160
Zn	3000	1200	1500	3600
B				
Be				

Shear zone

Sheet 1/50,000 : BEST

Anomaly Name : BAY-5

## Geochemical Anomal Samples :

Sample No.	Anomaly	Raw Data	USRT	Ei	1/PN

Airborne Geoph.		Shallow Magnetic Bodies:		Geoph. Faults :	
Alteration :	Silicification	Propilitic	Argilic	Qz. Carbonate	Listv.
Fault:	Fractur:	Limonite	Hematite	Goethite	Siderite

## Heavy Mineral Samples Taken From Anomal Area :

Heavy Mineral	S. No.	S. No.	S. No.	Heavy Mineral	S. No.	S. No.	S. No.
	BT-286H	BT-292H	BT-1017H		BT-286H	BT-292H	BT-1017H
ANGLESITE				PYRITE		0.11	12.14
ANATASE			0.18	RUTILE			0.2
APATITE				SCHEELITE		0.13	
BARITE	6.53		10.68	SILLIMANITE			
BIOTITE				SPHENE		0.07	
BROOKITE				ZIRCON			0.2
CHLORITE							
CHROMITE							
CINABRE	0.24		0.39				
CERUSSITE			0.31				
EPIDOTE							
FLOURITE							
GARNET		4.66	10.2				
GALENA			18.21				
GOLD							
HEMATITE	154.51						
ILMENITE							
LEUCOXENE			0.08				
LIMONITE	106.97	240	349.71				
MARCASITE							
MAGNETITE	7.72	5.77	12.62				
MALACHITE			0.19				
MIMETITE							
MUSCOVITE							
OLIGISTE							
PERIDOTS							
PYROMORPHITE							
PYRITE-OXIDE	520	388.88	1821.42				

Weathering :	Gossan		Other	
--------------	--------	--	-------	--

## Mineralized Samples Taken From Anomal Area :

Variables	No.	No.	No.	No.
Co				
Mn				
Ti				
Ba				
Cr				
Ni				
W				
Mo				
Au(ppb)	30	0.7	4.5	6.6
Sb	11.1	0.61	0.81	9.38
Bi				
Hg	0.26	0.07	0.22	0.15
As	1129	1.77	179	153
Sn				
Pb	600	6.1	19.5	310
Ag	1.35	0.05	6.5	5
Cu	480	14	580	6500
Zn	1100	34	410	2600
B				
Be				

Sheet 1/50,000 : **BEST** Anomaly Name : **BAY-5**

**Geochemical Anomal Samples :**

Sample No.	Anomaly	Raw Data	USR	Ei	1/PN

Airborne Geoph. : Shallow Magnetic Bodies: Geoph. Faults :

Alteration :	Silicification	Propilitic	Argilic	Qz. Carbonate	Listv.
Fault:	Fractur:	Limonite Hematite Goethite	Siderite Graizen	Others	

**Heavy Mineral Samples Taken From Anomal Area :**

Heavy Mineral	S. No.	S. No.	S. No.	Heavy Mineral	S. No.	S. No.	S. No.
	BT-287H	BT-289H	BT-1015H		BT-287H	BT-289H	BT-1015H
ANGLESITE				PYRITE	0.11	0.42	9.83
ANATASE				RUTILE	0.09		0.15
APATITE				SCHEELITE			
BARITE	5.02	18.51	8.21	SILLIMANITE			
BIOTITE				SPHENE			
BROOKITE				ZIRCON			8.02
CHLORITE	3.14	11.57					
CHROMITE							
CINABRE					0.3		
CERUSSITE	0.14	0.54					
EPIDOTE	0.07	0.28	6.34				
FLOURITE							
GARNET	4.8	17.67	0.15				
GALENA							
GOLD							
HEMATITE	106.97	218.8	9.7				
ILMENITE							
LEUCOXENE	0.09						
LIMONITE	222.17	302.96	268.8				
MARCASITE							
MAGNETITE	5.94	21.88	9.7				
MALACHITE	0.09	0.33					
MIMETITE							
MUSCOVITE							
OLIGISTE	0.11						
PERIDOTS							
PYROMORPHITE							
PYRITE-OXIDE	205.71	1683.11	1306.66				

Weathering : Gossan Other

**Mineralized Samples Taken From Anomal Area :**

Variables	No.	No.	No.	No.
Co	BT-286M2	BT-286M3	BT-287M	BT-1015M
Mn				
Ti				
Ba				
Cr				
Ni				
W				
Mo				
Au(ppb)	63	7.2	2.2	20
Sb		0.7	7.76	4.26
Bi				
Hg		0.07	0.05	0.86
As		47.3	28.5	101
Sn		62	50	8750
Pb				
Ag		0.72	0.14	14.5
Cu		67	240	200
Zn		210	1200	2600
B				
Be				

Sheet 1/50,000 : BEST Anomaly Name : BAY-5

Geochemical Anomal Samples :

Sample No.	Amomaly	Raw Data	USR	Ei	1/PN

Airborne Geoph. : Shallow Magnetic Bodies:  Geoph. Faults :

Alteration :	Silicification	Propilitic	Argilic	Qz. Carbonate	Listv.		
Fault:	Fractur:	Limonite	Hematite	Goethite	Siderite	Graizen	Others

Heavy Mineral Samples Taken From Anomal Area :

Heavy Mineral	S. No.	S. No.	S. No.	Heavy Mineral	S. No.	S. No.	S. No.
	BT-1016H			PYRITE	0.18		
ANGLESITE				RUTILE	0.15		
ANATASE				SCHEELITE	0.21		
APATITE				SILLIMANITE			
BARITE	7.92			SPHENE			
BIOTITE				ZIRCON	7.74		
BROOKITE							
CHLORITE							
CHROMITE							
CINABRE							
CERUSSITE	0.23						
EPIDOTE	6.12						
FLOURITE							
GARNET							
GALENA	0.27						
GOLD							
HEMATITE	93.6						
ILMENITE							
LEUCOXENE	0.14						
LIMONITE	453.6						
MARCASITE							
MAGNETITE	9.36						
MALACHITE							
MIMETITE							
MUSCOVITE							
OLIGISTE							
PERIDOTS							
PYROMORPHITE							
PYRITE-OXIDE	360						

Weathering : Gossan  Other

Mineralized Samples Taken From Anomal Area :

Variables	No.	No.	No.	No.
Co				
Mn				
Ti				
Ba				
Cr				
Ni				
W				
Mo				
Au(ppb)	15	0.86	8.6	9.8
Sb	741			3.24
Bi				
Hg	1.15			0.11
As	519			94
Sn				
Pb	11500			2400
Ag	65.5			17
Cu	1600			3500
Zn	2700			2300
B				
Be				

Sheet 1/50,000 : **BEST** Anomaly Name : **BAY-5**

**Geochemical Anomal Samples :**

Sample No.	Amomaly	Raw Data	USRT	Ei	1/PN

Airborne Geoph. : Shallow Magnetic Bodies:  Geoph. Faults :

Alteration :	Silicification	Propilitic	Argilic	Qz. Carbonate	Listv.
Fault:	Fractur:	Limonite Hematite	Goethite	Siderite Graizen	Others

**Heavy Mineral Samples Taken From Anomal Area :**

Heavy Mineral	S. No.	S. No.	S. No.	Heavy Mineral	S. No.	S. No.	S. No.
ANGLESITE				PYRITE			
ANATASE				RUTILE			
APATITE				SCHEELITE			
BARITE				SILLIMANITE			
BIOTITE				SPHENE			
BROOKITE				ZIRCON			
CHLORITE							
CHROMITE							
CINABRE							
CERUSSITE							
EPIDOTE							
FLOURITE							
GARNET							
GALENA							
GOLD							
HEMATITE							
ILMENITE							
LEUCOXENE							
LIMONITE							
MARCASITE							
MAGNETITE							
MALACHITE							
MIMETITE							
MUSCOVITE							
OLIGISTE							
PERIDOTS							
PYROMORPHITE							
PYRITE-OXIDE							

Weathering : Gossan  Other

Variables	No.	No.	No.	No.
	BT-289M2	BT-289M3	BT-289M4	BT-289M5
Co				
Mn				
Ti				
Ba				
Cr				
Ni				
W				
Mo				
Au(ppb)	0.62		0.4	4.6
Sb	0.7	0.62	0.46	49.1
Bi				
Hg	0.05		0.03	0.05
As	4.16	11.3	1.42	365
Sn				
Pb	12	5.4	4.4	57
Ag	0.09	0.08	0.04	0.07
Cu	21	16	10	98
Zn	40	56	20	1500
B				
Be				

Sheet 1/50,000 : **BEST** Anomaly Name : **BAY-5**

**Geochemical Anomalous Samples :**

Sample No.	Amomaly	Raw Data	USR	Ei	1/PN

Airborne Geoph. :		Shallow Magnetic Bodies:			Geoph. Faults :		
Alteration :		Silicification	Propilitic	Argilic	Qz. Carbonate	Listv.	
Fault:		Limonite	Hematite	Goethite	Siderite	Graizen	Others

**Heavy Mineral Samples Taken From Anomalous Area :**

Heavy Mineral	S. No.	S. No.	S. No.	Heavy Mineral	S. No.	S. No.	S. No.
ANGLESITE				PYRITE			
ANATASE				RUTILE			
APATITE				SCHEELITE			
BARITE				SILLIMANITE			
BIOTITE				SPHENE			
BROOKITE				ZIRCON			
CHLORITE							
CHROMITE							
CINABRE							
CERUSSITE							
EPIDOTE							
FLOURITE							
GARNET							
GALENA							
GOLD							
HEMATITE							
ILMENITE							
LEUCOXENE							
LIMONITE							
MARCASITE							
MAGNETITE							
MALACHITE							
MIMETITE							
MUSCOVITE							
OLIGISTE							
PERIDOTS							
PYROMORPHITE							
PYRITE-OXIDE							

**Weathering : Gossan**

	Other
--	-------

**Mineralized Samples Taken From Anomalous Area :**

Variables	No.	No.	No.	No.
Co				
Mn				
Ti				
Ba				
Cr				
Ni				
W				
Mo				
Au(ppb)	0.55	0.5	9.6	
Sb	1.57	0.35	219	
Bi				
Hg	0.05	0.05	0.03	0.06
As	279	1.6	1.6	47.3
Sn				
Pb	50	3.2	2.5	1500
Ag	0.14	0.06	0.03	15.5
Cu	170	48	2.5	450
Zn	1300	120	67	190
B				
Be				

Sheet 1/50,000 :

BEST

Anomaly Name :

BAY-6

## Geochemical Anomal Samples :

Sample No.	Amomaly	Raw Data	USRRT	Ei	1/PN
BT-282	W	6.45	AV-CGS-CCS-IMV	4.92	12.41
BT-281	W	6	AV-CGS-CCS-IMV	4.58	12.41
BT-048	Pb	38	VCG-CAR-CCS	4.66	12.41
BT-049	Zn	412	VCG-CAR-CCS	4.62	12.41
BT-049	Pb	27	VCG-CAR-CCS	3.31	1.65

Airborne Geoph. :		Shallow Magnetic Bodies:			Geoph. Faults :		
Alteration :	Silicification	Propilitic	Argilic	Qz. Carbonate	Listv.		
Fault:	Fractur:	Limonite	Hematite	Goethite	Siderite	Graizen	Others
	*	M.-H.					

## Heavy Mineral Samples Taken From Anomal Area :

Heavy Mineral	S. No.	S. No.	S. No.	Heavy Mineral	S. No.	S. No.	S. No.
	BT-042H	BT-043H	BT-044H		BT-042H	BT-043H	BT-044H
ANGLESITE				PYRITE	0.06	0.43	
ANATASE		0.33		RUTILE	2.8	0.36	0.1
APATITE				SCHEELITE	0.08	26.18	
BARITE .	2.93	19.2	0.1	SILLIMANITE			
BIOTITE				SPHENE	0.04	0.3	0.08
BROOKITE				ZIRCON	2.86	18.76	0.1
CHLORITE							
CHROMITE							
CINABRE		35.34					
CERUSSITE							
EPIDOTE							
FLOURITE							
GARNET	112	696.43	0.1				
GALENA							
GOLD							
HEMATITE	34.66	136.14	6.24				
ILMENITE							
LEUCOXENE							
LIMONITE			432				
MARCASITE							
MAGNETITE	3.46	2859.05	6.24				
MALACHITE							
MIMETITE							
MUSCOVITE							
OLIGISTE		0.45					
PERIDOTS							
PYROMORPHITE							
PYRITE-OXIDE	466.66	65.45	420				

## Weathering : Gossan Other

## Mineralized Samples Taken From Anomal Area :

Variables	No.	No.	No.	No.
Co				
Mn				
Ti				
Ba				
Cr				
Ni				
W				
Mo				
Au(ppb)	0.38	0.32	1980	51
Sb	0.35	0.32	1.32	1.76
Bi				
Hg	0.04	0.03	0.1	0.06
As	27.9	2.79	8.55	14
Sn				
Pb	9	3	8.1	4.8
Ag	0.04	0.03	0.29	0.48
Cu	31	16	21	14
Zn	22	20	44	87
B				
Be				

Shear zone

Sheet 1/50,000 : BEST Anomaly Name : BAY-6

Geochemical Anomal Samples :

Sample No.	Amomaly	Raw Data	USR	Ei	1/PN

Airborne Geoph. : Shallow Magnetic Bodies:  Geoph. Faults:

Alteration:	Silicification	Propilitic	Argilic	Qz. Carbonate	Listv.		
Fault:	Fractur:	Limonite	Hematite	Goethite	Siderite	Graizen	Others

Heavy Mineral Samples Taken From Anomal Area :

Heavy Mineral	S. No. BT-041H	S. No. BT-280H	S. No. BT-281H	Heavy Mineral	S. No. BT-041H	S. No. BT-280H	S. No. BT-281H
ANGLESITE				PYRITE	7.5	0.66	10.71
ANATASE	0.11			RUTILE	0.12	0.56	0.18
APATITE				SCHEELITE	0.18	40	12.85
BARITE	0.13	29.33	9.42	SILLIMANITE			
BIOTITE				SPHENE	5.25		
BROOKITE				ZIRCON	6.45	28.66	9.21
CHLORITE							
CHROMITE							
CINABRE	0.24	1.08	0.34				
CERUSSITE							
EPIDOTE	5.1	181.33	0.14				
FLOURITE							
GARNET	623.7	2240	675				
GALENA			0.32				
GOLD							
HEMATITE	171.6	416	167.14				
ILMENITE							
LEUCOXENE	0.12	0.53	0.17				
LIMONITE	5.4	24	7.71				
MARCASITE							
MAGNETITE	124.8	1248	1002.86				
MALACHITE							
MIMETITE							
MUSCOVITE							
OLIGISTE		277.33	11.14				
PERIODOTS							
PYROMORPHITE							
PYRITE-OXIDE	270	800	160.71				

Weathering : Gossan  Other

Mineralized Samples Taken From Anomal Area :

Variables	No. BT-043M4	No. BT-043M5	No. BT-040M1	No. BT-040M2
Co				
Mn				
Ti				
Ba				
Cr				
Ni				
W				
Mo				
Au(ppb)	51	110	14	1.2
Sb	1.76	5.26	47	51.3
Bi				
Hg	0.06	0.06	0.14	0.05
As	14	1254	1949	6.95
Sn				
Pb	4.8	100	120	25
Ag	0.48	6.5	35	3
Cu	14	100	18000	88000
Zn	87	20	3800	2000
B				
Be				

Sheet 1/50,000 : **BEST** Anomaly Name : **BAY-6**

**Geochemical Anomal Samples :**

Sample No.	Amomaly	Raw Data	USR	Ei	1/PN

Airborne Geoph. : Shallow Magnetic Bodies:  Geoph. Faults :

Alteration :	Silicification	Propilitic	Argilic	Qz. Carbonate	Listy,
Fault:	Fractur:	Limonite	Hematite	Goethite	Siderite
		<input type="checkbox"/>	<input type="checkbox"/>	<input type="checkbox"/>	<input type="checkbox"/>
		<input type="checkbox"/>	<input type="checkbox"/>	<input type="checkbox"/>	<input type="checkbox"/>
		<input type="checkbox"/>	<input type="checkbox"/>	<input type="checkbox"/>	<input type="checkbox"/>

**Heavy Mineral Samples Taken From Anomal Area :**

Heavy Mineral	S. No.	S. No.	S. No.	Heavy Mineral	S. No.	S. No.	S. No.
	BT-238H	BT-1018H	BT-1019H				
ANGLESITE				PYRITE		0.12	11.56
ANATASE		0.09	0.17	RUTILE	0.09	0.1	0.19
APATITE				SCHEELITE		0.15	13.87
BARITE	5.13	0.11	10.17	SILLIMANITE			
BIOTITE				SPHENE	0.08		
BROOKITE				ZIRCON		5.37	9.94
CHLORITE	3.2						
CHROMITE							
CINABRE		10.12		18.73			
CERUSSITE		0.16	0.3				
EPIDOTE	3.96	119					
FLOURITE							
GARNET	14.7	294	116.55				
GALENA			0.34				
GOLD		0.42					
HEMATITE	84.93	117	192.4				
ILMENITE		0.11					
LEUCOXENE	0.09	0.1					
LIMONITE	12.6	13.5	33.3				
MARCASITE							
MAGNETITE	327.6	273	1298.7				
MALACHITE			0.18				
MIMETITE							
MUSCOVITE							
OLIGISTE		0.13	96.2				
PERIDOTS							
PYROMORPHITE							
PYRITE-OXIDE	367.5	87.5	92.5				

Weathering : Gossan  Other

**Mineralized Samples Taken From Anomal Area :**

Variables	No.	No.	No.	No.
Co	BT-040M3	BT-040M4	BT-.41M	BT-281M1
Mn				
Ti				
Ba				
Cr				
Ni				
W				
Mo				
Au(ppb)	2.2	0.99	0.82	1.4
Sb	0.81	1.7	0.51	0.69
Bi				
Hg	0.04	0.04	0.04	0.03
As	7.98	3.25	7.18	2.11
Sn				
Pb	10	10	4.9	5.2
Ag	0.15	0.09	0.05	0.08
Cu	520	48	180	5.2
Zn	150	900	55	74
B				
Be				

Sheet 1/50,000 : **BEST** Anomaly Name : **BAY-6**

**Geochemical Anomal Samples :**

Sample No.	Amomaly	Raw Data	USR	Ei	1/PN

Airborne Geoph. : Shallow Magnetic Bodies:  Geoph. Faults :

Alteration :	Silicification	Propilitic	Argilic	Qz. Carbonate	<input type="checkbox"/>	Listv.
Fault:	Fractur:	Limonite	Hematite	Goethite	<input type="checkbox"/>	Siderite
		<input type="checkbox"/>	<input type="checkbox"/>	<input type="checkbox"/>	<input type="checkbox"/>	Graizen
					<input type="checkbox"/>	Others

**Heavy Mineral Samples Taken From Anomal Area :**

Heavy Mineral	S. No.	S. No.	S. No.	Heavy Mineral	S. No.	S. No.	S. No.
ANGLESITE				PYRITE			
	BT-048H	BT-049H			10.83		
ANATASE				RUTILE			
					0.18		
APATITE				SCHEELITE			
					13		
BARITE				SILLIMANITE			
BIOTITE				SPHENE	1.4	7.58	
				ZIRCON	0.03	0.18	
BROOKITE							
CHLORITE							
CHROMITE							
CINABRE	0.06	17.55					
CERUSSITE		0.28					
EPIDOTE							
FLOURITE							
GARNET	1.68	1146.6					
GALENA							
GOLD							
HEMATITE	41.6	11.26					
ILMENITE							
LEUCOXENE							
LIMONITE	14.4	0.15					
MARCASITE							
MAGNETITE	2.08	676					
MALACHITE							
MIMETITE							
MUSCOVITE							
OLIGISTE		78.86					
PERIDOTS							
PYROMORPHITE							
PYRITE-OXIDE	240	10.83					

Weathering : Gossan  Other

**Mineralized Samples Taken From Anomal Area :**

Variables	No.	No.	No.	No.
Co				
Mn				
Ti				
Ba				
Cr				
Ni				
W				
Mo				
Au(ppb)	51	31	110	1.2
Sb	74.1	3.29	0.81	1.52
Bi				
Hg	0.05	1.23	0.05	0.03
As	74.1	342	274	41
Sn				
Pb	9.6	200	92	5
Ag	0.04	14	5.4	0.08
Cu	98	2200	56	31
Zn	25	5800	105	20
B				
Be				

Sheet 1/50,000 : **BEST** Anomaly Name : **BAY-6**

**Geochemical Anomal Samples :**

Sample No.	Amomaly	Raw Data	USR	Ei	1/PN

Airborne Geoph. : Shallow Magnetic Bodies:  Geoph. Faults :

Alteration :	Silicification	Propilitic	Argilic	Qz. Carbonate	Listv.
Fault:	Fractur:	Limonite	Hematite	Goethite	Siderite

**Heavy Mineral Samples Taken From Anomal Area :**

Heavy Mineral	S. No.	S. No.	S. No.	Heavy Mineral	S. No.	S. No.	S. No.
ANGLESITE				PYRITE			
ANATASE				RUTILE			
APATITE				SCHEELITE			
BARITE				SILLIMANITE			
BIOTITE				SPHENE			
BROOKITE				ZIRCON			
CHLORITE							
CHROMITE							
CINABRE							
CERUSSITE							
EPIDOTE							
FLOURITE							
GARNET							
GALENA							
GOLD							
HEMATITE							
ILMENITE							
LEUCOXENE							
LIMONITE							
MARCASITE							
MAGNETITE							
MALACHITE							
MIMETITE							
MUSCOVITE							
OLIGISTE							
PERIDOTS							
PYROMORPHITE							
PYRITE-OXIDE							

Weathering : Gossan  Other

**Mineralized Samples Taken From Anomal Area :**

Variables	No.	No.	No.	No.
Co	BT-1018M	BT-281M3		
Mn				
Ti				
Ba				
Cr				
Ni				
W				
Mo				
Au(ppb)	4.2	50		
Sb	4.15	227		
Bi				
Hg	0.1	0.16		
As	24.1	227		
Sn				
Pb	21.5	39		
Ag	0.15	0.15		
Cu	25	100		
Zn	45	200		
B				
Be				

Sheet 1/50,000 : BEST Anomaly Name : BAY-7

Geochemical Anomalies :

Sample No.	Anomaly	Raw Data	USR	Ei	1/PN
BT-020	Ag	0.39	AV-CGS-CCS-IMV	3.9	12.41
BT-020	Sn	6.15	AV-CGS-CCS-IMV	2.12	4.61
BT-026	As	88.8	AV-CGS-CCS-IMV	10.3	2.14

Airborne Geoph.		Shallow Magnetic Bodies:			Geoph. Faults:		
Alteration:		Silicification	Propilitic	Argilic	Qz. Carbonate	Listv.	
Fault:	Fractur:	Limonite	Hematite	Goethite	Siderite	Graizen	Others
Thrust	H.						

Heavy Mineral Samples Taken From Anomalous Area :

Heavy Mineral	S. No.	S. No.	S. No.	Heavy Mineral	S. No.	S. No.	S. No.
	BT-020H	BT-026H	BT-1020H		BT-020H1	BT-026H1	BT-1020H
ANGLESITE				PYRITE	0.11		0.13
ANATASE	0.08	0.16	0.1	RUTILE	0.09		0.11
APATITE				SCHEELITE			
BARITE	4.88	9.68	5.86	SILLIMANITE			
BIOTITE				SPHENE	3.88	0.15	
BROOKITE				ZIRCON	0.09	0.18	0.11
CHLORITE							
CHROMITE							
CINABRE	0.18						
CERUSSITE	0.14						
EPIDOTE	3.77	7.48					
FLOURITE							
GARNET		0.18					
GALENA	0.16						
GOLD	0.37						
HEMATITE	231.11	228.8	6.93				
ILMENITE							
LEUCOXENE	0.08	8.81					
LIMONITE	160	7.92	96				
MARCASITE							
MAGNETITE	5.77	11.44	6.93				
MALACHITE							
MIMETITE	0.15						
MUSCOVITE							
OLIGISTE							
PERIDOTS							
PYROMORPHITE							
PYRITE-OXIDE	333.33	11	133.33				

Weathering :		Gossan	Other

Mineralized Samples Taken From Anomalous Area :

Variables	No.	No.	No.	No.
Co				
Mn				
Ti				
Ba				
Cr				
Ni				
W				
Mo				
Au(ppb)	2.2	9.2	6.1	19
Sb	19.2	2.17	5.3	
Bi				
Hg	0.13	0.04	0.18	
As	71.2	78.7	182	
Sn				
Pb	1450	205	2200	
Ag	5	0.68	13	
Cu	180	239.5	500	
Zn	420	83	810	
B				
Be				

Shear zone

Sheet 1/50,000 : BEST Anomaly Name : BAY-8

Geochemical Anomal Samples :

Sample No	Anomaly	Raw Data	USRRT	Ei	1/PN
BT-077	Zn	268	CGS-IMV-CAR-VCG	2.72	9.23
BT-077	Bi	1.15	CGS-IMV-CAR-VCG	3.83	1.75
BT-077	Mo	2.4	CGS-IMV-CAR-VCG	3.33	12.41
BH-255	Bi	1.34	IMV-VCG-SCH	3.82	1.74
BH-256	Bi	1.71	CAR-VCG-SCH	5.7	12.41

Airborne Geoph. : Shallow Magnetic Bodies: \* Geoph. Faults : \*

Alteration :	Silicification	Propilitic	Argillic	Qz. Carbonate	Listv.
*					
H.					

Weathering : Gossan  Other

Heavy Mineral Samples Taken From Anomal Area :

Heavy Mineral	S. No.	S. No.	S. No.	Heavy Mineral	S. No.	S. No.	S. No.
	BH-255H	BH-256H	BT-1024H	PYRITE	12		
ANGLESITE				RUTILE			
ANATASE				SCHEELITE	0.28	22.2	13.5
APATITE				SILLIMANITE			
BARITE	0.21	16.281		SPHENE			
BIOTITE				ZIRCON			9.67
BROOKITE							
CHLORITE							
CHALCOPYRITE							
CINABRE	0.38	29.97	18.22				
CERUSSITE							
EPIDOTE	8.16	12.58	306				
FLOURITE							
GARNET		15.54	0.18				
GALENA			0.33				
GOLD							
HEMATITE	124.8	384.8	117				
ILMENITE							
LEUCOXENE	0.19		0.18				
LIMONITE	691.2	799.2	648				
MARCASITE							
MAGNETITE	12.48	19.24	11.7				
MALACHITE							
MIMETITE							
MUSCOVITE							
OLIGISTE	12.48		11.7				
PERIDOTS							
PYROMORPHITE							
PYRITE-OXIDE	120	925	225				

Mineralized Samples Taken From Anomal Area :

Variables	No.	No.	No.	No.
Co				
Mn				
Ti				
Ba				
Cr				
Ni				
VW		10.5		
Mo		21.6		
Au(ppb)	17	58	28	730
Sb	2.11		1.38	0.35
Bi				
Hg	0.43	0.05	0.06	0.05
As	71.5		12.7	8.84
Sn				
Pb	660	8.5	3.1	8.6
Ag	0.81	0.08	0.19	0.079
Cu	110	32	39	41
Zn	2800	84	25	35
B				
Be				

Shear zone

Others: Sericitic ,Albitic  
USRRT(077) :SCH

Sheet 1/50,000 : **BEST** Anomaly Name : **BAY-8**

**Geochemical Anomal Samples :**

Sample No.	Amomaly	Raw Data	USRT	Ei	1/PN

Airborne Geoph. : Shallow Magnetic Bodies:  Geoph. Faults:

Alteration:	Silicification	Propilitic	Argilic	Qz. Carbonate	Listv.
Fault:	Fractur:	Limonite	Hematite	Goethite	Siderite
		<input type="checkbox"/>	<input type="checkbox"/>	<input type="checkbox"/>	<input type="checkbox"/>
		<input type="checkbox"/>	<input type="checkbox"/>	<input type="checkbox"/>	<input type="checkbox"/>
		<input type="checkbox"/>	<input type="checkbox"/>	<input type="checkbox"/>	<input type="checkbox"/>
		<input type="checkbox"/>	<input type="checkbox"/>	<input type="checkbox"/>	<input type="checkbox"/>

**Heavy Mineral Samples Taken From Anomal Area :**

Heavy Mineral	S. No.	S. No.	S. No.	Heavy Mineral	S. No.	S. No.	S. No.
	BT-077H	BT-078H	BT-079H		BT-077H	BT-078H	BT-079H
ANGLESITE	4.46		14.06	PYRITE	3.57	16.25	11.25
ANATASE		0.24		RUTILE		0.27	
APATITE				SCHEELITE		0.39	13.5
BARITE	3.14		9.9	SILLIMANITE			
BIOTITE				SPHENE		11.37	
BROOKITE				ZIRCON	0.06	13.97	9.67
CHLORITE							
CHROMITE							
CINABRE		0.52	0.36				
CERUSSITE	4.64						
EPIDOTE	2.42	198.9	153				
FLOURITE							
GARNET	0.06	122.85	0.18				
GALENA							
GOLD							
HEMATITE	37.14	473.2	936				
ILMENITE							
LEUCOXENE	0.05		0.18				
LIMONITE	128.57	128.7	162				
MARCASITE							
MAGNETITE	3.71	287.3	11.7				
MALACHITE							
MIMETITE							
MUSCOVITE							
OLIGISTE		16.9	11.7				
PERIDOTS							
PYROMORPHITE							
PYRITE-OXIDE	392.85	1170	562.5				

Weathering : Gossan  Other

**Mineralized Samples Taken From Anomal Area :**

Variables	No.	No.	No.	No.
Co	BT-077M1	BT-077M2	BT-077M3	
Mn				
Ti				
Ba				
Cr				
Ni				
W				
Mo				
Au(ppb)	34	5.6	77	
Sb	0.99	0.45	7.4	
Bi				
Hg	0.17	0.03	0.04	
As	8.44	4.5	120	
Sn				
Pb	10000	53	25	
Ag	42.5	0.24	0.06	
Cu	2150	40	24	
Zn	41000	170	80	
B				
Be				

Sheet 1/50,000 : BEST Anomaly Name : BAY-9

Geochemical Anomal Samples :

Sample No.	Amomaly	Raw Data	USRT	Ei	1/PN
BT-714	Bi	2.91	CAR-IMV-VCG-SCH	8.31	12.41
BT-709	Ba	780	CAR-VCG-SCH	2.04	3.82

Airborne Geoph. :	Shallow Magnetic Bodies:			Geoph. Faults :		
Alteration :	Silicification		Propilitic	Argilic	Qz. Carbonate	Listv.
Fault:	Fractur:	Limonite	Hematite	Goethite	Siderite	Graizen
*	L.					Others

Heavy Mineral Samples Taken From Anomal Area :

Heavy Mineral	S. No.	S. No.	S. No.	Heavy Mineral	S. No.	S. No.	S. No.
	BT-714H	BT-715H	BT-1038H		BT-714H	BT-715H	BT-1038H
ANGLESITE				PYRITE	0.24	0.26	0.34
ANATASE		10.13	0.26	RUTILE	11.2	0.28	
APATITE				SCHEELITE	16	0.41	
BARITE	10.56		15.08	SILLIMANITE			
BIOTITE				SPHENE			
BROOKITE				ZIRCON	10.32		14.74
CHLORITE							
CHROMITE							
CINABRE	0.38	0.43	0.55				
CERUSSITE	15.6		0.044				
EPIDOTE	163.2	45.33					
FLOURITE							
GARNET	100.8	560	144				
GALENA		20					
GOLD							
HEMATITE	374.4	208	1069.71				
ILMENITE							
LEUCOXENE			0.27				
LIMONITE	691.2		740.57				
MARCASITE							
MAGNETITE	12.48	1178.67	17.82				
MALACHITE							
MIMETITE							
MUSCOVITE							
OLIGISTE		554.66	17.82				
PERIDOTS							
PYROMORPHITE							
PYRITE-OXIDE			342.85				

Weathering :	Gossan	Other

Mineralized Samples Taken From Anomal Area :

Variables	No.	No.	No.	No.
Co				
Mn				
Ti				
Ba				
Cr				
Ni				
W				
Mo				
Au(ppb)	1.3	1.3	2.7	0.8
Sb	0.57	4.7	2.94	0.54
Bi				
Hg	0.07	0.04	0.04	0.05
As	3.99	6.84	22.7	2.62
Sn				
Pb	3.6	19	24	9
Ag	0.03	0.4	1.1	0.03
Cu	2.9	68	10	5.8
Zn	38	44	34	44
B				
Be				

Shear zone

Sheet 1/50,000 : BEST Anomaly Name : BAY-9

### **Geochemical Anomal Samples :**

### Heavy Mineral Samples Taken From Anomal Area

Heavy Mineral	S. No.	S. No.	S. No.	Heavy Mineral	S. No.	S. No.	S. No.
	BT-709H				BT-709H		
ANGLESITE				PYRITE			
ANATASE	0.17			RUTILE	0.19		
APATITE				SCHEELITE	0.28		
BARITE	10.26			SILLIMANITE			
BIOTITE				SPHENE	0.16		
BROOKITE				ZIRCON	0.2		
CHLORITE							
CHROMITE							
CINABRE							
CERUSSITE							
EPIDOTE	7.93						
FLOURITE							
GARNET	98						
GALENA							
GOLD							
HEMATITE							
ILMENITE							
LEUCOXENE							
LIMONITE	8.4						
MARCASITE							
MAGNETITE	12.13						
MALACHITE							
MIMETITE							
MUSCOVITE							
OLIGISTE							
PERIDOTS							
PYROMORPHITE							
PYRITE-OXIDE							

Weathering : Gossan  Other

### Mineralized Samples Taken From Anomal Area

## Geochemical Anomal Samples :

Sample No.	Amomaly	Raw Data	USR	Ei	1/PN
BH-152	Sb	8.58	CAR-FGS	11.83	6.3
BH-317	Ni	588	CAR	10.5	12.41
BH-318	Ni	470	CAR-CCS-IMV	8.39	12.41
BH-319	Ni	330	CAR-CCS-IMV	5.89	12.41
BH-318	Hg	0.21	CAR-CCS-IMV	6.46	2.03

## Heavy Mineral Samples Taken From Anomal Area :

Heavy Mineral	S. No.	S. No.	S. No.	Heavy Mineral	S. No.	S. No.	S. No.
	BH-1040H	BH-1041H	BH-319H		BH-1040H	BH-1041H	BH-319H
ANGLESITE				PYRITE		0.13	
ANATASE	0.27			RUTILE		5.6	7.7
APATITE				SCHEELITE			
BARITE	0.31	5.86	8.06	SILLIMANITE			
BIOTITE				SPHENE		0.12	
BROOKITE				ZIRCON	15.48	5.73	7.88
CHLORITE							
CHROMITE							
CINABRE	29.16	0.21	0.29				
CERUSSITE		0.17					
EPIDOTE		0.09	6.23				
FLOURITE							
GARNET	0.3	0.11					
GALENA	0.54						
GOLD							
HEMATITE	2808	624	762.66				
ILMENITE	16.92	0.12					
LEUCOXENE	0.28	0.1	7.33				
LIMONITE	388.8	336	396				
MARCASITE							
MAGNETITE	18.72	6.93	9.53				
MALACHITE							
MIMETITE							
MUSCOVITE							
OLIGISTE	18.72	0.13	9.53				
PERIDOTS							
PYROMORPHITE							
PYRITE-OXIDE	180	66.66					

Airborne Geoph. :		Shallow Magnetic Bodies:			Geoph. Faults :		
Alteration :		Silicification	Propilitic	Argilic	Qz. Carbonate	Listv.	
Fault:	Fractur:	*					
*	L.						

Weathering : Gossan		Other	

## Mineralized Samples Taken From Anomal Area :

Variables	No.	No.	No.	No.
Co	BH-1042M1	BH-1042M2	BH-1042M3	BH-1043M1
Mn				
Ti				
Ba				
Cr				
Ni				
W				
Mo				
Au(ppb)	4.3	16	25	1.3
Sb	3.33	0.61	3.49	1.5
Bi				
Hg	0.04	0.03	0.03	0.03
As	6.73	2.39	10.7	3.65
Sn				
Pb	68	24.5	17	13.5
Ag	0.19	0.11	0.38	0.09
Cu	48	19	2500	13
Zn	87	20	190	32
B				
Be				

## Geochemical Anomal Samples :

Sample No.	Amomaly	Raw Data	USRT	Ei	1/PN

Airborne Geoph. : Shallow Magnetic Bodies: Geoph. Faults :

Alteration :	Silicification	Propilitic	Argilic	Qz. Carbonate	Listv.		
Fault:	Fractur:	Limonite	Hematite	Goethite	Siderite	Graizen	Others

## Heavy Mineral Samples Taken From Anomal Area :

Heavy Mineral	S. No.	S. No.	S. No.	Heavy Mineral	S. No.	S. No.	S. No.
	BH-1042H	BH-1043H	BH-318H		BH-1042H	BH-1043H	BH-318H
ANGLESITE			23.91	PYRITE			19.13
ANATASE		0.09	14.53	RUTILE		0.1	16.06
APATITE				SCHEELITE			
BARITE	0.17		33.66	SILLIMANITE			
BIOTITE				SPHENE			0.26
BROOKITE				ZIRCON	0.17	0.1	32.9
CHLORITE							
CHROMITE							
CINABRE	0.32	0.2	123.96				
CERUSSITE			24.86				
EPIDOTE			13				
FLOURITE							
GARNET		371.36	0.32				
GALENA							
GOLD							
HEMATITE	624		78.82	1790.6			
ILMENITE							
LEUCOXENE	8	5.05		15.3			
LIMONITE	7.2			743.79			
MARCASITE							
MAGNETITE	10.4	6.56		19.89			
MALACHITE				0.3			
MIMETITE							
MUSCOVITE							
OLIGISTE				19.89			
PERIDOTS							
PYROMORPHITE							
PYRITE-OXIDE	200		63.15	459.13			

Weathering : Gossan Other

## Mineralized Samples Taken From Anomal Area :

Variables	No.	No.	No.	No.
Co	BH-1043M2	BH-1043M3	BH-1040M	BH-1041M
Mn				
Ti				
Ba				
Cr				
Ni				
W				
Mo				
Au(ppb)	1.4	5.2	6.7	2.4
Sb	1.83	1.58	3.27	1.3
Bi				
Hg	0.03	0.03	0.08	0.05
As	8.26	2.05	4612	51.3
Sn				
Pb	68	20.5	140	27
Ag	0.25	0.09	0.16	0.16
Cu	125	17	135	27
Zn	102	20	370	74
B				
Be				

## Geochemical Anomalies :

Sample No.	Amomaly	Raw Data	USR	Ei	1/PN

Airborne Geoph. : Shallow Magnetic Bodies: Geoph. Faults:

Alteration :	Silicification	Propilitic	Argilic	Qz. Carbonate	Listv.
Fault:	Fractur:	Limonite	Hematite	Goethite	Siderite
					Graizen
					Others

## Heavy Mineral Samples Taken From Anomalous Area :

Heavy Mineral	S. No.	S. No.	S. No.	Heavy Mineral	S. No.	S. No.	S. No.
ANGLESITE				PYRITE			
ANATASE				RUTILE			
APATITE				SCHEELITE			
BARITE				SILLIMANITE			
BIOTITE				SPHENE			
BROOKITE				ZIRCON			
CHLORITE							
CHROMITE							
CINABRE							
CUPRITE							
EPIDOTE							
FLOURITE							
GARNET							
GALENA							
GOLD							
HEMATITE							
ILMENITE							
LEUCOXENE							
LIMONITE							
MARCASITE							
MAGNETITE							
MALACHITE							
MIMETITE							
MUSCOVITE							
OLIGISTE							
PERIDOTS							
PYROMORPHITE							
PYRITE-OXIDE							

Weathering : Gossan Other

## Mineralized Samples Taken From Anomalous Area :

Variables	No.	No.	No.	No.
Co	BH-319M1	BH-319M2	BH-318M1	BH-318M2
Mn				
Ti				
Ba				
Cr				
Ni				
W				
Mo				
Au(ppb)	2.2	13	2.9	0.7
Sb	6.08	4.05	2.59	12.7
Bi				
Hg	0.09	0.06	0.04	0.33
As	101	99.2	88.4	74.1
Sn				
Pb	8.4	32	1550	35
Ag	0.58	0.21	2.1	0.17
Cu	3.4	5	110	34
Zn	150	44	76	40
B				
Be				

Geochemical Anomal Samples :

Sample No.	Amomaly	Raw Data	USR	EI	1/PN
BH-017	Au	0.04	IMV-CAR-VCG-FGS	23.15	12.41
BH-017	Sb	13.7	IMV-CAR-VCG-FGS	15.39	12.41
BH-017	As	120	IMV-CAR-VCG-FGS	12.24	3.52
BH-018	As	83.8	IMV-CAR-VCG-FGS	8.55	1.23

Airborne Geoph. :		Shallow Magnetic Bodies:				Geoph. Faults :	
Alteration :	Silicification	Propilitic	Argilic	Qz. Carbonate	Listv.		
Fault:	Fractur:	Limonite	Hematite	Goethite	Siderite	Graizen	Others
*	L.	*	*	*	*	*	*

Heavy Mineral Samples Taken From Anomal Area :

Heavy Mineral	S. No.	S. No.	S. No.	Heavy Mineral	S. No.	S. No.	S. No.
	BH-1028H	BH-1029H	BH-018H		BH-1028H	BH-1029H	BH-018H
ANGLESITE				PYRITE	0.27		
ANATASE	10.45	8.29	0.12	RUTILE	11.55	9.16	6.72
APATITE				SCHEELITE			
BARITE	12.1	9.6	14.08	SILLIMANITE			
BIOTITE				SPHENE	0.19	0.15	5.6
BROOKITE				ZIRCON	11.82	9.38	0.13
CHLORITE							
CHROMITE	69.12						
CINABRE	0.44	0.35	0.25				
CERUSSITE	0.35						
EPIDOTE	9.35	7.41	5.44				
FLOURITE							
GARNET		0.18	33.6				
GALENA	0.41						
GOLD	0.93		0.54				
HEMATITE	286	113.45	149.76				
ILMENITE							
LEUCOXENE	0.22	0.17	12.8				
LIMONITE	594	942.54	207.36				
MARCASITE							
MAGNETITE	14.3	11.34	8.32				
MALACHITE							
MIMETITE							
MUSCOVITE							
OLIGISTE	0.28						
PERIDOTS							
PYROMORPHITE							
PYRITE-OXIDE	1512.5	654.54	72				

Weathering : Gossan				Other
No.	No.	No.	No.	

Mineralized Samples Taken From Anomal Area :				
Variables	No.	No.	No.	No.
Co				
Mn				
Ti				
Ba				
Cr				
Ni				
W				
Mo				
Au(ppb)	460	11	5780	200
Sb				
Bi				
Hg				
As				
Sn				
Pb				
Ag				
Cu				
Zn				
B				
Be				

Others:Carbonate

## Geochemical Anomal Samples :

Sample No.	Amomaly	Raw Data	USR	Ei	1/PN

Airborne Geoph. : Shallow Magnetic Bodies:  Geoph. Faults : 

Alteration :	Silicification	Propilitic	Argilic	Qz. Carbonate	Listv.		
Fault:	Fractur:	Limonite	Hematite	Goethite	Siderite	Graizen	Others

## Heavy Mineral Samples Taken From Anomal Area :

Heavy Mineral	S. No.	S. No.	S. No.	Heavy Mineral	S. No.	S. No.	S. No.
ANGLESITE				PYRITE	0.26		
ANATASE	0.2			RUTILE	0.22		
APATITE				SCHEELITE			
BARITE	11.73			SILLIMANITE			
BIOTITE				SPHENE	9.33		
BROOKITE				ZIRCON	0.22		
CHLORITE							
CHROMITE	230.4						
CINABRE	0.43						
CUPRITE							
EPIDOTE	9.06						
FLOURITE							
GARNET	33.6						
GALENA							
GOLD							
HEMATITE	124.8						
ILMENITE							
LEUCOXENE	21.33						
LIMONITE							
MARCASITE							
MAGNETITE	13.86						
MALACHITE							
MIMETITE							
MUSCOVITE							
OLIGISTE							
PERIDOTS							
PYROMORPHITE							
PYRITE-OXIDE	13.33						

Weathering : Gossan  Other 

## Mineralized Samples Taken From Anomal Area :

Variables	No.	No.	No.	No.
Co	BH-1030M5	BH-1030M6	BH-018M1	BH-018M2
Mn				
Ti				
Ba				
Cr				
Ni				
W				
Mo				
Au(ppb)	17	360	360	1.5
Sb		63.7	2.54	
Bi				
Hg		0.03	0.05	
As		2380	359	
Sn				
Pb		460	8.2	
Ag		1.5	0.09	
Cu		1800	38	
Zn		840	92	
B				
Be				

Sheet 1/50,000 : HEZAR KANIAN Anomaly Name : BAY-11

Geochemical Anomal Samples :

Sample No.	Amomaly	Raw Data	USR	Ei	1/PN

Airborne Geoph. : Shallow Magnetic Bodies: Geoph. Faults :

Alteration :	Silicification	Propilitic	Argilic	Qz. Carbonate	Listv.
Fault:	Fractur:	Limonite Hematite	Goethite	Siderite Graizen	Others

Heavy Mineral Samples Taken From Anomal Area :

Heavy Mineral	S. No.	S. No.	S. No.	Heavy Mineral	S. No.	S. No.	S. No.
ANGLESITE				PYRITE			
ANATASE				RUTILE			
APATITE				SCHEELITE			
BARITE				SILLIMANITE			
BIOTITE				SPHENE			
BROOKITE				ZIRCON			
CHLORITE							
CHROMITE							
CINABRE							
CUPRITE							
EPIDOTE							
FLOURITE							
GARNET							
GALENA							
GOLD							
HEMATITE							
ILMENITE							
LEUCOXENE							
LIMONITE							
MARCASITE							
MAGNETITE							
MALACHITE							
MIMETITE							
MUSCOVITE							
OLIGISTE							
PERIDOTS							
PYROMORPHITE							
PYRITE-OXIDE							

Weathering : Gossan Other

Mineralized Samples Taken From Anomal Area :

Variables	No.	No.	No.	No.
Co	BH-018M3	BH-018M4	BH-018M5	
Mn				
Ti				
Ba				
Cr				
Ni				
W				
Mo				
Au(ppb)	2	5.6	3.3	
Sb	3.43	2.72	4.95	
Bi				
Hg	0.04	0.03	0.04	
As	86.6	5.93	9.63	
Sn				
Pb	43	17	44	
Ag	0.22	0.16	0.09	
Cu	76	92	5	
Zn	112	110	90	
B				
Be				

Sheet 1/50,000 : HEZAR KANIAN Anomaly Name : BAY-11

Geochemical Anomal Samples :

Sample No.	Amomaly	Raw Data	USR	Ei	1/PN

Airborne Geoph. :	Shallow Magnetic Bodies:			Geoph. Faults :		
Alteration :	Silicification	Propilitic	Argilic	Qz. Carbonate	Listv.	
Fault: Fractur:	Limonite	Hematite	Goethite	Siderite	Graizen	Others

Heavy Mineral Samples Taken From Anomal Area :

Heavy Mineral	S. No.	S. No.	S. No.	Heavy Mineral	S. No.	S. No.	S. No.
ANGLESITE				PYRITE			
ANATASE				RUTILE			
APATITE				SCHEELITE			
BARITE				SILLIMANITE			
BIOTITE				SPHENE			
BROOKITE				ZIRCON			
CHLORITE							
CHROMITE							
CINABRE							
CUPRITE							
EPIDOTE							
FLOURITE							
GARNET							
GALENA							
GOLD							
HEMATITE							
ILMENITE							
LEUCOXENE							
LIMONITE							
MARCASITE							
MAGNETITE							
MALACHITE							
MIMETITE							
MUSCOVITE							
OLIGISTE							
PERIDOTS							
PYROMORPHITE							
PYRITE-OXIDE							

Weathering :	Gossan	Other
--------------	--------	-------

Mineralized Samples Taken From Anomal Area :

Variables	No.	No.	No.	No.
Variabiles	BH-018M3	BH-018M4	BH-018M5	
Co				
Mn				
Ti				
Ba				
Cr				
Ni				
W				
Mo				
Au(ppb)	2	5.6	3.3	
Sb	3.43	2.72	4.95	
Bi				
Hg	0.04	0.03	0.04	
As	86.6	5.93	9.63	
Sn				
Pb	43	17	44	
Ag	0.22	0.16	0.09	
Cu	76	92	5	
Zn	112	110	90	
B				
Be				

Sheet 1/50,000 : BAYENCHUB Anomaly Name : BAY-12

**Geochemical Anomal Samples :**

Sample No.	Amomaly	Raw Data	USRRT	Ei	1/PN
BB-201	Au	0.019	IMV	10.27	2.3
BB-201	Sr	460	IMV	2.24	2.84
BB-767	Sb	9.42	IMV-FGS	10.52	4.27

Airborne Geoph. :		Shallow Magnetic Bodies:			Geoph. Faults :		
Alteration :		Silicification	Propilitic	Argilic	Qz. Carbonate	Listv.	
Fault:	Fractur:	Limonite	Hematite	Goethite	Siderite	Graizen	
	*		*				
	L.M.						

**Heavy Mineral Samples Taken From Anomal Area :**

Heavy Mineral	S. No.	S. No.	S. No.	Heavy Mineral	S. No.	S. No.	S. No.
	BB-770H	BB-1032H	BB-1033H		BB-770H	BB-1032H	BB-1033H
ANGLESITE				PYRITE	0.14		0.21
ANATASE				RUTILE	0.12		
APATITE				SCHEELITE	0.17		
BARITE	6.55	7.04		SILLIMANITE			
BIOTITE				SPHENE			
BROOKITE				ZIRCON	0.13	9.31	
CHLORITE							
CHROMITE							
CINABRE	0.24	0.25	0.35				
CERUSSITE			14.08				
EPIDOTE	202.48	5.44	7.36				
FLOURITE	0.09						
GARNET		6.72					
GALENA							
GOLD							
HEMATITE	154.84	332.8	563.33				
ILMENITE							
LEUCOXENE	0.11	0.12					
LIMONITE	107.2	172.8	156				
MARCASITE							
MAGNETITE	7.74	8.32	11.26				
MALACHITE							
MIMETITE							
MUSCOVITE							
OLIGISTE							
PERIDOTS							
PYROMORPHITE							
PYRITE-OXIDE		80	10.83				

Weathering : Gossan			
Other			

**Mineralized Samples Taken From Anomal Area :**

Variables	No.	No.	No.	No.
Co	BB-1031M	BB-201M		
Mn				
Ti				
Ba				
Cr				
Ni				
W				
Mo				
Au(ppb)	9.8	4		
Sb	1.19	0.61		
Bi				
Hg	0.03	0.03		
As	20.7	5.53		
Sn				
Pb	11.5	24		
Ag	0.06	0.13		
Cu	15	27.5		
Zn	24	80		
B				
Be				

Sheet 1/50,000 :

BAYENCHUB

Anomaly Name :

BAY-12

## Geochemical Anomal Samples :

Sample No.	Amomaly	Raw Data	USRT	Ei	1/PN

Airborne Geoph. : Shallow Magnetic Bodies:  Geoph. Faults : 

Alteration :	Silicification	Propilitic	Argilic	Qz. Carbonate	Listv.	
Fault:	Fractur:	Limonite Hematite	Goethite	Siderite	Graizen	Others

## Heavy Mineral Samples Taken From Anomal Area :

Heavy Mineral	S. No. BB-1031H	S. No. BB-201H	S. No.	Heavy Mineral	S. No. BB-1031H	S. No. BB-201H	S. No.
ANGLESITE				PYRITE	0.27	0.21	
ANATASE				RUTILE			
APATITE				SCHEELITE			0.25
BARITE	0.24			SILLIMANITE			
BIOTITE				SPHENE			
BROOKITE				ZIRCON			
CHLORITE							
CHROMITE	13.2	10.13					
CINABRE	0.44						
CUPRITE							
EPIDOTE	187	430.66					
FLOURITE							
GARNET		88.66					
GALENA							
GOLD	0.93						
HEMATITE	14.3	10.97					
ILMENITE							
LEUCOXENE		0.16					
LIMONITE	99						
MARCASITE							
MAGNETITE	14.3	10.97					
MALACHITE							
MIMETITE							
MUSCOVITE							
OLIGISTE							
PERIDOTS							
PYROMORPHITE							
PYRITE-OXIDE		0.21					

Weathering : Gossan  Other 

## Mineralized Samples Taken From Anomal Area :

Variables	No.	No.	No.	No.
Co				
Mn				
Ti				
Ba				
Cr				
Ni				
W				
Mo				
Au(ppb)				
Sb				
Bi				
Hg				
As				
Sn				
Pb				
Ag				
Cu				
Zn				
B				
Be				

Geochemical Anomal Samples :

Sample No.	Amomaly	Raw Data	USRT	Ei	1/PN
BB-266	Sn	6.2	IMV-FGS	2.13	5.22
BB-264	Sn	3.1	IMV-FGS	1.06	

Airborne Geoph. :	Shallow Magnetic Bodies:	Geoph. Faults :
Alteration :	Silicification	Propilitic
Fault:	* Fractur:	Argilic
Thrust	M.	Qz. Carbonate
		Limonite
		Hematite
		Goethite
		Siderite
		Graizen
		Others
		*

Heavy Mineral Samples Taken From Anomal Area :

Heavy Mineral	S. No.	S. No.	S. No.	Heavy Mineral	S. No.	S. No.	S. No.
BB-1034H	BB-1035H	BB-1036H		PYRITE	BB-1034H	BB-1035H	BB-1036H
ANGLESITE				RUTILE		0.02	0.03
ANATASE	0.21		0.02	SCHEELITE			
APATITE				SILLIMANITE			
BARITE	0.24	0.02	0.03	SPHENE			
BIOTITE				ZIRCON	0.24	0.02	0.03
BROOKITE							
CHLORITE							
CHROMITE							
CINABRE	22.95	0.04	0.05				
CERUSSITE	0.36						
EPIDOTE	96.33	8.5	1.19				
FLOURITE							
GARNET		0.021	1.47				
GALENA							
GOLD	10.96		0.11				
HEMATITE	147.33	26	18.2				
ILMENITE	13.31	0.02					
LEUCOXENE	0.22		0.02				
LIMONITE	408	45	88.2				
MARCASITE							
MAGNETITE	14.73	1.3	1.82				
MALACHITE							
MIMETITE							
MUSCOVITE							
OLIGISTE							
PERIDOTS							
PYROMORPHITE							
PYRITE-OXIDE	425	12.5	35				

Weathering :	Gossan	Other

Mineralized Samples Taken From Anomal Area :

Variables	No. BB-1037M1	No. BB-1037M2	No.	No.
Co				
Mn				
Ti				
Ba				
Cr				
Ni				
W	0.5	0.5		
Mo	1.23	0.58		
Au(ppb)				
Sb				
Bi				
Hg				
As				
Sn	4.7	2.8		
Pb	6.4	3		
Ag	0.07	0.07		
Cu	9.1	45		
Zn	92	75		
B	10	47		
Be				

Others:Albitic

Sheet 1/50,000 : BAYENCHUB Anomaly Name : BAY-13

Geochemical Anomal Samples :

Sample No.	Anomaly	Raw Data	USR	Ei	1/PN

Airborne Geoph. : Shallow Magnetic Bodies:  Geoph. Faults :

Alteration :	Silicification	Propilitic	Argilic	Qz. Carbonate	Listv.
Fault:	Fractur:	Limonite Hematite	Goethite	Siderite Graizen	Others

Heavy Mineral Samples Taken From Anomal Area :

Heavy Mineral	S. No.	S. No.	S. No.	Heavy Mineral	S. No.	S. No.	S. No.
	BB-265H	BB-266H	BB-264H		BB-265H	BB-266H	BB-264H
ANGLESITE	0.08			PYRITE	0.07	0.08	
ANATASE		0.06		RUTILE			
APATITE				SCHEELITE			0.1
BARITE	3.12	0.07	0.07	SILLIMANITE			
BIOTITE				SPHENE			
BROOKITE				ZIRCON		0.07	0.06
CHLORITE							
CHROMITE							
CINABRE	0.11	0.13					
CERUSSITE	4.62		5.2				
EPIDOTE	2.41	29.14	2.72				
FLOURITE							
GARNET		0.07					
GALENA							
GOLD							
HEMATITE	36.97	44.57	4.16				
ILMENITE		0.08					
LEUCOXENE		0.06	0.06				
LIMONITE	51.2	61.71	172.8				
MARCASITE							
MAGNETITE	3.69	4.45	4.16				
MALACHITE							
MIMETITE							
MUSCOVITE							
OLIGISTE							
PERIDOTS							
PYROMORPHITE							
PYRITE-OXIDE	0.07	0.08					

Weathering : Gossan  Other

Mineralized Samples Taken From Anomal Area :

Variables	No.	No.	No.	No.
Co				
Mn				
Ti				
Ba				
Cr				
Ni				
W				
Mo				
Au(ppb)				
Sb				
Bi				
Hg				
As				
Sn				
Pb				
Ag				
Cu				
Zn				
B				
Be				

Sheet 1/50,000 : BAYENCHUB Anomaly Name : BAY-14

Geochemical Anomal Samples :

Sample No.	Anomaly	Raw Data	USRT	Ei	1/PN
BB-548	Bi	1.39	IMV	5.34	12.41

Airborne Geoph. :  Shallow Magnetic Bodies:  Geoph. Faults :

Alteration :	Silicification	Propilitic	Argilic	Qz. Carbonate	Listv.
Fault:	Fractur:	Limonite	Hematite	Goethite	Siderite
*	M.	<span style="border: 1px solid black; padding: 2px;"></span>			

Heavy Mineral Samples Taken From Anomal Area :

Heavy Mineral	S. No.	S. No.	S. No.	Heavy Mineral	S. No.	S. No.	S. No.
ANGLESITE				PYRITE			
ANATASE				RUTILE			
APATITE				SCHEELITE			
BARITE				SILLIMANITE			
BIOTITE				SPHENE			
BROOKITE				ZIRCON			
CHLORITE							
CHROMITE							
CINABRE							
CUPRITE							
EPIDOTE							
FLOURITE							
GARNET							
GALENA							
GOLD							
HEMATITE							
ILMENITE							
LEUCOXENE							
LIMONITE							
MARCASITE							
MAGNETITE							
MALACHITE							
MIMETITE							
MUSCOVITE							
OLIGISTE							
PERIDOTS							
PYROMORPHITE							
PYRITE-OXIDE							

Weathering : Gossan  Other

Mineralized Samples Taken From Anomal Area :

Variables	No.	No.	No.	No.
Co				
Mn				
Ti				
Ba				
Cr				
Ni				
W				
Mo				
Au(ppb)				
Sb				
Bi				
Hg				
As				
Sn				
Pb				
Ag				
Cu				
Zn				
B				
Be				

Sheet 1/50,000 : HEZAR KANIAN Anomaly Name : BAY-15

Geochemical Anomal Samples :

Sample No.	Amomaly	Raw Data	USR	Ei	1/PN
BH-217	Au	0.01	CCS-FGS	8.57	1.43

Airborne Geoph. :		Shallow Magnetic Bodies:			Geoph. Faults :		
Alteration :	Silicification	Propilitic	Argilic	Qz. Carbonate	Listv.		
Fault:	Fractur:	Limonite	Hematite	Goethite	Siderite	Graizen	Others
	M.						

Heavy Mineral Samples Taken From Anomal Area :

Heavy Mineral	S. No.	S. No.	S. No.	Heavy Mineral	S. No.	S. No.
	BH-217H				BH-217H	
ANGLESITE				PYRITE	0.3	
ANATASE	0.22			RUTILE	12.6	
APATITE				SCHEELITE	0.36	
BARITE	13.2			SILLIMANITE		
BIOTITE				SPHENE	0.21	
BROOKITE				ZIRCON	12.9	
CHLORITE						
CHROMITE						
CINABRE	0.48					
CUPRITE						
EPIDOTE	102					
FLOURITE						
GARNET	252					
GALENA						
GOLD						
HEMATITE	312					
ILMENITE						
LEUCOXENE	0.24					
LIMONITE	10.8					
MARCASITE						
MAGNETITE	15.6					
MALACHITE						
MIMETITE						
MUSCOVITE						
OLIGISTE						
PERIDOTS						
PYROMORPHITE						
PYRITE-OXIDE	15					

Weathering : Gossan		Other

Mineralized Samples Taken From Anomal Area :

Variables	No.	No.	No.	No.
Co	BH-217M			
Mn				
Ti				
Ba				
Cr				
Ni				
W				
Mo				
Au(ppb)	27			
Sb				
Bi				
Hg				
As				
Sn				
Pb				
Ag				
Cu				
Zn				
B				
Be				

Sheet 1/50,000 : HEZAR KANIAN Anomaly Name : BAY-16

Geochemical Anomal Samples :

Sample No.	Amomaly	Raw Data	USR	Ei	1/PN
BH-140	Ag	0.46	IMV-FGS	4.18	12.41
BH-140	Sn	8.4	IMV-FGS	3	12.41

Airborne Geoph. :		Shallow Magnetic Bodies:			Geoph. Faults :		
Alteration :		Silicification	Propilitic	Argilic	Qz. Carbonate	Listv.	
Fault:	Fractur:	Limonite	Hematite	Goethite	Siderite	Graizen	
	*						
	L.						

Heavy Mineral Samples Taken From Anomal Area :

Heavy Mineral	S. No.	S. No.	S. No.	Heavy Mineral	S. No.	S. No.	S. No.
	BH-1039H	BH-140H			BH-1039H	BH-140H	
ANGLESITE		12.5		PYRITE	0.16	0.2	
ANATASE	6.33	7.6		RUTILE	0.14		
APATITE				SCHEELITE	0.2	0.24	
BARITE	7.33	8.8		SILLIMANITE			
BIOTITE				SPHENE		0.14	
BROOKITE				ZIRCON	7.16		
CHLORITE							
CHROMITE							
CINABRE	0.27	0.32					
CERUSSITE	10.83	13					
EPIDOTE		6.8					
FLOURITE							
GARNET	0.14						
GALENA							
GOLD							
HEMATITE	173.33	416					
ILMENITE	7.83						
LEUCOXENE	0.13	0.16					
LIMONITE	480	648					
MARCASITE							
MAGNETITE	8.66	10.4					
MALACHITE							
MIMETITE	0.23						
MUSCOVITE							
OLIGISTE							
PERIDOTS							
PYROMORPHITE	500	400					
PYRITE-OXIDE							

Weathering : Gossan  Other

Mineralized Samples Taken From Anomal Area :

Variables	No.	No.	No.	No.
Co	BH-1039M			
Mn				
Ti				
Ba				
Cr				
Ni				
W				
Mo				
Au(ppb)	3.6			
Sb	3.13			
Bi				
Hg	0.14			
As	160			
Sn				
Pb	2000			
Ag	0.42			
Cu	400			
Zn	150			
B				
Be				

Sheet 1/50,000 : BAYENCHUB Anomaly Name : BAY-17

Geochemical Anomalies :

Sample No.	Amomaly	Raw Data	USR	Ei	1/PN
BB-523	As	42.8	IMV-FGS	5.21	
BB-523	Sb	2.54	IMV-FGS	2.83	

Airborne Geoph. : Shallow Magnetic Bodies:  Geoph. Faults :

Alteration :	Silicification	Propylitic	Argilic	Qz. Carbonate	Listv.
	*				
	H.				

Heavy Mineral Samples Taken From Anomalous Area :

Heavy Mineral	S. No.	S. No.	S. No.	Heavy Mineral	S. No.	S. No.	S. No.
	BB-518H	BB-519H	BB-520H				
ANGLESITE				PYRITE	0.42	0.22	0.5
ANATASE		8.36		RUTILE	0.36		
APATITE				SCHEELITE			
BARITE				SILLIMANITE			
BIOTITE				SPHENE			
BROOKITE				ZIRCON	0.36	9.46	0.43
CHLORITE							
CHROMITE							
CINABRE	34.71		40.5				
CERUSSITE							
EPIDOTE	14.57	7.48	17				
FLOURITE							
GARNET		0.18					
GALENA							
GOLD							
HEMATITE		114.4	26				
ILMENITE	20.14	10.34	23.5				
LEUCOXENE	0.34	8.8	0.4				
LIMONITE	308.57	237.6	360				
MARCASITE							
MAGNETITE	22.28	11.44	26				
MALACHITE							
MIMETITE							
MUSCOVITE							
OLIGISTE							
PERIDOTS							
PYROMORPHITE							
PYRITE-OXIDE	214.28	11	0.5				

Weathering : Gossan  Other

Mineralized Samples Taken From Anomalous Area :

Variables	No.	No.	No.	No.
Co				
Mn				
Ti				
Ba				
Cr				
Ni				
W				
Mo				
Au(ppb)				
Sb				
Bi				
Hg				
As				
Sn				
Pb				
Ag				
Cu				
Zn				
B				
Be				

Sheet 1/50,000 : BAYENCHUB Anomaly Name : BAY-17

Geochemical Anomal Samples :

Sample No.	Amomaly	Raw Data	USR	Ei	1/PN

Airborne Geoph. : Shallow Magnetic Bodies:  Geoph. Faults :

Alteration :	Silicification	Propilitic	Argilic	Qz. Carbonate	Listv.		
Fault:	Fractur:	Limonite	Hematite	Goethite	Siderite	Graizen	Others

Heavy Mineral Samples Taken From Anomal Area :

Heavy Mineral	S. No.	S. No.	S. No.	Heavy Mineral	S. No.	S. No.	S. No.
	BB-521H	BB-522H	BB-523H		BB-521H	BB-522H	BB-523H
ANGLESITE				PYRITE			
ANATASE	0.1	0.09	0.08	RUTILE			0.12
APATITE				SCHEELITE			5.38
BARITE,		0.11		SILLIMANITE			
BIOTITE				SPHENE			0.09
BROOKITE				ZIRCON	0.12	0.11	
CHLORITE							
CHROMITE		0.12					
CINABRE	0.22	10.48	0.17				
CERUSSITE							
EPIDOTE		4.4	3.66				
FLOURITE		0.08	0.06				
GARNET			0.09				
GALENA							
GOLD		0.44					
HEMATITE	7.28	134.58	112				
ILMENITE	6.58	6.08	5.06				
LEUCOXENE	5.6	5.17					
LIMONITE	554.4	139.76	77.53				
MARCASITE			0.1				
MAGNETITE	7.28	6.72	5.6				
MALACHITE							
MIMETITE							
MUSCOVITE							
OLIGISTE							
PERIDOTS							
PYROMORPHITE		280	129.41	53.84			
PYRITE-OXIDE							

Weathering : Gossan  Other

Mineralized Samples Taken From Anomal Area :

Variables	No.	No.	No.	No.
Co				
Mn				
Ti				
Ba				
Cr				
Ni				
W				
Mo				
Au(ppb)				
Sb				
Bi				
Hg				
As				
Sn				
Pb				
Ag				
Cu				
Zn				
B				
Be				

Sheet 1/50,000 : BAYENCHUB Anomaly Name : BAY-18

Geochemical Anomalies :

Sample No.	Anomaly	Raw Data	USR	Ei	1/PN
BB-545	Sb	8.61	IMV-FGS	9.62	3.15

Airborne Geoph. : Shallow Magnetic Bodies: Geoph. Faults:

Alteration :	Silicification	Propilitic	Argilic	Qz. Carbonate	Listv.
Fault:	Fractur:	Limonite	Hematite	Goethite	Siderite
	L.				Graizen

Heavy Mineral Samples Taken From Anomalous Area :

Heavy Mineral	S. No.	S. No.	S. No.	Heavy Mineral	S. No.	S. No.	S. No.
ANGLESITE				PYRITIE			
ANATASE	0.24	22.16		RUTILE		0.58	
APATITE	9.81	17.5		SCHEELITE		0.49	
BARITE	0.28			SILLIMANITE			
BIOTITE				SPHENE			
BROOKITE				ZIRCON	0.28		
CHLORITE							
CHROMITE							
CINABRE	0.53	0.94					
CERUSSITE							
EPIDOTE	778.09	0.39					
FLOURITE							
GARNET	0.27						
GALENA							
GOLD							
HEMATITE	119.12						
ILMENITE	646.03	329					
LEUCOXENE	0.26	23.33					
LIMONITE		126					
MARCASITE							
MAGNETITE	1021.09	2305.33					
MALACHITE							
MIMETITE							
MUSCOVITE							
OLIGISTE							
PERIDOTS							
PYROMORPHITE							
PYRITE-OXIDE	0.32						

Weathering : Gossan Other

Mineralized Samples Taken From Anomalous Area :

Variables	No.	No.	No.	No.
Co				
Mn				
Ti				
Ba				
Cr				
Ni				
W				
Mo				
Au(ppb)				
Sb				
Bi				
Hg				
As				
Sn				
Pb				
Ag				
Cu				
Zn				
B				
Be				